

ВІННИЦЬКИЙ НАЦІОНАЛЬНИЙ МЕДИЧНИЙ
УНІВЕРСИТЕТ ім. М. І. ПИРОГОВА
МОЗ УКРАЇНИ

Кваліфікаційна наукова праця
на правах рукопису

Орловський Володимир Олександрович

УДК 616-073.756.8:611.314:79-055.1(477):[616.714.1-071.3]

ДИСЕРТАЦІЯ

КОМП'ЮТЕРНО-ТОМОГРАФІЧНІ РОЗМІРИ МАЛИХ КУТНІХ ЗУБІВ У
ПРАКТИЧНО ЗДОРОВИХ ЧОЛОВІКІВ ІЗ РІЗНИХ РЕГІОНІВ УКРАЇНИ
ТА ЇХ ЗВ'ЯЗОК ІЗ ПОКАЗНИКАМИ КЕФАЛОМЕТРІЇ

14.03.01 – нормальна анатомія

Подається на здобуття наукового ступеня кандидата медичних наук

Дисертація містить результати власних досліджень. Використання ідей, результатів і текстів інших авторів мають посилання на відповідне джерело

_____ В. О. Орловський

Науковий керівник: Шінкарук-Диковицька Марія Михайлівна, доктор медичних наук, доцент

Вінниця – 2018

АНОТАЦІЯ

Орловський В. О. Комп'ютерно-томографічні розміри малих кутніх зубів у практично здорових чоловіків із різних регіонів України та їх зв'язок із показниками кефалометрії. – Кваліфікаційна наукова праця на правах рукопису.

Дисертація на здобуття наукового ступеня кандидата медичних наук за спеціальністю 14.03.01 «Нормальна анатомія». – Вінницький національний медичний університет ім. М. І. Пирогова МОЗ України, Вінниця, 2018.

На базі Вінницького національного медичного університету ім. М. І. Пирогова та приватної стоматологічної клініки «Вінінтермед ЛТД» здійснено конусно-променеву комп'ютерну томографію с наступною одонтометриєю малих кутніх зубів (МКЗ) та кефалометрію 200 практично здоровим чоловікам, у третьому поколінні мешканців різних адміністративно-територіальних регіонів України.

Разом із О. О. Коцюрою у практично здорових чоловіків із різних регіонів України вперше встановлено збільшення найбільшого обхвата голови, поперечної і сагітальної дуги, найбільшої довжини голови, висоти лоба, фізіологічної довжини обличчя, довжини, висоти і глибини носа, відстані між назіон та міжрізцевою точкою та зменшення найбільшої й найменшої ширини голови і середньої ширини обличчя в напрямку гіпербрахіцефалія → брахіцефалія → мезоцефалія → доліхоцефалія; а також збільшення найбільшої і найменшої ширини голови, ширини обличчя, середньої ширини обличчя, ширини ротової щілини, довжини тіла нижньої щелепи справа і зліва у напрямку дуже вузьке обличчя → вузьке обличчя → середнє обличчя → широке обличчя та зменшення висоти лоба, фізіологічної довжини обличчя, довжини, висоти і глибини носа, висоти верхньої частини обличчя, відстані між назіон та міжрізцевою точкою і морфологічної довжини обличчя. Також підтверджено процеси брахіцефалізації і граціалізації чоловічого населення в різних регіонах України.

Уперше встановлені регіональні відмінності КТ-розмірів МКЗ, які най-

більш виражені для присінково-язикових розмірів зубів (більші значення у чоловіків північного регіону України, ніж у представників південного, західного і східного регіонів, а у представників центрального регіону більші значення, ніж у чоловіків південного і східного регіонів) та лише на нижній щелепі – для висоти коронки МКЗ (менші значення у чоловіків південного регіону, ніж у представників північного, центрального, західного і східного регіонів).

У практично здорових чоловіків різних краніотипів уперше встановлені відмінності КТ-розмірів МКЗ – у доліхоцефалів, у більшості випадків, менші значення присінково-язикових розмірів і висоти коронки зубів, ніж у брахіцефалів і гіпербрахіцефалів; а у мезоцефалів, у більшості випадків, менші значення мезіо-дистального розміру шийки зубів, ніж у брахіцефалів і гіпербрахіцефалів.

Уперше у практично здорових чоловіків із різним типом обличчя встановлені (лише на верхній щелепі) відмінності КТ-розмірів МКЗ – в більшості випадків у чоловіків із середнім типом обличчя більші значення висоти зубів та довжини язикового кореня правого другого зуба, ніж у представників із іншими типами обличчя.

У практично здорових чоловіків центрального регіону України різних краніотипів уперше виявлені найбільш виражені відмінності КТ-розмірів МКЗ на верхній щелепі – у брахіцефалів більші значення мезіо-дистальних та присінково-язикових розмірів перших зубів, ніж у мезоцефалів, та у гіпербрахіцефалів більші значення присінково-язикових розмірів других зубів, ніж у доліхоцефалів і мезоцефалів; а на нижній щелепі – у брахіцефалів більші значення мезіо-дистальних та присінково-язикових розмірів зубів, ніж у мезоцефалів і доліхоцефалів та у гіпербрахіцефалів більші, ніж у мезоцефалів.

Уперше у практично здорових чоловіків центрального регіону України з різним типом обличчя, як і в загальній групі, найбільш виражені відмінності КТ-розмірів МКЗ встановлені лише на верхній щелепі – у чоловіків

із середнім типом обличчя більші значення висоти зубів, ніж у представників із іншими типами обличчя, а також довжини піднебінного і щічного коренів зубів більші, ніж у представників із широким та вузьким типами обличчя.

Уперше за допомогою регресійного аналізу на основі особливостей кефалометричних показників, краніотипу і типу обличчя нами побудовані достовірні моделі (із коефіцієнтом детермінації R^2 більшим, ніж 0,5) індивідуальних лінійних розмірів МКЗ верхньої і нижньої щелеп у практично здорових чоловіків *північного* (6 моделей мезіо-дистальних розмірів, $R^2=0,562-0,715$; 4 моделі присінково-язикових розмірів, $R^2=0,525-0,822$; 3 моделі висоти коронок, $R^2=0,507-0,632$), *південного* (1 модель мезіо-дистальних розмірів, $R^2=0,509$; 3 моделі висоти коронок, $R^2=0,564-0,702$), *західного* (4 моделі мезіо-дистальних розмірів, $R^2=0,535-0,659$; 1 модель висоти коронок, $R^2=0,522$) і *східного* (6 моделей мезіо-дистальних розмірів, $R^2=0,505-0,641$; 2 моделі присінково-язикових розмірів, $R^2=0,519$ і $0,559$; 1 модель висоти коронок, $R^2=0,603$) адміністративно-територіальних регіонів України. У більшості випадків, незалежно від регіону, моделі мезіо-дистальних розмірів коронки і шийки МКЗ побудовані для верхньої щелепи, а висоти коронок – для нижньої щелепи.

До побудованих моделей індивідуальних лінійних розмірів МКЗ верхньої і нижньої щелеп із коефіцієнтом детермінації більше 0,5 найчастіше входять: у чоловіків *північного регіону* України до моделей мезіо-дистальних розмірів – поперечна дуга і ширина ротової щілини (по 10,5 %) та ширина основи носа, ширина нижньої щелепи і довжина тіла нижньої щелепи зліва (по 7,9 %); до моделей присінково-язикових розмірів – висота верхньої частини обличчя (16,0 %), найбільша довжина голови, довжина тіла нижньої щелепи зліва і морфологічна довжина обличчя (по 12,0 %); до моделей висоти коронок – зовнішньоочна ширина (18,7 %) та поперечна дуга і довжина тіла нижньої щелепи зліва (по 12,5 %); у чоловіків *південного регіону* України до моделей висоти коронок – висота лоба (17,6 %),

найбільший обхват голови, ширина основи носа, міжчочномкова ширина і довжина тіла нижньої щелепи справа (по 11,8 %); у чоловіків *західного регіону* України до моделей мезіо-дистальних розмірів – найбільший обхват голови і відстань між назіон та міжрізцевою точкою (по 14,8 %), поперечна дуга, ширина ротової щілини і довжина тіла нижньої щелепи справа (по 11,1 %); у чоловіків *східного регіону* України до моделей мезіо-дистальних розмірів – сагітальна дуга, ширина ротової щілини і висота лоба (по 12,8 %), середня ширина обличчя (10,3 %) і довжина тіла нижньої щелепи зліва (7,7 %); до моделей присінково-язикових розмірів – поперечна дуга, ширина ротової щілини, зовнішньоочна ширина, ширина нижньої щелепи і довжина носа (по 14,3 %).

Ключові слова: одонтометрія, малі кутні зуби, кефалометрія, практично здорові чоловіки, адміністративно-територіальні регіони України, краніотип, тип обличчя.

ANNOTATION

Orlovskiy V. O. Computer tomographic size of small angular teeth in practically healthy men from different regions of Ukraine and their correlation with indicators of cephalometry. – Qualifying scientific work on the rights of manuscripts.

Dissertation for obtaining scientific degree candidate of medical sciences in specialty 14.03.01 - normal anatomy. – National Pirogov Memorial Medical University of the Ministry of Health of Ukraine, Vinnytsya, 2018.

On the basis of National Pirogov Memorial Medical University, Vinnitsa and the private stomatological clinic "Vinintermed LTD", a cone-ray computer tomography with the following odontometry of small corner teeth and cephalometry of 200 practically healthy men, in the third generation inhabitants of various administrative-territorial regions of Ukraine was performed.

Together with O.O. Kotsyura, in practically healthy men from different regions of Ukraine, for the first time, an increase in the largest head

circumference, the transverse and sagittal arc, the greatest length of the head, the height of the forehead, the physiological length of the face, the length, height and depth of the nose, the distance between the nazion and the inter-incisive point and the reduction of the largest and smallest head width and average face width in the direction of hyperbrachycephaly → brachycephaly → mesocephaly → dolichocephaly is noted; as well as an increase in the largest and smallest head width, face width, middle face width, mouth width, body length of the mandible to the right and left in the direction of a very narrow face → narrow face → middle face → wide face and decrease in forehead height, physiological face length, length, height and depth of the nose, the height of the upper face, the distance between the nazion and the inter-incisive point and the morphological length of the face. This is confirmed by the processes of brachycephalisation and the gracefulness of male population in different regions of Ukraine.

For the first time set regional differences in CT sizes of small angular teeth, which are most pronounced for the vestibular-lingual dimensions of the teeth (higher in men in the northern region of Ukraine than in the representatives of the southern, western and eastern regions, and in the representatives of the central region, than in the men of the southern and eastern regions) and only on the lower jaw - for the height of the crown of small angular teeth (lower in men in the southern region than in the northern, central, western and eastern regions).

In practically healthy men of different craniotypes, for the first time, differences in CT size of small angular teeth were determined - in dolichocephaly, in most cases, lower values of vestibule-lingual dimensions and height of crown of teeth, than in brachycephaly and hyperbrachycephaly; and in mesocephaly, in most cases, smaller values of the mesio-distal size of the neck of the teeth than in brachycephaly and hyperbrachycephaly.

For the first time, in practically healthy men with different facial features (only on the upper jaw), differences in CT size of small angular teeth are established - in most cases, men with a middle face type have higher values of the height of the teeth and the length of the palatal root of the right second tooth than

the representatives of the other face types.

For the practically healthy men of the central region of Ukraine, of different craniotypes for the first time, the most pronounced differences in CT size of small angular teeth on the upper jaw were found - in brachycephaly mesio-distal and vestibule-lingual dimensions of the first teeth were higher than that of the mesocephaly, and in hyperbrachycephaly higher vestibule-lingual dimensions of other teeth than in dolichocephaly and mesocephaly persons; and in the lower jaw - in brachycephaly, the mean values of mesio-distal and vestibule-lingual sizes of teeth are higher than that of mesocephaly and dolichocephaly and in hyperbrachycephaly than mesocephaly persons.

For the first time, in practically healthy men of the central region of Ukraine with different facial features, as in the general group, the most pronounced differences in CT size of small angular teeth are established only on the upper jaw - in men with middle face type, higher values of the height of teeth than those with other types the face, and the length of palatine and cheek root teeth, than those with broad and narrow face types.

For the first time, using reliable regression models based on the characteristics of cephalometric indices, craniotype and face type, we have constructed reliable models (with determination coefficient R^2 greater than 0,5) of individual linear dimensions of the upper and lower jaw premolars in the practically healthy men of the *north* (6 models of mesio-distal sizes, $R^2=0,562-0,715$; 4 models of vestibular-lingual dimensions, $R^2=0,525-0,822$; 3 models of crown height; $R^2=0,507-0,632$); *southern* (1 model of mesio-distal dimensions, $R^2=0,509$; 3 models of crown height, $R^2=0,564-0,702$), *western* (4 models of mesio-distal dimensions, $R^2=0,535-0,659$; 1 model of crown height, $R^2=0,522$) and *eastern* (6 models of mesio-distal sizes, $R^2=0,505-0,641$; 2 models of vestibular-lingual dimensions, $R^2 = 0,519$ and $0,559$; 1 model of crown height, $R^2=0,603$) administrative-territorial regions of Ukraine. In most cases, irrespective of the region, models of mesio-distal sizes of crown and cervix of premolars are built for the upper jaw, and the height of crowns - for the mandible.

Constructed models of individual linear dimensions of the premolars of the upper and lower jaws with a determination coefficient more than 0,5 most often include: men of the *northern region* of Ukraine to models of mesio-distal dimensions - the transverse arc and the width of the mouth goblet (by 10,5%) and the width of the base of the nose, width of the mandible and length of the body of the mandible on the left (by 7,9%); to models of vestibular-lingual dimensions - the height of the upper part of the face (16,0%), the largest length of the head, the length of the body of the mandible on the left and the morphological length of the face (by 12,0%); to models of crown height - external width (18,7%) and transverse arc and length of the body of the mandible on the left (by 12,5%); in men of the *southern region* of Ukraine to models of crown height - height of the forehead (17,6%), largest head circumference, width of the base of the nose, interorbital width and body length of the mandible on the right (by 11,8%); in men of the *western region* of Ukraine to models of mesio-distal dimensions - the largest head circumference and the distance between the nazion and inter-cutter point (by 14,8%), the transverse arc, the width of the mouth and the length of the body of the mandible on the right (by 11,1%); in men of the *eastern region* of Ukraine to models of mesio-distal dimensions - sagittal arc, mouth width and forehead height (by 12,8%), mean facial width (10,3%), and mandibular left body length (7,7%); to the models of vestibular-lingual dimensions - the transverse arc, the width of the mouth, the outer-eye width, the width of the mandible and the length of the nose (by 14,3%).

Key words: odontometry, small corner teeth, cephalometry, practically healthy men, administrative-territorial regions of Ukraine, craniotype, type of face.

Список публікацій здобувача за темою дисертації:

Наукові праці, в яких опубліковані основні наукові результати дисертації:

1. Шінкарук-Диковицька М. М. Регіональні та краніотипологічні від-

мінності кефалометричних показників у практично здорових чоловіків України / М. М. Шінкарук-Диковицька, О. О. Коцюра, В. О. Орловський // Вісник морфології. – 2016. – Т. 22, № 2. – С. 314-319.

2. Шінкарук-Диковицька М. М. Відмінності кефалометричних показників у практично здорових чоловіків України з різними типами обличчя / М. М. Шінкарук-Диковицька, О. О. Коцюра, В. О. Орловський // Світ медицини та біології. – 2016. – №4(58). – С. 82-87.

3. Орловський В. О. Регіональні відмінності лінійних комп'ютерно-томографічних розмірів малих кутніх зубів та їх коренів у практично здорових чоловіків України / В. О. Орловський // Вісник морфології. – 2017. – Т. 23, № 1. – С. 102-107.

4. Орловський В. О. Особливості комп'ютерно-томографічних розмірів малих кутніх зубів та їх коренів у практично здорових чоловіків України з різною формою голови / В. О. Орловський // Biomedical and Biosocial Anthropology. – 2017. – № 28. – С. 92-94.

5. Шінкарук-Диковицька М. М. Відмінності лінійних розмірів малих кутніх зубів та їх коренів у практично здорових чоловіків України з різними типами обличчя / М. М. Шінкарук-Диковицька, В. О. Орловський // Світ медицини та біології. – 2017. – №2(60). – С. 124-126.

6. Differences of craniotype distribution and types of face among apparently healthy men from different regions of Ukraine / I. V. Gunas, M. M. Shinkaruk-Dykovytska, O. O. Kotsyura, V. O. Orlovskiy, S. V. Dmytrenko, A. V. Shayuk, A. A. Glushak // Folia Morphol. – 2017. – Vol.76, №3. – P. 473-477.

7. Differences in computer-tomographic size of premolar teeth and their roots in practically healthy men of different craniotypes, inhabitants of the central region of Ukraine / M. M. Shinkaruk-Dykovytska, V. O. Orlovskiy, A. O. Gavrilyuk, G. V. Datsenko, T. R. Zakalata // World of Medicine and Biology. – 2017. – №4(62). – P. 104-107.

8. Орловський В. О. Особливості лінійних комп'ютерно-томографічних розмірів малих кутніх зубів та їх коренів у практично здорових чоловіків

ків центрального регіону України з різними типами обличчя / В. О. Орловський // Вісник морфології. – 2017. – Т. 23, № 2. – С. 311-314.

9. Орловський В. О. Моделювання за допомогою регресійного аналізу індивідуальних лінійних розмірів малих кутніх зубів в залежності від кефалометричних показників практично здорових чоловіків із різних регіонів України / В. О. Орловський, М. М. Шінкарук-Диковицька, І. В. Гунас // Вісник наукових досліджень. – 2018. – № 1. – С. 90-95.

10. Orlovskiy V. O. Features relations computed tomography sizes of premolar teeth with cephalometric indicators of practically healthy men from northern and southern regions of Ukraine / V. O. Orlovskiy // Biomedical and Biosocial Anthropology. – 2017. – № 29. – P. 73-77.

11. Orlovskiy V. O. Features of correlations of computer-tomographic sizes of premolars with cephalometric indices of practically healthy men from the western and eastern regions of Ukraine / V. O. Orlovskiy, V. G. Cherkasov, V. G. Chaika // Biomedical and Biosocial Anthropology. – 2018. – № 30. – P. 36-42.

12. Шінкарук-Диковицька М. М. Сучасні променеві та антропометричні методи дослідження в стоматології / М. М. Шінкарук-Диковицька, О. О. Коцюра, В. О. Орловський // Вісник Вінницького національного медичного університету. – 2012. – Т. 16, № 2. – С. 546-550.

Наукові праці, які засвідчують апробацію матеріалів дисертації:

13. Шінкарук-Диковицька М. М. Лінійні розміри молярів та премолярів та їх зв'язок з показниками кефалометрії / М. М. Шінкарук-Диковицька, О. О. Коцюра, В. О. Орловський // «Інноваційні технології в стоматології»: збірник матеріалів науково-практичної конференції (м. Тернопіль, 23 вересня 2016 р.). – Тернопіль: ДВНЗ «Тернопільський державний медичний університет імені І. Я. Горбачевського МОЗ України». – С. 54-56.

14. Орловський В. О. Відмінності розподілу типів обличчя серед практично здорових чоловіків із різних регіонів України / В. О. Орловський // Матеріали науково-практичної конференції з міжнародною участю присвяченої 60-ти річчю ДВНЗ «Тернопільський державний медичний уні-

верситет імені І. Я. Горбачевського МОЗ України» (м. Тернопіль, 1-2 червня 2017 р.). – Тернопіль: ДВНЗ «Тернопільський державний медичний університет імені І. Я. Горбачевського МОЗ України». – С. 132-134.

15. Орловський В. О. Краніотипологічна мінливість лінійних розмірів малих кутніх зубів у практично здорових чоловіків України / В. О. Орловський // «Прикладні аспекти морфології» : матеріали науково-практичної конференції присвяченої пам'яті професорів-морфологів Терентьєва Г. В., Роменського О. Ю., Когана Б. Й., Шапаренка П. П., Жученка С. П. / за редакцією академіка НАМН України, професора В. М. Мороза, чл.-кор. НАМН України, професора Ю. Б. Чайковського, професора В. Г. Черкасова, професора М. А. Волошина, професора В. І. Півторака (м. Вінниця, 21-22 вересня 2017р.). – Вінниця: друкарня «Тези», 2017. – С. 122-124.

16. Орловський В. О. Множинні зв'язки комп'ютерно-томографічних розмірів малих кутніх зубів із кефалометричними показниками практично здорових чоловіків центрального регіону України / В. О. Орловський // «Світова медицина: сучасні тенденції та фактори розвитку» : матеріали міжнародної науково-практичної конференції (м. Львів, 26-27 січня 2018 р.). – Львів: ГО «Львівська медична спільнота», 2018. – С. 114-116.

17. Орловський В. О. Кількісний аналіз зв'язків комп'ютерно-томографічних розмірів малих кутніх зубів із кефалометричними показниками практично здорових чоловіків центрального регіону України / В. О. Орловський // «Перспективні напрями розвитку сучасних медичних та фармацевтичних наук» : матеріали міжнародної науково-практичної конференції (м. Дніпро, 9-10 лютого 2018 року). – Дніпро : Організації наукових медичних досліджень «Salutem». – С. 22-24.

ЗМІСТ

	стор.
АНОТАЦІЯ	2
ПЕРЕЛІК УМОВНИХ ПОЗНАЧЕНЬ, СИМВОЛІВ, ОДИНИЦЬ, СКОРОЧЕНЬ ТА ТЕРМІНІВ	15
ВСТУП	17
РОЗДІЛ 1 ОГЛЯД ЛІТЕРАТУРИ	24
1.1. Анатомічні та фізіологічні особливості малих кутніх зубів. Методи їх дослідження	24
1.2. Етнічні та регіональні особливості кефалометричних та одонтометричних показників	29
1.3. Використання одонтометричних та кефалометричних характеристик у сучасній стоматологічній діагностиці з метою покращення отриманих результатів та забезпечення їх довготривалого функціонування	38
РОЗДІЛ 2 ЗАГАЛЬНА МЕТОДИКА Й ОСНОВНІ МЕТОДИ ДОСЛІДЖЕНЬ	46
2.1. Загальна методика і об'єкти дослідження	46
2.2. Методи дослідження	47
2.2.1. Конусно-променева комп'ютерна томографія.	47
2.2.2. Одонтометрія.	47
2.2.3. Кефалометрія.	51
2.2.4. Статистичні.	54
РОЗДІЛ 3 ЛІНІЙНІ КОМП'ЮТЕРНО-ТОМОГРАФІЧНІ РОЗМІРИ МАЛИХ КУТНІХ ЗУБІВ ТА ЇХ КОРЕНІВ У ПРАКТИЧНО ЗДОРОВИХ ЧОЛОВІКІВ ІЗ РІЗНИХ РЕГІОНІВ УКРАЇНИ ТА В ЗАЛЕЖНОСТІ ВІД ФОРМИ ГОЛОВИ АБО	

	13
ТИПУ ОБЛИЧЧЯ	56
3.1. Регіональні відмінності лінійних комп'ютерно-томографічних розмірів малих кутніх зубів та їх коренів у практично здорових чоловіків України	56
3.2. Лінійні комп'ютерно-томографічні розміри малих кутніх зубів та їх коренів у практично здорових чоловіків із різною формою голови	66
3.3. Лінійні комп'ютерно-томографічні розміри малих кутніх зубів та їх коренів у практично здорових чоловіків із різним типом обличчя	74
РОЗДІЛ 4 ЛІНІЙНІ КОМП'ЮТЕРНО-ТОМОГРАФІЧНІ РОЗМІРИ МАЛИХ КУТНІХ ЗУБІВ ТА ЇХ КОРЕНІВ У ПРАКТИЧНО ЗДОРОВИХ ЧОЛОВІКІВ ЦЕНТРАЛЬНОГО РЕГІОНУ УКРАЇНИ В ЗАЛЕЖНОСТІ ВІД ФОРМИ ГОЛОВИ АБО ТИПУ ОБЛИЧЧЯ	82
4.1. Лінійні комп'ютерно-томографічні розміри малих кутніх зубів та їх коренів у практично здорових чоловіків центрального регіону України з різною формою голови	82
4.2. Лінійні комп'ютерно-томографічні розміри малих кутніх зубів та їх коренів у практично здорових чоловіків центрального регіону України з різним типом обличчя	94
РОЗДІЛ 5 МОДЕЛЮВАННЯ КОМП'ЮТЕРНО-ТОМОГРАФІЧНИХ ЛІНІЙНИХ РОЗМІРІВ МАЛИХ КУТНІХ ЗУБІВ У ПРАКТИЧНО ЗДОРОВИХ ЧОЛОВІКІВ ІЗ РІЗНИХ РЕГІОНІВ УКРАЇНИ В ЗАЛЕЖНОСТІ ВІД ОСОБЛИВОСТЕЙ КЕФАЛОМЕТРИЧНИХ ПОКАЗНИКІВ ТА ФОРМИ ГОЛОВИ І ТИПУ ОБЛИЧЧЯ	103
5.1. Регресійні моделі лінійних комп'ютерно-томографічних розмірів малих кутніх зубів у чоловіків північного регіону України	103

	14
5.2. Регресійні моделі лінійних комп'ютерно-томографічних розмірів малих кутніх зубів у чоловіків південного регіону України	109
5.3. Регресійні моделі лінійних комп'ютерно-томографічних розмірів малих кутніх зубів у чоловіків західного регіону України	111
5.4. Регресійні моделі лінійних комп'ютерно-томографічних розмірів малих кутніх зубів у чоловіків східного регіону України	113
АНАЛІЗ І УЗАГАЛЬНЕННЯ РЕЗУЛЬТАТІВ ДОСЛІДЖЕНЬ	118
ВИСНОВКИ	147
СПИСОК ВИКОРИСТАНИХ ДЖЕРЕЛ	151
ДОДАТКИ	184

**ПЕРЕЛІК УМОВНИХ ПОЗНАЧЕНЬ, СИМВОЛІВ, ОДИНИЦЬ,
СКОРОЧЕНЬ ТА ТЕРМІНІВ**

МКЗ – малі кутні зуби

КТ- – комп'ютерно-томографічні;

14- – верхній правий перший малий кутній зуб;

15- – верхній правий другий малий кутній зуб;

24- – верхній лівий перший малий кутній зуб;

25- – верхній лівий другий малий кутній зуб;

34- – нижній лівий перший малий кутній зуб;

35- – нижній лівий другий малий кутній зуб;

44- – нижній правий перший малий кутній зуб;

45- – нижній правий другий малий кутній зуб;

AL_AL – ширина основи носа (відстань між алярними точками);

CHI_CHI – ширина ротової щілини;

DUG_AUAU – поперечна дуга;

DUG_GOP – найбільший обхват голови через надперенісся (глабелла) та ініон;

DUGS_GOP – сагітальна дуга;

EK_EK – зовнішньоочна ширина (біорбітальна ширина);

EU_EU – найбільша ширина голови (потиличний діаметр);

FMT_FMT – найменша ширина голови (лобовий діаметр);

G_OP – найбільша довжина голови;

GO_GO – ширина нижньої щелепи, або ширина між кутами нижньої щелепи;

HKZ – висота коронки;

HRZ – довжина кореня;

HRZ1 – довжина язикового кореня;

HRZ2 – довжина присінкового кореня;

NZ – висота відповідного зуба;

LGO_GN – довжина тіла нижньої щелепи зліва;
MD_K – мезіо-дистальний розмір коронки;
MD_S – мезіо-дистальний розмір шийки;
MF_MF – міжочномкова ширина (передня міжорбітальна ширина);
N_GN – морфологічна довжина обличчя;
N_I – відстань між назіон та міжрізцевою точкою;
N_PRN – довжина носа;
N_SN – висота носа;
N_STO – висота верхньої частини обличчя;
RGO_GN – довжина тіла нижньої щелепи справа;
SN_PRN – глибина носа;
TR_GN – фізіологічна довжина обличчя;
TR_N – висота лоба;
VO_K – присінково-язиковий розмір коронки;
VO_S – присінково-язиковий розмір шийки;
ZM_ZM – середня ширина обличчя;
ZY_ZY – ширина обличчя.

ВСТУП

Актуальність теми. Одним із сучасних напрямків медицини є знаходження індивідуального підходу до кожного пацієнта. Проте питання того як швидко, просто і оперативно досягнути цього в умовах прийому у лікаря лишається досі відкритим [26, 63, 68, 71, 72, 86, 168, 175, 202, 208, 212, 226, 244, 280]. Зокрема, така проблема виявлена і в стоматологічній практиці, коли пацієнти з однаковими захворюваннями чи дефектами зубощелепної системи мають абсолютно різний стоматологічний статус і, як наслідок, вимагають специфічного підходу, що змушує лікаря витратити додатковий час і сили на діагностику та лікування, а часом і на корекцію своїх же помилок [43, 123, 130, 163, 164, 177, 193, 213, 233, 235, 254, 262, 263, 272, 273].

На сучасному етапі розвитку щелепно-лицевої і реконструктивної хірургії необхідна деталізація вивчення індивідуальної анатомічної мінливості структурних елементів кутніх зубів, у тому числі їх коренів [29, 123, 242, 255]. Визначення ідеальних параметрів малих кутніх зубів залишається важким завданням через індивідуальні варіації та стертість з віком проксимальної поверхні зубів [129, 292]. Щоб отримати оптимальні функціонально-естетичні показники (природна індивідуальність) та попередити розвиток рецидиву в процесі ортодонтичного лікування, необхідне дотримання гармонійного співвідношення вестибулярно-оральних, мезіодистальних розмірів зубів, висоти і форми їх коронки [30, 43, 154, 159].

Для визначення коректних індивідуальних розмірів зубів лікарям була запропонована для використання математична теорема – «золотої перетину» [229]. Однак, згодом стало відомо, що для стоматології застосування золотої пропорції є занадто жорстким. До прикладу, за умови строгого її дотримання може спостерігатися надмірна вузькість щелепних дуг і стиснення бічних сегментів зубів [216, 289]. Саме тому, уточнена характе-

ристика питань вивчення одонтометричних показників має проводитись з урахуванням особливостей розмірів мозкового і лицьового відділів черепа, що дозволяє розробляти і впроваджувати в практику нові методи хірургічних маніпуляцій і правильно розуміти вимоги індивідуалізованої техніки протезування [9, 166]. Результати розрахунків також необхідно порівнювати з нормативами розмірів зубів, характерних для тієї чи іншої національності та етнічної групи. Зокрема, для кожного регіону повинні бути встановлені параметри фізіологічної норми, оскільки у різних народів існують певні особливості будови зубних рядів, щелеп, прикусу, а також суттєві відмінності у величині зубів [55, 74, 124].

Наразі в більшості регіонів України у корінного населення виявлено різну частоту поширеності та інтенсивності ураження стоматологічними захворюваннями малих кутніх зубів і їх коренів [40, 147]. Однак, дотепер не вивчені їх розмірні варіації у здорового населення України, пов'язані з його адаптивними реакціями і генетичним фоном. Тому, для підвищення ефективності ортодонтичного лікування необхідне поглиблене комплексне вивчення одонтологічного типу у представників різних адміністративно-територіальних регіонів України з урахуванням історично сформованих генетичних особливостей будови зубощелепної системи у взаємозв'язку з параметрами краніо-фаціального комплексу.

Зв'язок роботи з науковими програмами, планами, темами. Тема дисертації затверджена вченою радою медичних факультетів №1 та №2 Вінницького національного медичного університету ім. М. І. Пирогова (протокол № 2 від 12.11.2015 року) та проблемною комісією МОЗ і НАМН України «Морфологія людини» (протокол № 10/1 від 01.10.2015 року). Дослідження зареєстровано як ініціативна наукова тематика, що виконується у Вінницькому національному медичному університеті ім. М. І. Пирогова «Комп'ютерно-томографічні розміри малих кутніх зубів у практично здорових чоловіків із різних регіонів України та їх зв'язок із показникам кефалометрії» (№ державної реєстрації: 0118U003455).

Мета дослідження. Визначення у практично здорових чоловіків із різних адміністративно-територіальних регіонів України лінійних розмірів малих кутніх зубів (МКЗ), їх особливостей у представників різних краніотипів і типів обличчя та залежності цих розмірів від кефалометричних показників.

Для реалізації поставленої мети були вирішені наступні основні завдання:

1. Встановити особливості кефалометричних показників та розподілу краніотипів і типів обличчя серед практично здорових чоловіків першого зрілого віку із різних адміністративно-територіальних регіонів України.

2. Визначити регіональні відмінності комп'ютерно-томографічних (КТ) розмірів МКЗ у практично здорових чоловіків України першого зрілого віку.

3. Встановити відмінності КТ-розмірів МКЗ у практично здорових чоловіків України першого зрілого віку різних краніотипів.

4. Визначити відмінності КТ-розмірів МКЗ у практично здорових чоловіків України першого зрілого віку із різними типами обличчя.

5. Встановити особливості відмінностей КТ-розмірів МКЗ у практично здорових чоловіків центрального регіону України різних краніотипів і типів обличчя.

6. Розробити, за допомогою регресійного аналізу, моделі належних індивідуальних лінійних КТ-розмірів МКЗ у залежності від кефалометричних показників практично здорових чоловіків із різних адміністративно-територіальних регіонів України.

Об'єкт дослідження – залежність лінійних розмірів МКЗ від регіону проживання, краніотипу і типу обличчя.

Предмет дослідження – особливості лінійних КТ-розмірів МКЗ у практично здорових чоловіків із різних адміністративно-територіальних регіонів України та в залежності від форми голови і типу обличчя.

Методи дослідження: комп'ютерно-томографічні одонтометричні –

для визначення – для визначення лінійних КТ-розмірів МКЗ; кефалометричні – для встановлення форми голови та типу обличчя; статистичні – для обґрунтування об'єктивності отриманих результатів.

Наукова новизна одержаних результатів. Уперше встановлені регіональні відмінності КТ-розмірів МКЗ у практично здорових чоловіків (у більшості випадків більші значення присінково-язикових розмірів у чоловіків північного регіону України, ніж у представників південного, західного і східного регіонів, а у представників центрального регіону більші, ніж у чоловіків південного і східного регіонів; та для висоти коронок МКЗ нижньої щелепи, які менші у чоловіків південного регіону, ніж у представників північного, центрального, західного і східного регіонів).

Уперше у практично здорових чоловіків різних краніотипів встановлені відмінності КТ-розмірів МКЗ (у доліхоцефалів у більшості випадків менші значення присінково-язикових розмірів і висоти коронки зубів, ніж у брахіцефалів і гіпербрахіцефалів; а у мезоцефалів – менші значення мезіо-дистального розміру шийки зубів, ніж у брахіцефалів і гіпербрахіцефалів). У чоловіків із різним типом обличчя лише на верхній щелепі встановлені відмінності КТ-розмірів МКЗ (у більшості випадків у чоловіків із середнім типом обличчя більші значення висоти зубів та довжини язикового кореня правого другого зуба, ніж у представників із іншими типами обличчя).

Уперше у практично здорових чоловіків центрального регіону України різних краніотипів встановлені відмінності КТ-розмірів МКЗ (на верхній щелепі у брахіцефалів більші значення мезіо-дистальних та присінково-язикових розмірів перших зубів, ніж у мезоцефалів, та у гіпербрахіцефалів більші значення присінково-язикових розмірів других зубів, ніж у доліхоцефалів і мезоцефалів; а на нижній щелепі – у брахіцефалів більші значення мезіо-дистальних та присінково-язикових розмірів зубів, ніж у мезоцефалів і доліхоцефалів та у гіпербрахіцефалів більші значення, ніж у мезоцефалів). У чоловіків центрального регіону України з різним типом обличчя найбільш виражені відмінності КТ-розмірів МКЗ встановлені лише на верхній щелепі

(у чоловіків із середнім типом обличчя більші значення висоти зубів, ніж у представників із іншими типами обличчя, а також довжини язикового і присінкового коренів зубів більші значення, ніж у представників із широким та вузьким типами обличчя).

Разом із О. О. Коцюрою у практично здорових чоловіків із різних адміністративно-територіальних регіонів України вперше встановлені особливості кефалометричних показників та підтверджені процеси брахіцефалізації і граціалізації населення.

Уперше у практично здорових чоловіків із різних регіонів України в розроблених достовірних регресійних моделях (з коефіцієнтом детермінації R^2 більшим, ніж 0,5) індивідуальних лінійних розмірів МКЗ у залежності від особливостей кефалометричних показників та типу голови і обличчя встановлено відсотки їх входження до даних моделей.

Практичне значення одержаних результатів. Встановлені межі процентильного розмаху КТ-розмірів МКЗ у практично здорових чоловіків із різних адміністративно-територіальних регіонів України, різних краніотипів та типів обличчя, представників центрального регіону України різних краніотипів та типів обличчя, а також побудовані регресійні моделі лінійних розмірів МКЗ в залежності від особливостей кефалометричних показників, краніотипу і типу обличчя чоловіків із різних регіонів України дозволять покращити діагностику і лікування ортодонтичної патології.

Результати досліджень використовують в лекційних курсах та в ході проведення практичних занять на кафедрах: анатомії людини і ортопедичної стоматології Вінницького національного медичного університету ім. М. І. Пирогова; анатомії людини Національного медичного університету імені О.О. Богомольця; нормальної анатомії Львівського національного медичного університету імені Данила Галицького; анатомії людини Одеського національного медичного університету; анатомії людини ДВНЗ «Тернопільський державний медичний університет імені І.Я. Горбачевського МОЗ України».

Особистий внесок здобувача. Автором самостійно проведено патент-

но-інформаційний пошук, проаналізовано наукову літературу за темою дисертації, здійснено розробку основних теоретичних та практичних положень проведеного дослідження. Самостійно проведено одонтометрію МКЗ, статистичну обробку отриманих результатів з наступною побудовою таблиць додатків, написаний аналітичний огляд літератури і усі розділи власних досліджень. Разом з науковим керівником проведено аналіз результатів проведеного дослідження і сформульовані висновки. У сумісних з науковим керівником та колегами публікаціях автору належать основні результати стосовно особливостей КТ-розмірів МКЗ у практично здорових чоловіків із різних адміністративно-територіальних регіонів України, різних краніотипів та типів обличчя, представників центрального регіону України різних краніотипів та типів обличчя, а також побудованих на основі регіональних особливостей зв'язків одонтометричних і кефалометричних показників регресійних моделей індивідуальних лінійних розмірів МКЗ. Первинні кефалометричні показники і розраховані за їх значеннями краніотипи і типи обличчя практично здорових чоловіків із різних регіонів України отримані сумісно з асистентом кафедри ортопедичної стоматології Вінницького національного медичного університету ім. М. І. Пирогова О. О. Коцюрою.

Апробація результатів дисертації. Основні положення роботи викладені та обговорені на науково-практичній конференції «Інноваційні технології в стоматології» (Тернопіль, 2016); науково-практичній конференції з міжнародною участю присвяченої 60-ти річчю ДВНЗ «Тернопільський державний медичний університет імені І. Я. Горбачевського МОЗ України» (Тернопіль, 2017); науково-практичній конференції «Прикладні аспекти морфології» присвяченої пам'яті професорів-морфологів Г. В. Терентьєва, О. Ю. Роменського, Б. Й. Когана, П. П. Шапаренка, С. П. Жученка (Вінниця, 2017); міжнародній науково-практичній конференції «Світова медицина: сучасні тенденції та фактори розвитку» (Львів, 2018); міжнародній науково-практичній конференції «Перспективні напрями розвитку сучасних медичних та фармацевтичних наук» (Дніпро, 2018).

Публікації. За матеріалами дисертації опубліковано 17 наукових праць (з них 8 – самостійних). 11 статей опубліковані в фахових наукових виданнях (з них 4 статті – в журналах, що включені до міжнародних наукометричних баз, у тому числі 2 – до наукометричної бази Web of Science). 1 стаття опублікована в закордонному науковому журналі (Польща), що входить до наукометричної бази Scopus.

Структура та обсяг дисертації. Дисертація представлена українською мовою на 296 сторінках (з яких 120 сторінок залікового машинописного тексту) і складається з анотації, змісту, переліку умовних позначень, символів, одиниць, скорочень та термінів, вступу, огляду літератури, загальної методики й основних методів дослідження, трьох розділів власних досліджень, аналізу й узагальнення результатів дослідження, висновків, списку використаних літературних джерел, з яких 156 викладені кирилицею і 140 – латиницею, а також шести додатків. Дисертація ілюстрована 53 рисунками і 65 таблицями.

РОЗДІЛ 1

ОГЛЯД ЛІТЕРАТУРИ

1.1. Анатомічні та фізіологічні особливості малих кутніх зубів. Методи їх дослідження

Зуби є органами ротової порожнини хребетних тварин, що виконують численні функції, зокрема захват, утримання, розкусування і пережовування їжі, а у людей приймають участь в процесі мовлення [1, 2, 87, 122].

Розташовані вони в альвеолярному відростку верхньої щелепи та альвеолярній частині нижньої щелепи. Для деяких типів хребетних тварин характерний монофіодонтизм (зуби постійні), для інших – поліфіодонтизм (зуби часто змінюються) та діфіодонтизм (є молочні та постійні зуби). Останній тип характерний для більшості тварин, зокрема і для людини [1, 3, 4, 36].

Серед анатомічних складових зуба виділяють: коронку зуба, корінь зуба, шийку зуба. Коронкою зуба називають ту його частину, що виступає над яснами. Шийку зуба поділяють на клінічну і анатомічну. Клінічна шийка зуба відповідає краю ясна, в той час як анатомічна є місцем переходу емалі в зубний цемент. З часом спостерігаються такі вікові зміни як зміщення клінічної шийки в бік верхівки кореня, а анатомічна шийка зміщується в бік коронки зуба (дані процеси відбуваються за рахунок атрофії ясен та стоншення емалі зуба відповідно). Кореням зуба називають ту його частину, що знаходиться в альвеолі і вкрита яснами. Також окремо серед анатомічних структур можна назвати порожнину зуба. В середині порожнини зуба виділяють пульпову камеру та канал зуба [15, 36, 69, 93, 137, 138].

Іннервація та кровопостачання зуба відбуваються через апікальний отвір, що знаходиться на верхівці кореня. Через даний отвір проходять ар-

терії, вени, лімфатичні судини та нервові волокна [19, 92, 266].

Корені зубів вкриті спеціальною фіброзною, сильно васкуляризованою (на відміну від інших зв'язкових апаратів тіла людини) сполучною тканиною – періодонтом, який фактично фіксує зуб в альвеолах верхньої та нижньої щелеп і також зазнає вікових змін (з віком товщина стає менше 0.2 мм). Основою періодонту є колагени типу I і, в меншій мірі, III [23, 78].

Гістологічно зуб складається з таких тканин як зубна емаль, дентин, зубний цемент і пульпа зуба, що мають різну біохімічну складову, яка відповідає функціональним призначенням кожної з частин. Емаль, дентин та зубний цемент формують кальцифіковані шари зуба, в той час як порожнина зуба заповнена пульпою з якою контактує дентин. Емаль же вкриває виступаючу частину зуба а зубний цемент вкриває сховану в альвеолярні комірки частину зуба [27, 78, 131].

Вміст води в різних елементах зуба проявляється по-різному. Так найбільші відсоткові її значення в пульпі зуба (від 30 до 40%), а найменші в емалі зуба (близько 2%). Аналогічна картина з органічними сполуками – найбільші значення в пульпі зуба (близько 40%) і найменші в емалі (близько 1%). У випадку з неорганічними сполуками ситуація складається навпаки – найменший їх вміст в пульпі зуба (близько 20-30%) і найбільший в емалі (до 96%) [28, 113].

Якщо взяти до уваги біохімічний склад неорганічних складових – більшу частину складатиме кальцій та фосфор (близько 30% та 17% відповідно), і невеликі відсоткові значення будуть у магнію, натрію, калію та фтору (менше 1%). Серед органічних складових компонентів необхідно виділити білки, вуглеводи, жири, вітаміни, ферменти тощо [36, 37, 113].

Емаль складає близько 20-25% усієї зубної тканини, її товщина сягає від 1,0 до 3,5 мм. Основною структурною складовою емалі є емалева призма, що складається з кристалів гідроксіапатиту. Дентин зуба є безклітинною, безсудинною і найбільшою складовою зуба і складається з мінералізованої міжклітинної речовини з численними дентиновими каналами. Мінера-

льну основу дентину складають кристали апатитів. На відміну від дентину – пульпа є високоваскуляризованою частиною зуба, яка займає пульпову камеру і має іннервацію. Складається вона з одонтобластів, фібробластів, дендритових клітин тощо і міжклітинної речовини. Пульпа зуба виконує такі важливі функції як утворення дентину, забезпечення кровопостачання коронки і кореня зуба, проводить необхідну сенсорну інформацію [57, 119, 128].

Серед основних захворювань зубів виділяють карієс, періодонтит, пародонтит, пульпіт зубів тощо [38, 115].

Розвиток зубів у людини починається з 7 тижня внутрішньоутробного розвитку, коли в області альвеолярних відростків виникає потовщення епітелію, що потім утворює пластинку, яка є основою зародку зубів [18, 132, 134, 230].

За своїми функціями та особливостями будови зуби поділяють на 4 типи: різці (мають функцію захоплення і розрізання їжі; зубна формула – I 2/2), ікла (розривання і утримання їжі; зубна формула – C 1/1), малі (премоляри; зубна формула – P 2/2) та великі (моляри; зубна формула – M 3/3) кутні зуби (служать для перетирання їжі) [36, 169, 265].

Відомо, що кожний з 32 зубів має певні особливості своєї будови, що обумовлено їх розташуванням в ротовій порожнині та спеціальними функціями, що вони виконують. Незважаючи на те, що головною функцією МКЗ є перетирання їжі, усі вони відрізняються за своєю будовою [10, 61, 85, 112, 236].

Так, перший МКЗ верхньої щелепи має коронку призматичної форми, язикова та щічна поверхні його мають опуклу форму; вестибулярна поверхня переважає над піднебінною і має вертикальний, невеликий за розміром вертикальний валик. На жувальній поверхні спостерігаються щічний і піднебінні горбки (останній менший за розміром). Між даними горбками проходить борозна у передньо-задньому напрямку, яка закінчується емалевими валиками. Контактні поверхні зуба прямокутної форми; передня поверхня

менш опукла ніж задня. На жувальній поверхні букального горбка є два схили (з них більш вираженим є передній). Корінь в більшості випадків роздвоєний (має щічний і піднебінний відростки); форма кореня сплюснена, має повздовжні глибокі борозни на бічних поверхнях [61, 85, 222].

Серед особливостей будови першого МКЗ нижньої щелепи варто відмітити такі як: опукла форма коронки вестибулярної поверхні зуба, яка переважає лінгвальну і має широкий повздовжній валик; жувальна поверхня має два горбки, менша ніж щічна. На бічних поверхнях валика, що з'єднує горбки є ямки; корінь у даного зуба один, він прямий, має овальну форму і злегка сплюснутий з боків [61, 85, 222].

Другий МКЗ верхньої щелепи має коронку призматичної форми; жувальна поверхня має два горбки (щічний і піднебінний, останній менший за розмірами) які розділені поперечною борозною по центрі жувальної поверхні і більша ніж піднебінна. Піднебінна поверхня має повздовжній валик і більш опукла. Корінь зазвичай один (роздвоєння зустрічається приблизно в 15% випадків), має конусовидну форму і стиснутий у передньо-задньому напрямку; має бічні широкі поверхні з неглибокими поздовжніми борознами [61, 85, 222].

Особливостями другого МКЗ нижньої щелепи є те, що він більший ніж перший малий кутній зуб, його вестибулярна поверхня має широкий повздовжній валик і опуклу поверхню; лінгвальна поверхня має більший розмір і добре виражений язиковий бугор та два горби, що мають схожі розміри і розділені емалевим валиком з ямками на латеральних поверхнях. Валик відділений від граней зуба підковоподібною борозною. Іноді, дана борозна має додаткову борозну, яка ділить язиковий бугор на два і таким чином даний зуб стає тригорбковим. Корінь у даного зуба один, він має конусовидну форму, сплюснений і на латеральних поверхнях і практично не має борозни [61, 85, 222].

Сучасний рівень науково-технічного прогресу дозволив створити численні методи дослідження зубів, зокрема як їх морфометричних характерис-

тик (форма, структура, розміри тощо) так і біохімічної будови, їх чутливості і здатності до навантажень [60, 65, 66, 139, 190, 290].

Проте, неможливо не згадати найбільш старий але важливий, простий і поширений метод дослідження зуба *ad oculos* – одонтоскопію. Даний метод включає в себе візуальний огляд зуба з подальшим описом зуба в межах лінгвальної, оклюзійної і апроксимальної норм, вестибулярної норми. Відмічають форму структур зуба (поверхня зуба, горбики зуба), кількість морфологічних структур – валиків, фігур тощо, якісні особливості структур зуба (розщеплення горбиків та валиків), просторове розташування структур (локалізація горбиків, направленість фігур, розташування гребінців, направленість випуклості емально-цементної межі), взаємне розташування структур (відношення одне до одного крайових гребінців, горбиків, корінців), величина або ступінь прояву різноманітних морфологічних структур зуба та рельєф поверхні (наявність виступаючих частин та заглиблень на коронці та корені зуба [79, 154, 157, 190].

Також не варто забувати про одонтометрію зуба. Її здійснюють шляхом вимірювання різноманітних розмірів зуба. Серед головних одонтометричних показників необхідно виділити – висоту зуба, висоту та діаметр коронки, довжину коренів зуба, діаметр шийки зуба, ступінь прояву кривизни емально-цементної межі [65, 66, 94, 201].

Серед інструментальних методів дослідження першу сходинку впевнено зберігають рентгенографічні методи дослідження. Серед них поширення набув метод панорамної рентгенографії – коли на одному зображенні прослідковується стан зубного ряду верхньої та нижньої щелепи. Також не менш поширеним є метод томографії, під час якої можливо провести тривимірну реконструкцію щелепно-лицьової системи і визначити форму, розміри і стан зубів пацієнта, верхньощелепних пазух та інших структур. Метод ортопантомографії дозволяє виконувати панорамний знімок всіх зубів верхньої та нижньої щелепи за рахунок того що рентгенівські промені проходять перпендикулярно до осі зуба і таким чином можна прослідкувати

кількість зубів у пацієнта та їх взаємне розташування відносно одне одного [60, 65, 80, 91, 94, 210, 243].

Фотоодонтографію використовують для виявлення ступені кровонаповнення зуба, шляхом просвічування його різними джерелами світла і реєстрації показників різними електронно-оптичними приладами. Реодентографія застосовується для аналогічних цілей, але базується вона на реєстрації електричного опору тканин при пропусканні через них току високої частоти [65, 66, 95].

Дрібні мікротріщини та інші дефекти емалі добре візуалізуються при просвічуванні зуба спеціальними електролампами та лазерами. Проте, більш точні дані і краще уявлення про розташування зубів та їх морфометричні особливості наразі може дати комп'ютерна томографія зубів [65, 66, 95].

Тести Мюлемана і CRT-тест використовують для виявлення резистентних властивостей емалі. Для цього використовують демінералізуючий розчин з кислотно-основним індикатором. Зміна кольору індикатора буде вказувати на ступінь розчинення емалі зуба [65, 66, 105].

Також для дослідження адаптаційних та компенсаторних можливостей зуба використовують різноманітні функціональні проби з використанням різних речовин (теплові та холодкові речовини, хімічні речовини тощо) [65, 66].

1.2. Етнічні та регіональні особливості кефалометричних та одонтометричних показників

Кефалометрія та одонтометрія є галузями антропології, що займаються вимірами розмірів голови та елементів зубної системи і використовуються для розширення знань в етнічній антропології.

Значимість даних методів для відстеження багатовікових процесів мі-

грацій та еволюції людини обумовлена не тільки тим, що кістки черепа та зубно-щелепний апарат добре зберігаються, і можуть бути використані при дослідженні померлих осіб та стародавніх поховань, але і легкодоступністю дослідження даних структур у живих осіб як зі застосуванням допоміжних технічних засобів (наприклад рентгенографічні методи дослідження) так і простими підручними засобами (одонтоскопія, вимір обводів голови лінійкою, циркулем тощо) [185, 214, 260, 289, 294].

Дослідження кефалометричних та одонтометричних показників, зокрема, активно і протягом довгого часу використовується для ідентифікації невідомих осіб, визначення віку, статі [174, 182, 186, 211, 241, 250, 268].

Проте, необхідно окремо виділити категорію робіт, що активно проводяться протягом останнього десятиліття, які ставлять за мету дослідження регіональних (адже не варто забувати про вплив таких зовнішніх факторів як екологічна ситуація, хімічний склад води, продуктів харчування, радіаційний фон тощо) та етнічних особливостей даних показників [90, 114, 116, 127, 133, 232, 256].

Так, наприклад, Назарук Р.М. вивчав показники мікрокристалізації слини в дітей з різних регіонів Прикарпаття. Дослідження проводилося за участі 150 дітей у віці від 6 до 12 років, що проживали в різних регіонах Івано-Франківської області. Виявлено, що в слині школярів з екологічно чистих регіонів переважають кристали II типу, а в дітей, що проживають в регіонах з підвищеним вмістом важких металів – типу III. Відповідно виявлено предиктори для порушення гомеостазу емалі зубів, що в свою чергу змінює відсоткове співвідношення захворювання карієсом в різних регіонах [89].

Схожу роботу виконав Петрунів В. Б. [107]. Проведено стоматологічне дослідження у 2050 дітей у віці від 6 до 15 років, з них – 752 проживали на радіаційно забруднених територіях, 748 в хімічно забруднених територіях. Контрольна група – 505 дітей, що проживали в незабруднених районах. Виявлено, що у дітей, що проживають в забруднених регіонах показники

уразеності карієсом значно вищі ніж у дітей, що проживають в незабруднених регіонах.

І. В. Задорожна та ін. [52, 53] дослідили регіональні особливості структурно-функціонального стану кісткової тканини і рівня захворюваності карієсу серед 510 дітей (сумарно під час всіх досліджень) у віці від 12 до 15 років, що проживали на забруднених територіях, та регіонах з дефіцитом фтору. Стан кісткової тканини визначали за допомогою ультразвукового денситометра Sahara ("Hologic", США). Виявлено порушення процесів мінералізації кісток та підвищений рівень захворюваності карієсом в ділянках фтор дефіциту і забруднених промислових регіонах. При обстеженні дітей в різних регіонах Прикарпаття з недостатністю вітаміну Д виявлено негативний кореляційний зв'язок між рівнем вітаміну в сироватці крові та показниками захворюваності на карієс [54].

Порівняння стану тканин пародонта в різних регіонах Полтавської області було проведено Каськовою Л. Ф. та ін. [62]. Дослід проведений в регіонах з оптимальним вмістом фтору у воді і високим. Для оцінки стану тканин пародонту використовували індекс РМА, а також гінгівальний (GI) та комплексний пародонтальний індекси (КПІ). Виявлено, що з підвищенням рівню фтору у питній воді підвищується тяжкість перебігу гінгівіту.

Н. С. Гутор [39] виявив у своїй роботі підвищений рівень аномалій вудечки верхньої губи і надкомплектного зуба в певних регіонах Тернопільської області при дослідженні 70 дітей у віці від 6 до 13 років. Виявлена підвищена частота даних аномалій в радіаційно неблагоприємних зонах, особливо в місті Чортків.

Дослідження стоматологічного статусу дітей в різних кліматичних і географічних регіонах Івано-Франківської області було проведено Окситюком Ю. В. та Рожко М. М. [96]. Аналіз даних, отриманих при обстеженні 2551 дитини показав, що жителі передгірських і гірських місцевостей мають гірші показники, ніж жителі рівнинної зони.

Групою вчених проведено дослідження з метою виявити взає-

мозв'язки між формою зубів і обличчя серед жителів Саудівської Аравії. В експерименті приймало участь 94 чоловіки у віці від 18 до 35 років. Результати показали, що найбільш поширеним був квадратний звужений тип обличчя і зубів (49,65% і 56,38% відповідно). В 31,41% виявлено зв'язок великої сили, 35,31% помірної сили, 19,68% слабкої сили і в 13,65% відсутність будь-яких зв'язків. Нажаль, дане дослідження не дало змоги виявити чіткі співвідношення між формою обличчя і зубів [200].

Порівняльний аналіз профілю м'яких тканин обличчя жителів Саудівської Аравії з показниками європейців і американців проведено AlBarakati [160] на 61 піддослідному (31 чоловік і 30 жінок, середній вік яких складав 23 роки), яким виконували латеральну цефалометричну рентгенограму. Виявлено специфічні ознаки обличчя для жінок і чоловіків саудитів, та значні розбіжності з представниками європейських і американських національностей, що може бути використано в подальшому для покращення надання ортодонтичної і ортогнатичної медичної допомоги.

Виявлення особливостей лінії посмішки та форми зубів серед субпопуляцій Саудівської Аравії було виконано групою аравійських вчених. Для дослідження були відібрані 315 осіб, етнічних аравійців у яких вивчали морфологію зубів, стан ясен, лінію посмішки. Виявлено зв'язки між формою зубів, лінією посмішки і типом ясен [162].

Індійськими вченими досліджено взаємозв'язок між особливостями верхнього різця та антропометричними показниками обличчя. Досліджено 50 гіпсових моделей і 100 телерадіографій, отриманих у 50 осіб, етнічних жителів Індії. Зображення різців отримані за допомогою тривимірного сканування. Зазначено, що вертикальні і горизонтальні розміри обличчя не можуть бути використані як орієнтир для визначення морфології різця [195].

Проведено дослідження на курдському населенні з метою виявити залежність між параметрами ширини зубів верхньої щелепи та шириною обличчя. Метою роботи було створення принципів для роботи стоматологів щодо гармонізації обличчя у представників даної національності. Для цього

було відібрано 65 студентів стоматологічних факультетів курдської національності, яким вимірювали міжпапілярну відстань, внутрішню канальну відстань, ширину центральних різців, мезіодистальну ширину. Виявлено значні кореляції щодо досліджуваних показників [161].

Групою науковців досліджено особливості передніх зубів верхньої щелепи серед населення Китаю. Досліджено морфологічні особливості даних зубів у 101 особи. Результати обробки даних показали, що відношення ширини до висоти для центрального різця, латерального різця та ікла становили 87,75 % (SD = 8,31 %), 84,02 % (SD = 7,74 %) і 86,99 % (SD = 7,80 %) відповідно [296].

Вчені з Йорданії провели дослідження направлені на виявлення взаємозв'язків між контурами обличчя, верхньощелепним центральним різцем та верхньощелепною дугою серед дорослого населення Йорданії за допомогою аналізу Фур'є, що в подальшому може бути використано для визначення правильної форми штучних зубів і штучних протезів для етнічного населення. В експерименті були задіяні 200 осіб (100 чоловіків та 100 жінок у віці від 22 до 28 років) у яких відібрані фронтальні стандартизовані фотографії зубної дуги і використовуючи програмне забезпечення формату Фур'є був проведений гармонічний аналіз. Сильніший зв'язок між досліджуваними параметрами було виявлено для осіб чоловічої статі. Виявлені кількісні зв'язки між формою обличчя та зубами [276].

Виявити взаємозв'язок між шириною бізигмата та розмірами верхньощелепних передніх зубів серед сенегальців, було поставлено за мету групою вчених. Результати досліджу допомогли б покращити естетичні результати протезування зубів для даного контингенту населення. Дослідження проводилося серед молодих сенегальських чорношкірих осіб (621 взяло участь в дослідженні), набраних в армію. Вимірювання проводилося за допомогою антропометричного циркуля, порівняльний аналіз проводився за допомогою тесту Student. Результати обробки даних виявили позити-

вні кореляції між досліджуваними показниками – відстань між точками ікла корелювала з бізигомальною шириною [197].

Z. M. Isa та іншими науковцями [206] досліджено зв'язку між вимірами обличчя та ширини верхньощелепних передніх зубів за допомогою методів регресії для представників малайзійської та китайської етнічних груп населення (у дослідженні приймали участь дорослі особи у віці 18-36 років). Для дослідження відбиралися особи з добре розвинутими зубами верхньої щелепи і мінімальними їх потертостями. Вимірювалися міжпульпарна відстань, міжканальна відстань. Ширина шести передніх зубів верхньої щелепи попередньо відцифрувалася. Ширина центральних різців сильно корелювала з показниками міжпульпарної відстані ($r = 0,99$), тоді як ширина бічних різців та ікла сильно корелювалися з міжканальною відстанню та міжзубною шириною ($r = 0,99$ та $0,94$, відповідно).

Наведено результати дослідження оцінки взаємозв'язку між зубною формою верхньої щелепи та формою обличчя серед індійського населення, що проживає в Бапуджі [217]. Для цього було задіяні 79 чоловіків і 121 жінка у віці від 18 до 28 років етнічних індійців, яким, за допомогою стандартизованого методу визначали контурні форми обличчя та верхньощелепних різців. Кореляція більше 50% спостерігалася між формою зуба та формою обличчя за допомогою візуального методу, у порівнянні з 31,5% за методом Вільяма. Проте, так і не було чітко визначеної достовірної кореляції між зубною формою верхньощелепного центрального різця та обличчям серед досліджуваних чоловіків і жінок.

Е. С. Раціак та ін. [257] проведено порівняння ширини верхньощелепних зубів та розмірів обличчя серед трьох різних етнічних груп населення (афроамериканці, азіатська та біла раса людей). В дослідженні прийняло участь 360 учасників, серед них – 120 осіб азіатської етнічної групи, 120 – афроамериканської і 120 білої, яким проводили вимірювання шести верхньощелепних зубів – міжзубні відстані, міжканальні відстані, інтракомісурну ширину. Статистичний аналіз проводився за допомогою процедури

Kruskal-Wallis для порівняння параметрів обличчя та зубів серед досліджуваних трьох етнічних груп. Не виявлено жодних послідовних співвідношень між досліджуваними розмірами і мезіодистальних розмірів досліджуваних передніх 6 зубів серед представників усіх трьох етнічних груп. Проте виявлено кореляцію інтракомісурної ширини зубів та ширини центрального різця для осіб азіатської етнічної групи жіночої статі, шириною центральних різців. Специфічних пропорцій обличчя, що дозволили б передбачити ширину передніх зубів верхньої щелепи для представників досліджуваних етнічних груп не виявлено.

Т. Tsukiyaма та інші дослідники [285] провели порівняння коефіцієнтів ширини та довжини коронки зношених та незношених зубів серед представників азіатської та білої популяцій, аби виявити як впливає етнічна приналежність на одонтометричні показники. Дослідження проведено на 157 осіб азіатської раси та 142 представників білої раси, використовуючи обробку стандартизованих цифрових зображень екстрагованих зубів. Для дослідження були відібрані центральні різці, бокові різці, ікла та пре моляри. Статистична обробка проводилася з використанням методу Холмогорова-Смирнова. Виявлена суттєва різниця у співвідношеннях ширини/довжини всіх верхньощелепних передніх зубів як у азіатських так і білих представників рас. Виявлено, що етнічна приналежність впливає на співвідношення ширини/довжини для всіх 4 передніх щелепних зубів, особливо для представників азіатських рас.

Аналіз розмірів коронки передніх зубів та особливостей будови ясен у верхній щелепі серед корейських молодих осіб проведений групою вчених у 2017 році [281]. У дослідженні були задіяні 50 осіб у віці від 24 до 32 років, яким провели вимірювання довжини та ширини зубних рядів, виміряли товщину коронки та сосочків, вираховували співвідношення ширини мезіодистальної відстані до клінічної довжини зуба, ширини шийки зуба до клінічної довжини. Для класифікації форми передніх зубів використано метод К-кластеризації – виділено три групи форми зубів – конічні, яйцеподібні та

квадратні. Кореляційний аналіз Пірсона виконаний для аналізу співвідношення між формою зуба та папілярною висотою, аби продемонструвати співвідношення між формою зуба та морфологічними характеристиками ясен. Аналіз даних виявив, що середня довжина центральних різців становила 9,89 мм; мезіо-дистальна ширина 8,54 мм; а співвідношення ширини/довжини у становило 0,86. Найбільш частою формою зубів був овальний тип – зустрічався в 48% випадків, менша кількість – квадратного типу – 29% і 23% конічний тип. Отримані дані можуть бути використані клініцистами для кращих результатів.

Особливості одонтометричних показників вивчені Alam M. K. та ін. [159] серед населення Бангладешу. Відібрані відбитки 2892 зубів етнічного населення даної країни у віці від 18 до 24 років. Виміри включали в себе визначення усіх розмірів зубів. Виявлено певні особливості мезіодистальної ширини зубів, що можуть в подальшому використані для правильного планування лікування.

J. O. Eigbobo, E. O. Sote та F. A. Oredugba [189] дослідили популяцію нігерійських дітей з метою виявити варіанти розмірів коронок постійних зубів. Дослідники взяли до уваги той факт, що етнічні, гендерні та екологічні чинники впливають на форму і розміри зубів. Тому для дослідження було відібрано 400 здорових підлітків у віці від 12 до 15 років, етнічних жителів Нігерії, проведено вимірювання мезіодистальних і щічно-язикових розмірів зубів. Виявлено, що у чоловіків середні розміри зубів були більші ніж у жінок, за винятком середнього розміру зубця верхньощелепного другого МКЗ, що був більшим у дівчат ($p = 0,70$). Коефіцієнт варіації (CV) у середніх значеннях мезіодистальних і щічно-язикових розмірів складав від 5,02 для нижньощелепних перших молярів до 7,68 у верхньощелепних бокових різцях і від 5,38 до 11,07 у перших великих кутніх зубів верхньої щелепи та центральних різців нижньої щелепи, відповідно. Найменша мінливість в мезіодистальних розмірах була виявлена для верхньощелепних перших МКЗ у чоловіків (CV = 4,94) та перших молярів нижньої щелепи у жінок (CV = 4,88),

тоді як найвища мінливість спостерігалася у жінок у верхньощелепному МКЗ ($CV = 10,46$). При оцінці щічно-язикових вимірів першого великого кутнього зуба верхньої щелепи – виявлена меншою мірою варіабельність у представників обох статей ($CV = 5,22$ у чоловіків, $CV = 5,24$ жінок), тоді як для бокових різців верхньої щелепи виявлена більша варіабельність показників ($CV = 11,90$).

Шінкарук-Диковицькою проведені серії досліджень з приводу стану зубів у населення з різних регіонів України. Так, в одній з робіт вона дослідила показники відсутності зубів серед 410 здорових чоловіків, що проживали в різних адміністративно-територіальних регіонах України. Досліджено стан тканин пародонту, особливості засобів догляду за зубами, враховано медико-соціальні умови життя. Виявлено розбіжності між чоловіками Східного та інших (окрім Південного) регіонів України [143]. Також нею виконані роботи з дослідження стану зубів після терапевтичного лікування, частоти хронічного періодонтита, кістогранулем, кіст різців та ікол, виявлено регіональні та краніотипологічні відмінності кефалометричних розмірів (зокрема з різними типами обличчя) серед чоловіків з різних регіонів України [20, 144-146, 148, 149].

Як видно з наведених робіт, питання етнічних та регіональних особливостей антропометричних показників, зокрема, одонтометричних та кефалометричних і їх відношення одне до одного та з іншими антропометричними показниками, наприклад, дерматогліфічними [194] та масою тіла [187] цікавлять науковців в усьому світі – в літературних джерелах представлені роботи вчених з Європи, Близького Сходу, Азії та Америки, що вкотре підкреслює актуальність даної тематики [165, 167, 172, 178, 184, 219, 240, 249, 259, 261, 270, 279, 286, 295].

Індивідуалізація підходу до пацієнта в стоматології, враховуючи особливості рис його обличчя, стать, вік і етнічну приналежність є вірним ключем, що має забезпечити належну якість надання стоматологічної медичної допомоги населенню. Впровадження результатів даних методів дослідження

покращить та полегшить роботу ортодонтам, терапевтичним стоматологам, щелепно-лицевим хірургам та іншим категоріям професій [73, 183, 271, 275, 288, 293].

1.3. Використання одонтометричних та кефалометричних характеристик у сучасній стоматологічній діагностиці з метою покращення отриманих результатів та забезпечення їх довготривалого функціонування

Дослідження багатьох науковців [188, 224, 237, 255, 291] свідчать про необхідність віднесення пацієнта до певної конституціональної групи для коректного лікування різноманітної стоматологічної патології, що дозволить покращити естетичний результат роботи ортодонтів [67, 81, 83, 84, 106, 158, 173, 181, 207, 220, 238, 267, 274].

Так, Якимець А. В. [155], проведено клінічне дослідження зубощелепної системи в 97 осіб з вродженою адентією латеральних різців верхньої щелепи, з метою підбору правильного лікування (відповідно і відновлення функціональних і естетичних якостей) даної патології. Для цього було враховані такі одонтометричні характеристики як клас оклюзійних співвідношень за Енглеом, наявності односторонньої або двосторонньої відсутності зубів, деформацій, виду співвідношення щелеп у вертикальній площині, відповідності розмірів ікол і потенційно відсутніх латеральних різців, архітектоніка ясенного краю, відповідності кольору центральних різців та ікол. Отримані дані дозволять правильно сформулювати комплексну схему лікування осіб з даною патологією.

К. М. Лихота [76] провела оцінку оклюзійних співвідношень зубощелепної системи у пацієнтів із сагітальними аномаліями прикусу, використовуючи метод комп'ютерної оклюзіографії. Дослідження проводилося використовуючи комп'ютеризований аналізу оклюзії T-Scan III та електроміо-

графічне дослідження за допомогою комп'ютерного нейроелектроміографа M-Test. Отримані особливості зубів та м'язового апарату щелеп дозволять покращити підхід до лікування осіб з сагітальними аномаліями прикусу. Для дослідження мікротопографії зубних поверхонь в ортопедичній стоматології Бідою В. І. та ін. [16, 17] запропоновано використовувати профілометрію, що дозволяє отримувати інформацію про мікрошорсткості, рельєфу, наявності зношування, дефектів, тріщин та інших особливостей будови зубів. Також в одному з досліджень виявлено особливості одонтометричних показників при маргінальному пародонті опорних зубів під час використання штучних коронок.

Л. П. Сидоренко і З. Р. Ожоган [120, 121] проведено аналіз біометричних досліджень малих дефектів зубних рядів у випадку наявності вторинних зубо-щелепних деформацій. Отримані дані свідчать про те, що відстань від центру медіальної апроксимальної поверхні до центру дистальної апроксимальної поверхні в ділянці клінічних шийок зубів зменшується у разі деформацій, у порівнянні з показником без деформацій; спостерігається зменшення ширини коміркового відростка. Отримані дані можна застосувати при використанні мостоподібних протезів, імплантаціях тощо. Ще одна робота присвячена аналізу біометричних досліджень малих дефектів зубних рядів, проте без вторинних зубо-щелепних деформацій. Використані ротові та позаротові методи дослідження зубів та отримані показники розмірів малих дефектів зубних рядів, що в подальшому оброблялися за допомогою статистичних програм. Проведено порівняння з результатами попередньої роботи, з метою розроблення комплексу лікувальних заходів. В подальшому результати роботи допоможуть планувати ортопедичні лікування і зможуть попередити прогресування деформацій і з їх негативним впливом на зубо-щелепну систему, що покращить трофічний стан пародонту, роботу нижньощелепного суглобу і попередить розлади роботи жувальних м'язів.

Дослідження біометричних показників зубів показало невідповідність

сагітальних та трансверзальних розмірів зубних рядів у понад 90 % пацієнтів з такою аномалією як ретенція зубів [108].

О. С. Барило, Р. Л. Фурман та П. О. Кравчук [11] досліджено соматотипічні особливості обличчя та зубо-щелепної системи серед 106 осіб з переломами щелеп та оцінка гігієнічного стану ротової порожнини у даних піддослідних. Виявлена неоднорідність погіршення стану гігієни ротової порожнини – найбільші порушення виявлені в осіб з прогнатичним прикусом, в той час як в осіб з прогенічним прикусом дані порушення носять найменш виражений характер. Кращий стан гігієни порожнини рота виявлено в осіб, що мають ортогнатичний і прямий прикус. Окрім того виявлено, що на стан гігієни впливають також розміри щелеп, висота зубів, глибина присінка носа, вид прикусу та інші одонтометричні і кефалометричні показники, опосередковано тим чином, що впливають на висоту тримання гачків шини, що використовується при лікуванні даної патології. Отримані дані можна застосовувати при підборі засобів гігієни для догляду за ротовою порожниною в осіб, що проходять лікування після перелому щелепи.

Ю. М. Воляк та З. Р. Ожоган [25] досліджено вплив, поширеність та етіологію зубощелепних аномалій на формування лицевого черепу. Актуальність роботи була обумовлена тим, що аномалії зубощелепного апарату посідають один з перших щаблів серед захворювань даного органокomплексу, а у випадку патології з боку суміжних систем (ЛОР органи) – частота ураження складає до 90%. З метою проведення дослідження виконані антропометричні і клінічні дослідження. Визначали стан твердих тканин зубів, пародонту, положення, форму, розміри зубів. У більшості пацієнтів з суміжними патологіями виявлялося порушення носового дихання.

Дослідження поверхонь коронок тимчасових великих кутніх зубів залежно від форми і розмірів фасеток стирання на їх апроксимальних поверхнях проведено Хоменко та іншими. Дослідним матеріалом послужили 76 тимчасових великих кутніх зубів, що були видалені за медичними показами. Розміри фасеток були розраховані за допомогою стереоскопічного мікрос-

копа. Також визначалася ступінь резорбції коренів зубів та аналізувалися форми фасеток стирання. В результаті обробки отриманих даних були визначені залежності розміру площі фасеток стирання апроксимальних поверхонь коронок тимчасових великих кутніх зубів від ступеня резорбції їх коренів а також від розташування у межах квадранта щелепи. Також виявлена залежність, згідно якої площі фасеток стирання зростають зі збільшенням терміну функціонування тимчасових великих кутніх зубів. Встановлено, що фасетки стирання переважно мають еліпсоподібну, бобоподібну та овальну форму [136].

О. А. Кобцевою [64] виконано порівняльний аналіз та оцінку лицевого морфологічного індексу Ізара та величини кутів нижньої щелепи з метою діагностики типу щелепного росту. Виявлено пряму кореляційну залежність між шириною обличчя та типом росту щелеп ($r = 0,82$, $p < 0,001$). Як наслідок – запропоновано метод швидкої діагностики типу росту щелеп, що полегшить планування ортодонтичного лікування.

Г. П. Леоненко [75] досліджено аномалії форми і розмірів зубів в залежності від патології прикусу та їх розповсюдженість. В експерименті були задіяні 334 особи у віці від 17 до 30 років на яких було проведені антропометричні та клінічні методи дослідження з подальшою статистичною обробкою. Дослідження показали, що патології прикусу та патології окремих зубів у поєднанні з аномалією форми та розміру окремих зубів зустрічаються у поєднанні з дистальним, глибоким (22,6 % та 14,4% відповідно), скупченістю окремих зубів та, тремами у фронтальній ділянці верхньої щелепи (40,0 % та 30,9 % відповідно). Дане дослідження дозволить покращити лікування, шляхом створення оптимальних умов, хворих з аномаліями зубів.

Досліджено особливості вестибуло-орального нахилу верхньощелепних та нижньощелепних ікол з використанням комп'ютерної томографії. Для дослідження були відібрані 167 осіб (з них 56 чоловіків, середній вік яких склав 28,63 року \pm 11,99 років та 111 жінок, середній вік яких 29,72 року \pm 11,47 років) без проведених медичних маніпуляцій і нормальним

прикусом. Використовувалися методи обробки за допомогою тестів Колмогорова-Смирнова, U-Манн-Уїтні і Wilcoxon. Рівень статистичної значущості був встановлений при $p \leq 0,05$. Статистичні значущі відмінності були виявлені лише для верхньощелепних ікла та нижнього другого МКЗ. Жодних статистичних суттєвих відмінностей між станами не виявлено, крім асиметрії для осей корони для верхніх перших премолярів для чоловіків та жінок. Гендерних розбіжностей не виявлено. В подальшому дані можна використовувати з метою покращення естетичного стоматологічного лікування [204].

V. Paredes та ін. [258] розроблені нові рівняння регресії, що допоможуть спрогнозувати розміри зубів людини. З метою дослідження були оглянуті 359 підлітків іспанського походження. Їх зубні відростки вимірювали, використовуючи 2D комп'ютеризовану систему. Потім були розроблені стандартні рівняння регресії відповідно до прогностичних таблиць. Таблиці Moyers можуть бути справедливо застосовані тільки до 75% для нижньої щелепи як у чоловіків, так і у жінок, 85% у чоловіків та 90-92% у жінок.

M. Mucedero та ін. [242] досліджували взаємозв'язок між зміщеннями перших МКЗ та зміщеннями ікла на верхній щелепі. Дослідження проведено за участі 1247 осіб, яким проводили панорамні рентгенограми. Виявлено залежності між досліджуваними показниками.

Досліджено відмінності між коронально-кореневими кутами різців та відповідними кутами латеральних різців. Досліджено 100 пацієнтів, яким провели морфологічне дослідження латеральних різців на панорамних рентгенограмах. Виявлені одонтометричні дані дозволять правильно планувати стоматологічне лікування пацієнтів [209].

S. Chaushu, T. Becker та A. Becker [176] досліджено чинники, що можуть впливати на прогноз та лікування різців. В дослідженні були задіяні 60 пацієнтів, що поділили на групи: 26 чоловіків та 34 жінок віком від 7,0 до 21,9 років; 27 пацієнтів мали захворювання кореня зубів, 29 мали ураження

коронки зуба, а 4 мали захворювання з не уточненими причинами. Середня тривалість лікування склала $21,6 \pm 8,7$ місяця. Єдиним фактором, який значно збільшив тривалість, був висота ураженого зуба.

Морфометрична оцінка коренів великих кутніх зубів верхньої та нижньої щелепи, і вплив даних на тактику лікування було досліджено групою індійських вчених. В дослідженні були задіяні 200 осіб яким було виконано рентгенографічне дослідження зубів і результати поділені на 2 групи дослідження – окремо верхньощелепні та нижньощелепні великі кутні зуби. Досліджувалася товщина дентину. Визначені одонтометричні показники необхідні для коректного лікування. Статистичний аналіз проводився на рівні значущості 5%. Відстані між анатомічними точками та товщиною залишкового дентину показали суттєві відмінності при порівнянні двох груп ($p < 0,001$). Результати дослідження дозволять впровадити методики більш точного і ефективного лікування великих кутніх зубів верхньої та нижньої щелепи [251].

Оцінку розбіжностей розмірів зуба при використанні ручних і цифрових методів провела група вчених. З метою досягнення мети дослідження використані гіпсові моделі зубів які вимірювалися ручними методами та за допомогою сканера 3Shape R700T. Дані були статистично оцінені, використовуючи тест Фрідмана, і статистично значущих відмінностей між двома методами ($P > 0,05$) не виявлено, за винятком значень, виявлених за допомогою лінійного цифрового методу, який виявив незначну статистичну різницю [179].

У. Emes та ін. [191] провели вимірювання положення нижньої третини коренів великих кутніх зубів за допомогою комп'ютерної томографії. Досліджені 31 пацієнт (5 чоловіків та 26 жінок). Проведені виміри – відстань між коріннями зубів та товщина м'яких тканин. Середня відстань між верхівкою кореня, яка знаходиться в найбільш лінгвальному положенні, та лінгвальна кортикальна пластина становила 1,03 мм. Середня відстань між найбільш язиковою точкою в апікальній половині кореня, яка знаходиться в безпосе-

редній близькості, і лінгвальна кортикальна пластинка становила 0,65 мм. Висновком даного дослідження стало те, що відстань між верхівками та лінгвальною пластиною мала, що дозволяє переміщуватися зламаним корінням, особливо у випадку перфорації лінгвальних пластин. Дана інформація має допомогти в подальшому при проведенні оперативних стоматологічних втручань.

КТ-аналіз морфології кореневих каналів зубних щелеп був проведений Leoni G. B. та ін. [223]. Метою дослідження було уточнення одонтометричних характеристик центральних і латеральних різців. Дані статистично порівнювали за допомогою тесту Student. Середня довжина центральних і бокових різців нижньої щелепи становила 20,71 і 21,56 мм, відповідно. Більшість центральних (60%) і латеральних (74%) різців верхньої щелепи не мали додаткових каналів. В цілому, центральний і латеральний різці нижньої щелепи були подібними.

В. А. Mauad та ін. [234] дослідили особливості зміни розмірів нижніх зубних дуг і вирівнювання зубів у молодих людей без ортодонтичного лікування. Середній вік досліджуваних склав від 20,25 до 31,2 років. Вимірювалися одонтометричні показники. Отримані результати дозволили припустити, що дозрівання нижньої зубної дуги після поступового зростання призводить до зменшення розмірів зубних каменів. Вирівнювання зубів у третьому десятилітті життя неможливо передбачити, виходячи з тяжкості скупчення зубів наприкінці другого десятиліття життя.

Таким чином, провівши огляд літературних даних вітчизняних та іноземних досліджень, можна зробити висновок, що одонтометричні та кефалометричні дані широко використовуються з метою надання стоматологічної допомоги. Все нові результати досліджень впроваджуються в практику, збільшується кількість робіт, що мають за свою мету охопити більші категорії населення [45-48, 205, 231, 248, 278, 282, 287].

Дана тематика є перспективною та актуальною для подальших досліджень, і потребує більшого обсягу роботи і подальшого вивчення, з метою її

впровадження в стоматологічну практику.

Результати досліджень, які представлені у даному розділі дисертації, відображені в науковій статті у фаховому науковому журналі [150].

РОЗДІЛ 2

ЗАГАЛЬНА МЕТОДИКА Й ОСНОВНІ МЕТОДИ ДОСЛІДЖЕНЬ

2.1. Загальна методика і об'єкти дослідження

У результаті попереднього опитування колективом науковців (за допомогою скринінг-опитувальника [41]) більш ніж 3500 чоловіків віком від 22 до 35 років із різних регіонів України було відібрано 200 практично здорових чоловіків, у третьому поколінні мешканців різних адміністративно-територіальних регіонів зі сприятливими, помірно сприятливими і задовільними за екологічних умов проживання населення місцевостей України згідно досліджень Національного екологічного центру України (<http://superdom.ua/view/1454-e-kologi-cheskaya-karta-ukrainy-gde-luchshe-zhit.html>) (*північний регіон* – 32 мешканця з Житомирської, Київської, Чернігівської та Сумської областей; *південний регіон* – 33 мешканці з Одеської, Миколаївської, Херсонської, Запорізької областей та АР Крим; *центральний регіон* – 64 мешканці із Вінницької, Черкаської, Кіровоградської, Полтавської та Дніпропетровської областей; *західний регіон* – 36 мешканців із Волинської, Рівненської, Львівської, Чернівецької, Тернопільської, Хмельницької, Закарпатської та Івано-Франківської областей; *східний регіон* – 35 мешканців із Харківської, Донецької та Луганської областей). Усім їм провели кефалометричне (на базі кафедри стоматології дитячого віку і науково-дослідного центру Вінницького національного медичного університету ім. М. І. Пирогова) і комп'ютерно-томографічне (на базі приватної стоматологічної клініки «Вінінтермед ЛТД») дослідження.

Проведені М. М. Шінкарук-Диковицькою *соціально-гігієнічні* (відсутність відмінностей в характері праці та умовах проживання чоловіків; деякі поодинокі відмінності в характері їжі та пиття, що не мають системного

характеру; розбіжності в частоті відпочинку літом на морі, що обумовлені специфікою розташування регіонів відносно Чорного моря [140]) та *медико-соціологічні* (поодинокі відмінності показників використання засобів догляду за порожниною рота [141]) та суб'єктивної оцінки стану тканин пародонту [142]) *дослідження* вказують на високу однорідність вибірки соматично здорових чоловіків із різних адміністративно-територіальних регіонів України.

Комітетом з біоетики Вінницького національного медичного університету ім. М. І. Пирогова встановлено (протокол № 19 від 08.11.2012 р., протокол № 2 від 13.04.2018 р.), що проведені дослідження відповідають етичним і морально-правовим вимогам згідно наказу МОЗ України № 281 від 01.11.2000 р. та не суперечать основним біоетичним нормам Гельсінської декларації, Конвенції Ради Європи про права людини та біомедицину (1977).

2.2. Методи дослідження

2.2.1. Конусно-променева комп'ютерна томографія.

Конусно-променева комп'ютерна томографія проведена за допомогою дентального конусно-променевого томографа Veraviewerocs-3D (Morita, Японія). Об'єм тривимірного зображення – циліндр 8x8 см, товщина шару 0,2/0,125 мм, доза опромінення 0,011-0,048 мЗв, напруга та сила струму 60-90kV/2-10mA. Дослідження тривимірної моделі кісткових структур зубощелепного комплексу проводили в програмній оболонці i-Dixel One Volume Viewer (Ver.1.5.0, J Morita Mfg. Cor.).

2.2.1. Однотометрія.

На конусно-променевих комп'ютерних томограмах верхньої й нижньої щелеп у програмі OneVolumeViewer (J. P. Morita, Japan) за стандарт-

ною методикою, що враховує межу основи коронки або кореня відповідного зуба («лінія МОК» – поєднує по периметру точки найбільшої опуклості емалево-цементного з'єднання на присінковій і язиковій поверхнях зуба) [117] проводили вимірювання: висоти зуба (рис. 2.1); висоти коронки зуба (рис. 2.2); довжини язикового (рис. 2.3) і присінкового (рис. 2.4) коренів МКЗ

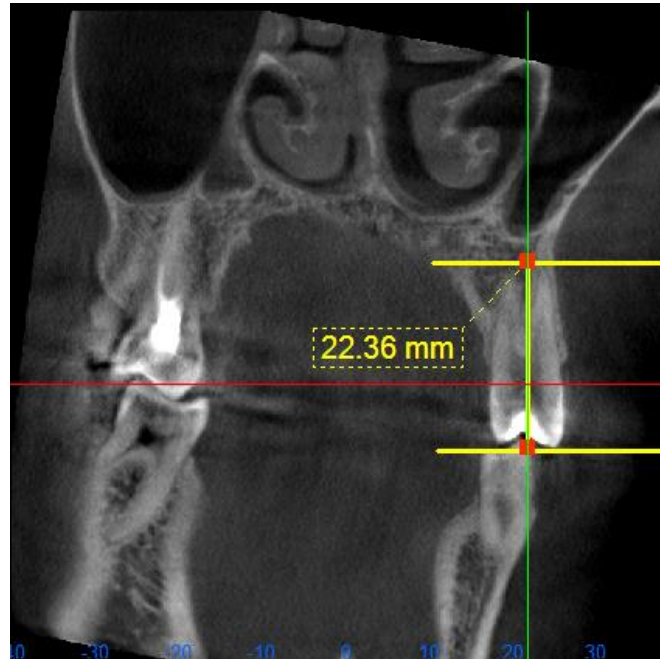


Рис. 2.1 Визначення висоти другого правого верхнього малого кутнього зуба.

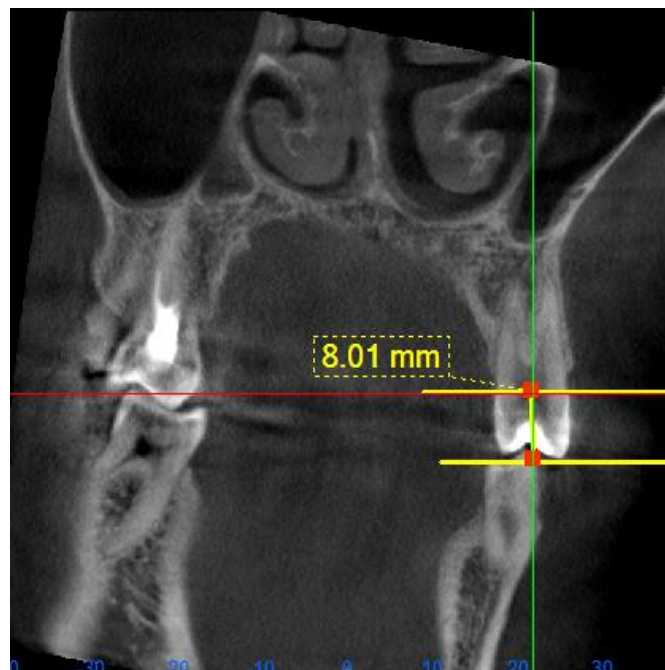


Рис. 2.2 Визначення висоти коронки другого правого верхнього малого кутнього зуба.

верхньої щелепи і довжини кореня МКЗ нижньої щелепи (рис. 2.5); присінково-язикових розмірів коронки і шийки зуба (рис. 2.6); мезіо-дистальних розмірів коронки і шийки зуба (рис. 2.7).



Рис. 2.3 Визначення довжини язикового кореня першого правого верхнього малого кутнього зуба.

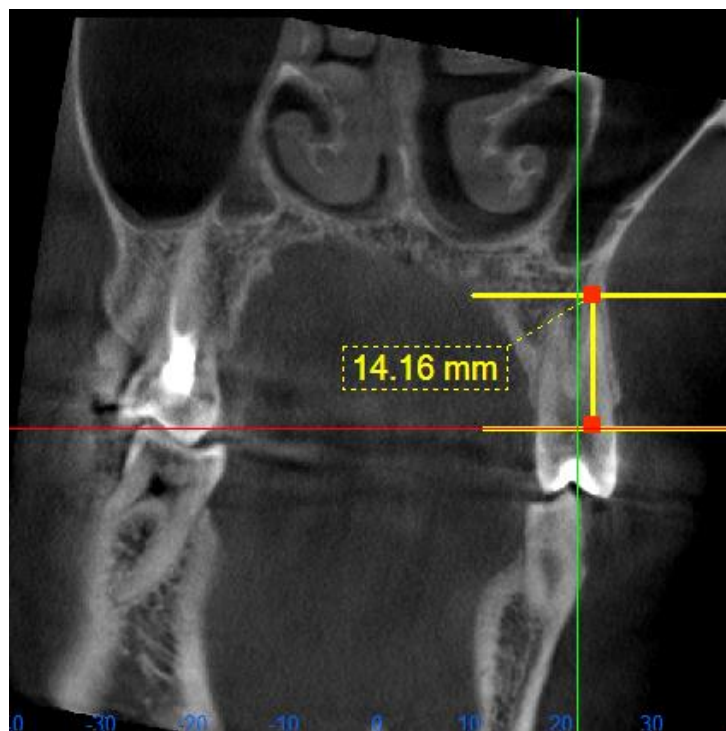


Рис. 2.4 Визначення довжини присінкового кореня першого правого верхнього малого кутнього зуба.

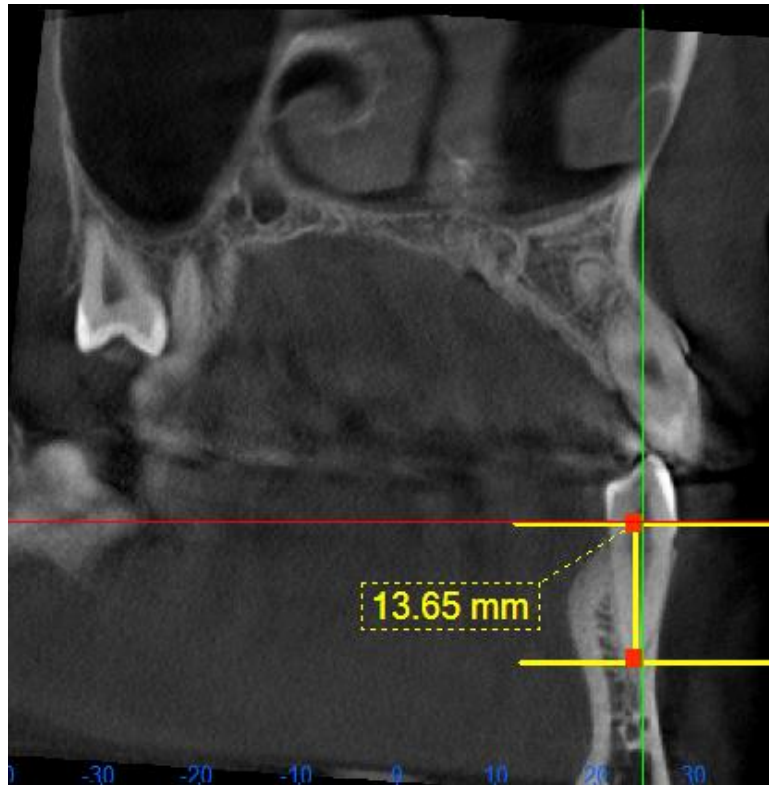


Рис. 2.5 Визначення довжини кореня першого правого нижнього малого кутнього зуба.

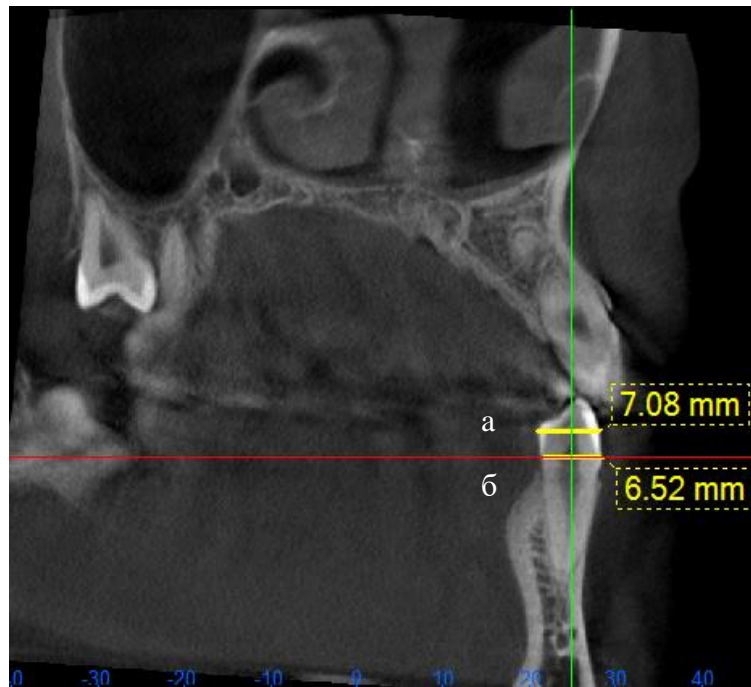


Рис. 2.6 Визначення присінково-язикового розміру коронки (а) і шийки (б) першого правого нижнього малого кутнього зуба.

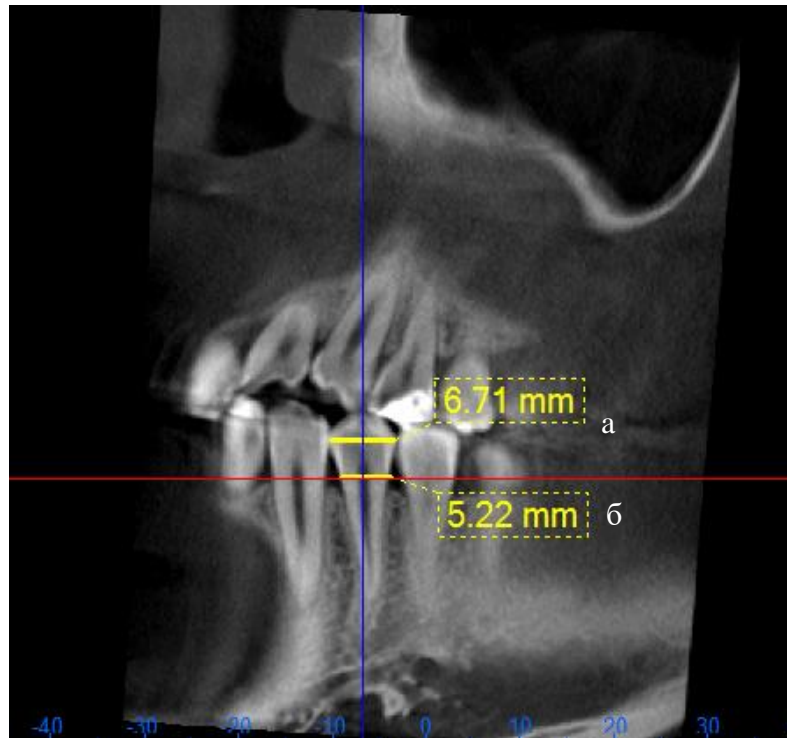


Рис. 2.7 Визначення мезіо-дистального розміру коронки (а) і шийки (б) першого правого нижнього малого кутнього зуба.

2.2.3. Кефалометрія.

Кефалометричне дослідження складалося з визначення параметрів мозкового та лицьового відділів голови за допомогою великого ковзного циркуля із шкалою у натуральну величину системи Мартіна та м'якої сантиметрової стрічки. Кефалометричні дослідження проводили із врахуванням загальноприйнятих рекомендацій та анатомічних точок [5, 21]. Проведено вимірювання наступних кефалометричних розмірів мозкового черепа: найбільшого обхвату голови через надперенісся (глабелла) та ініон (DUG_GOP); поперечної дуги, що вимірюється стрічкою від правої козелкової точки до лівої (DUG_AUAU); сагітальної дуги, що вимірюється стрічкою від глабелли до потиличної точки (DUGS_GOP); найбільшої довжини голови, це відстань від глабелли до опистокраніон (G_OP); найбільшої ширини голови (потиличний діаметр, EU_EU); найменшої ширини голови (лобовий діаметр, FMT_FMT); та лицьового черепа: ширини обличчя, це відстань між виличними точками (ZY_ZY); середньої ширини обличчя, це відс-

тань між зігомаксиллярними точками (ZM_ZM); ширини нижньої щелепи, або ширина між кутами нижньої щелепи (GO_GO); висоти лоба, це пряма відстань між точками тріхіон і назіон (TR_N); фізіологічної довжини обличчя, це відстань від тріхіона (лінія росту волосся) до гнатіон (TR_GN); довжини носа, це відстань між назіон та проназіон (N_PRN); висоти носа, це відстань між верхньоносовою і підносовою точками (N_SN); глибини носа, це відстань між підносовою точкою та проназіон (SN_PRN); висоти верхньої частини обличчя, це відстань від носової до ротової точок (N_STO); відстані між назіон та міжрізцевою точкою (N_I); морфологічної довжини обличчя, це пряма відстань від назіон до гнатіон (N_GN); міжочноямкової ширини (передньої міжорбітальної ширини), це прямолінійна відстань між внутрішніми кутами очних ямок (MF_MF); зовнішньоочної ширини (біорбітальної ширини), це прямий розмір між зовнішніми кутами очних щілин (EK_EK); ширини основи носа (відстані між алярними точками, AL_AL); ширини ротової щілини (CHI_CHI); довжини тіла нижньої щелепи справа (RGO_GN); довжини тіла нижньої щелепи зліва (LGO_GN) (табл. B1-B8).

Форма голови визначалась за наступною формулою [56]:

$$\text{найбільша ширина голови} / \text{найбільша довжина голови} \times 100 \quad (2.1)$$

При значенні до 75,9 чоловіків відносили до доліхоцефалів; 76,0-80,9 – до мезоцефалів; 81,0-85,4 – до брахіцефалів; 85,5 і більше – до гіпербрахіцефалів. Встановлено наступний розподіл: чоловіки доліхоцефали: північний регіон – 2; південний регіон – 2; центральний регіон – 11; західний регіон – 3; східний регіон – 8; чоловіки мезоцефали: північний регіон – 11; південний регіон – 10; центральний регіон – 16; західний регіон – 4; східний регіон – 8; чоловіки брахіцефали: північний регіон – 12; південний регіон – 15; центральний регіон – 25; західний регіон – 18; східний регіон – 14; чоловіки гіпербрахіцефали північний регіон – 7; південний регіон – 6; центральний регіон – 12; західний регіон – 11; східний регіон – 5.

Як в загальній групі чоловіків, так і у представників центрального регіону України в напрямку гіпербрахіцефалія → брахіцефалія → мезоцефалія → доліхоцефалія відмічається збільшення найбільшого обхвата голови, поперечної і сагітальної дуги, найбільшої довжини голови, висоти лоба, фізіологічної довжини обличчя, довжини, висоти і глибини носа, відстані між навіон та міжрізцевою точкою. І, навпаки, в напрямку доліхоцефалія → мезоцефалія → брахіцефалія → гіпербрахіцефалія відмічається збільшення найбільшої і найменшої ширини голови і середньої ширини обличчя (див. табл. В.6). В усіх регіонах України відмічається більший відсоток брахіцефалів, що свідчить за тенденцію процесів брахіцефалізації.

Значення лицевого показника (морфологічного індексу Гарсона) отримували за відповідною формулою [110]:

$$\text{морфологічна довжина обличчя} / \text{найбільша ширина обличчя} \times 100 \quad (2.2)$$

При значенні показника до 78,9 чоловіків відносили групи з дуже широким обличчям; 79,0-83,9 – широким обличчям; 84,0-87,9 – середнім обличчям; 88,0-92,9 – вузьким обличчям; 93,0 і більше – дуже вузьким обличчям. Встановлено наступний розподіл: чоловіки з дуже широким обличчям: північний регіон – 1; південний регіон – 1; центральний регіон – 1; західний регіон – 1; східний регіон – 0; чоловіки із широким обличчям: північний регіон – 2; південний регіон – 2; центральний регіон – 7; західний регіон – 2; східний регіон – 4; чоловіки із середнім обличчям: північний регіон – 3; південний регіон – 8; центральний регіон – 9; західний регіон – 11; східний регіон – 5; чоловіки із вузьким обличчям: північний регіон – 8; південний регіон – 12; центральний регіон – 18; західний регіон – 6; східний регіон – 9; чоловіки із дуже вузьким обличчям: північний регіон – 18; південний регіон – 10; центральний регіон – 29; західний регіон – 16; східний регіон – 17.

При порівнянні відмінностей кефалометричних показників між практично здоровими чоловіками загальних груп або представниками центрального регіону України з різними типами обличчя встановлено, що у напрямку дуже вузьке обличчя → вузьке обличчя → середнє обличчя → широке обличчя відмічається збільшення найбільшої і найменшої ширини голови, ширини обличчя, середньої ширини обличчя, ширини ротової щілини, довжини тіла нижньої щелепи справа і зліва. І, навпаки, в напрямку широке обличчя → середнє обличчя → вузьке обличчя → дуже вузьке обличчя відмічається збільшення висоти лоба, фізіологічної довжини обличчя, довжини, висоти і глибини носа, висоти верхньої частини обличчя, відстані між назіон та міжрізцевою точкою, морфологічної довжини обличчя (див. табл. В.8). В усіх регіонах України відмічається більший відсоток чоловіків із вузьким і дуже вузьким обличчям, що є підтвердженням процесів граціалізації.

Незначна кількість регіональних відмінностей у розподілі певних типів черепа і обличчя говорить за те, що населення України є вельми однорідним в антропологічному складі і кожен з представлених регіональних типів українців не виходить за межі антропологічного типу, загального для народу в цілому.

2.2.4. Статистичні.

Статистична обробка отриманих результатів проведена у ліцензійному пакеті “STATISTICA 6.1” з використанням непараметричних методів оцінки отриманих результатів. Оцінювали характер розподілів варіаційних рядів, середні значення ознак, процентильний розмах ознак, стандартне квадратичне відхилення. Достовірність різниці значень між незалежними кількісними величинами визначали за допомогою U-критерія Мана-Уїтні. Кореляції між одонтометричними і кефалометричними показниками проводили з використанням непараметричної статистики Спірмена. Для розробки моделей індивідуальних лінійних розмірів МКЗ в залежності від кефалометрич-

них показників застосовували метод покрокового регресійного аналізу [283].

Результати кефалометричних досліджень, які представлені в даному розділі дисертації, відображені в 2 наукових статтях у фахових наукових журналах [148, 149] (1 з яких входить до міжнародних наукометричних баз), статті в закордонному фаховому виданні (Польща) яке включено до науково-метричної бази даних Scopus [198] та тезах науково-практичної конференції [97].

РОЗДІЛ 3

**ЛІНІЙНІ КОМП'ЮТЕРНО-ТОМОГРАФІЧНІ РОЗМІРИ МАЛИХ
КУТНІХ ЗУБІВ ТА ЇХ КОРЕНІВ У ПРАКТИЧНО ЗДОРОВИХ
ЧОЛОВІКІВ ІЗ РІЗНИХ РЕГІОНІВ УКРАЇНИ ТА В ЗАЛЕЖНОСТІ
ВІД ФОРМИ ГОЛОВИ АБО ТИПУ ОБЛИЧЧЯ**

3.1. Регіональні відмінності лінійних комп'ютерно-томографічних розмірів малих кутніх зубів та їх коренів у практично здорових чоловіків України

Встановлені межі процентильного розмаху лінійних КТ-розмірів МКЗ та їх коренів у практично здорових чоловіків із різних регіонів України наведені у таблиці Г.1.

У чоловіків північного регіону величина *висоти верхнього лівого першого МКЗ* достовірно більша ($p < 0,05$) порівняно із чоловіками південного регіону та має незначну тенденцію ($p = 0,080$) до більших значень показника порівняно із чоловіками центрального регіону (рис. 3.1, табл. Г.2).

У чоловіків із різних регіонів України для *висоти верхніх правого і лівого та нижніх правого і лівого других МКЗ* не встановлено регіональних статистично значущих або тенденцій відмінностей величини даного показника (див. табл. Г.2).

Також у чоловіків із різних регіонів України для величини *довжини язикового кореня верхніх правого і лівого перших та правого і лівого других МКЗ* не встановлено регіональних статистично значущих або тенденцій відмінностей величини даного показника (див. табл. Г.2).

У чоловіків західного регіону України величина *довжини присінкового кореня верхнього правого першого малого кутнього зуба* має незначну тенденцію ($p = 0,072$) до більших значень показника порівняно із чоловіками

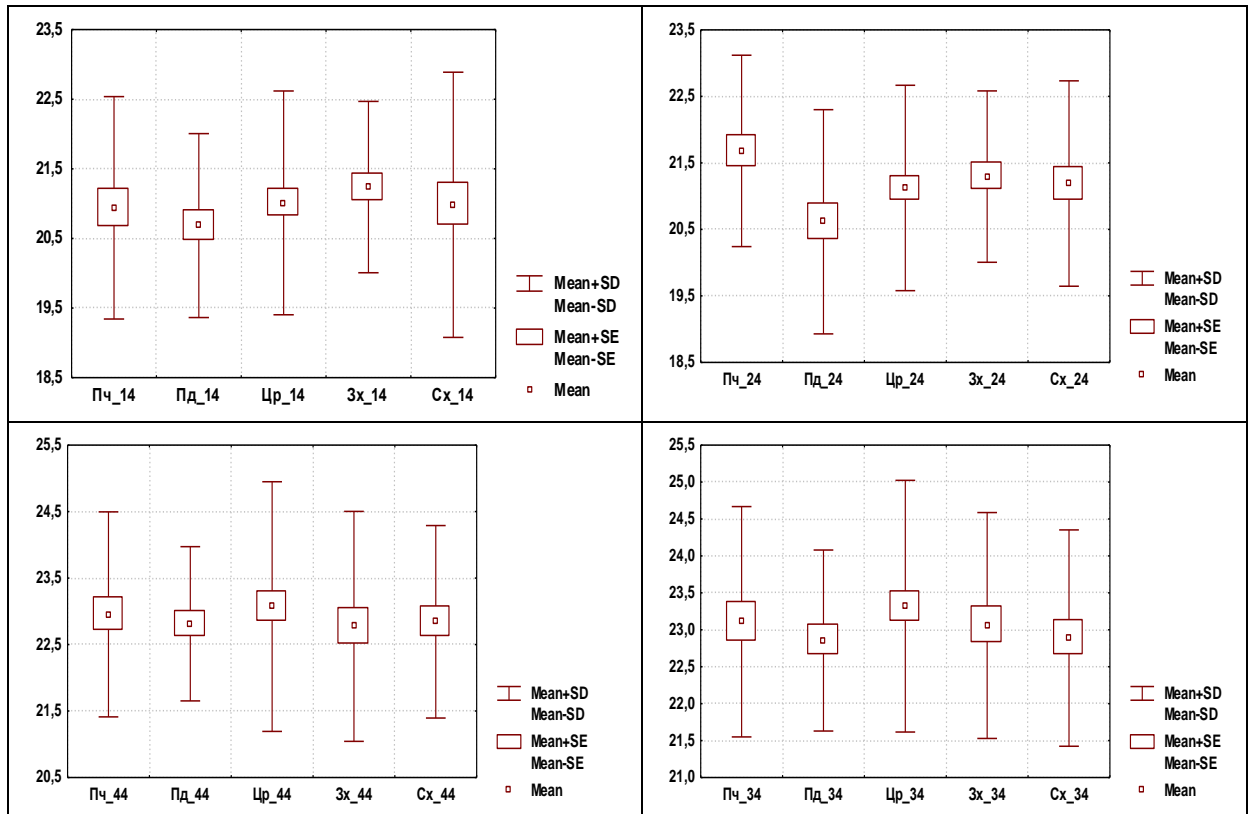


Рис. 3.1 Величина висоти верхніх правого (14) і лівого (24) та нижніх правого (44) і лівого (34) перших МКЗ у чоловіків із різних регіонів України (мм).

Примітка: тут і в подальшому

1. Пч – північний регіон;
2. Пд – південний регіон;
3. Цр – центральний регіон;
4. Зх – західний регіон;
5. Сх – східний регіон;
6. Mean – середня вибірки;
7. Mean \pm SE – \pm похибка середньої;
8. Mean \pm SD – \pm стандартне відхилення.

центрального регіону; а величина довжини присінкового кореня верхнього лівого першого МКЗ достовірно більша ($p < 0,05-0,01$) порівняно із чоловіками південного і центрального регіонів (рис. 3.2, див. табл. Г.2).

У чоловіків із різних регіонів України для величини довжини кореня нижніх правого і лівого перших та правого і лівого других МКЗ не встанов-

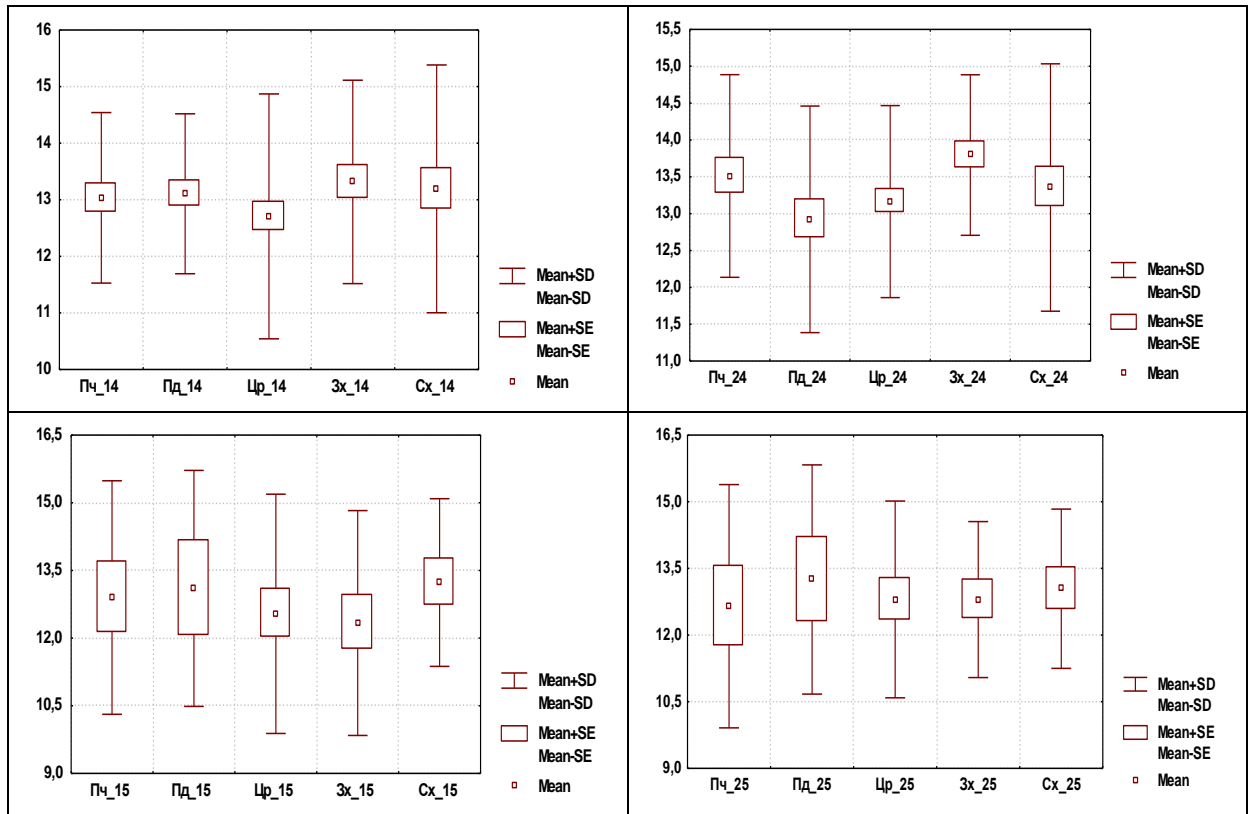


Рис. 3.2 Величина довжини присінкового кореня верхніх правого (14) і лівого (24) перших та правого (15) і лівого (25) других МКЗ у чоловіків із різних регіонів України (мм).

лено регіональних статистично значущих або тенденцій відмінностей величини даного показника (див. табл. Г.2).

У чоловіків південного регіону величина *висоти коронки верхнього правого першого МКЗ* має тенденцію ($p=0,068$) до менших значень показника порівняно із чоловіками північного регіону і незначну тенденцію ($p=0,074$) до менших значень показника порівняно із чоловіками центрального регіону, а величина *висоти коронки нижнього лівого першого МКЗ* достовірно менша ($p<0,05-0,01$) порівняно із чоловіками північного, центрального і західного регіонів (рис. 3.3, див. табл. Г.2). Також у чоловіків південного регіону величина *висоти коронки нижнього правого першого МКЗ* достовірно менша ($p<0,05-0,01$) порівняно із чоловіками інших регіонів (див. рис. 3.3, табл. Г.2). У чоловіків північного регіону величина *висоти коронки верхнього лівого першого МКЗ* достовірно більша ($p<0,05-0,01$) порівняно із чоловіками південного і східного регіонів та має незначну тенденцію ($p=$

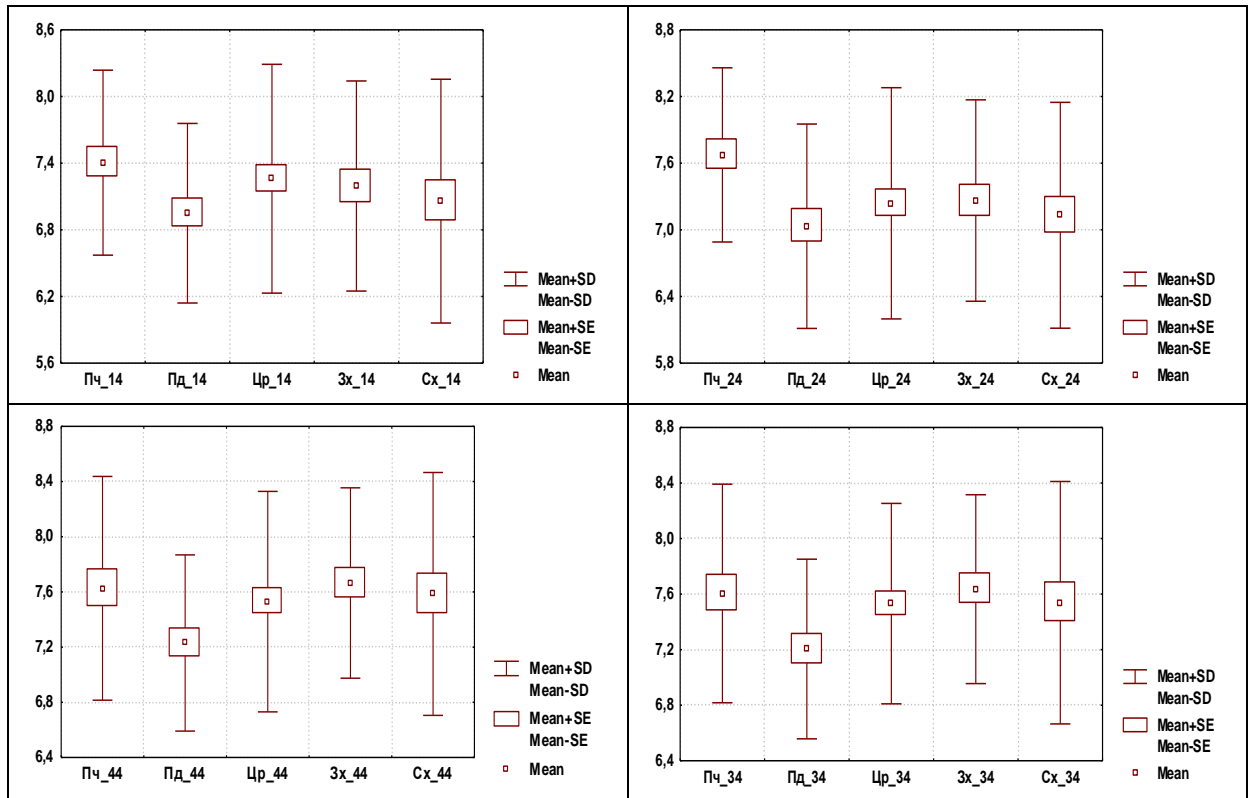


Рис. 3.3 Величина висоти коронки верхніх правого (14) і лівого (24) та нижніх правого (44) і лівого (34) перших МКЗ у чоловіків із різних регіонів України (мм).

0,080) до більших значень порівняно із чоловіками центрального регіону (див. рис. 3.3, табл. Г.2).

У чоловіків південного регіону величина *висоти коронки верхнього правого другого МКЗ* достовірно ($p < 0,05$) менша порівняно із чоловіками північного регіону, має тенденцію ($p = 0,068$) до менших значень порівняно із чоловіками центрального регіону і виражену тенденцію ($p = 0,056$) до менших значень порівняно із чоловіками східного регіону (рис. 3.4, див. табл. Г.2). Також у чоловіків південного регіону величина *висоти коронки нижнього лівого другого МКЗ* достовірно менша ($p < 0,05-0,01$) порівняно із чоловіками північного, центрального і західного регіонів та має виражену тенденцію ($p = 0,059$) до менших значень показника порівняно із чоловіками східного регіону (див. рис. 3.4, табл. Г.2). У чоловіків південного регіону величина *висоти коронки нижнього правого другого МКЗ* достовірно менша ($p < 0,05-0,01$) порівняно із чоловіками інших регіонів, а величина *висоти*

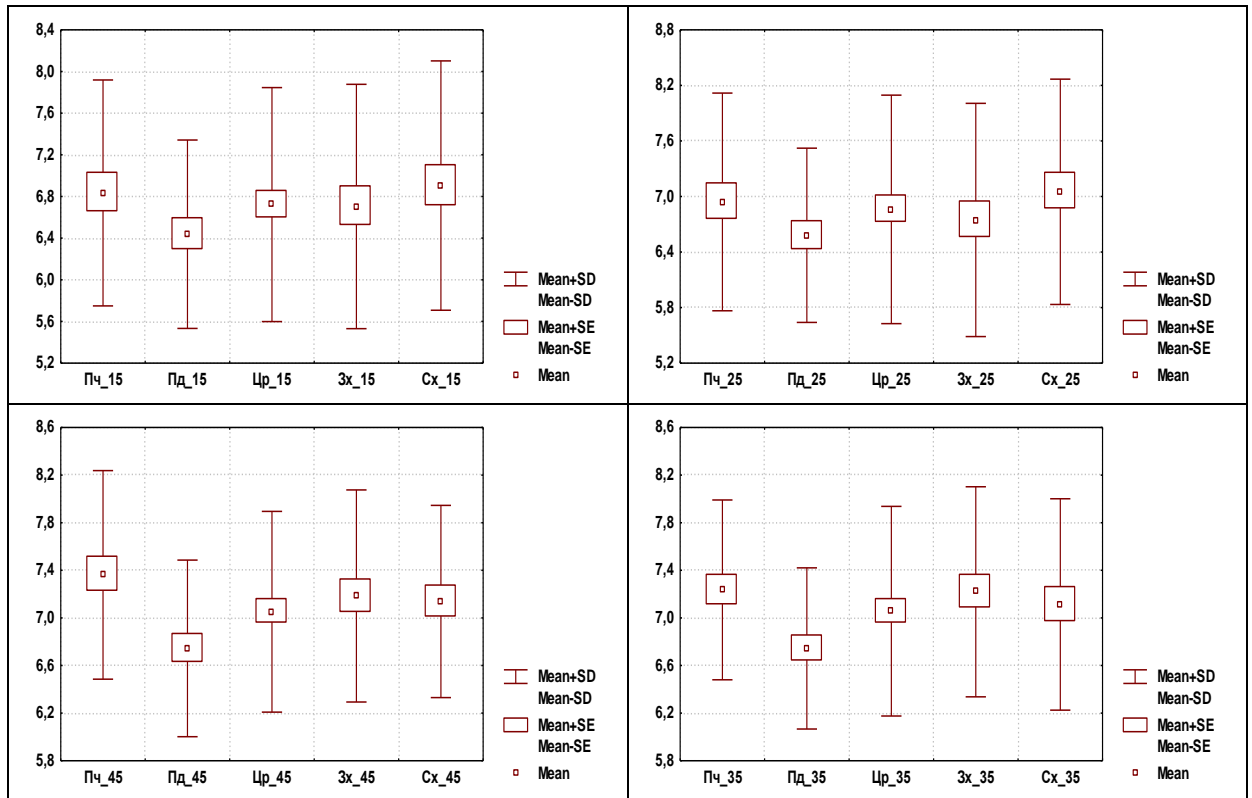


Рис. 3.4 Величина висоти коронки верхніх правого (15) і лівого (25) та нижніх правого (45) і лівого (35) других МКЗ у чоловіків із різних регіонів України (мм).

коронки нижнього лівого другого МКЗ достовірно менша ($p < 0,05-0,01$) порівняно із чоловіками північного, центрального і західного регіонів та має виражену тенденцію ($p = 0,059$) до менших значень показника порівняно із чоловіками східного регіону (див. рис. 3.4, табл. Г.2). Також у чоловіків південного регіону величина висоти коронки нижнього правого другого МКЗ достовірно менша ($p < 0,05-0,01$) порівняно із чоловіками інших регіонів (див. рис. 3.4, табл. Г.2).

У чоловіків північного регіону величина мезіо-дистального розміру коронки верхнього правого першого МКЗ достовірно ($p < 0,05$) більша порівняно із чоловіками західного регіону та має незначні тенденції до більших значень показника порівняно із чоловіками центрального ($p = 0,079$) і східного ($p = 0,080$) регіонів (рис. 3.5, див. табл. Г.2).

У чоловіків із різних регіонів України для величини мезіо-дистального розміру коронки верхніх правого лівого та нижніх правого і лівого дру-

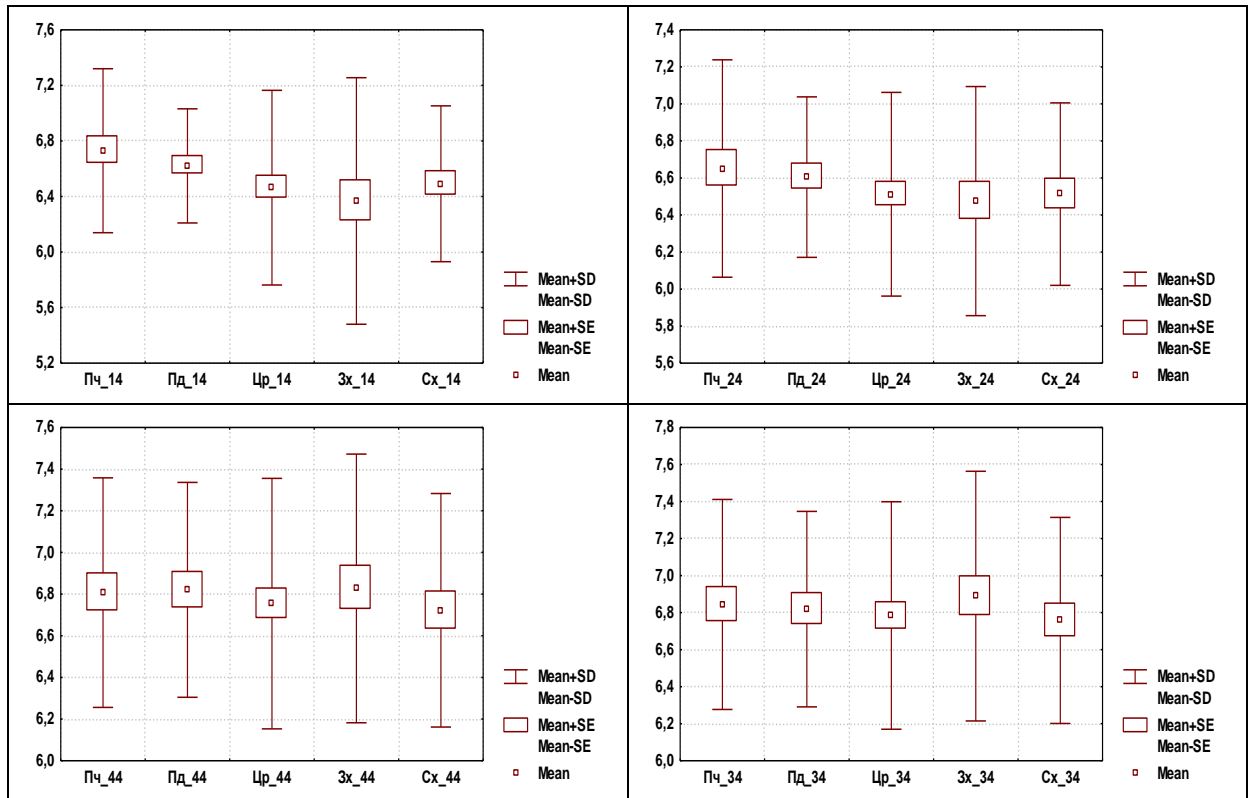


Рис. 3.5 Величина мезіо-дистального розміру коронки верхніх правого (14) і лівого (24) та нижніх правого (44) і лівого (34) перших МКЗ у чоловіків із різних регіонів України (мм).

гих МКЗ не встановлено регіональних статистично значущих або тенденцій відмінностей величини даного показника (див. табл. Г.2).

Також у чоловіків із різних регіонів України для величини мезіо-дистального розміру шийки верхніх правого і лівого та нижніх правого і лівого перших МКЗ не встановлено регіональних статистично значущих або тенденцій відмінностей величини даного показника (див. табл. Г.2).

У чоловіків східного регіону величина мезіо-дистального розміру шийки верхнього лівого другого МКЗ має незначну тенденцію до більших значень показника порівняно із чоловіками центрального ($p=0,072$) регіону (рис. 3.6, див. табл. Г.2).

У чоловіків північного регіону величина присінково-язикового розміру коронки верхнього правого першого МКЗ достовірно ($p<0,05$ в обох випадках) більша порівняно із чоловіками південного і східного регіонів та має незначну тенденцію ($p=0,071$) до більших значень показника порівняно з

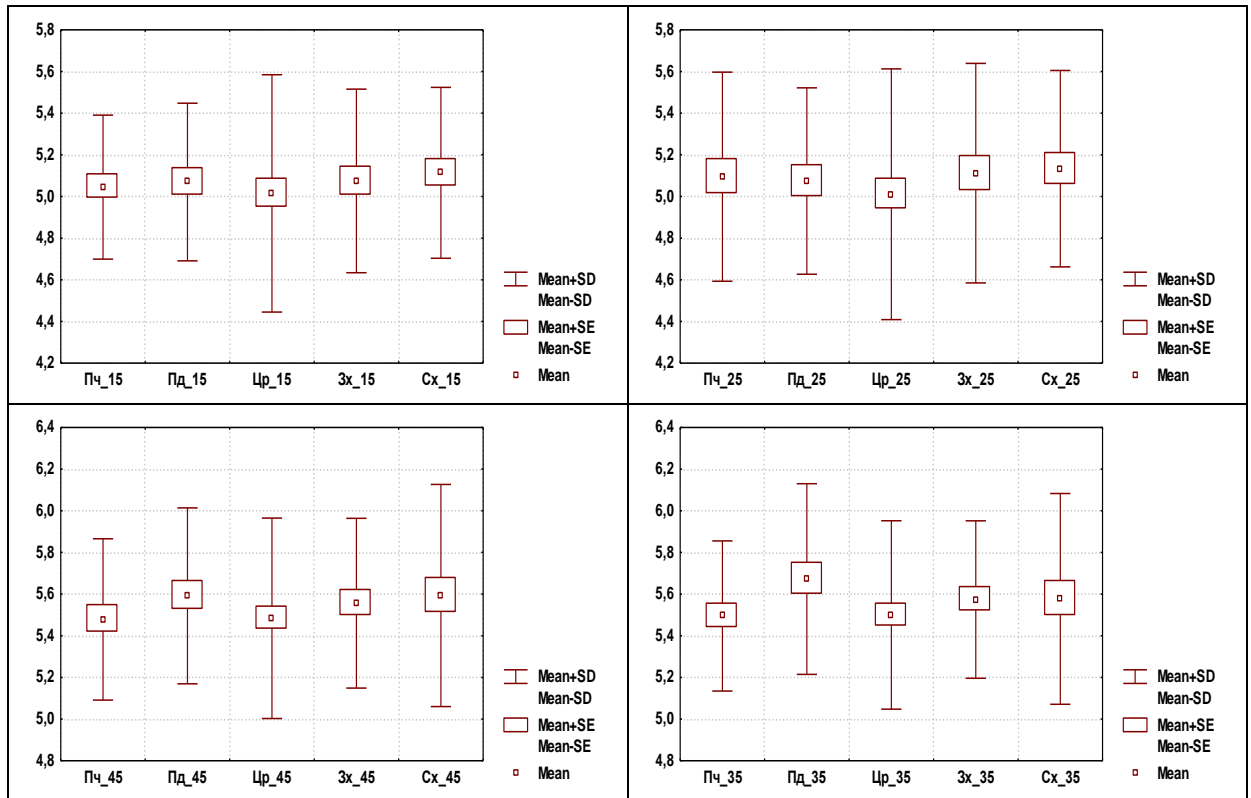


Рис. 3.6 Величина мезіо-дистального розміру шийки верхніх правого (15) і лівого (25) та нижніх правого (45) і лівого (35) других МКЗ у чоловіків із різних регіонів України (мм).

чоловіками західного регіону. Даний показник у чоловіків центрального регіону достовірно ($p < 0,05$) більший порівняно із чоловіками південного регіону, має виражену тенденцію до більших значень показника порівняно із чоловіками східного регіону ($p = 0,060$) і незначну тенденцію до більших значень показника порівняно із чоловіками західного ($p = 0,076$) регіону (рис. 3.7, див. табл. Г.2). У чоловіків північного регіону величина *присінково-язикового розміру коронки верхнього лівого першого МКЗ* достовірно ($p < 0,05-0,01$) більша порівняно із чоловіками південного, західного і східного регіонів. Даний показник у чоловіків центрального регіону має тенденцію ($p = 0,064$) до більших значень показника порівняно із чоловіками південного регіону і виражену тенденцію ($p = 0,052$) до більших значень показника порівняно із чоловіками східного регіону (див. рис. 3.7, табл. Г.2). Також у чоловіків північного регіону величина *присінково-язикового розміру коронки нижнього лівого першого МКЗ* достовірно ($p < 0,05$) більша порівняно із чо-

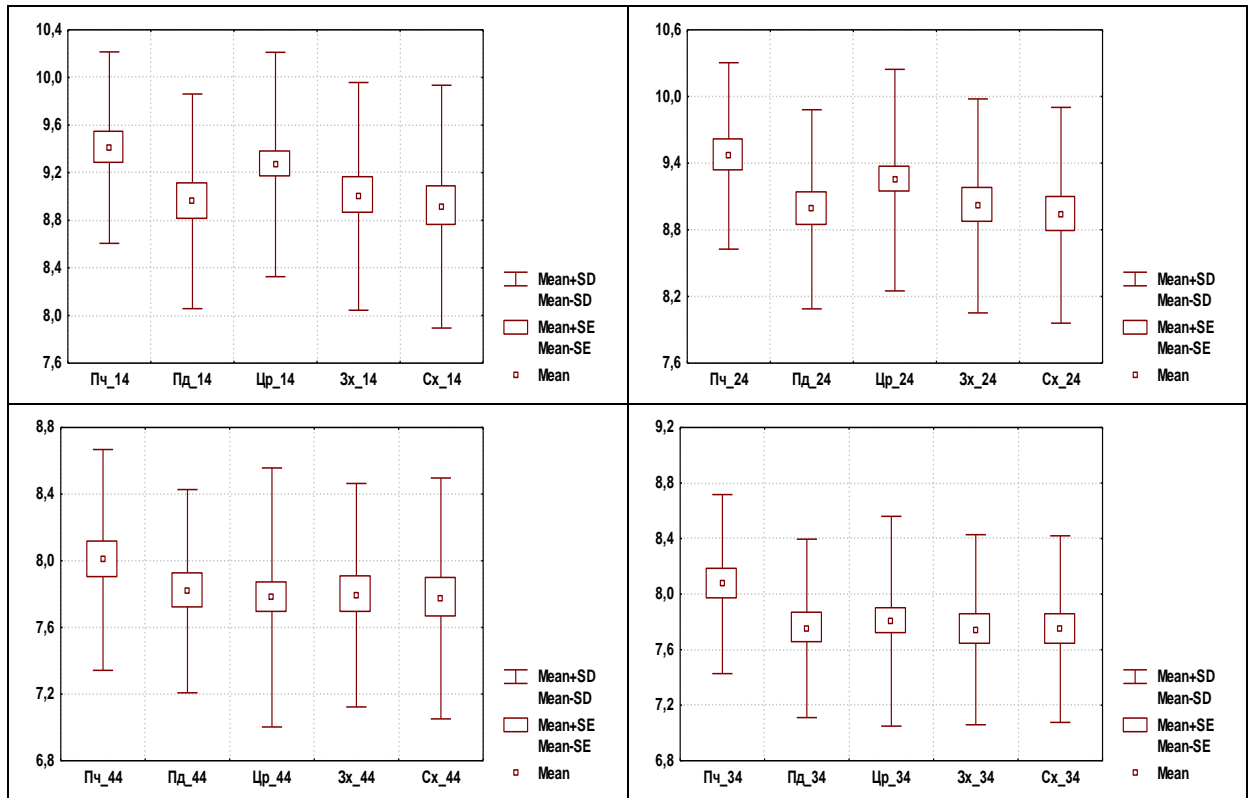


Рис. 3.7 Величина присінково-язикового розміру коронки верхніх правого (14) і лівого (24) та нижніх правого (44) і лівого (34) перших МКЗ у чоловіків із різних регіонів України (мм).

чоловіками південного регіону та має виражені тенденції до більших значень показника порівняно із чоловіками західного ($p=0,052$) і східного ($p=0,056$) регіонів (див. рис. 3.7, табл. Г.2).

У чоловіків північного регіону величина присінково-язикового розміру коронки *верхнього лівого другого МКЗ* має тенденцію ($p=0,063$) до більших значень показника порівняно з чоловіками південного регіону, а величина *присінково-язикового розміру коронки нижнього лівого другого МКЗ* достовірно ($p<0,05$) більша порівняно із чоловіками південного регіону та має тенденцію ($p=0,066$) до більших значень показника порівняно із чоловіками західного регіону (див. рис. 3.8, див. табл. Г.2). Також у чоловіків північного регіону величина *присінково-язикового розміру коронки нижнього правого другого МКЗ* достовірно ($p<0,05$) більша порівняно із чоловіками східного регіону (див. рис. 3.8, табл. Г.2).

У чоловіків північного регіону величина *присінково-язикового розміру*

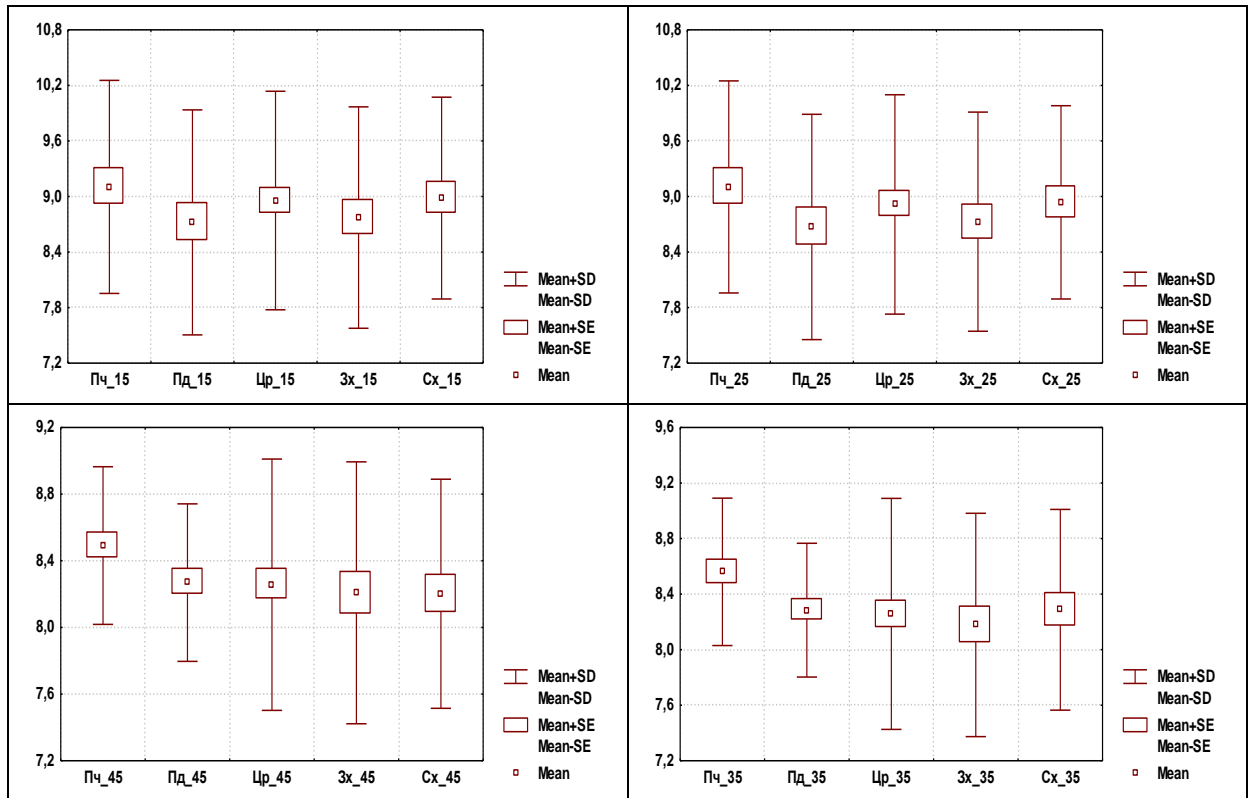


Рис. 3.8 Величина присінково-язикового розміру коронки верхніх правого (15) і лівого (25) та нижніх правого (45) і лівого (35) других МКЗ у чоловіків із різних регіонів України (мм).

шийки верхнього правого першого МКЗ достовірно ($p < 0,05$) більша порівняно із чоловіками південного регіону та має тенденцію ($p = 0,063$) до більших значень показника порівняно із чоловіками західного регіону. Даний показник у чоловіків центрального регіону має виражену тенденцію ($p = 0,055$) до більших значень показника порівняно із чоловіками східного регіону (рис. 3.9, див. табл. Г.2). Також у чоловіків північного регіону величина присінково-язикового розміру шийки верхнього лівого першого МКЗ достовірно ($p < 0,05-0,01$) більша порівняно із чоловіками південного і східного регіонів та має незначну тенденцію ($p = 0,080$) до більших значень показника порівняно із чоловіками західного регіону. Даний показник у чоловіків центрального регіону має виражену тенденцію ($p = 0,052$) до більших значень показника порівняно із чоловіками східного регіону (див. рис. 3.9, табл. Г.2). У чоловіків північного регіону величина присінково-язикового розміру шийки нижнього лівого першого МКЗ має тенденцію ($p = 0,063$), виражену тенденцію ($p =$

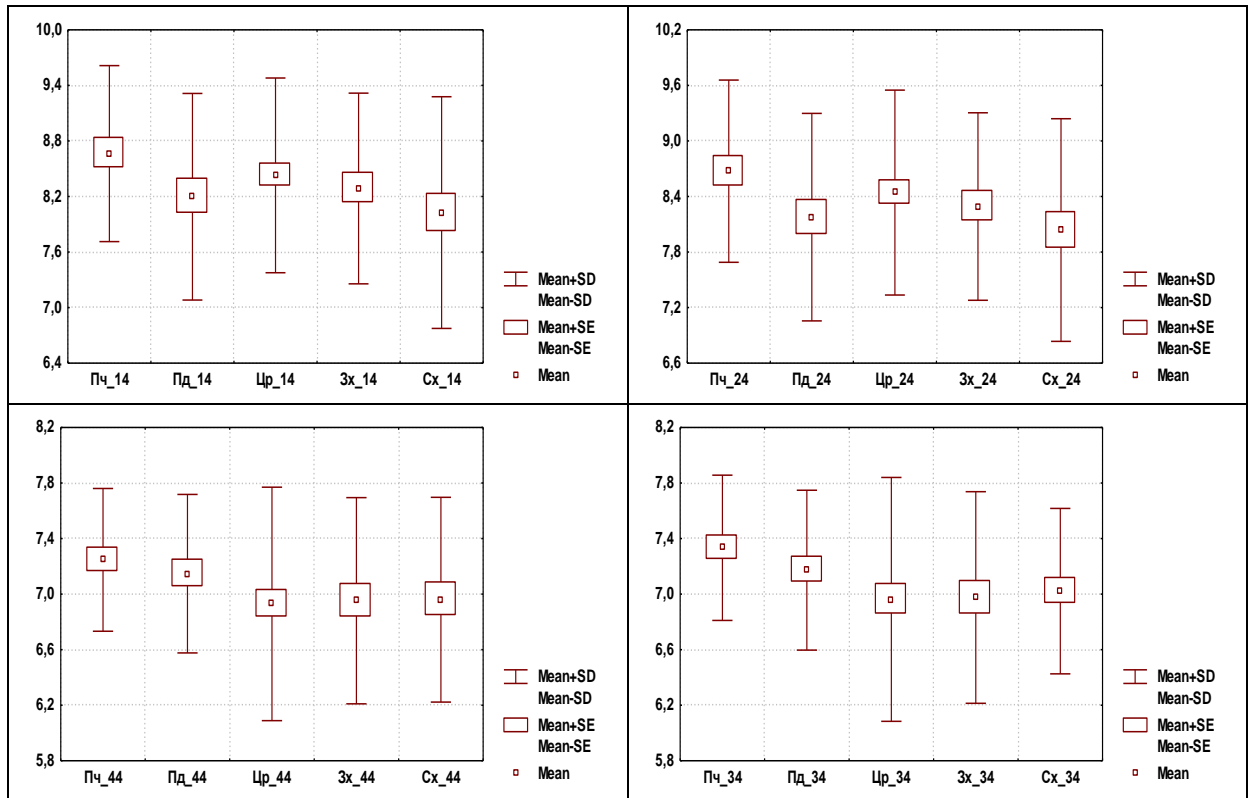


Рис. 3.9 Величина присінково-язикового розміру шийки верхніх правого (14) і лівого (24) та нижніх правого (44) і лівого (34) перших МКЗ у чоловіків із різних регіонів України (мм).

0,059) та незначну тенденцію ($p=0,080$) до більших значень показника порівняно із чоловіками відповідно центрального, східного і західного регіонів, а величина *присінково-язикового розміру шийки нижнього правого першого МКЗ* має виражену тенденцію ($p=0,052$) до більших значень показника порівняно із чоловіками центрального регіону і незначну тенденцію ($p=0,079$) до більших значень показника порівняно із чоловіками західного регіону (див. рис. 3.9, табл. Г.2).

У чоловіків північного регіону величина *присінково-язикового розміру шийки верхнього лівого другого МКЗ* має незначні тенденції до більших значень показника порівняно із чоловіками південного ($p=0,072$) і західного ($p=0,079$) регіонів, а величина *присінково-язикового розміру шийки нижнього лівого другого МКЗ* достовірно ($p<0,05$ в обох випадках) більша порівняно із чоловіками центрального і західного регіонів та має незначні тенденції до більших значень показника порівняно із чоловіками південного ($p=0,075$)

і східного ($p=0,080$) регіонів (рис. 3.10, див. табл. Г.2). Також у чоловіків північного регіону величина *присінково-язикового розміру шийки нижнього правого другого МКЗ* достовірно ($p<0,05$) більша порівняно із чоловіками східного регіону (див. рис. 3.10, табл. Г.2).

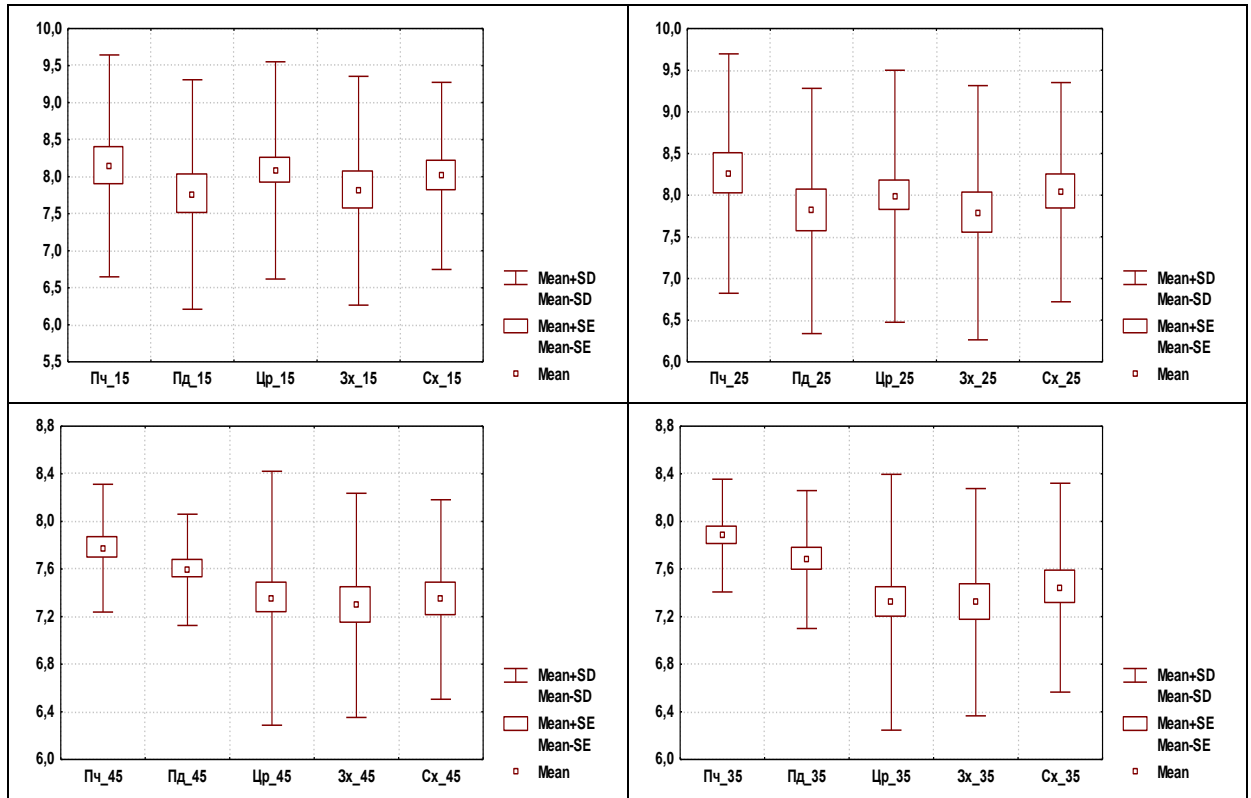


Рис. 3.10 Величина присінково-язикового розміру шийки верхніх правого (15) і лівого (25) та нижніх правого (45) і лівого (35) других МКЗ у чоловіків із різних регіонів України (мм).

3.2. Лінійні комп'ютерно-томографічні розміри малих кутніх зубів та їх коренів у практично здорових чоловіків із різною формою голови

Встановлені межі процентильного розмаху лінійних КТ-розмірів МКЗ та їх коренів у практично здорових чоловіків України різних краніотипів наведені у таблиці Г.3.

У чоловіків доліхоцефалів величина висоти верхнього правого першого МКЗ достовірно ($p < 0,05$) менша порівняно із чоловіками гіпербрахіцефалами (рис. 3.11, табл. Г.4).

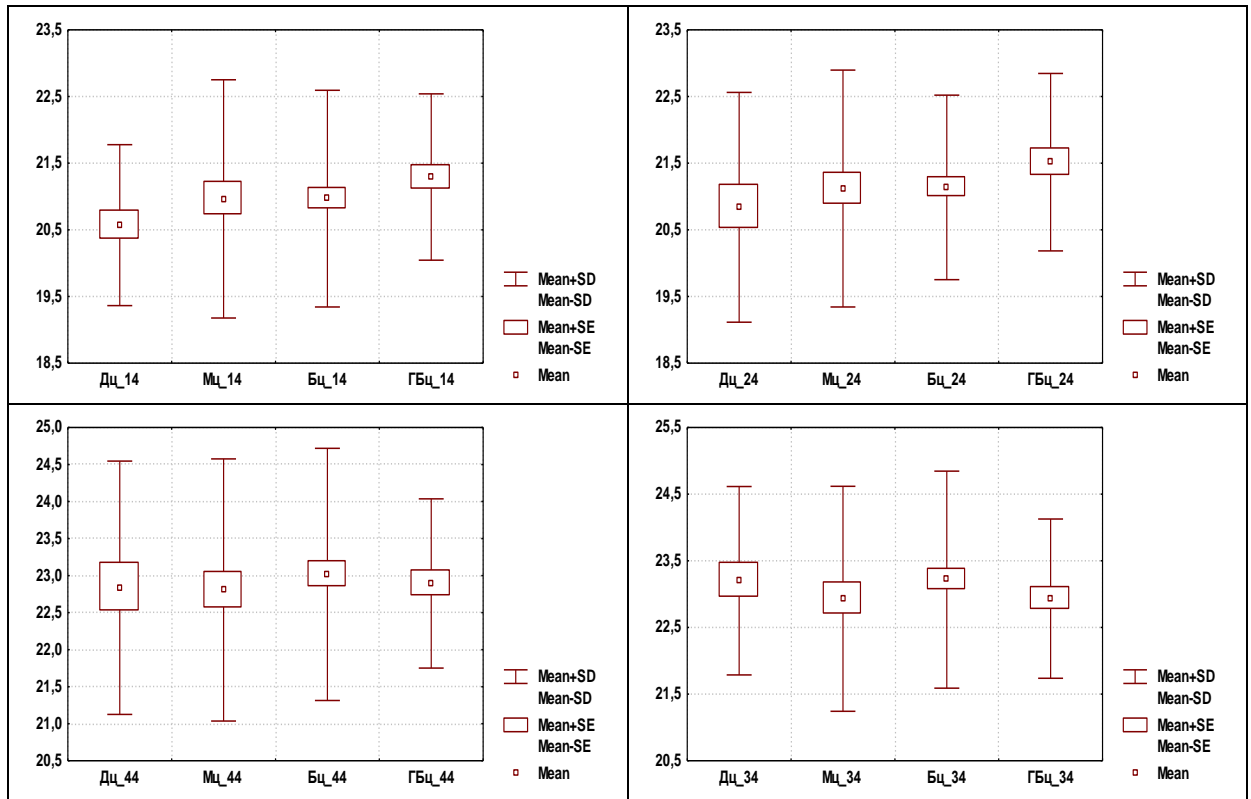


Рис. 3.11 Величина висоти верхніх правого (14) і лівого (24) та нижніх правого (44) і лівого (34) перших МКЗ у чоловіків різних краніотипів (мм).

Примітка: тут і в подальшому

1. Дц – доліхоцефали;
2. Мц – мезоцефали;
8. Бц – брахіцефали;
9. ГБц – гіпербрахікефали.

Для величини висоти верхніх правого і лівого та нижніх правого і лівого других МКЗ не встановлено краніотипологічних статистично значущих або тенденцій відмінностей величини даного показника (див. табл. Г.4).

Для величини довжини язикового кореня верхніх правого і лівого перших та правого і лівого других МКЗ не встановлено краніотипологічних статистично значущих або тенденцій відмінностей величини даного показника (див. табл. Г.4).

Також не встановлено краніотипологічних статистично значущих або тенденцій відмінностей величини для *величини довжини присінкового кореня верхніх правого і лівого перших та правого і лівого других МКЗ* (див. табл. Г.4).

Для величини *довжини кореня нижніх правого і лівого перших та правого і лівого других МКЗ* також не встановлено краніотипологічних статистично значущих або тенденцій відмінностей величини даного показника (див. табл. Г.4).

У чоловіків доліхоцефалів величина *висоти коронки верхнього правого першого МКЗ* достовірно ($p < 0,05$) менша порівняно із чоловіками гіпербрахіцефалами та має виражену тенденцію ($p = 0,052$) до менших значень показника порівняно із чоловіками брахіцефалами (рис. 3.12, див. табл. Г.4). Також у чоловіків доліхоцефалів величина *висоти коронки верхнього лівого першого МКЗ* достовірно ($p < 0,05-0,01$) менша порівняно із чоловіками брахіцефалами і гіпербрахіцефалами та має незначну тенденцію ($p = 0,080$) до менших значень показника порівняно із чоловіками мезоцефалами (див. рис. 3.12, табл. Г.4).

Для величини *висоти коронки верхніх правого і лівого та нижніх правого і лівого других МКЗ* не встановлено краніотипологічних статистично значущих або тенденцій відмінностей величини даного показника (див. табл. Г.4).

У чоловіків брахіцефалів величина *мезіо-дистального розміру коронки верхнього правого першого МКЗ* має виражену тенденцію ($p = 0,057$) до більших значень показника порівняно із чоловіками доліхоцефалами та тенденцію ($p = 0,069$) до більших значень показника порівняно із чоловіками мезоцефалами (рис. 3.13, див. табл. Г.4).

Для величини *мезіо-дистального розміру коронки верхніх правого і лівого та нижніх правого і лівого других МКЗ* не встановлено краніотипологічних статистично значущих або тенденцій відмінностей величини даного показника (див. табл. Г.4).

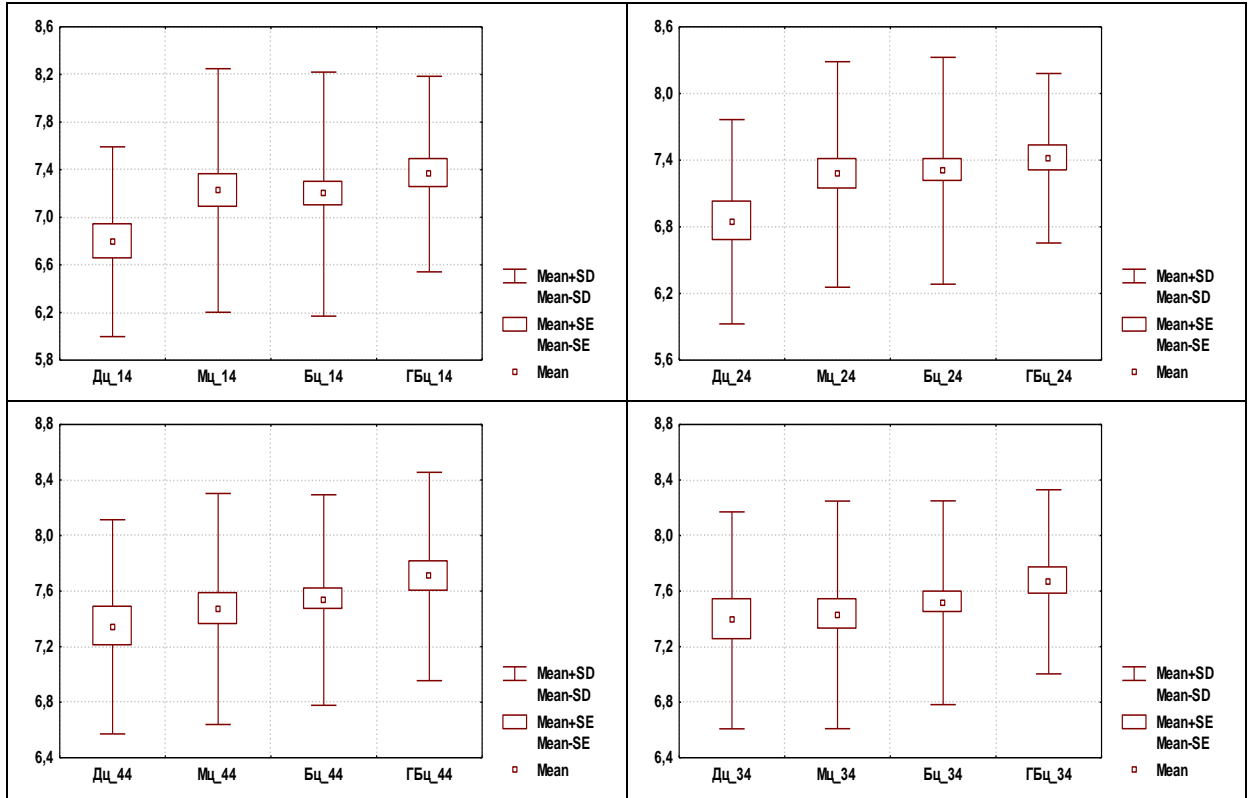


Рис. 3.12 Величина висоти коронки верхніх правого (14) і лівого (24) та нижніх правого (44) і лівого (34) перших МКЗ у чоловіків різних краніотипів (мм).

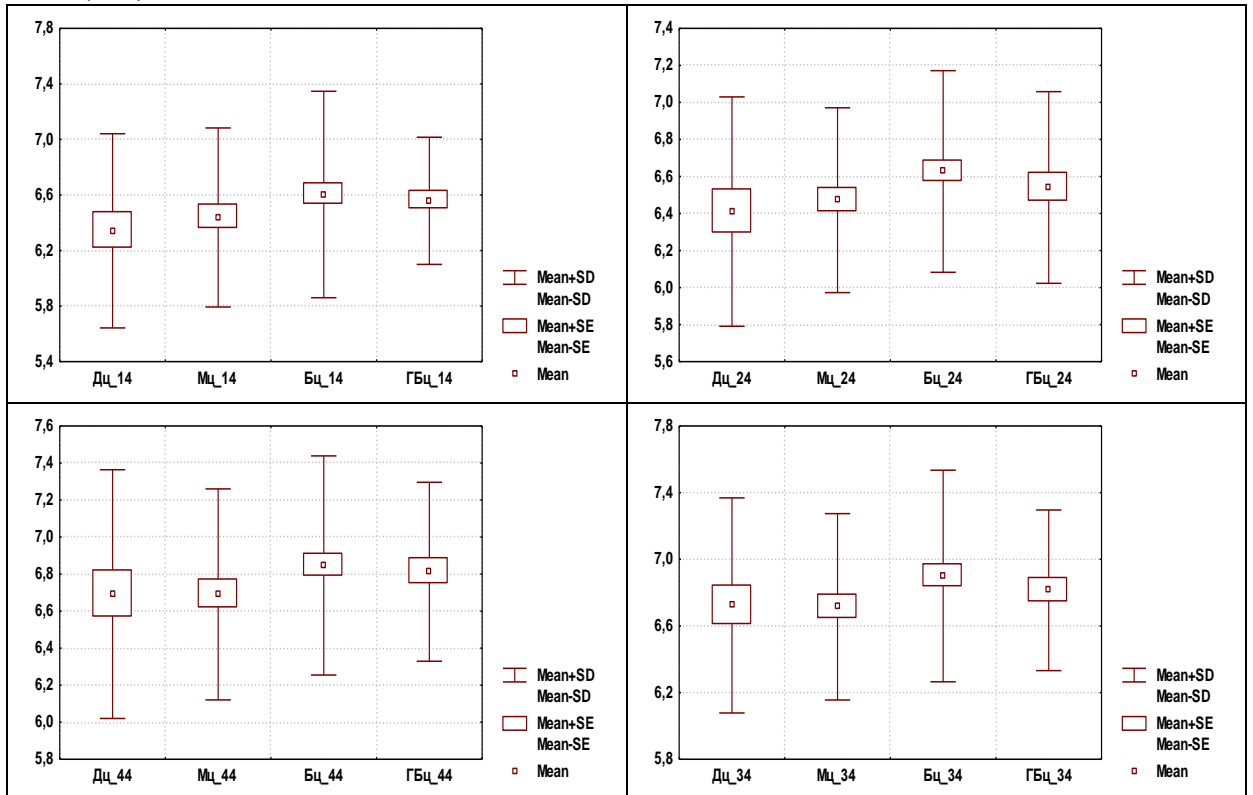


Рис. 3.13 Величина мезіо-дистального розміру коронки верхніх правого (14) і лівого (24) та нижніх правого (44) і лівого (34) перших МКЗ у чоловіків різних краніотипів (мм).

У чоловіків брахіцефалів величина *мезіо-дистального розміру шийки верхнього правого першого МКЗ* достовірно ($p < 0,01$) більша порівняно із чоловіками мезоцефалами (рис. 3.14, див. табл. Г.4). У чоловіків мезоцефалів величина *мезіо-дистального розміру шийки верхнього лівого першого МКЗ* достовірно менша ($p < 0,05-0,01$) порівняно з чоловіками брахі- і гіпербрахіцефалами, а величина *мезіо-дистального розміру шийки нижнього лівого першого МКЗ* достовірно ($p < 0,01$) менша порівняно із чоловіками брахіцефалами та має незначну тенденцію ($p = 0,079$) до менших значень показника порівняно із чоловіками гіпербрахіцефалами (див. рис. 3.14, табл. Г.4). У чоловіків доліхоцефалів величина *мезіо-дистального розміру шийки нижнього правого першого МКЗ* має незначну тенденцію ($p = 0,079$) до менших значень показника порівняно із чоловіками брахіцефалами. Даний показник у чоловіків мезоцефалів достовірно ($p < 0,01$) менший порівняно із чоловіками брахіцефалами та має тенденцію ($p = 0,067$) до менших значень показника порівняно із чоловіками гіпербрахіцефалами (див. рис. 3.14, табл. Г.4).

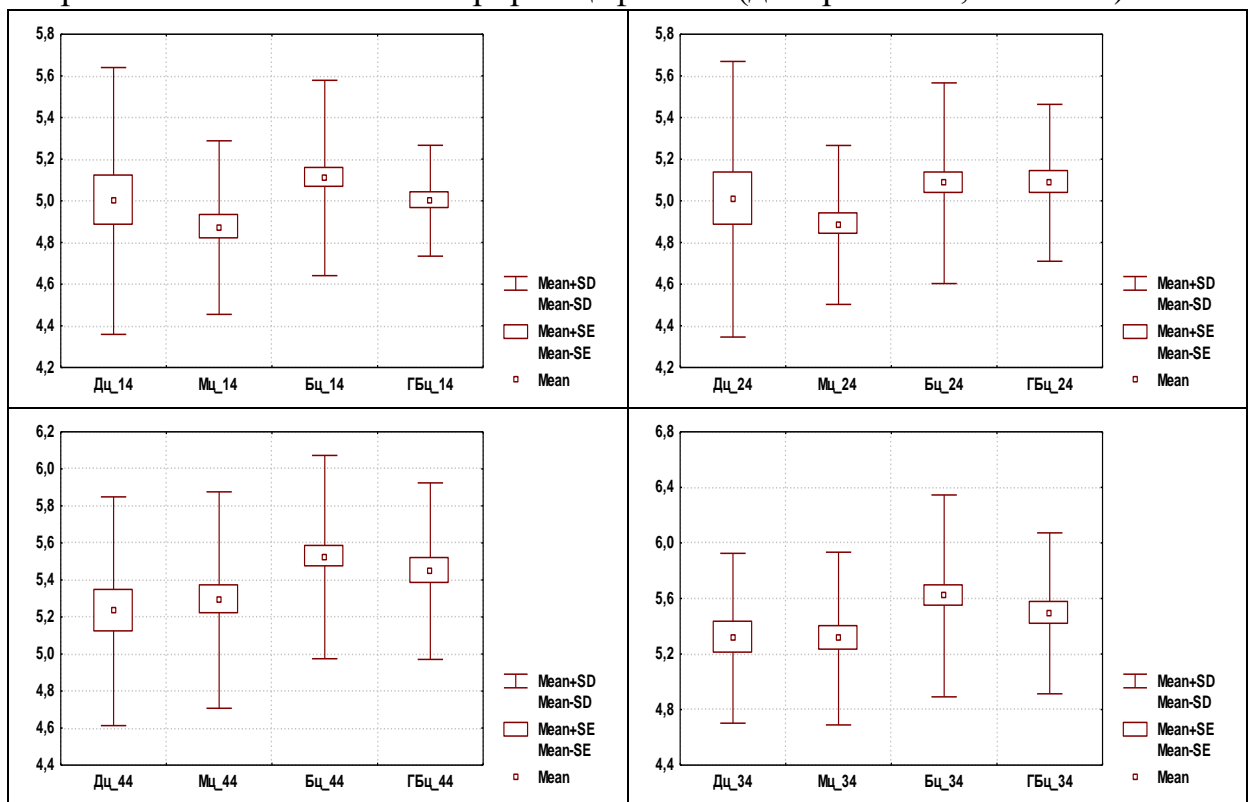


Рис. 3.14 Величина мезіо-дистального розміру шийки верхніх правого (14) і лівого (24) та нижніх правого (44) і лівого (34) перших МКЗ у чоловіків різних краніотипів (мм).

Для величини *мезіо-дистального розміру шийки верхніх правого і лівого та нижніх правого і лівого других МКЗ* не встановлено краніотипологічних статистично значущих або тенденцій відмінностей величини даного показника (див. табл. Г.4).

У чоловіків брахіцефалів величина *присінково-язикового розміру коронки верхнього правого першого МКЗ* достовірно ($p < 0,05$ в обох випадках) більша порівняно із чоловіками доліхоцефалами і мезоцефалами (рис. 3.15, див. табл. Г.4). У чоловіків доліхоцефалів величина *присінково-язикового розміру коронки верхнього лівого першого МКЗ* має незначну тенденцію ($p = 0,079$) до менших значень показника порівняно із чоловіками брахіцефалами (див. рис. 3.15, табл. Г.4). Також у чоловіків доліхоцефалів величина *присінково-язикового розміру коронки нижнього лівого першого МКЗ* достовірно ($p < 0,01$) менша порівняно із чоловіками брахіцефалами та має незначну тенденцію ($p = 0,071$) до менших значень показника порівняно із чоловіками гіпербрахіцефалами, а величина *присінково-язикового розміру коронки нижнього правого першого МКЗ* має виражену тенденцію ($p = 0,053$) до менших значень показника порівняно із чоловіками брахіцефалами (див. рис. 3.15, табл. Г.4).

У чоловіків брахіцефалів величина *присінково-язикового розміру коронки нижнього лівого другого МКЗ* достовірно ($p < 0,05$) більша порівняно із чоловіками доліхоцефалами (рис. 3.16, див. табл. Г.4). У чоловіків доліхоцефалів величина *присінково-язикового розміру коронки нижнього правого другого МКЗ* достовірно ($p < 0,05$) менша порівняно із чоловіками брахіцефалами та має незначну тенденцію ($p = 0,080$) до менших значень показника порівняно із чоловіками гіпербрахіцефалами (див. рис. 3.16, табл. Г.4).

У чоловіків доліхоцефалів величина *присінково-язикового розміру шийки верхнього правого першого МКЗ* достовірно ($p < 0,05$ в обох випадках) менша порівняно із чоловіками брахі- і гіпербрахіцефалами (рис. 3.17, див. табл. Г.4). Даний показник у чоловіків мезоцефалів достовірно ($p < 0,05$) менший порівняно із чоловіками брахіцефалами та має незначну тенденцію

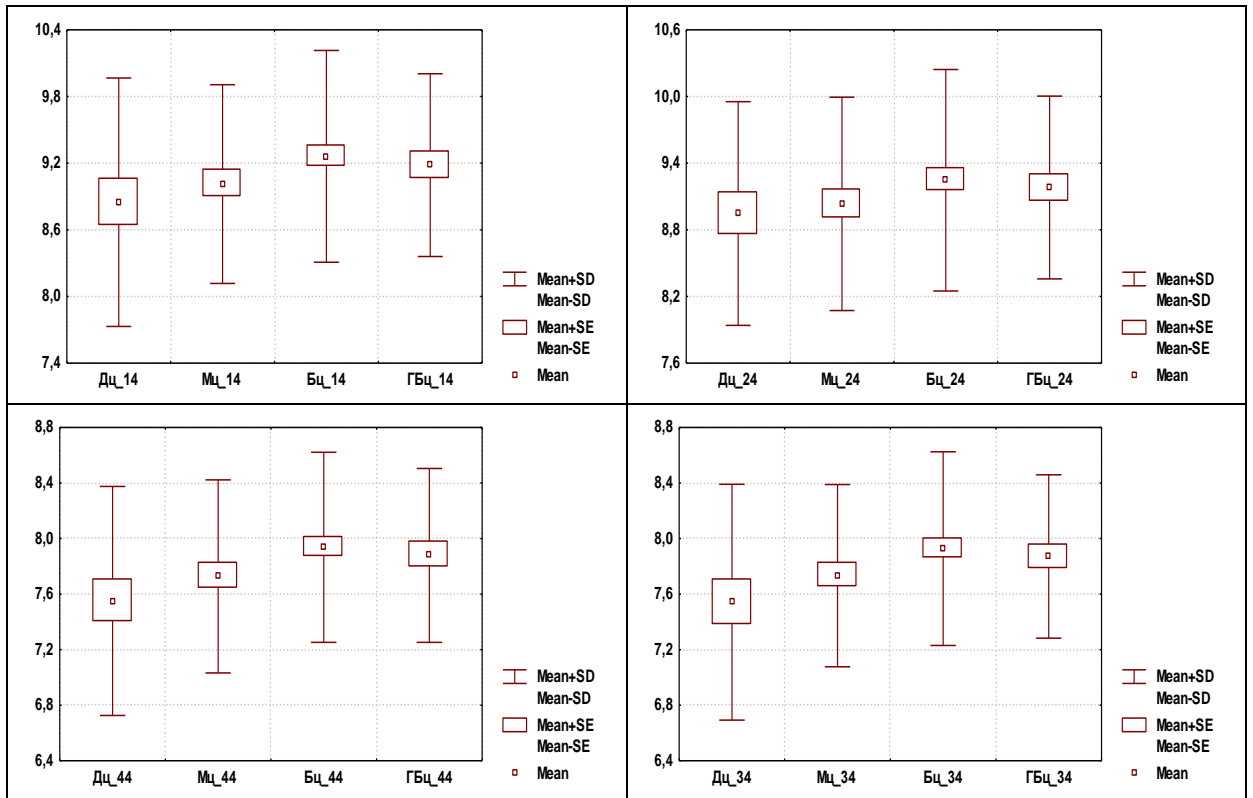


Рис. 3.15 Величина присінково-язикового розміру коронки верхніх правого (14) і лівого (24) та нижніх правого (44) і лівого (34) перших МКЗ у чоловіків різних краніотипів (мм).

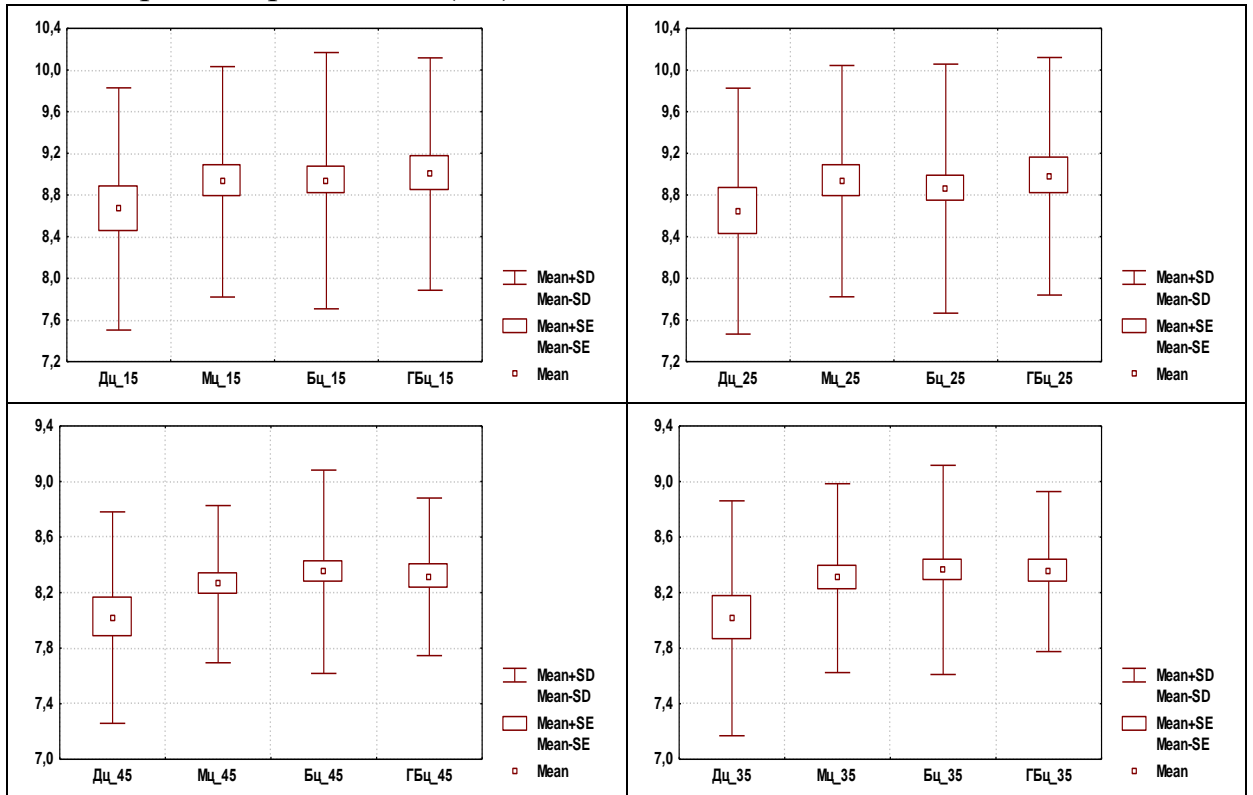


Рис. 3.16 Величина присінково-язикового розміру коронки верхніх правого (15) і лівого (25) та нижніх правого (45) і лівого (35) других МКЗ у чоловіків різних краніотипів (мм).

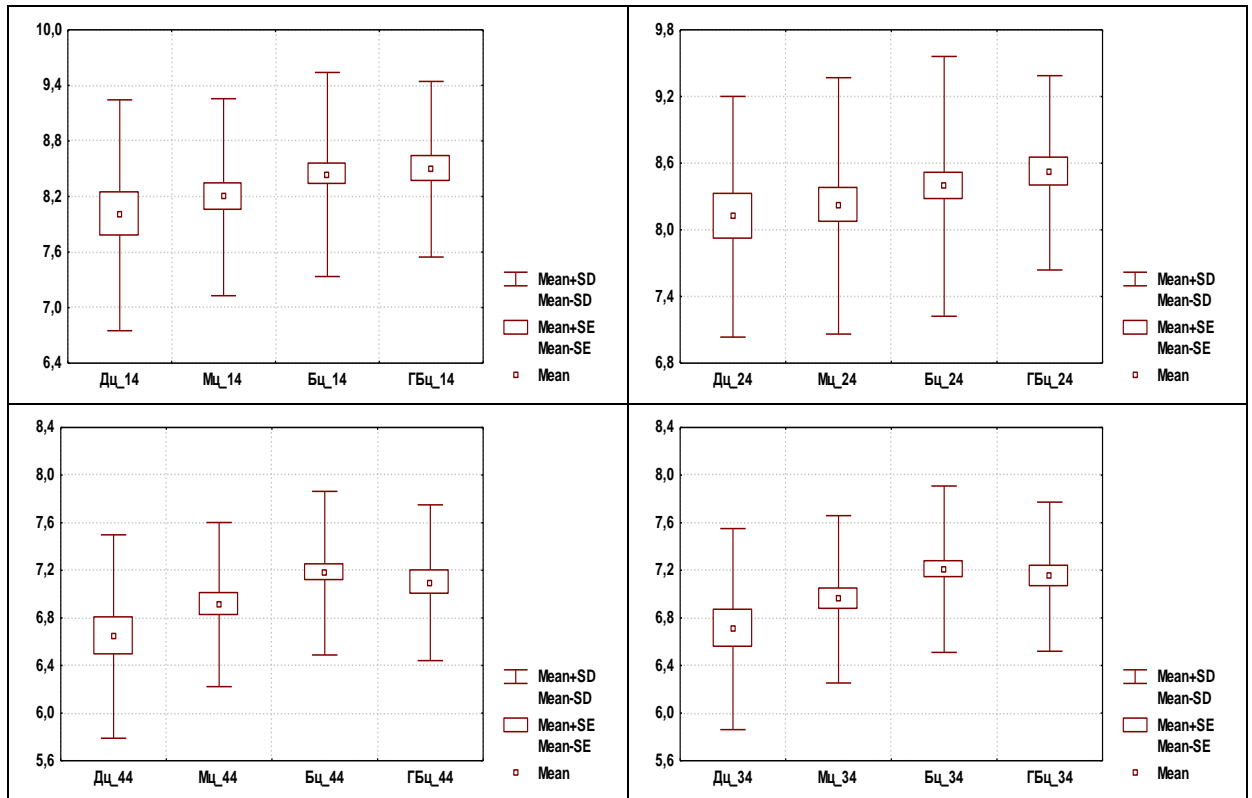


Рис. 3.17 Величина присінково-язикового розміру шийки верхніх правого (14) і лівого (24) та нижніх правого (44) і лівого (34) перших МКЗ у чоловіків різних краніотипів (мм).

($p=0,078$) до менших значень порівняно із чоловіками гіпербрахіцефалами (див. рис. 3.17, табл. Г.4). У чоловіків доліхоцефалів величина *присінково-язикового розміру шийки верхнього лівого першого МКЗ* достовірно ($p<0,05$ в обох випадках) менша порівняно із чоловіками брахі- і гіпербрахіцефалами (див. рис. 3.17, табл. Г.4). Також у чоловіків доліхоцефалів величина *присінково-язикового розміру шийки нижнього лівого першого МКЗ* достовірно менша ($p<0,05-0,01$) порівняно із чоловіками брахіцефалами та гіпербрахіцефалами. Даний показник у чоловіків мезоцефалів достовірно ($p<0,05$) менший порівняно із чоловіками брахіцефалами (див. рис. 3.17, табл. Г.4). У чоловіків доліхоцефалів величина *присінково-язикового розміру шийки нижнього правого першого МКЗ* достовірно менша ($p<0,05-0,01$) порівняно із чоловіками брахіцефалами та гіпербрахіцефалами. Даний показник у чоловіків мезоцефалів достовірно ($p<0,05$) менший порівняно із чоловіками брахіцефалами (див. рис. 3.17, табл. Г.4).

У чоловіків брахіцефалів величина *присінково-язикового* розміру шийки нижнього правого другого МКЗ достовірно більша ($p < 0,05$) порівняно із чоловіками доліхоцефалами та має незначну тенденцію ($p = 0,073$) до більших значень показника порівняно із чоловіками мезоцефалами (рис. 3.18, див. табл. Г.4).

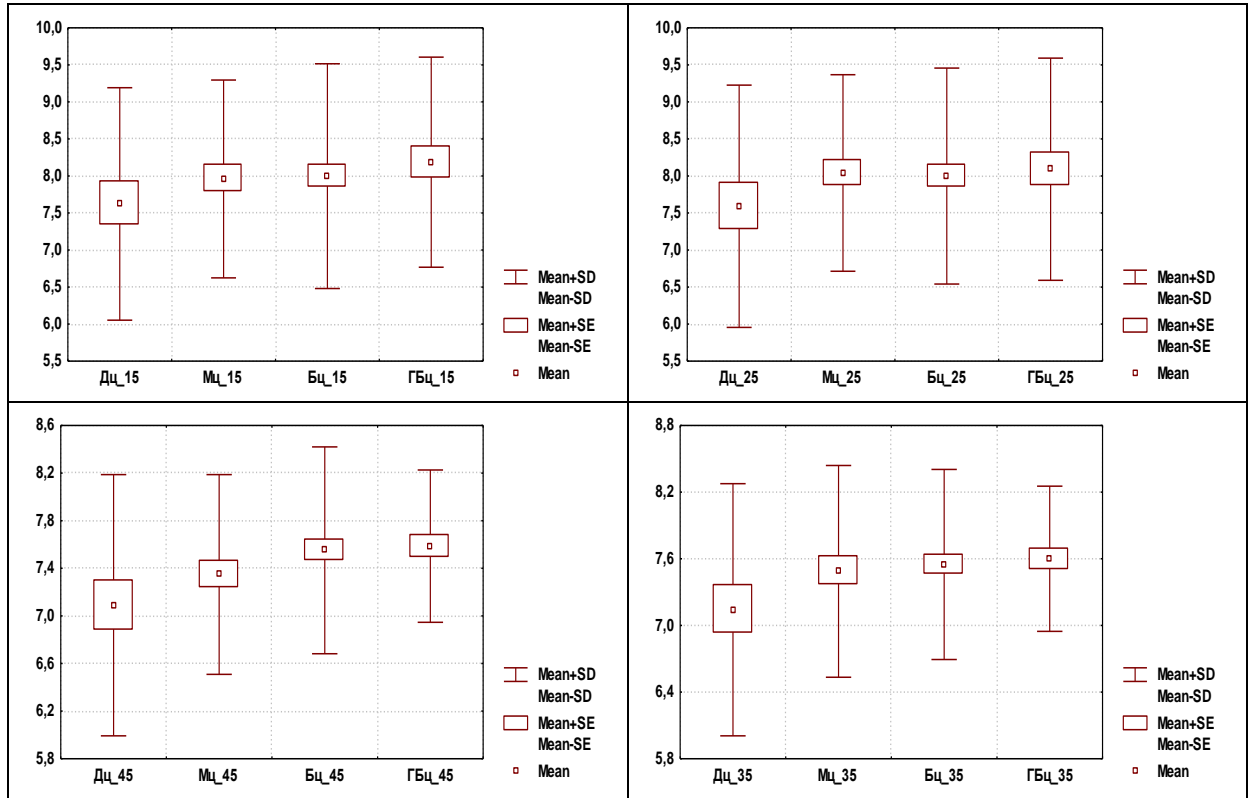


Рис. 3.18 Величина присінково-язикового розміру шийки верхніх правого (15) і лівого (25) та нижніх правого (45) і лівого (35) других МКЗ у чоловіків різних краніотипів (мм).

3.3. Лінійні комп'ютерно-томографічні розміри малих кутніх зубів та їх коренів у практично здорових чоловіків із різним типом обличчя

Встановлені межі процентильного розмаху лінійних КТ-розмірів МКЗ та їх коренів у практично здорових чоловіків України різних типів обличчя наведені у таблиці Г.5.

У чоловіків із середнім обличчям величина висоти верхнього правого першого МКЗ має тенденції до більших значень показника порівняно з чоловіками із широким ($p=0,078$), вузьким ($p=0,062$) і дуже вузьким ($p=0,069$) обличчям (рис. 3.19, табл. Г.6). Також у чоловіків із середнім обличчям величина висоти верхнього лівого першого МКЗ достовірно ($p<0,05$) більша порівняно з чоловіками із вузьким обличчям (див. рис. 3.19, табл. Г.6).

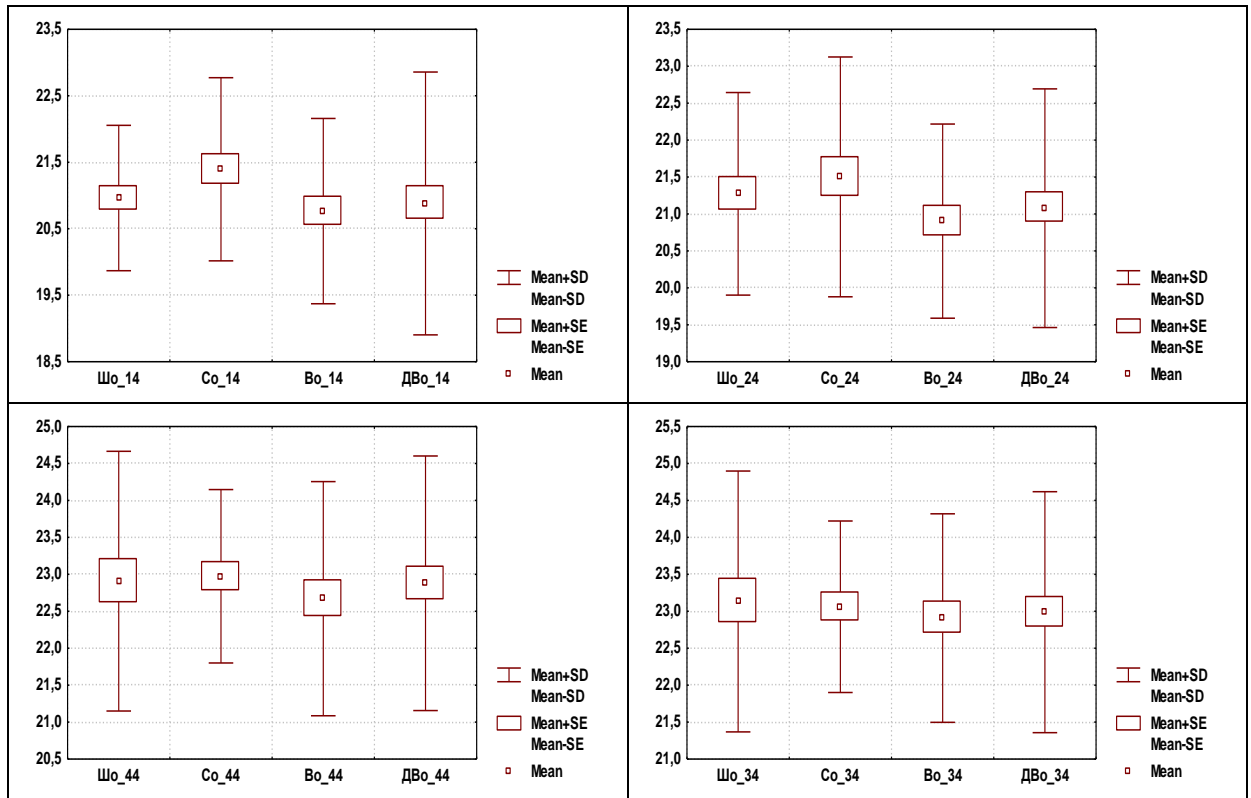


Рис. 3.19 Величина висоти верхніх правого (14) і лівого (24) та нижніх правого (44) і лівого (34) перших МКЗ у чоловіків із різним типом обличчя (мм).

Примітка: тут і в подальшому

1. Шо – широке обличчя;
2. Со – середнє обличчя;
3. Во – вузьке обличчя;
4. ДВо – дуже вузьке обличчя.

У чоловіків із середнім обличчям величина висоти верхнього правого першого МКЗ достовірно ($p<0,05$) більша порівняно з чоловіками із широким обличчям та має незначну тенденцію ($p=0,080$) до більших значень по-

казника порівняно з чоловіками із вузьким обличчям (рис. 3.20, див. табл. Г.6). Також у чоловіків із середнім обличчям величина *висоти верхнього лівого першого МКЗ* достовірно ($p < 0,05$) більша порівняно з чоловіками із широким обличчям (див. рис. 3.20, табл. Г.6).

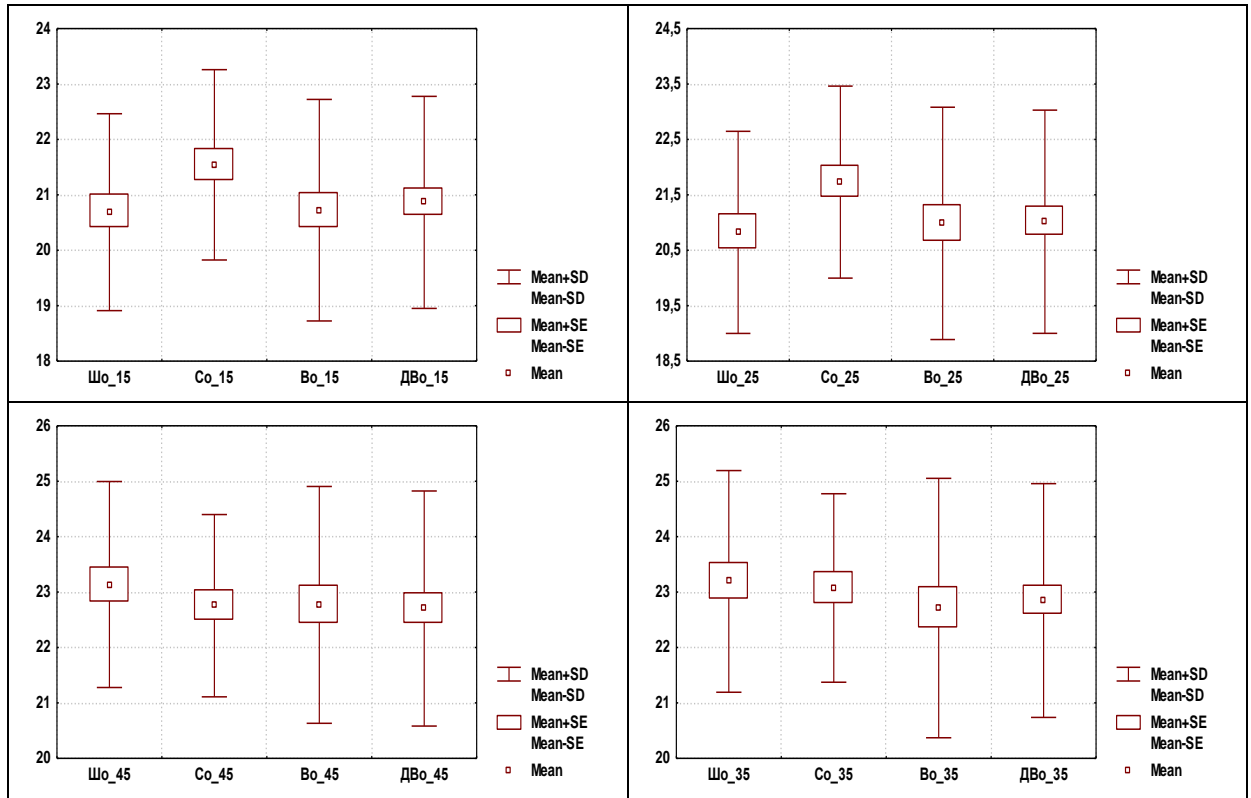


Рис. 3.20 Величина висоти верхніх правого (15) і лівого (25) та нижніх правого (45) і лівого (35) других МКЗ у чоловіків із різним типом обличчя (мм).

У чоловіків із середнім обличчям величина *довжини язикового кореня нижнього правого другого МКЗ* має тенденції до більших значень показника порівняно з чоловіками із широким ($p = 0,078$), вузьким ($p = 0,070$) і дуже вузьким ($p = 0,051$) обличчям (рис. 3.21, див. табл. Г.6).

У чоловіків із середнім обличчям величина *довжини присінкового кореня верхнього правого першого МКЗ* має незначну тенденцію ($p = 0,080$) до більших значень показника порівняно з чоловіками із широким обличчям (рис. 3.22, див. табл. Г.6).

Для величини *довжини кореня нижніх правого і лівого перших та правого і лівого других МКЗ* не встановлено статистично значущих або тенден-

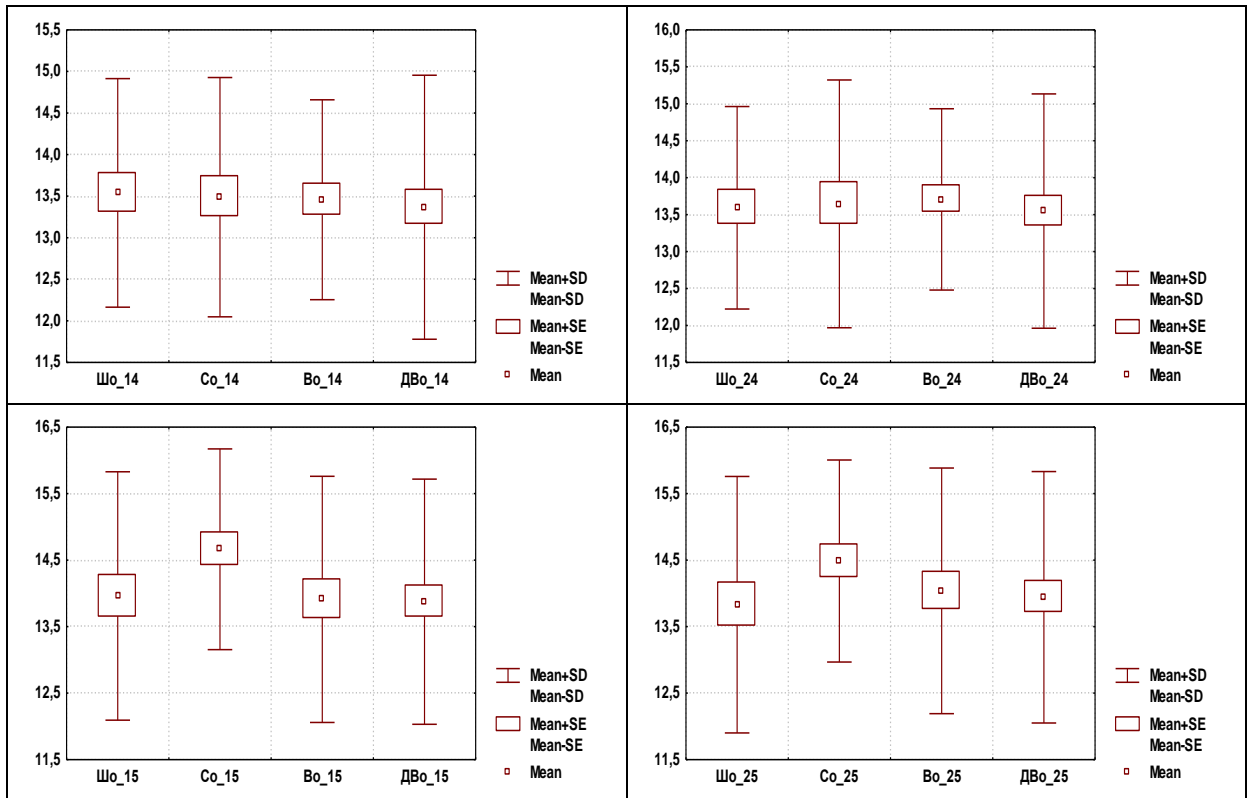


Рис. 3.21 Величина довжини язикового кореня верхніх правого (14) і лівого (24) перших та правого (15) і лівого (25) других МКЗ у чоловіків із різним типом обличчя (мм).

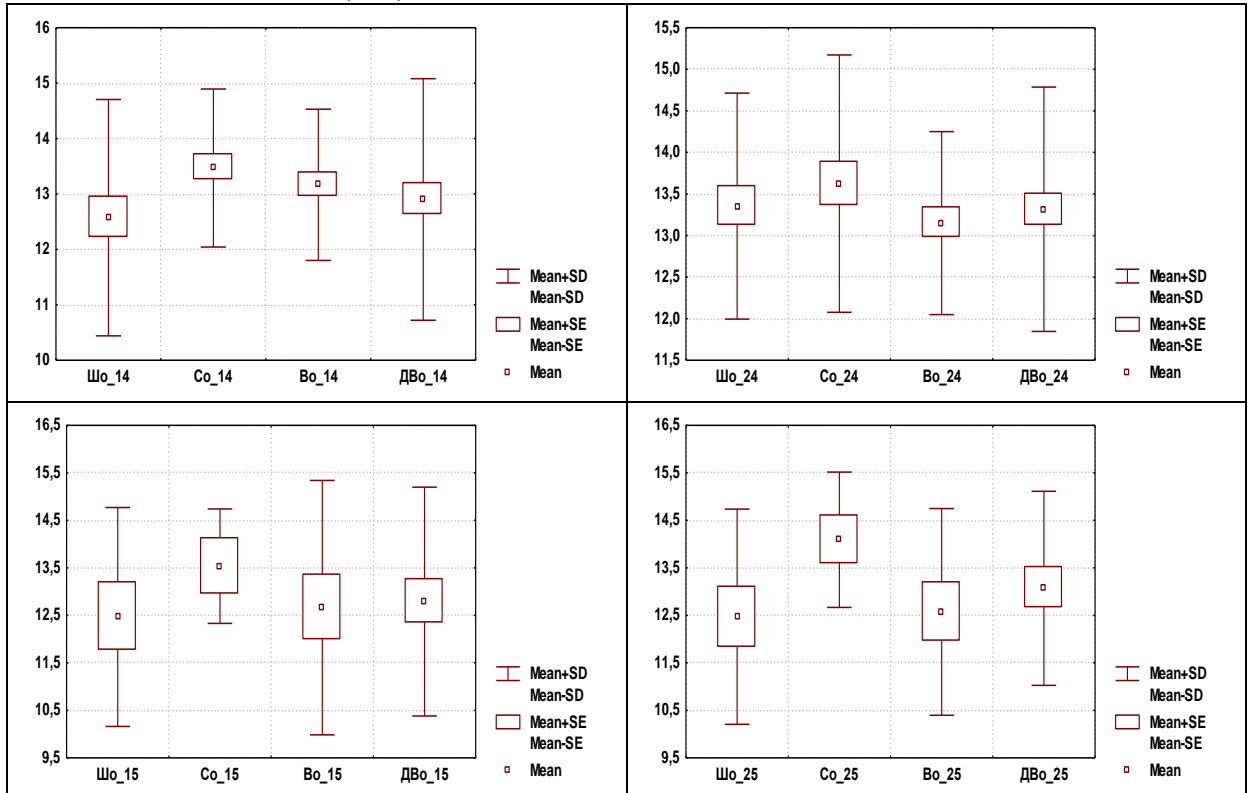


Рис. 3.22 Величина довжини присінкового кореня верхніх правого (14) і лівого (24) перших та правого (15) і лівого (25) других МКЗ у чоловіків із різним типом обличчя (мм).

цій відмінностей величини даного показника у представників з різними типами обличчя (див. табл. Г.6).

У чоловіків із середнім обличчям величина висоти коронки верхнього правого першого МКЗ чоловіками із дуже вузьким обличчям (рис. 3.23, див. табл. Г.6). Також у чоловіків із середнім обличчям величина висоти коронки верхнього лівого першого МКЗ має незначну тенденцію ($p=0,074$) до більших значень показника порівняно з чоловіками із дуже вузьким обличчям (див. рис. 3.23, табл. Г.6).

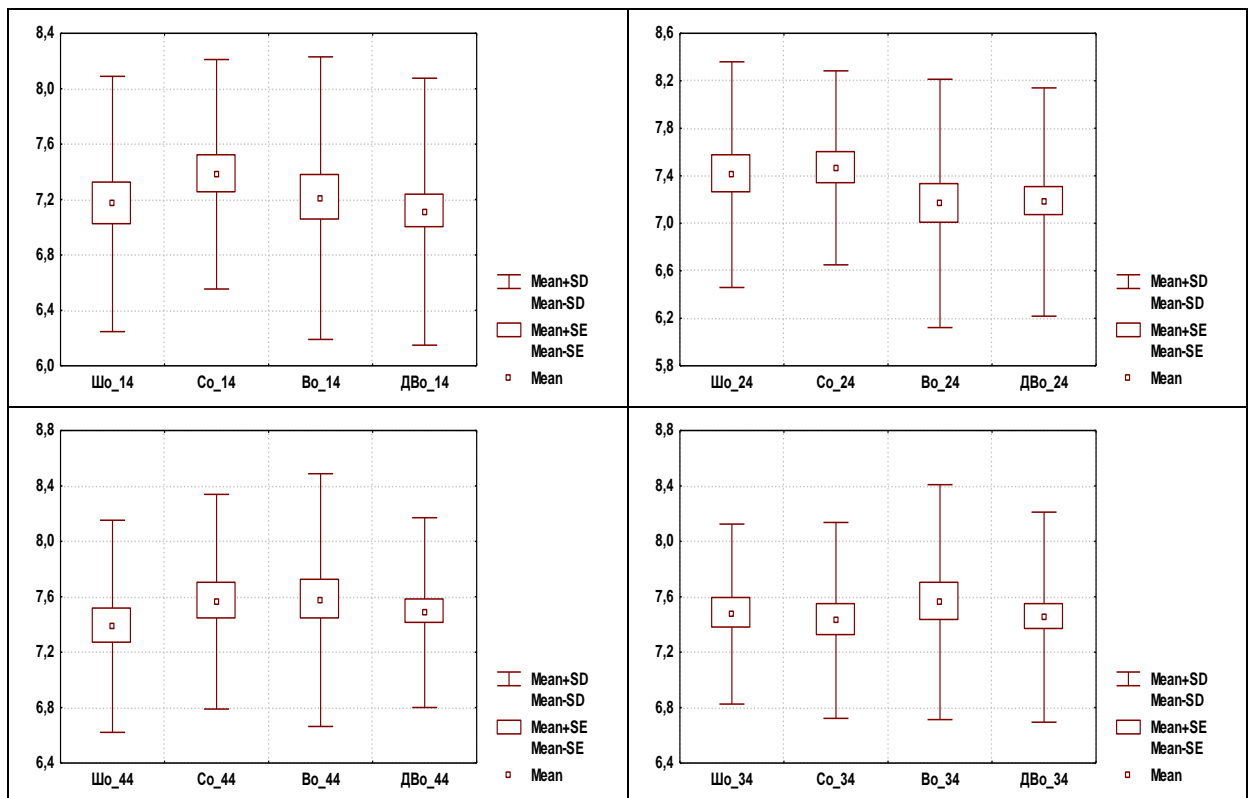


Рис. 3.23 Величина висоти коронки верхніх правого (14) і лівого (24) та нижніх правого (44) і лівого (34) перших МКЗ у чоловіків із різним типом обличчя (мм).

Для величини висоти коронки верхніх правого і лівого та нижніх правого і лівого других МКЗ не встановлено статистично значущих або тенденцій відмінностей величини даного показника у представників з різними типами обличчя (див. табл. Г.6).

Для величини мезіо-дистального розміру коронки верхніх правого і лівого та нижніх правого і лівого перших МКЗ не встановлено статистично

значущих або тенденцій відмінностей величини даного показника у представників з різними типами обличчя (див. табл. Г.6).

Також не встановлено статистично значущих або тенденцій відмінностей величини *мезіо-дистального розміру коронки верхніх правого і лівого та нижніх правого і лівого других МКЗ* у представників з різними типами обличчя (див. табл. Г.6).

У чоловіків із дуже вузьким обличчям *величина мезіо-дистального розміру шийки верхнього правого першого МКЗ* достовірно ($p < 0,05$) менша порівняно з чоловіками із широким обличчям та має незначну тенденцію ($p = 0,078$) до менших значень показника порівняно з чоловіками із середнім обличчям (рис. 3.24, див. табл. Г.6).

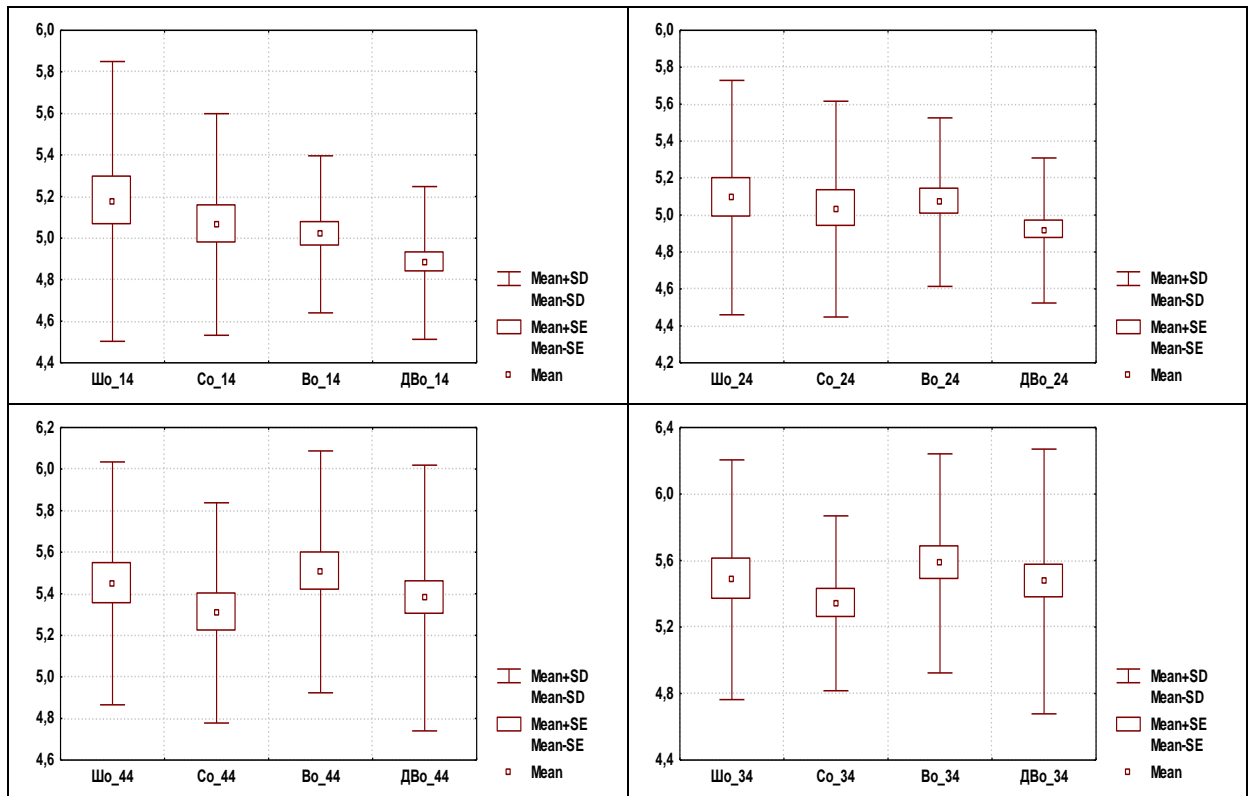


Рис. 3.24 Величина мезіо-дистального розміру шийки верхніх правого (14) і лівого (24) та нижніх правого (44) і лівого (34) перших МКЗ у чоловіків із різним типом обличчя (мм).

У чоловіків із вузьким обличчям *величина мезіо-дистального розміру шийки нижнього лівого другого МКЗ* достовірно ($p < 0,05$) більша порівняно з чоловіками із дуже вузьким обличчям та має незначну тенденцію ($p = 0,73$)

до більших значень показника порівняно з чоловіками із середнім обличчям (рис. 3.25, див. табл. Г.6). Також у чоловіків із вузьким обличчям *величина мезіо-дистального розміру шийки нижнього правого другого МКЗ* має незначну тенденцію ($p=0,078$) до більших значень показника порівняно з чоловіками із середнім обличчям (див. рис. 3.25, табл. Г.6).

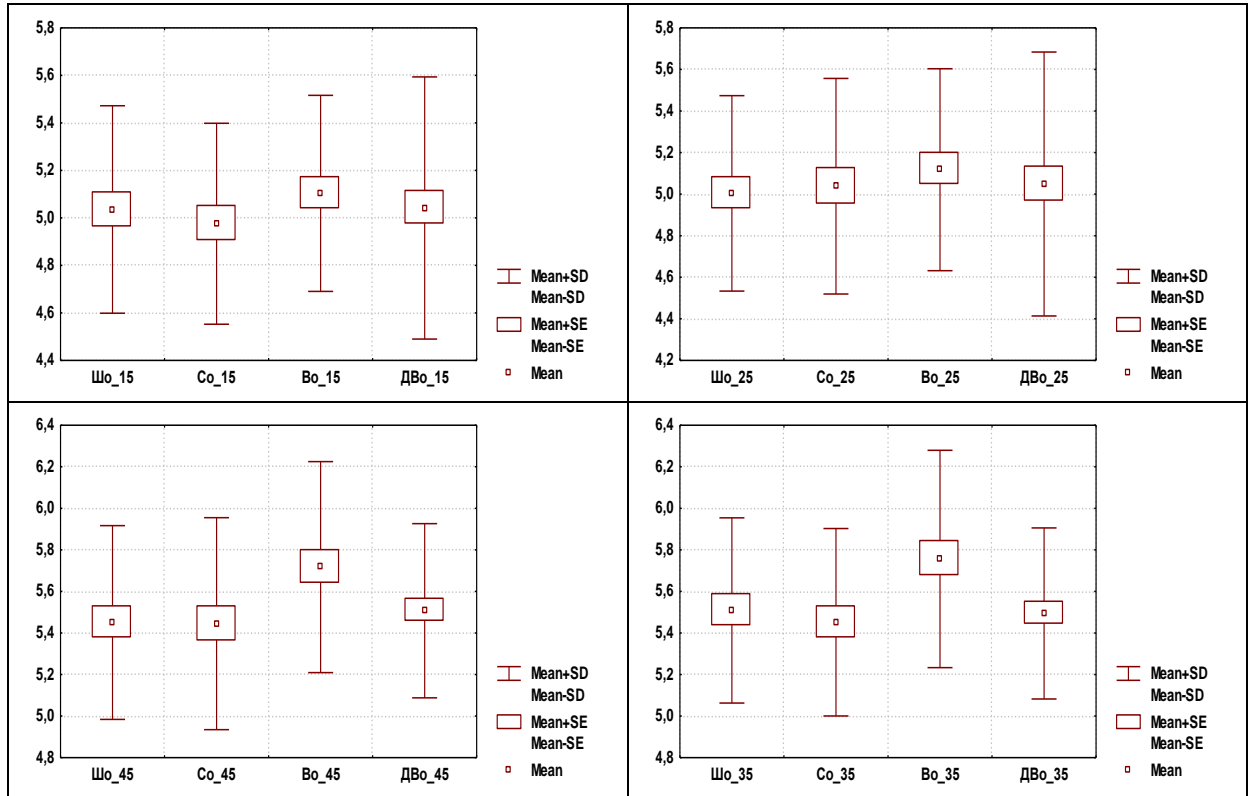


Рис. 3.25 Величина мезіо-дистального розміру шийки верхніх правого (15) і лівого (25) та нижніх правого (45) і лівого (35) других МКЗ у чоловіків із різним типом обличчя (мм).

Для величини *присінково-язикового розміру коронки верхніх правого і лівого та нижніх правого і лівого перших МКЗ* не встановлено статистично значущих або тенденцій відмінностей величини даного показника у представників з різними типами обличчя (див. табл. Г.6).

Також не встановлено статистично значущих або тенденцій відмінностей величини *присінково-язикового розміру коронки верхніх правого і лівого та нижніх правого і лівого других МКЗ* даного показника у представників з різними типами обличчя (див. табл. Г.6).

Таким чином, у практично здорових чоловіків України встановлені

регіональні, краніотипологічні і у представників з різними типами обличчя відмінності КТ-розмірів МКЗ. Найбільша кількість регіональних відмінностей КТ-розмірів МКЗ встановлена для висоти коронок та присінково-язикових розмірів зубів; краніотипологічних – для присінково-язикових розмірів зубів; у представників з різними типами обличчя – переважно на верхній щелепі, для висоти зубів.

Результати досліджень, які представлені в даному розділі дисертації, відображені в 3 наукових статтях у фахових наукових журналах [99, 101, 152] (1 з яких включена до міжнародної наукометричної бази Web of Science) та 2 тезах науково-практичних конференцій [98, 151].

РОЗДІЛ 4

**ЛІНІЙНІ КОМП'ЮТЕРНО-ТОМОГРАФІЧНІ РОЗМІРИ МАЛИХ
КУТНІХ ЗУБІВ ТА ЇХ КОРЕНІВ У ПРАКТИЧНО ЗДОРОВИХ
ЧОЛОВІКІВ ЦЕНТРАЛЬНОГО РЕГІОНУ УКРАЇНИ В ЗАЛЕЖНОСТІ
ВІД ФОРМИ ГОЛОВИ АБО ТИПУ ОБЛИЧЧЯ**

4.1. Лінійні комп'ютерно-томографічні розміри малих кутніх зубів та їх коренів у практично здорових чоловіків центрального регіону України з різною формою голови

Встановлені межі процентильного розмаху лінійних КТ-розмірів МКЗ та їх коренів у практично здорових чоловіків центрального регіону України різних краніотипів наведені у таблиці Д.1.

У чоловіків мезоцефалів величина *висоти верхнього лівого першого МКЗ* достовірно ($p < 0,05$) менша порівняно із чоловіками гіпербрахіцефалами (рис. 4.1, табл. Д.2). Також у чоловіків мезоцефалів величина *висоти нижнього лівого першого МКЗ* має незначну тенденцію ($p = 0,070$) до менших значень показника порівняно із чоловіками гіпербрахіцефалами (див. рис. 4.1, табл. Д.2).

У чоловіків брахіцефалів величина *висоти верхнього правого другого МКЗ* має виражену тенденцію ($p = 0,060$) до менших значень показника порівняно із чоловіками гіпербрахіцефалами (рис. 4.2, див. табл. Д.2). У чоловіків гіпербрахіцефалів величина *висоти нижнього лівого другого МКЗ* має виражену тенденцію ($p = 0,051$) до більших значень порівняно із чоловіками мезоцефалами та незначну тенденцію ($p = 0,080$) до більших значень показника порівняно із чоловіками брахіцефалами (див. рис. 4.2, табл. Д.2).

У чоловіків гіпербрахіцефалів величина *довжини язикового кореня верхнього правого другого МКЗ* має незначну тенденцію ($p = 0,074$) до біль-

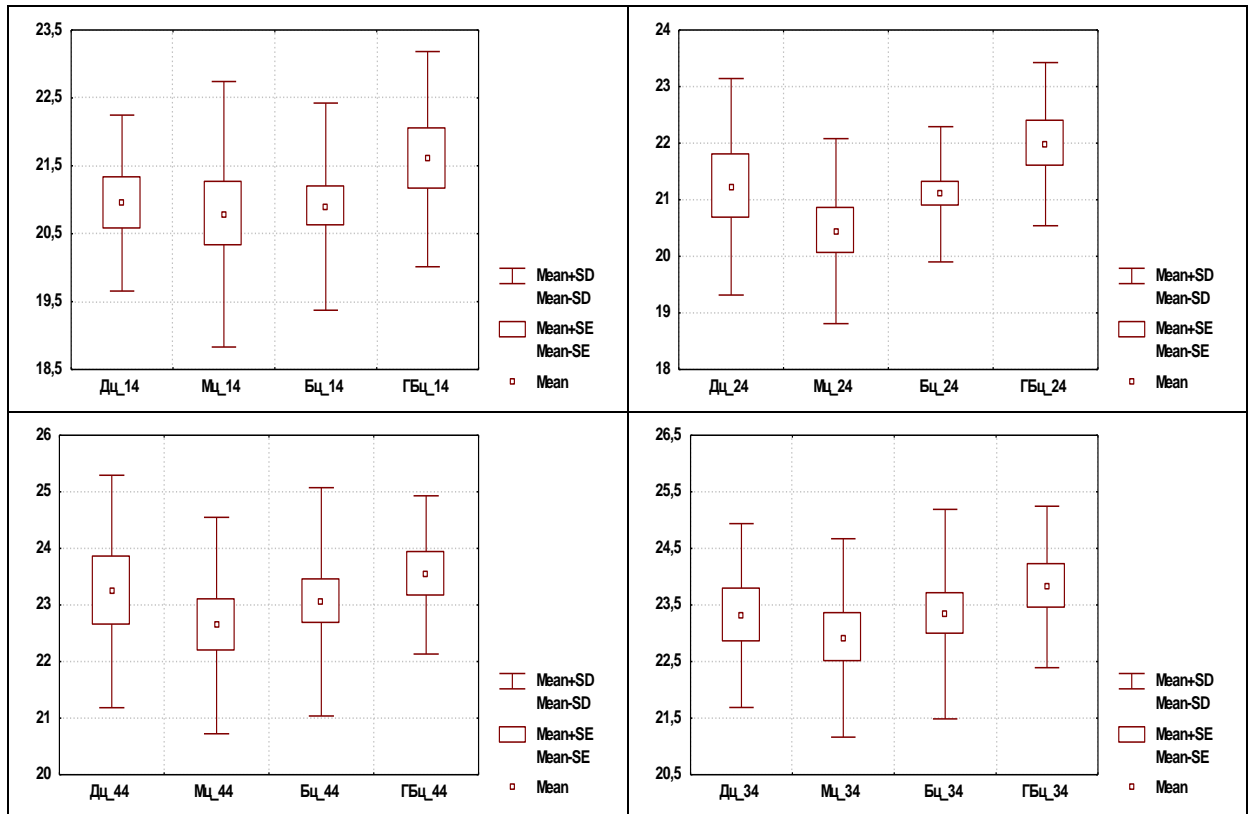


Рис. 4.1 Величина висоти верхніх правого (14) і лівого (24) та нижніх правого (44) і лівого (34) перших МКЗ у чоловіків центрального регіону України різних краніотипів (мм).

Примітка: тут і в подальшому

1. Дц – доліхоцефали;
2. Мц – мезоцефали;
3. Бц – брахіцефали;
4. Гбц – гіпербрахіцефали.

ших значень порівняно із чоловіками брахіцефалами (рис. 4.3, див. табл. Д.2).

Для величини довжини присінкового кореня верхніх правого і лівого перших та правого і лівого других МКЗ не встановлено краніотипологічних статистично значущих або тенденцій відмінностей величини даного показника (див. табл. Д.2).

У чоловіків гіпербрахіцефалів величина довжини кореня нижнього лівого другого МКЗ має тенденцію ($p=0,070$) до більших значень порівняно із чоловіками брахіцефалами (рис. 4.4, див. табл. Д.2).

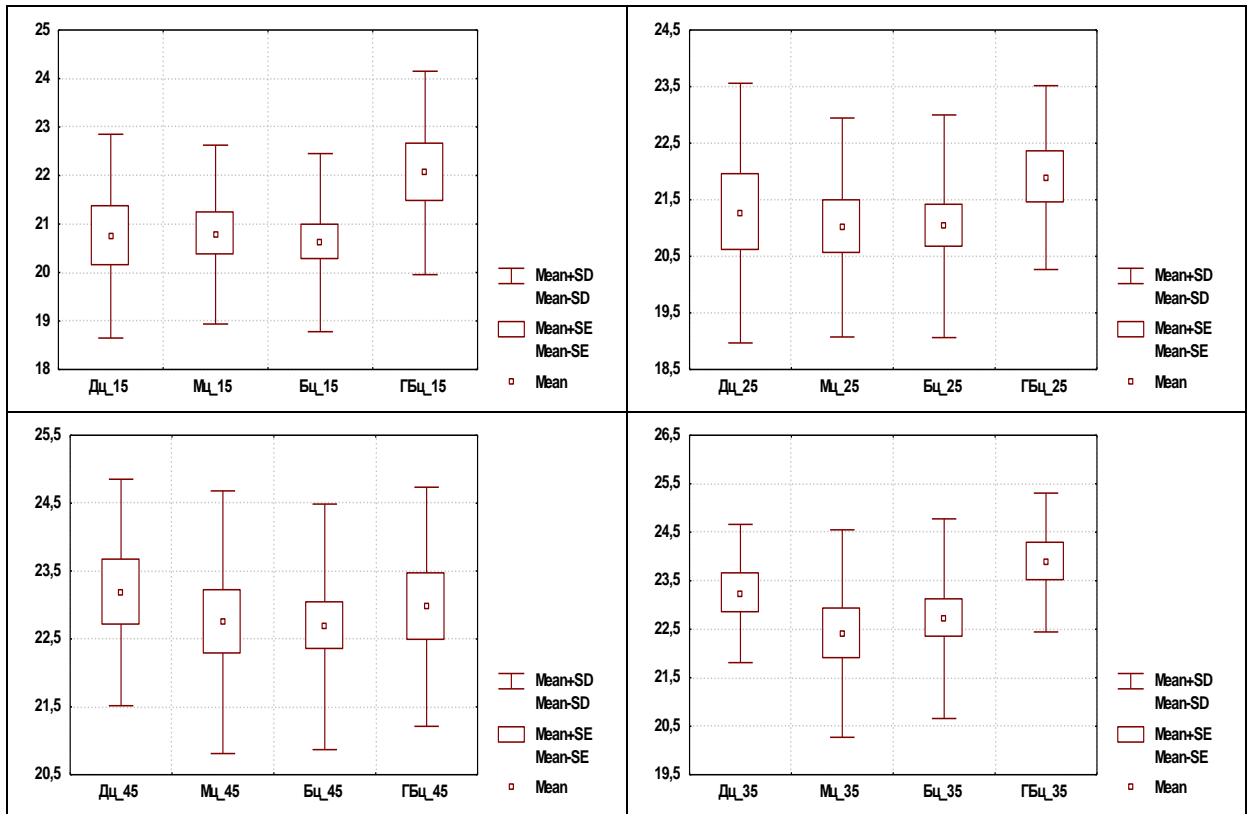


Рис. 4.2 Величина висоти верхніх правого (15) і лівого (25) та нижніх правого (45) і лівого (35) других МКЗ у чоловіків центрального регіону України різних краніотипів (мм).

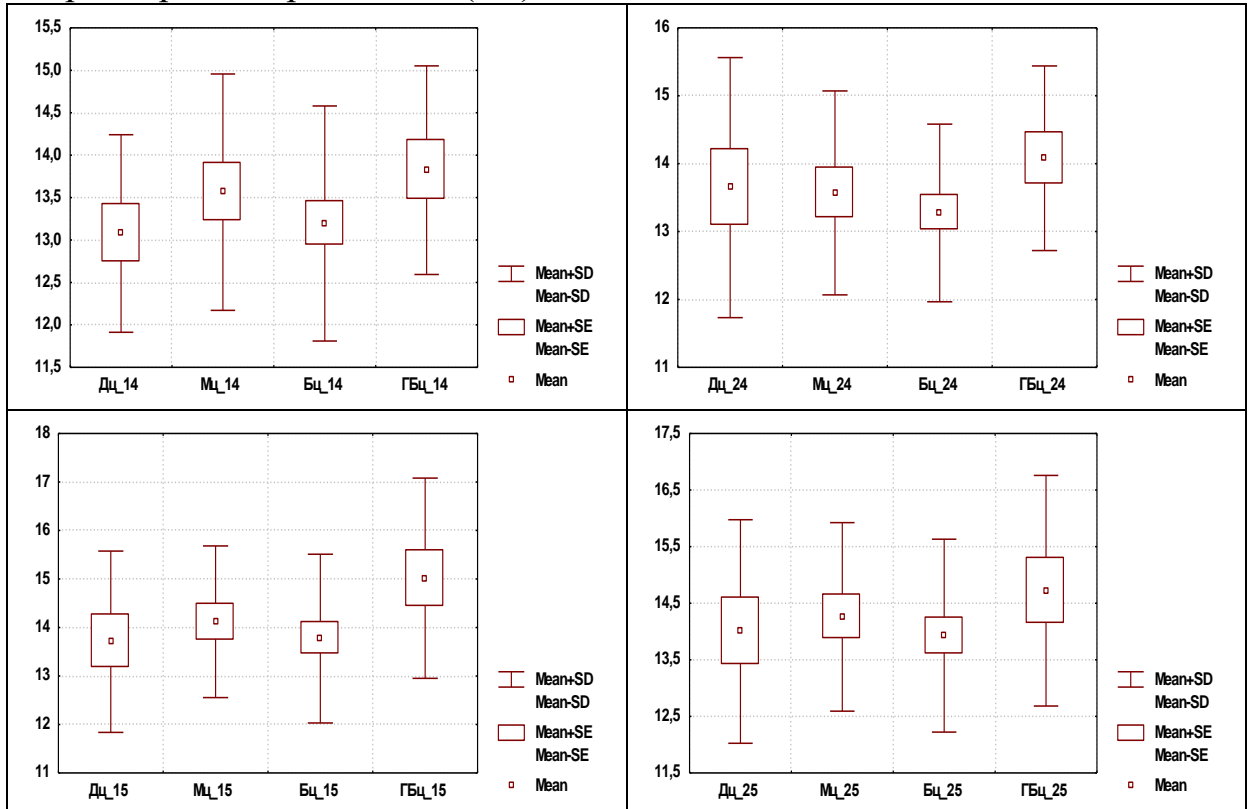


Рис. 4.3 Величина довжини язикового кореня верхніх правого (14) і лівого (24) перших та правого (15) і лівого (25) других МКЗ у чоловіків центрального регіону України різних краніотипів (мм).

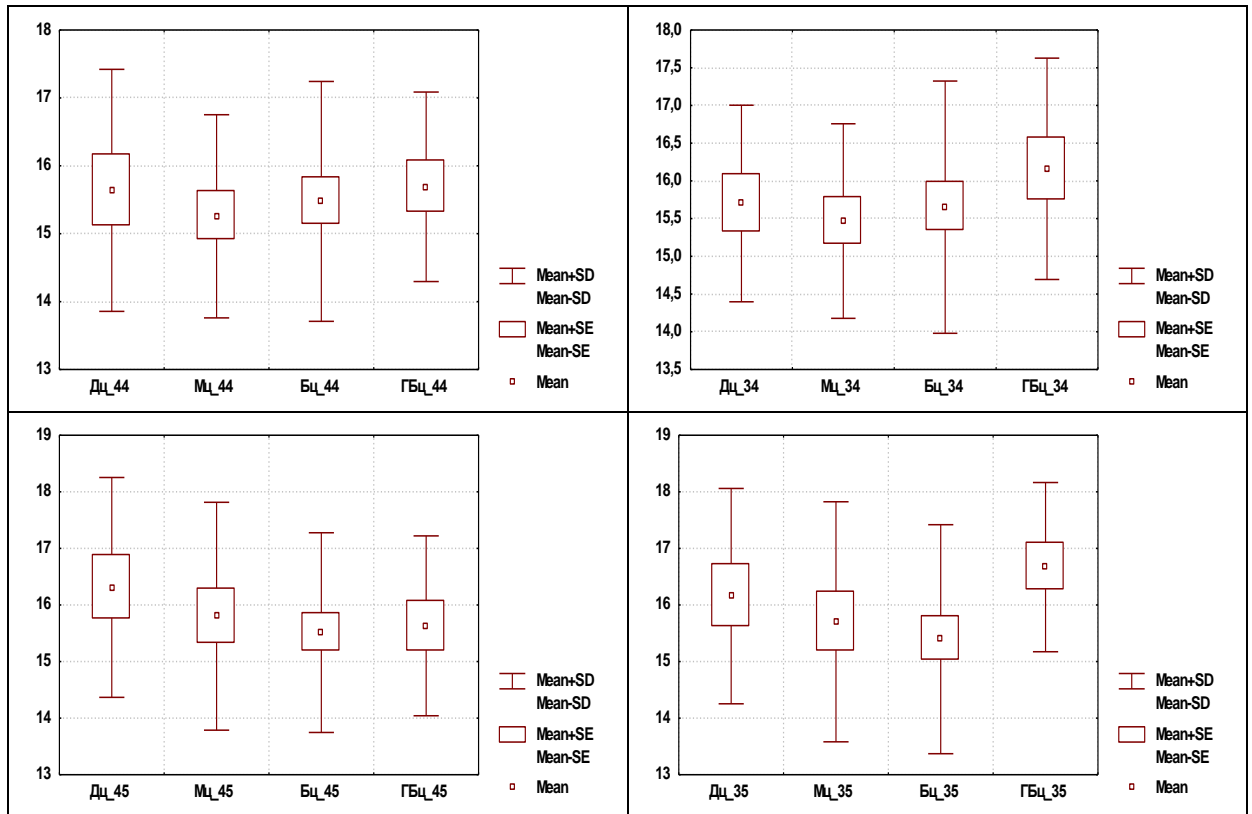


Рис. 4.4 Величина довжини кореня нижніх правого (44) і лівого (34) перших та правого (45) і лівого (35) других МКЗ у чоловіків центрального регіону України різних краніотипів (мм).

У чоловіків доліхоцефалів величина *висоти коронки верхнього правого першого МКЗ* достовірно ($p < 0,05$) менша порівняно із чоловіками брахіцефалами (рис. 4.5, див. табл. Д.2). У чоловіків брахіцефалів величина *висоти коронки верхнього лівого першого МКЗ* достовірно ($p < 0,05$) більша порівняно із чоловіками доліхоцефалами і має тенденцію ($p = 0,061$) до більших значень показника порівняно із чоловіками мезоцефалами (див. рис. 4.5, табл. Д.2). У чоловіків мезоцефалів величина *висоти коронки нижнього правого першого МКЗ* має виражену тенденцію ($p = 0,057$) до менших значень показника порівняно із чоловіками гіпербрахіцефалами (див. рис. 4.5, табл. Д.2).

У чоловіків мезоцефалів величина *висоти коронки нижнього правого другого МКЗ* має тенденцію ($p = 0,070$) до менших значень показника порівняно із чоловіками гіпербрахіцефалами (рис. 4.6, див. табл. Д.2). Також у чоловіків мезоцефалів величина *висоти коронки нижнього лівого другого*

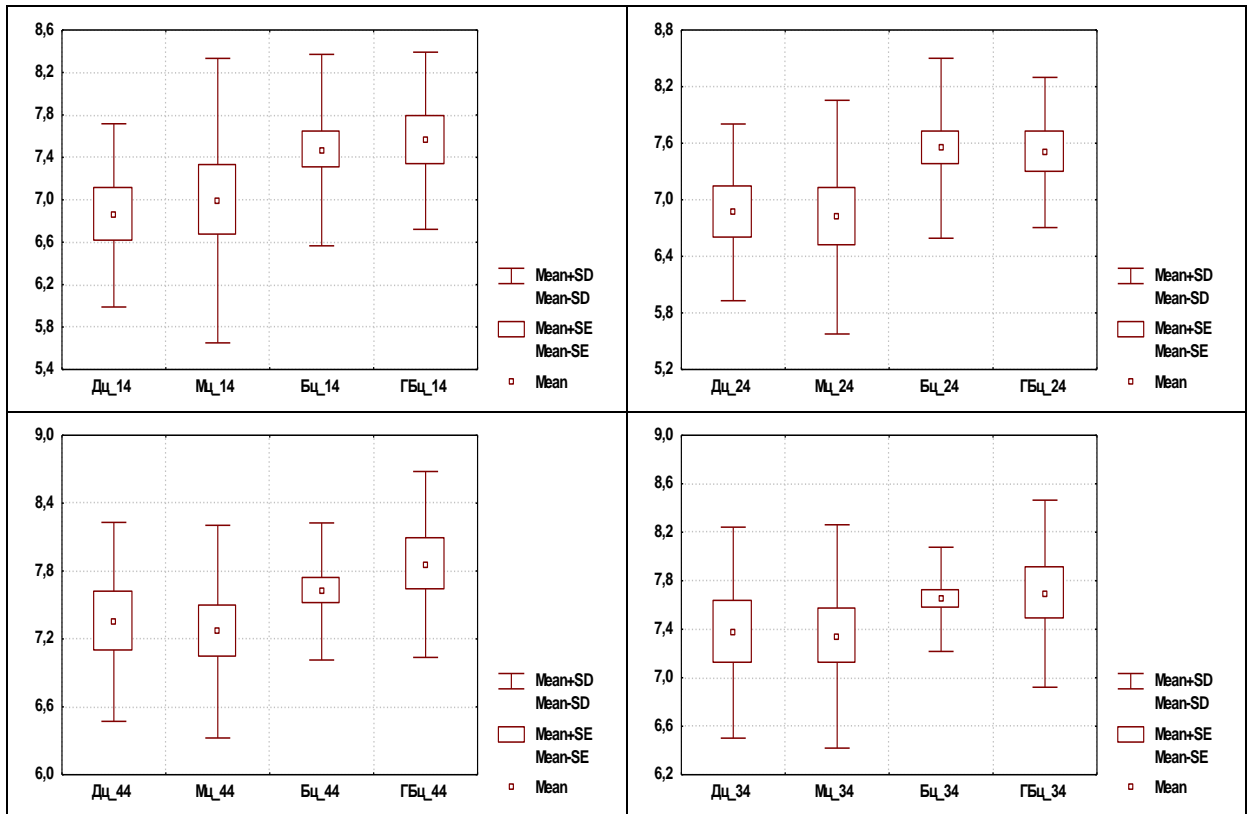


Рис. 4.5 Величина висоти коронки верхніх правого (14) і лівого (24) та нижніх правого (44) і лівого (34) перших МКЗ у чоловіків центрального регіону України різних краніотипів (мм).

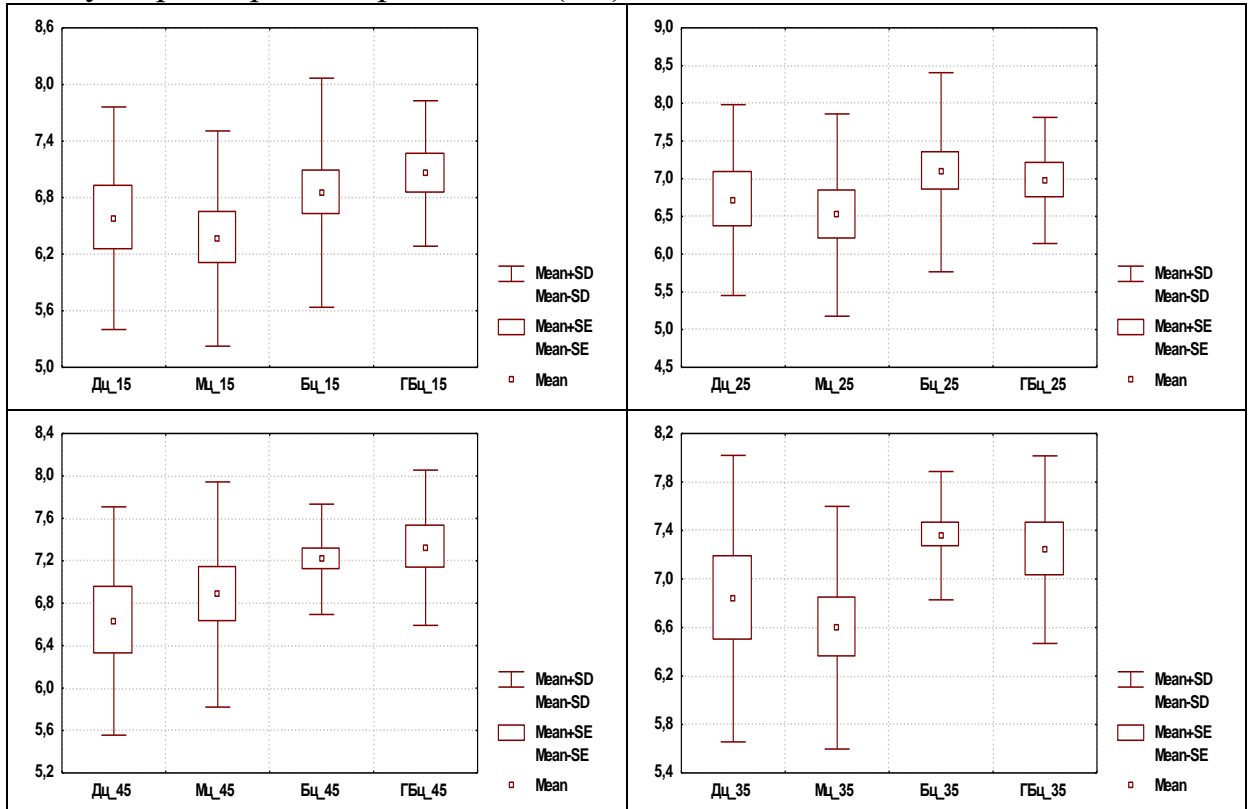


Рис. 4.6 Величина висоти коронки верхніх правого (15) і лівого (25) та нижніх правого (45) і лівого (35) других МКЗ у чоловіків центрального регіону України різних краніотипів (мм).

МКЗ достовірно ($p < 0,01$) менша порівняно із чоловіками брахіцефалами і має тенденцію ($p = 0,063$) до менших значень показника порівняно із чоловіками гіпербрахіцефалами (див. рис. 4.6, табл. Д.2). У чоловіків доліхоцефалів величина висоти коронки нижнього правого другого *МКЗ* має незначну тенденцію ($p = 0,071$) до менших значень показника порівняно із чоловіками брахіцефалами (див. рис. 4.6, табл. Д.2).

У чоловіків брахіцефалів величина мезіо-дистального розміру коронки верхнього правого першого *МКЗ* достовірно ($p < 0,01$) більша порівняно із чоловіками мезоцефалами і має незначну тенденцію ($p = 0,079$) до більших значень показника порівняно із чоловіками гіпербрахіцефалами (рис. 4.7, див. табл. Д.2). У чоловіків мезоцефалів величина мезіо-дистального розміру коронки верхнього лівого першого *МКЗ* достовірно ($p < 0,01$ в обох випадках) менша порівняно із чоловіками брахіцефалами і гіпербрахіцефалами (див. рис. 4.7, табл. Д.2). У чоловіків брахіцефалів величина мезіо-дистального розміру коронки нижнього лівого першого *МКЗ* достовірно ($p < 0,05$) більша порівняно із чоловіками мезоцефалами і має незначну тенденцію ($p = 0,080$) до більших значень показника порівняно із чоловіками доліхоцефалами (див. рис. 4.7, табл. Д.2). У чоловіків мезоцефалів величина мезіо-дистального розміру коронки нижнього правого першого *МКЗ* достовірно ($p < 0,05$ в обох випадках) менша порівняно із чоловіками брахіцефалами і гіпербрахіцефалами (див. рис. 4.7, табл. Д.2).

У чоловіків мезоцефалів величина мезіо-дистального розміру коронки нижнього лівого другого *МКЗ* достовірно ($p < 0,05$) менша порівняно із чоловіками брахіцефалами (рис. 4.8, див. табл. Д.2). У чоловіків доліхоцефалів величина мезіо-дистального розміру коронки нижнього правого другого *МКЗ* достовірно ($p < 0,05$) менша порівняно із чоловіками брахіцефалами і має незначну тенденцію ($p = 0,079$) до менших значень показника порівняно із чоловіками гіпербрахіцефалами. Даний розмір у чоловіків мезоцефалів достовірно ($p < 0,05$) менший порівняно із чоловіками брахіцефалами (див. рис. 4.8, табл. Д.2).

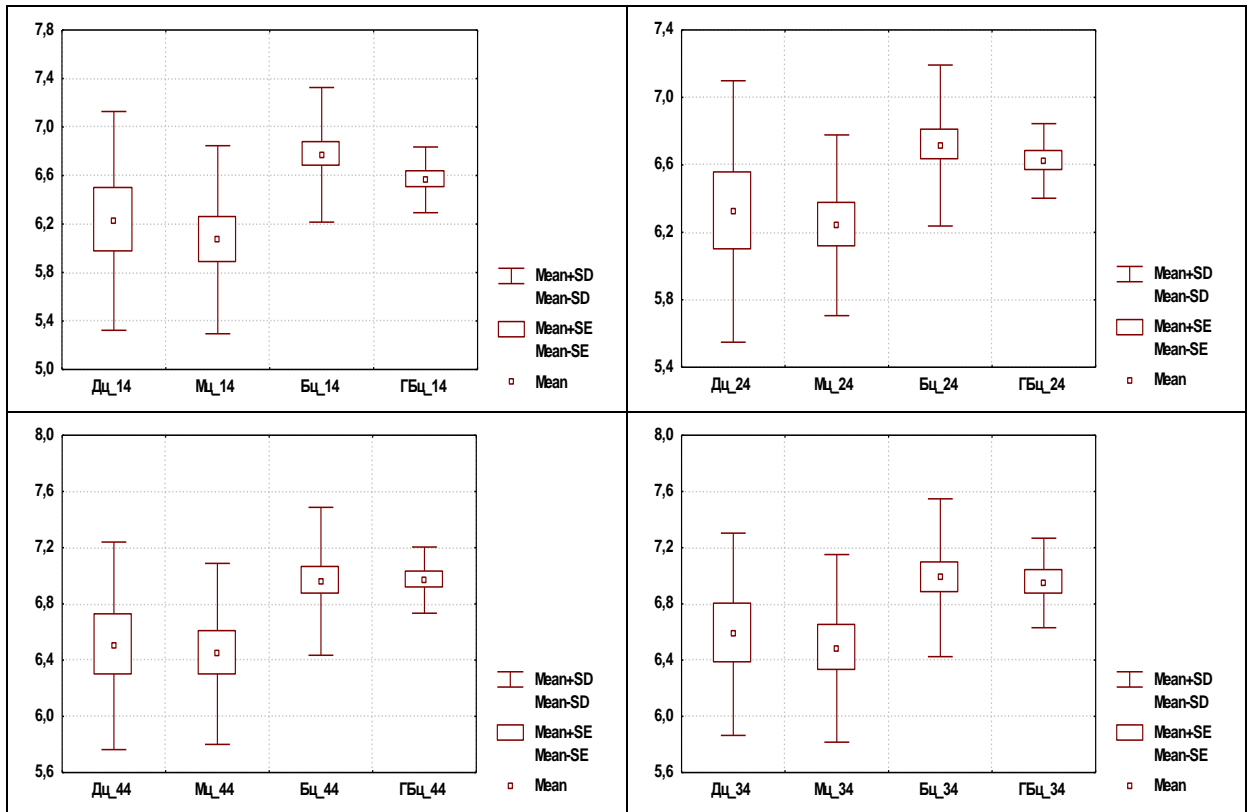


Рис. 4.7 Величина мезіо-дистального розміру коронки верхніх правого (14) і лівого (24) та нижніх правого (44) і лівого (34) перших МКЗ у чоловіків центрального регіону України різних краніотипів (мм).

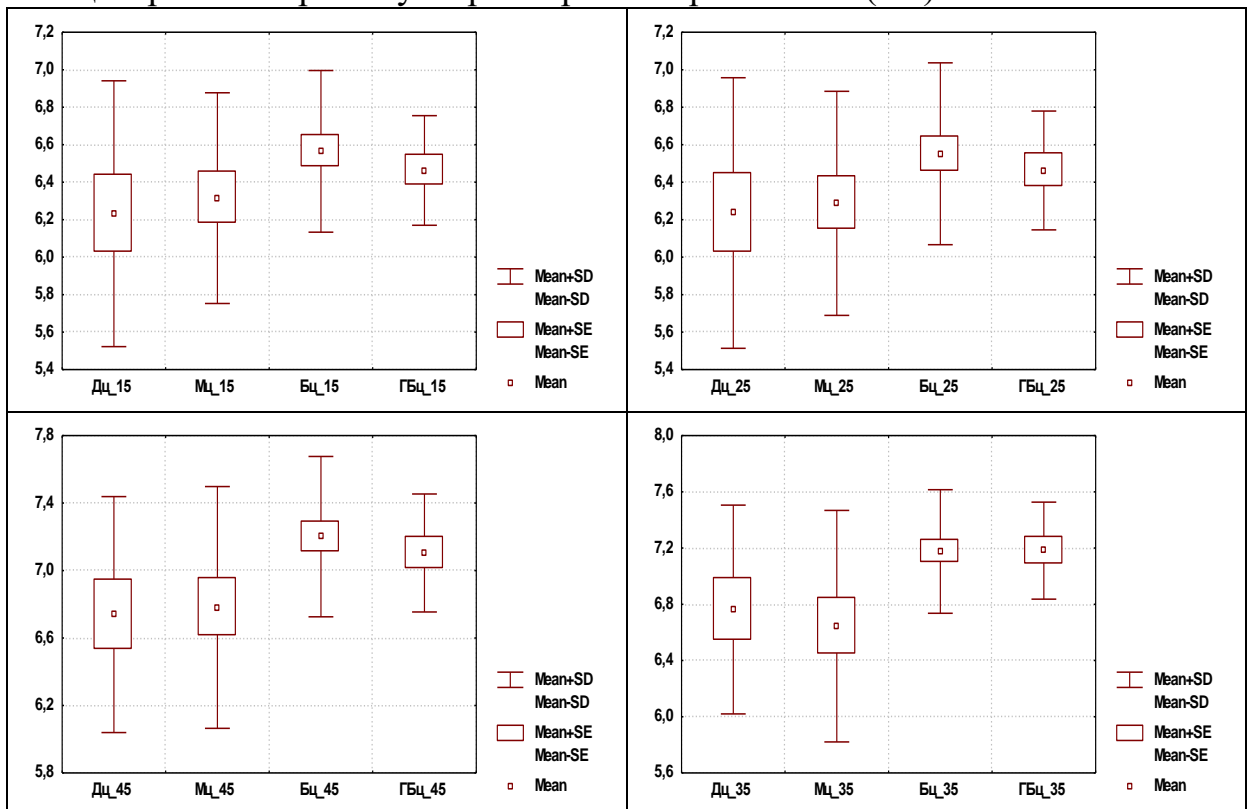


Рис. 4.8 Величина мезіо-дистального розміру коронки верхніх правого (15) і лівого (25) та нижніх правого (45) і лівого (35) других МКЗ у чоловіків центрального регіону України різних краніотипів (мм).

У чоловіків брахіцефалів величина *мезіо-дистального розміру шийки верхнього правого першого МКЗ* достовірно ($p < 0,05$) більша порівняно із чоловіками мезоцефалами, а величина *мезіо-дистального розміру шийки верхнього лівого першого МКЗ* достовірно ($p < 0,05$) більша порівняно із чоловіками мезоцефалами (рис. 4.9, див. табл. Д.2). Також у чоловіків брахіцефалів величина *мезіо-дистального розміру шийки нижнього лівого першого МКЗ* достовірно ($p < 0,05$) більша порівняно із чоловіками мезоцефалами і має виражену тенденцію ($p = 0,057$) до більших значень показника порівняно із чоловіками доліхоцефалами, а величина *мезіо-дистального розміру шийки нижнього правого першого МКЗ* достовірно ($p < 0,05-0,01$) більша порівняно із чоловіками доліхоцефалами і мезоцефалами (див. рис. 4.9, табл. Д.2).

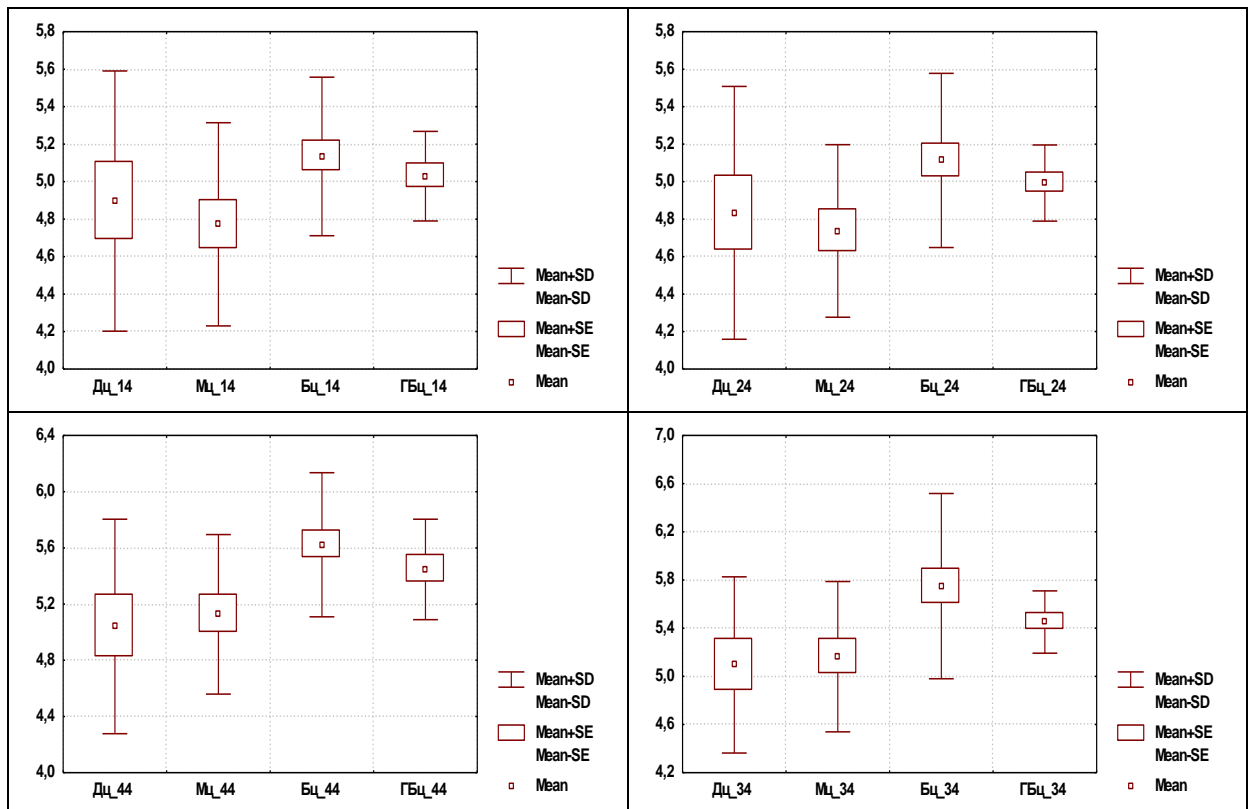


Рис. 4.9 Величина мезіо-дистального розміру шийки верхніх правого (14) і лівого (24) та нижніх правого (44) і лівого (34) перших МКЗ у чоловіків центрального регіону України різних краніотипів (мм).

У чоловіків мезоцефалів величина *мезіо-дистального розміру шийки нижнього лівого другого МКЗ* достовірно ($p < 0,05-0,01$) менша порівняно із

чоловіками брахіцефалами і гіпербрахіцефалами. Даний розмір у чоловіків доліхоцефалів має виражену тенденцію ($p=0,059$) до менших значень показника порівняно із чоловіками брахіцефалами і тенденцію ($p=0,068$) до менших значень показника порівняно із чоловіками гіпербрахіцефалами (рис. 4.10, див. табл. Д.2). У чоловіків брахіцефалів величина *мезіо-дистального розміру шийки нижнього правого другого МКЗ* достовірно ($p<0,05$) більша порівняно із чоловіками мезоцефалами і має виражену тенденцію ($p=0,057$) до більших значень показника порівняно із чоловіками доліхоцефалами (див. рис. 4.10, табл. Д.2).

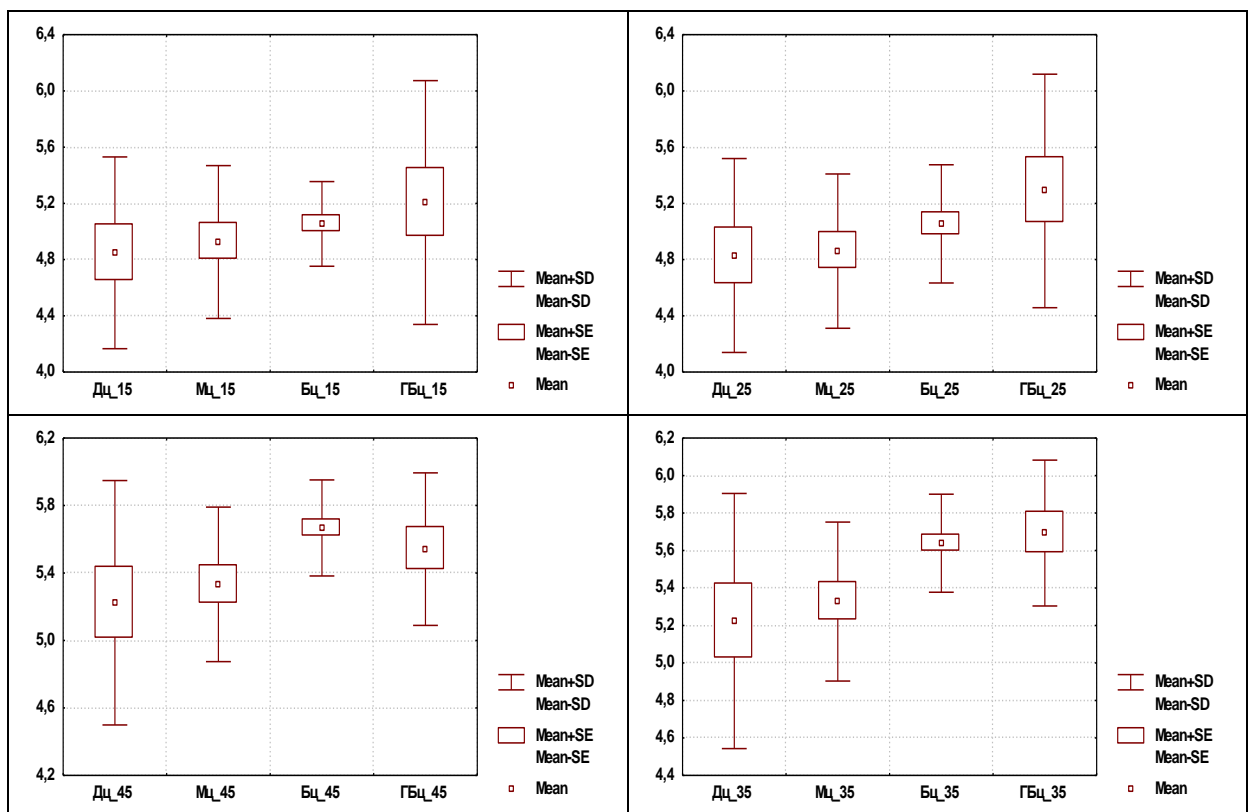


Рис. 4.10 Величина мезіо-дистального розміру шийки верхніх правого (15) і лівого (25) та нижніх правого (45) і лівого (35) других МКЗ у чоловіків центрального регіону України різних краніотипів (мм).

У чоловіків мезоцефалів величина *присінково-язикового розміру коронки верхнього правого першого МКЗ* достовірно ($p<0,01$) менша порівняно із чоловіками брахіцефалами і має незначну тенденцію ($p=0,078$) до менших значень показника порівняно із чоловіками гіпербрахіцефалами (рис. 4.11, див. табл. Д.2). У чоловіків брахіцефалів величина *присінково-язикового ро-*

зміру коронки верхнього лівого першого МКЗ достовірно ($p < 0,01$) більша порівняно із чоловіками мезоцефалами (див. рис. 4.11, табл. Д.2). У чоловіків мезоцефалів величина присінково-язикового розміру коронки нижнього лівого першого МКЗ достовірно ($p < 0,01$ в обох випадках) менша порівняно із чоловіками брахіцефалами і гіпербрахіцефалами (див. рис. 4.11, табл. Д.2). У чоловіків мезоцефалів величина присінково-язикового розміру коронки нижнього правого першого МКЗ достовірно ($p < 0,01$ в обох випадках) більша порівняно із чоловіками брахіцефалами і гіпербрахіцефалами. Даний розмір у чоловіків доліхоцефалів має тенденцію ($p = 0,069$) до менших значень показника порівняно із чоловіками гіпербрахіцефалами і незначну тенденцію ($p = 0,080$) до менших значень показника порівняно із чоловіками брахіцефалами (див. рис. 4.11, табл. Д.2).

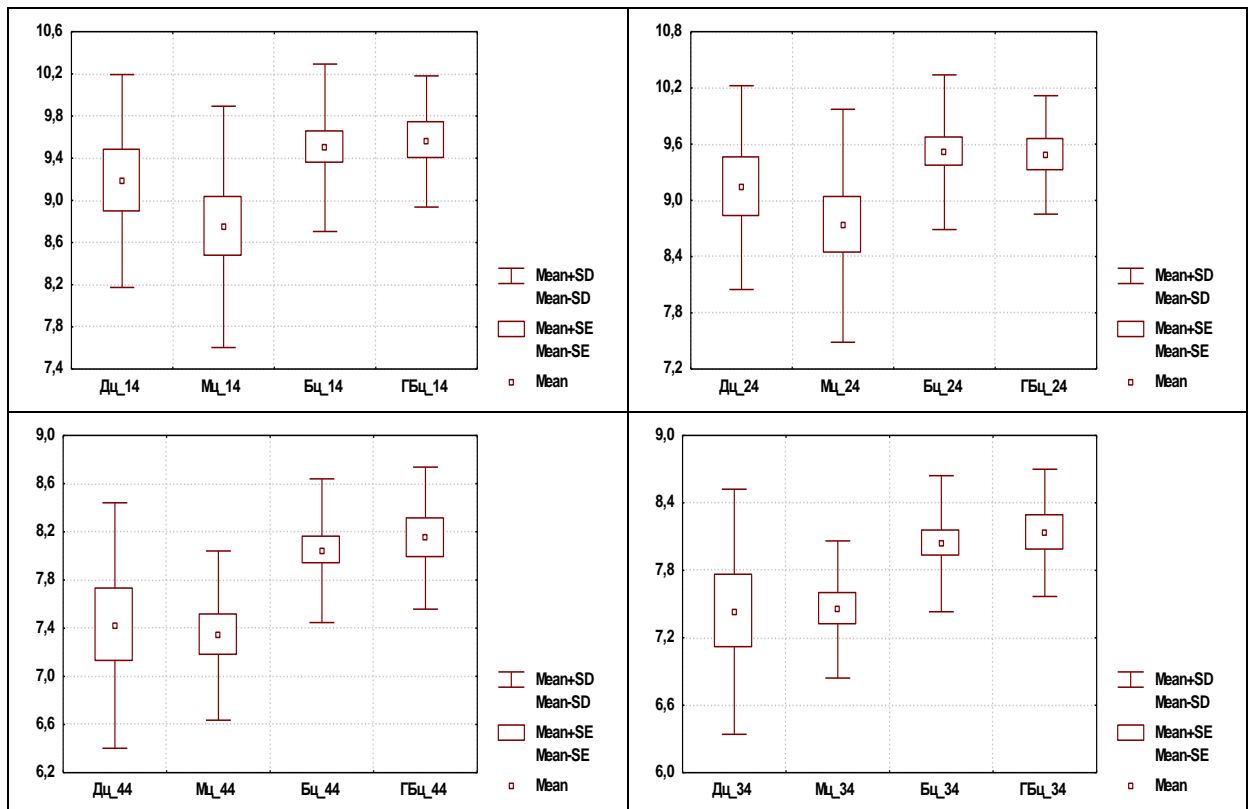


Рис. 4.11 Величина присінково-язикового розміру коронки верхніх правого (14) і лівого (24) та нижніх правого (44) і лівого (34) перших МКЗ у чоловіків центрального регіону України різних краніотипів (мм).

У чоловіків гіпербрахіцефалів величина присінково-язикового розміру коронки верхнього правого другого МКЗ має тенденцію ($p = 0,069$) до біль-

ших значень порівняно із чоловіками доліхоцефалами і має незначну тенденцію ($p=0,080$) до більших значень показника порівняно із чоловіками мезоцефалами (рис. 4.12, див. табл. Д.2). Також у чоловіків гіпербрахіцефалів величина *присінково-язикового розміру коронки верхнього лівого другого МКЗ* має незначну тенденцію ($p=0,074$) до більших значень показника порівняно із чоловіками доліхоцефалами (див. рис. 4.12, табл. Д.2). У чоловіків доліхо- і мезоцефалів величина *присінково-язикового розміру коронки нижнього лівого другого МКЗ* достовірно ($p<0,05$ в усіх випадках) менша порівняно із чоловіками брахіцефалами і гіпербрахіцефалами (див. рис. 4.12, табл. Д.2). У чоловіків мезоцефалів величина *присінково-язикового розміру коронки нижнього правого другого МКЗ* достовірно ($p<0,05$ в обох випадках) більша порівняно із чоловіками брахіцефалами і гіпербрахіцефалами. Даний розмір у чоловіків доліхоцефалів достовірно ($p<0,05$) менший порівняно із чоловіками брахіцефалами та має виражену тенденцію ($p=0,056$) до менших значень показника порівняно із чоловіками гіпербрахіцефалами (див. рис. 4.12, табл. Д.2).

У чоловіків брахіцефалів величина *присінково-язикового розміру шийки верхнього правого першого МКЗ* достовірно ($p<0,05$) більша порівняно із чоловіками мезоцефалами і має незначну тенденцію ($p=0,080$) до менших значень показника порівняно із чоловіками доліхоцефалами (рис. 4.13, див. табл. Д.2). Також у чоловіків брахіцефалів величина *присінково-язикового розміру шийки верхнього лівого першого МКЗ* достовірно ($p<0,05$) більша порівняно із чоловіками мезоцефалами (див. рис. 4.13, табл. Д.2). У чоловіків мезоцефалів величина *присінково-язикового розміру шийки нижнього лівого першого МКЗ* достовірно ($p<0,01$ в обох випадках) менша порівняно із чоловіками брахіцефалами і гіпербрахіцефалами. Даний розмір у чоловіків доліхоцефалів достовірно ($p<0,05$) менший порівняно із чоловіками брахіцефалами (див. рис. 4.13, табл. Д.2). Також у чоловіків мезоцефалів величина *присінково-язикового розміру шийки нижнього правого першого МКЗ* достовірно ($p<0,01$ в обох випадках) менша порівняно із чоловіками

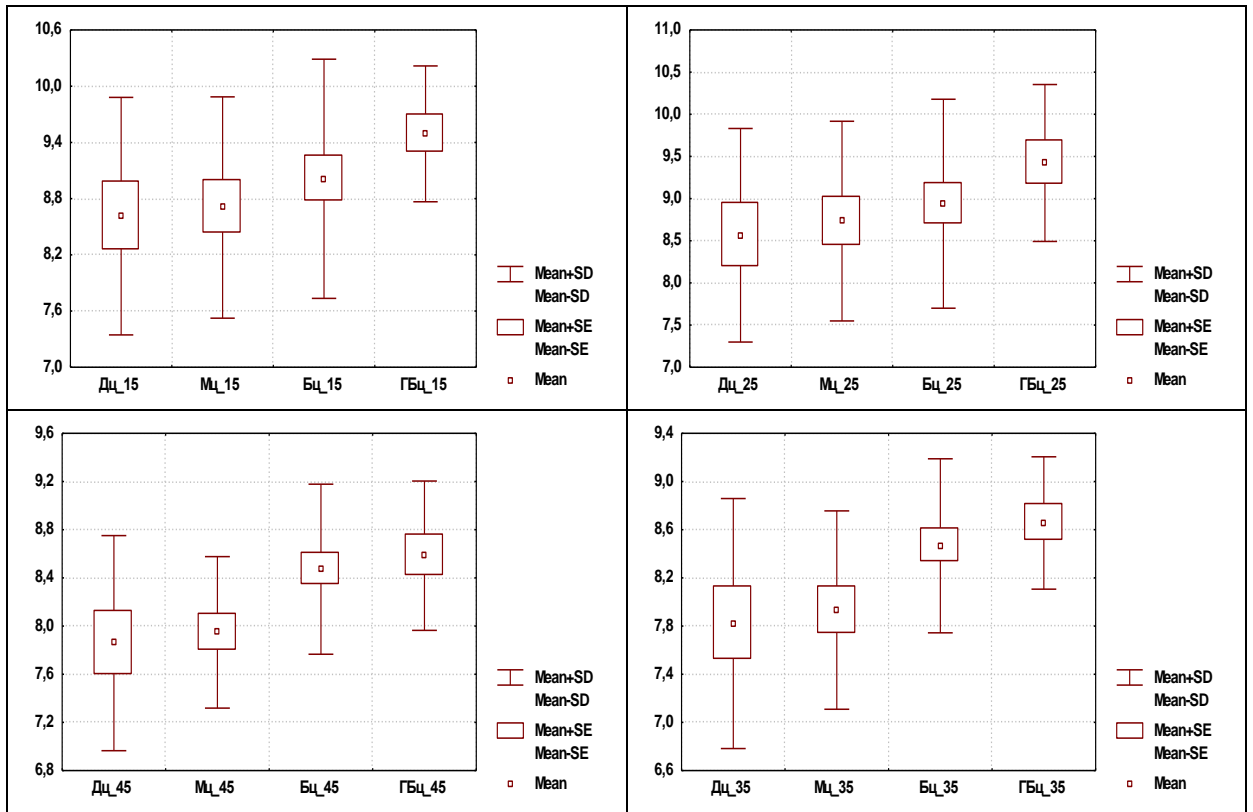


Рис. 4.12 Величина присінково-язикового розміру коронки верхніх правого (15) і лівого (25) та нижніх правого (45) і лівого (35) других МКЗ у чоловіків центрального регіону України різних краніотипів (мм).

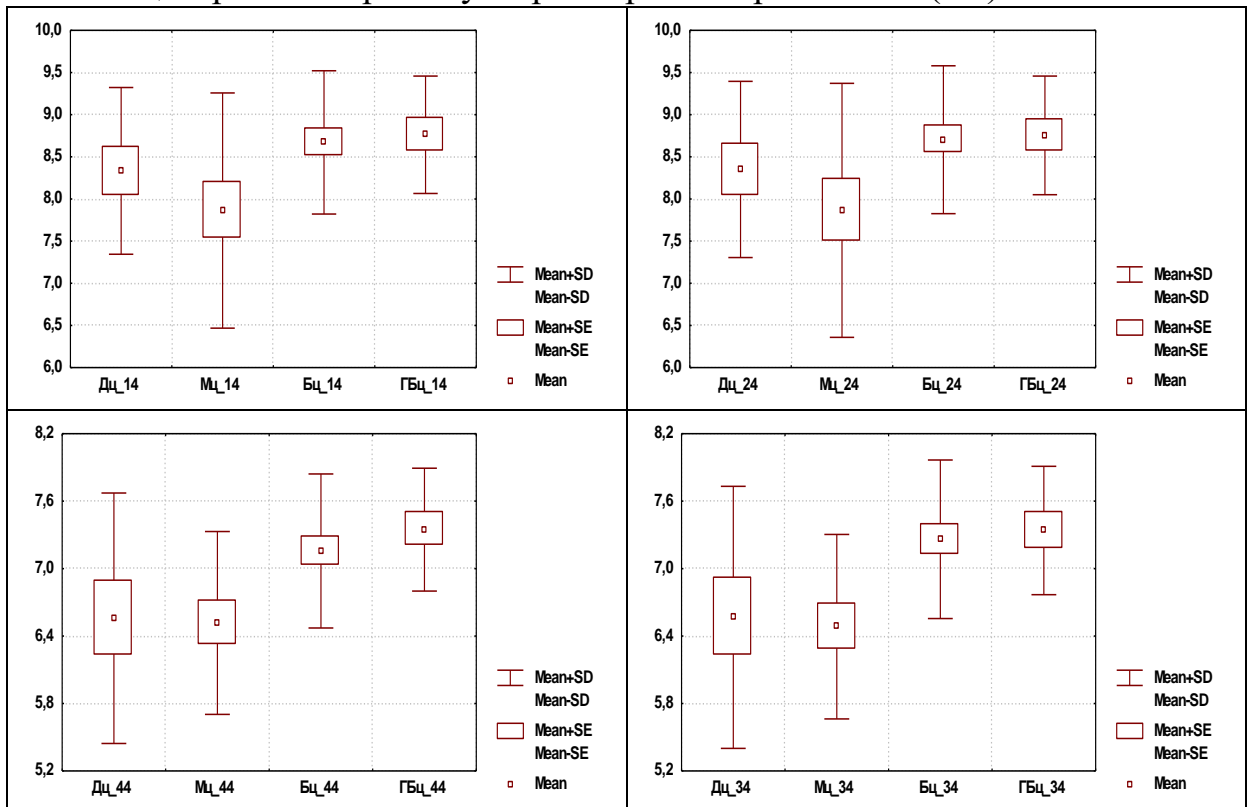


Рис. 4.13 Величина присінково-язикового розміру шийки верхніх правого (14) і лівого (24) та нижніх правого (44) і лівого (34) перших МКЗ у чоловіків центрального регіону України різних краніотипів (мм).

брахіцефалами і гіпербрахіцефалами. Даний розмір у чоловіків доліхоцефалів достовірно ($p < 0,05$) менший порівняно із чоловіками гіпербрахіцефалами (див. рис. 4.13, табл. Д.2).

У чоловіків доліхоцефалів величина *присінково-язикового розміру шийки верхнього правого другого МКЗ* достовірно ($p < 0,05$) менша, а у чоловіків мезоцефалів має виражену тенденцію ($p = 0,060$) до менших значень показника порівняно із чоловіками гіпербрахіцефалами (рис. 4.14, див. табл. Д.2). У чоловіків гіпербрахіцефалів величина *присінково-язикового розміру шийки верхнього лівого другого МКЗ* достовірно ($p < 0,05$) більша порівняно із чоловіками доліхоцефалами (див. рис. 4.14, табл. Д.2). У чоловіків мезоцефалів величина *присінково-язикового розміру коронки нижнього лівого другого МКЗ* має виражену тенденцію ($p = 0,053$) до менших значень показника порівняно із чоловіками брахіцефалами та тенденцію ($p = 0,067$) до менших значень показника порівняно із чоловіками гіпербрахіцефалами. Даний розмір у чоловіків доліхоцефалів має тенденцію ($p = 0,065$) до менших значень показника порівняно із чоловіками гіпербрахіцефалами (див. рис. 4.14, табл. Д.2). Також у чоловіків мезоцефалів величина *присінково-язикового розміру шийки нижнього правого другого МКЗ* достовірно ($p < 0,05$ в обох випадках) менша порівняно із чоловіками брахіцефалами і гіпербрахіцефалами (див. рис. 4.14, табл. Д.2).

4.2. Лінійні комп'ютерно-томографічні розміри малих кутніх зубів та їх коренів у практично здорових чоловіків центрального регіону України з різним типом обличчя

Встановлені межі процентильного розмаху лінійних КТ-розмірів МКЗ та їх коренів у практично здорових чоловіків центрального регіону України різних типів наведені у таблиці Д.3.

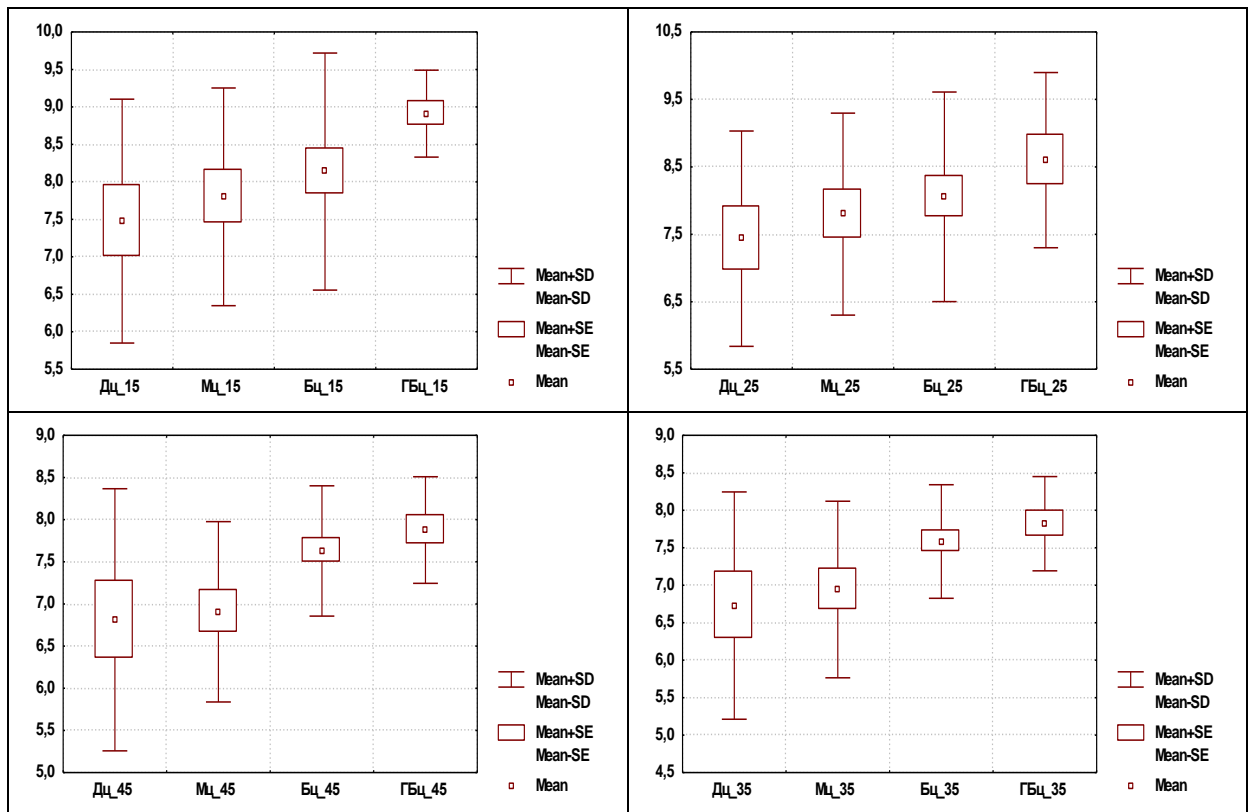


Рис. 4.14 Величина присінково-язикового розміру шийки верхніх правого (15) і лівого (25) та нижніх правого (45) і лівого (35) других МКЗ у чоловіків центрального регіону України різних краніотипів (мм).

У чоловіків із вузьким обличчям величина висоти верхнього правого першого МКЗ достовірно ($p < 0,05$) менша порівняно із чоловіками із середнім обличчям та має незначні тенденції до менших значень показника порівняно з чоловіками із широким ($p = 0,079$) і дуже вузьким ($p = 0,077$) обличчям (рис. 4.15, табл. Д.4). У чоловіків із середнім обличчям величина висоти верхнього лівого першого МКЗ достовірно ($p < 0,05$) більша порівняно із чоловіками із вузьким обличчям та має тенденцію ($p = 0,069$) до більших значень показника порівняно з чоловіками із широким обличчям (див. рис. 4.15, табл. Д.4). У чоловіків із вузьким обличчям величина висоти нижнього правого першого МКЗ має тенденцію ($p = 0,067$) до менших значень показника порівняно з чоловіками із дуже вузьким обличчям (див. рис. 4.15, табл. Д.4).

У чоловіків із широким обличчям величина висоти верхнього правого другого МКЗ достовірно ($p < 0,05$) менша порівняно із чоловіками із середнім

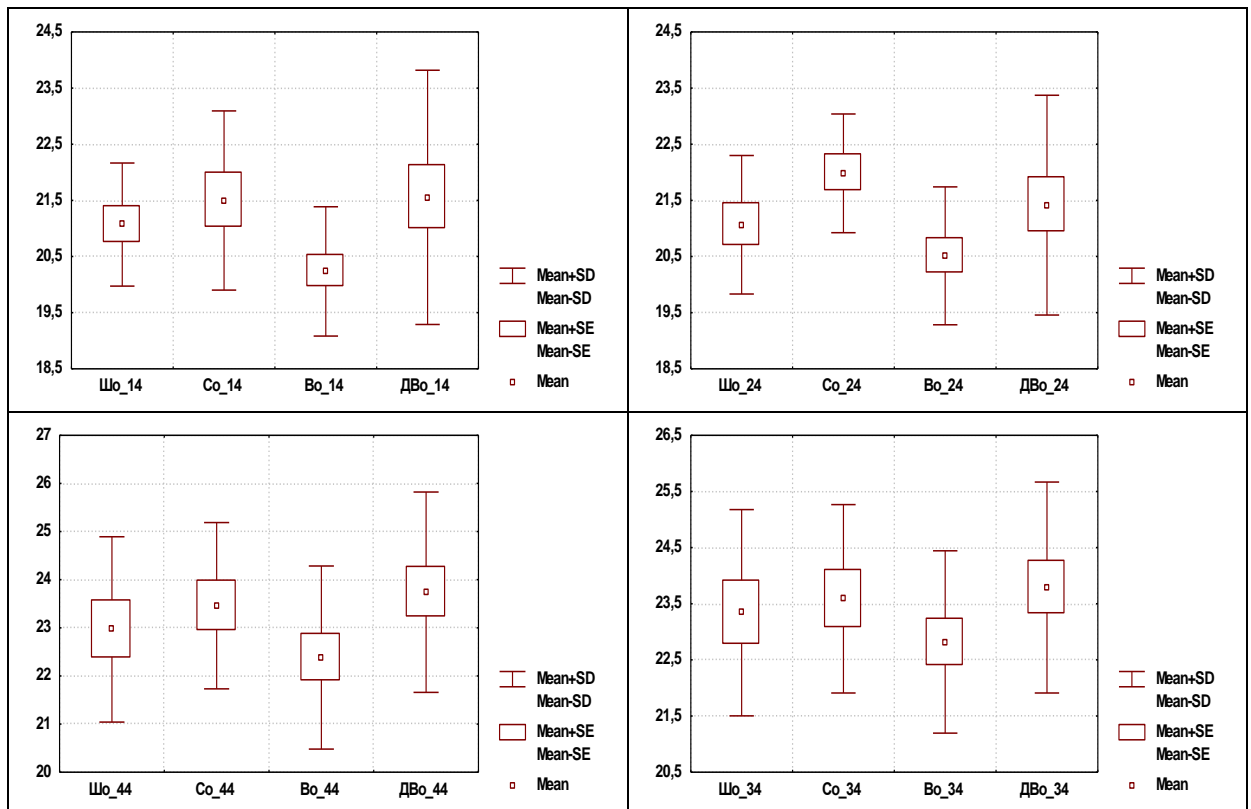


Рис. 4.15 Величина висоти верхніх правого (14) і лівого (24) та нижніх правого (44) і лівого (34) перших МКЗ у чоловіків центрального регіону України з різним типом обличчя (мм).

Примітка: тут і в подальшому

1. Шо – широке обличчя;
2. Со – середнє обличчя;
3. Во – вузьке обличчя;
4. ДВо – дуже вузьке обличчя.

обличчям та має виражену тенденцію ($p=0,052$) до менших значень показника порівняно з чоловіками із дуже вузьким обличчям. Даний показник у чоловіків із вузьким обличчям має тенденцію ($p=0,061$) до менших значень показника порівняно з чоловіками із середнім обличчям (рис. 4.16, див. табл. Д.4). У чоловіків із середнім обличчям величина висоти нижнього лівого другого МКЗ достовірно ($p<0,05$) більша порівняно із чоловіками із вузьким обличчям та має незначну тенденцію ($p=0,077$) до більших значень показника порівняно з чоловіками із широким обличчям (див. рис. 4.16, табл. Д.4).

У чоловіків із вузьким обличчям величина довжини язикового коре-

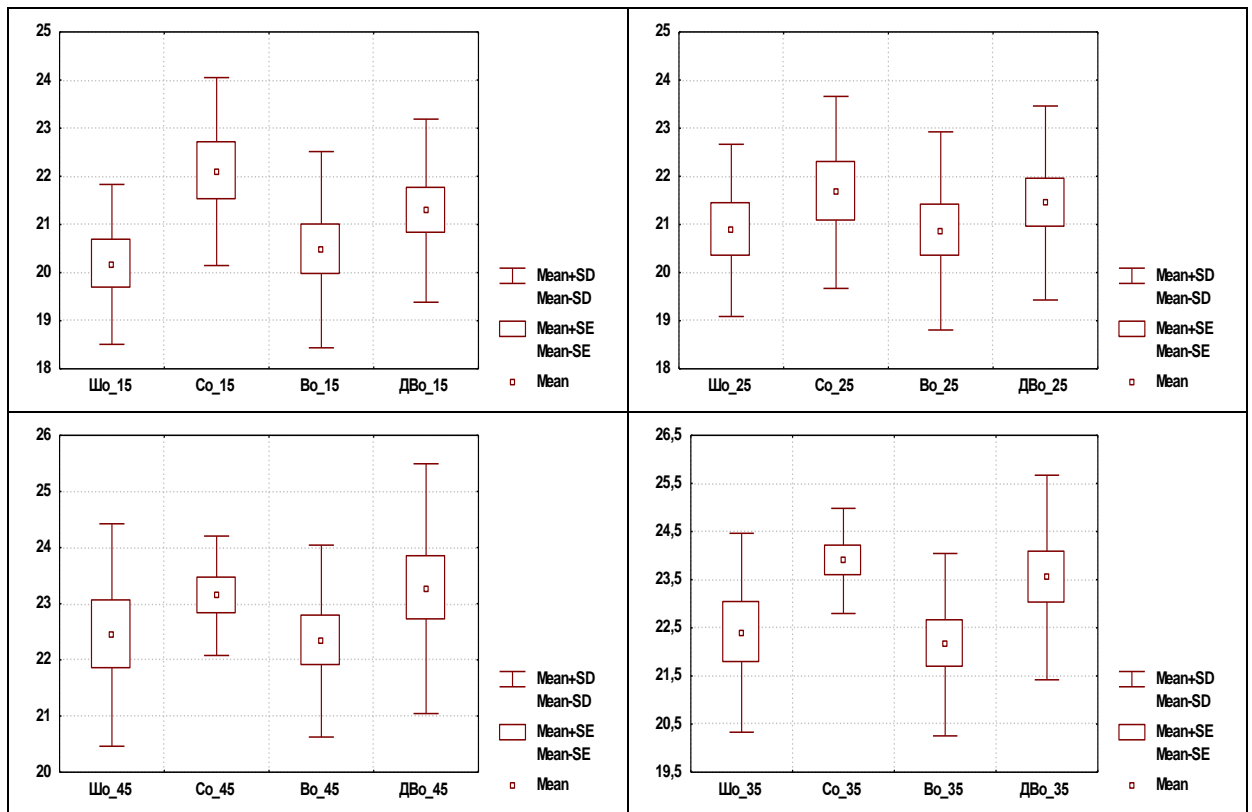


Рис. 4.16 Величина висоти верхніх правого (15) і лівого (25) та нижніх правого (45) і лівого (35) других МКЗ у чоловіків центрального регіону України з різним типом обличчя (мм).

ня верхнього правого першого МКЗ має незначну тенденцію ($p=0,079$) до менших значень показника порівняно з чоловіками із середнім обличчям (рис. 4.17, див. табл. Д.4). У чоловіків із середнім обличчям величина довжини язикового кореня верхнього лівого першого МКЗ достовірно ($p < 0,05$) більша порівняно із чоловіками із вузьким обличчям та має незначну тенденцію ($p=0,076$) до більших значень показника порівняно з чоловіками із широким обличчям (див. рис. 4.17, табл. Д.4). У чоловіків із широким обличчям величина довжини язикового кореня верхнього правого другого МКЗ достовірно ($p < 0,01$) менша порівняно з чоловіками із середнім обличчям та має незначні тенденції до менших значень показника порівняно з чоловіками із вузьким ($p=0,079$) і дуже вузьким ($p=0,071$) обличчям. Даний показник у чоловіків із середнім обличчям має тенденцію ($p=0,067$) до більших значень показника порівняно із чоловіками з дуже вузьким обличчям та має незначну тенденцію ($p=0,079$) до більших значень показника у порівнянні з

чоловіками із вузьким обличчям (див. рис. 4.17, табл. Д.4).

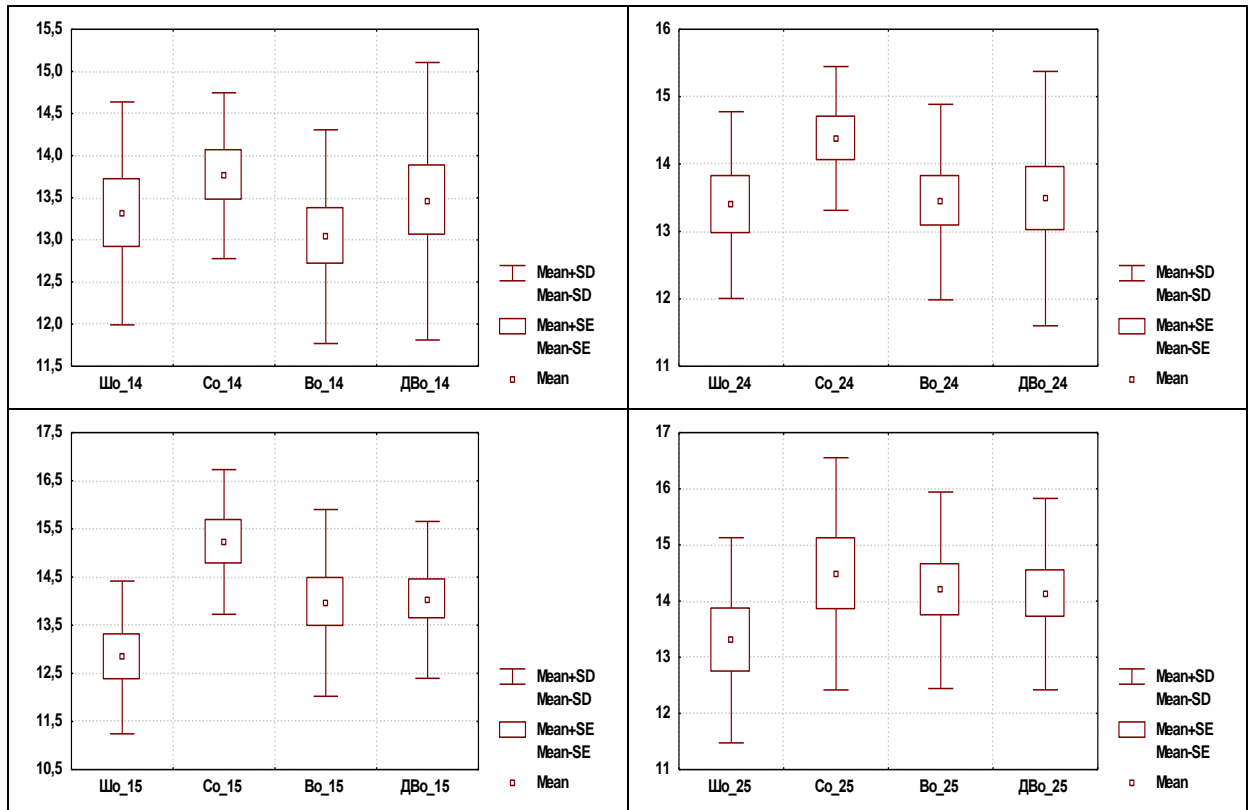


Рис. 4.17 Величина довжини язикового кореня верхніх правого (14) і лівого (24) перших та правого (15) і лівого (25) других МКЗ у чоловіків центрального регіону України з різним типом обличчя (мм).

У чоловіків із середнім обличчям величина довжини присінкового кореня верхнього правого першого МКЗ достовірно ($p < 0,05$) більша порівняно з чоловіками із широкими обличчям (рис. 4.18, див. табл. Д.4). Також у чоловіків із середнім обличчям величина довжини присінкового кореня верхнього лівого першого МКЗ має незначні тенденції до більших значень показника порівняно з чоловіками із широким ($p = 0,078$) і вузьким ($p = 0,073$) обличчям (див. рис. 4.18, табл. Д.4). У чоловіків із широким обличчям величина довжини присінкового кореня верхнього лівого другого МКЗ має незначну тенденцію ($p = 0,079$) до менших значень показника порівняно з чоловіками із дуже вузьким обличчям (див. рис. 4.18, табл. Д.4).

У чоловіків із середнім обличчям величина довжини кореня нижнього лівого другого МКЗ достовірно ($p < 0,05$) більша порівняно з чоловіками із вузьким обличчям (рис. 4.19, див. табл. Д.4).

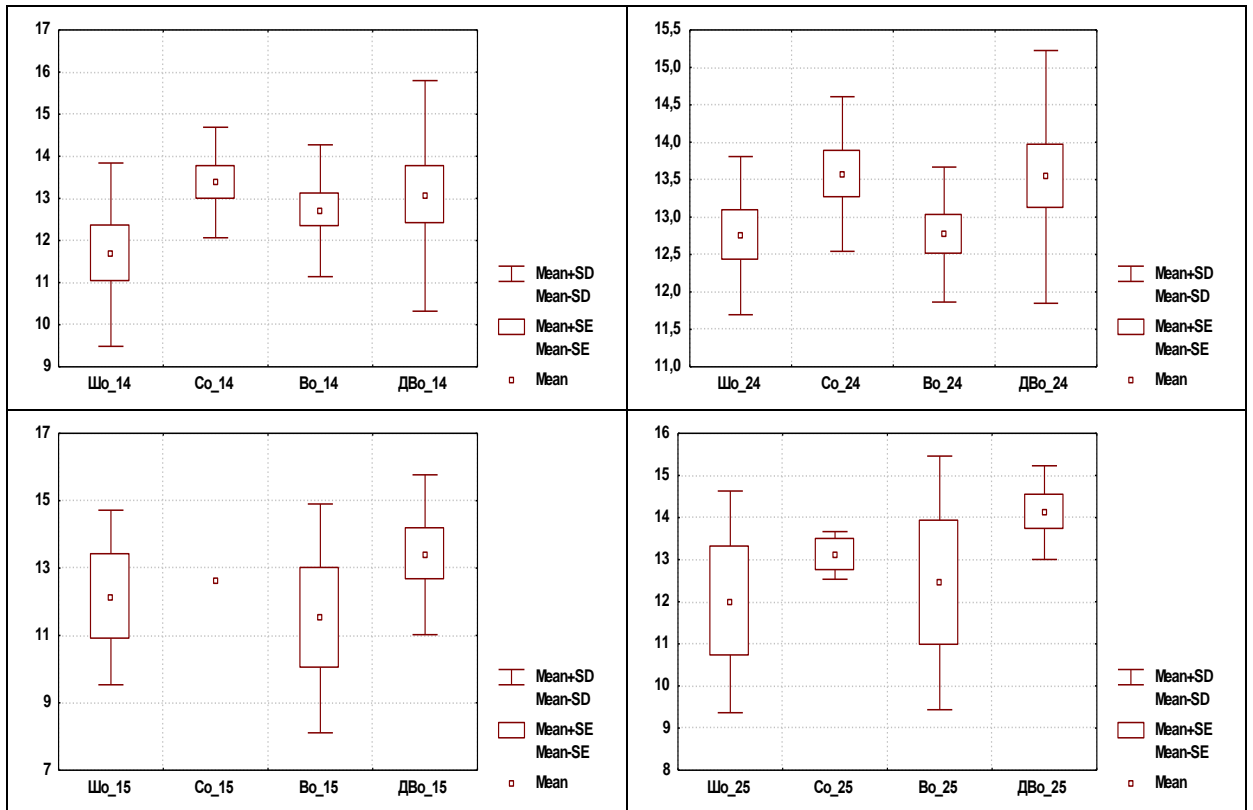


Рис. 4.18 Величина довжини прісінкового кореня верхніх правого (14) і лівого (24) перших та правого (15) і лівого (25) других МКЗ у чоловіків центрального регіону України з різним типом обличчя (мм).

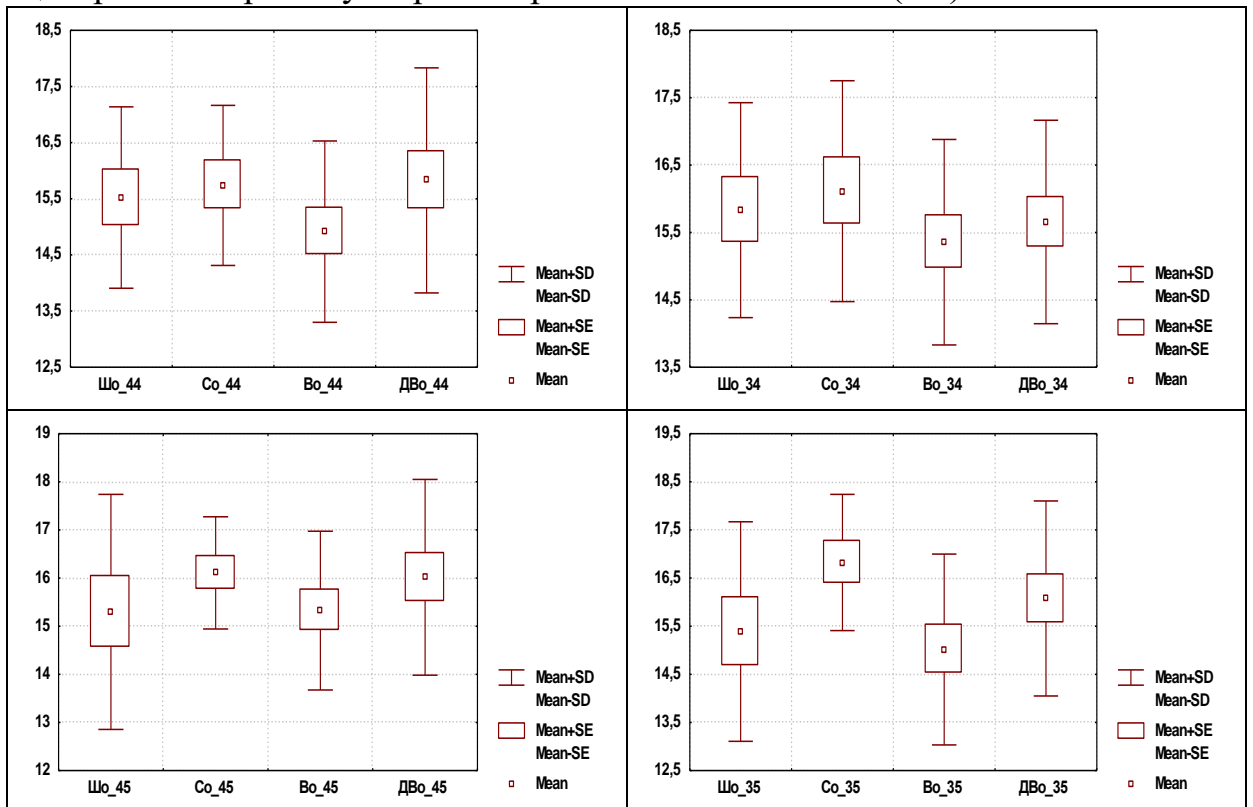


Рис. 4.19 Величина довжини кореня нижніх правого (44) і лівого (34) перших та правого (45) і лівого (35) других МКЗ у чоловіків центрального регіону України з різним типом обличчя (мм).

У чоловіків із дуже вузьким обличчям величина висоти коронки нижнього лівого першого МКЗ має виражені тенденції ($p=0,052$ в обох випадках) до менших значень показника порівняно з чоловіками із середнім і широким обличчям (рис. 4.20, див. табл. Д.4).

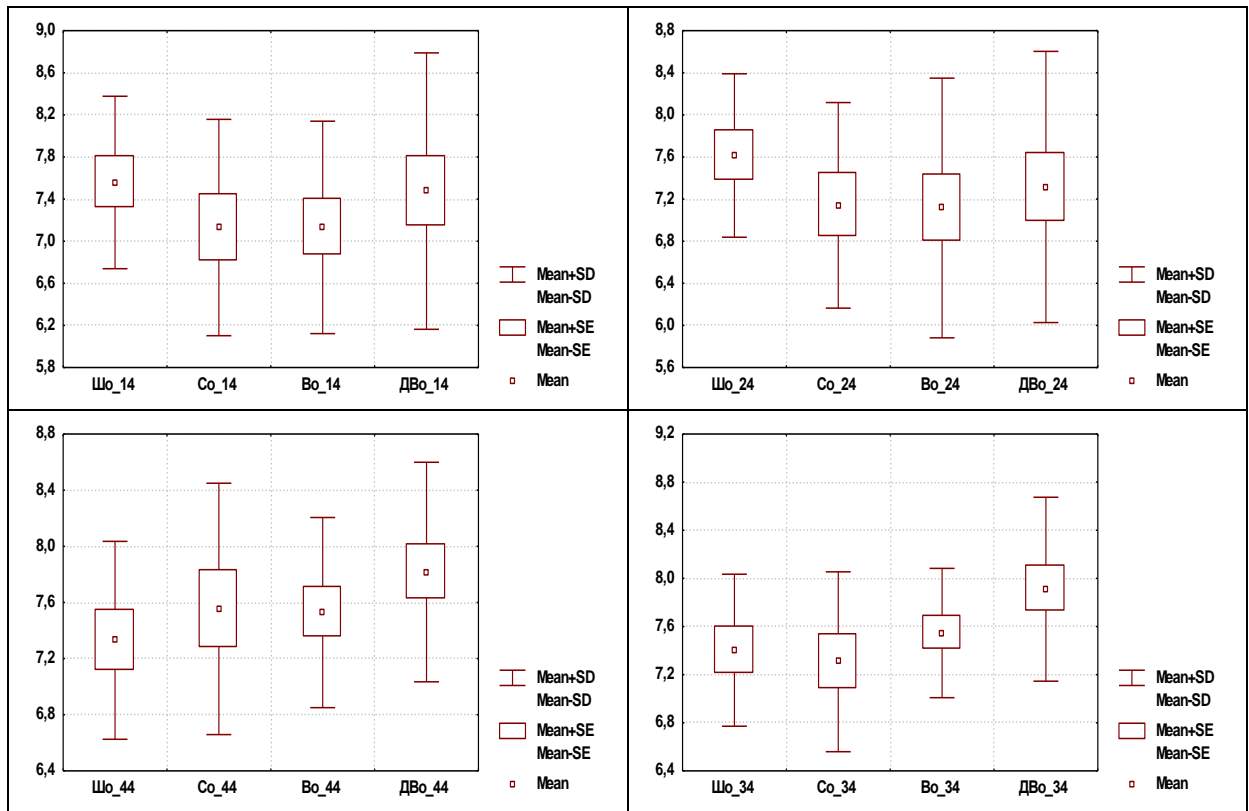


Рис. 4.20 Величина висоти коронки верхніх правого (14) і лівого (24) та нижніх правого (44) і лівого (34) перших МКЗ у чоловіків центрального регіону України з різним типом обличчя (мм).

Для величини висоти коронки верхніх правого і лівого та нижніх правого і лівого других МКЗ не встановлено статистично значущих або тенденцій відмінностей величини даного показника у представників з різними типами обличчя (див. табл. Д.4).

Для величини мезіо-дистального розміру коронки верхніх правого і лівого та нижніх правого і лівого перших МКЗ не встановлено статистично значущих або тенденцій відмінностей величини даного показника у представників з різними типами обличчя (див. табл. Д.4).

Також не встановлено статистично значущих або тенденцій відмінностей величини мезіо-дистального розміру коронки верхніх правого і лівого

та нижніх правого і лівого других МКЗ у представників з різними типами обличчя (див. табл. Д.4).

У чоловіків із вузьким обличчям величина мезіо-дистального розміру шийки верхнього правого першого МКЗ достовірно ($p < 0,05$) більша порівняно з чоловіками із дуже вузьким обличчям (рис. 4.21, див. табл. Д.4). Також у чоловіків із вузьким обличчям величина мезіо-дистального розміру шийки верхнього лівого першого МКЗ має незначну тенденцію ($p = 0,076$) до більших значень показника порівняно з чоловіками із дуже вузьким обличчям (див. рис. 4.21, табл. Д.4).

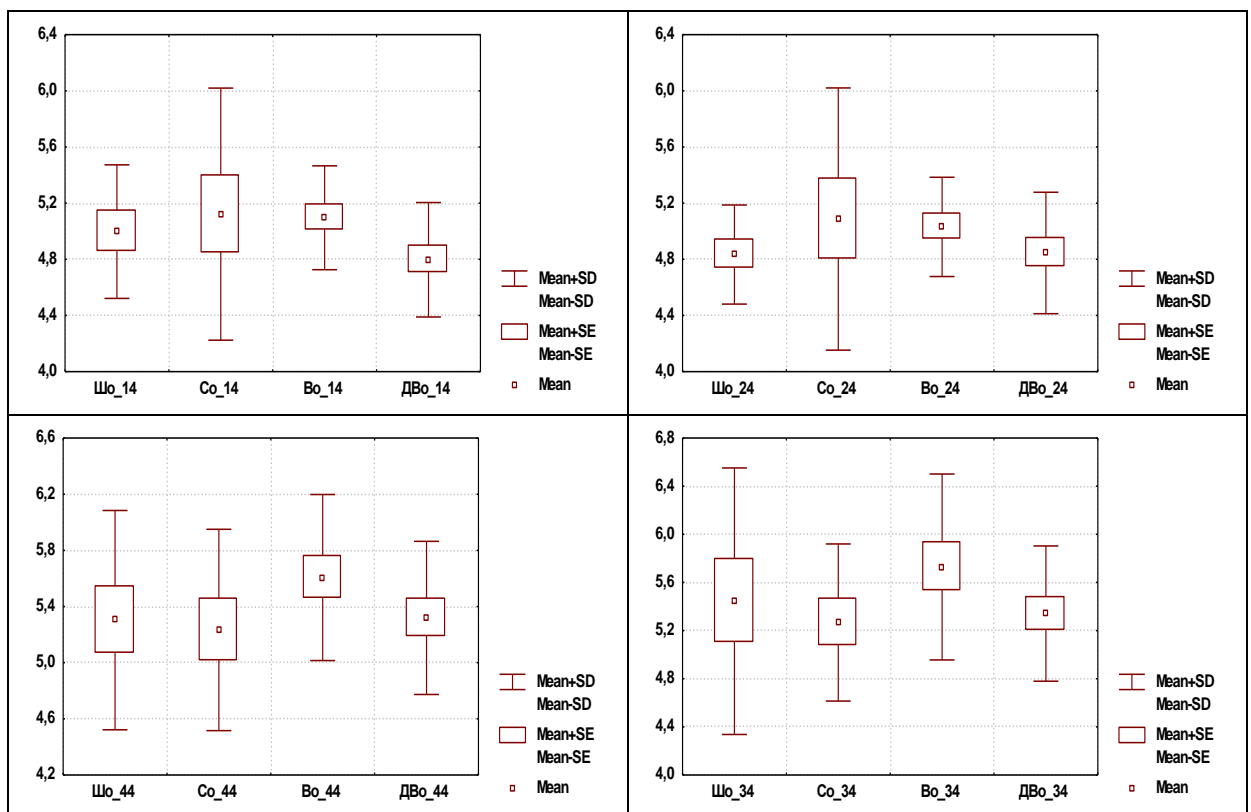


Рис. 4.21 Величина мезіо-дистального розміру шийки верхніх правого (14) і лівого (24) та нижніх правого (44) і лівого (34) перших МКЗ у чоловіків центрального регіону України з різним типом обличчя (мм).

Для величини мезіо-дистального розміру шийки верхніх правого і лівого та нижніх правого і лівого других МКЗ не встановлено статистично значущих або тенденцій відмінностей величини даного показника у представників з різними типами обличчя (див. табл. Д.4).

Для величини присінково-язикового розміру коронки верхніх правого і

лівого та нижніх правого і лівого перших МКЗ не встановлено статистично значущих або тенденцій відмінностей величини даного показника у представників з різними типами обличчя (див. табл. Д.4).

Також не встановлено статистично значущих або тенденцій відмінностей величини *присінково-язикового розміру коронки верхніх правого і лівого та нижніх правого і лівого других МКЗ* у представників з різними типами обличчя (див. табл. Д.4).

Для величини *присінково-язикового розміру шийки верхніх правого і лівого та нижніх правого і лівого перших МКЗ* не встановлено статистично значущих або тенденцій відмінностей величини даного показника у представників з різними типами обличчя (див. табл. Д.4).

Також не встановлено статистично значущих або тенденцій відмінностей величини *присінково-язикового розміру шийки верхніх правого і лівого та нижніх правого і лівого других МКЗ* у представників з різними типами обличчя (див. табл. Д.4).

Таким чином, у практично здорових чоловіків центрального регіону України встановлені достовірні або тенденції відмінностей КТ-розмірів МКЗ у представників різних краніотипів та типів обличчя. Найбільша кількість відмінностей встановлена між брахіцефалами і мезоцефалами, а також між гіпербрахіцефалами і мезоцефалами або доліхоцефалами для мезіо-дистальних та присінково-язикових розмірів МКЗ.

Результати досліджень, які представлені в даному розділі дисертації, відображені в 2 наукових статтях у фахових наукових журналах [100, 277] (1 з яких включена до міжнародної наукометричної бази Web of Science).

РОЗДІЛ 5
МОДЕЛЮВАННЯ КОМП'ЮТЕРНО-ТОМОГРАФІЧНИХ ЛІНІЙНИХ
РОЗМІРІВ МАЛИХ КУТНІХ ЗУБІВ У ПРАКТИЧНО ЗДОРОВИХ
ЧОЛОВІКІВ ІЗ РІЗНИХ РЕГІОНІВ УКРАЇНИ В ЗАЛЕЖНОСТІ ВІД
ОСОБЛИВОСТЕЙ КЕФАЛОМЕТРИЧНИХ ПОКАЗНИКІВ ТА
ФОРМИ ГОЛОВИ І ТИПУ ОБЛИЧЧЯ

Для коректного регресійного аналізу, нами у практично здорових чоловіків були встановлені регіональні особливості кореляцій лінійних КТ-розмірів МКЗ із кефалометричними показниками мозкового і лицевого черепа [102, 103, 252, 253] (табл. Е1-Е10).

Для визначення лінійних КТ-розмірів МКЗ в залежності від особливостей кефалометричних показників, краніотипу і типу обличчя практично здорових чоловіків із різних регіонів України, при проведенні прямого покрокового регресійного аналізу, визначені наступні умови: кінцевий варіант моделі повинен мати коефіцієнт детермінації (R^2) не менше 0,50, значення F-критерію не менше 2,5 та кількість вільних членів, що включаються до моделі, повинна бути мінімальною.

5.1. Регресійні моделі лінійних комп'ютерно-томографічних розмірів малих кутніх зубів у чоловіків північного регіону України

Встановлено (табл. Ж.1), що більшість коефіцієнтів моделі *мезіо-дистального розміру коронки верхнього правого другого МКЗ (15MD_K)* у чоловіків північного регіону України мають високу достовірність, за винятком вільного члену (Intercept) та ширини ротової щілини. Коефіцієнт детермінації R^2 на 57,8 % обумовлює допустимо залежну змінну. Оскільки критерій Фі-

шера $F=7,13$, що перевищує розрахункове значення (F критичне дорівнює $5,26$), ми можемо стверджувати, що регресійний лінійний поліном високо значущий ($p<0,001$). Модель має вигляд наступного лінійного рівняння:

$$15MD_K \text{ (північний регіон)} = 2,681 + 0,346 \times LGO_GN - 0,331 \times N_GN + 0,132 \times FMT_FMT + 0,175 \times GO_GO + 0,193 \times CHI_CHI,$$

де (тут і в подальшому), LGO_GN – довжина тіла нижньої щелепи зліва (см); N_GN – морфологічна довжина обличчя (см); FMT_FMT – найменша ширина голови (см); GO_GO – ширина нижньої щелепи (см); CHI_CHI – ширина ротової щілини (см).

Більшість коефіцієнтів моделі *присінково-язикового розміру шийки верхнього правого першого МКЗ (14VO_S)* у чоловіків північного регіону України мають високу достовірність, за винятком висоти верхньої частини обличчя (табл. Ж.2). Коефіцієнт детермінації R^2 на $64,3\%$ обумовлює допустимо залежну змінну. Оскільки критерій Фішера $F=7,52$, що перевищує розрахункове значення (F критичне дорівнює $6,25$), ми можемо стверджувати, що регресійний лінійний поліном високо значущий ($p<0,001$). Модель має вигляд наступного лінійного рівняння:

$$14VO_S \text{ (північний регіон)} = -11,36 + 0,536 \times N_STO - 0,356 \times G_OP + 1,518 \times LGO_GN + 0,972 \times N_GN - 0,270 \times ZY_ZY + 0,125 \times N_PRN,$$

де (тут і в подальшому), N_STO – висота верхньої частини обличчя (см); G_OP – найбільша довжина голови (см); ZY_ZY – ширина обличчя (см); N_PRN – довжина носа (см).

Більшість коефіцієнтів моделі *присінково-язикового розміру коронки верхнього правого першого МКЗ (14VO_K)* у чоловіків північного регіону України мають високу достовірність, за винятком вільного члену (Intercept) та найменшої ширини голови (табл. Ж.3). Коефіцієнт детермінації R^2 на $52,5\%$ обумовлює допустимо залежну змінну. Оскільки критерій Фішера

$F=5,75$, що перевищує розрахункове значення (F критичне дорівнює $5,26$), ми можемо стверджувати, що регресійний лінійний поліном високо значущий ($p<0,01$). Модель має вигляд наступного лінійного рівняння:

$$14VO_K \text{ (північний регіон)} = - 3,611 + 0,640 \times N_STO + 1,086 \times LGO_GN - 0,254 \times G_OP + 0,614 \times N_GN - 0,197 \times FMT_FMT.$$

Більшість коефіцієнтів моделі *висоти коронки верхнього правого першого МКЗ* (14HKZ) у чоловіків північного регіону України мають високу достовірність, за винятком вільного члену (Intercept) та найбільшого обхвата голови (табл. Ж.4). Коефіцієнт детермінації R^2 на $63,2\%$ обумовлює допустимо залежну змінну. Оскільки критерій Фішера $F=7,24$, що перевищує розрахункове значення (F критичне дорівнює $5,88$), ми можемо стверджувати, що регресійний лінійний поліном високо значущий ($p<0,001$). Модель має вигляд наступного лінійного рівняння:

$$14HKZ \text{ (північний регіон)} = 5,858 + 0,375 \times EU_EU + 0,513 \times EK_EK + 1,965 \times LGO_GN - 1,877 \times RGO_GN - 0,285 \times DUG_AUAU - 0,586 \times N_GN + 0,195 \times DUGS_GOP,$$

де (тут і в подальшому), EU_EU – найбільша ширина голови (см); EK_EK – зовнішньоочна ширина (см); RGO_GN – довжина тіла нижньої щелепи справа (см); DUG_AUAU – поперечна дуга (см); $DUGS_GOP$ – сагітальна дуга (см).

Більшість коефіцієнтів моделі *мезіо-дистального розміру шийки верхнього правого першого МКЗ* (14MD_S) у чоловіків північного регіону України мають високу достовірність, за винятком вільного члену (Intercept), відстані між назіон та міжрізцевою точкою і ширини основи носа (табл. Ж.5). Коефіцієнт детермінації R^2 на $59,4\%$ обумовлює допустимо залежну змінну. Оскільки критерій Фішера $F=7,24$, що перевищує розрахункове значення (F критичне дорівнює $5,01$), ми можемо стверджувати, що регресійний лінійний поліном високо значущий ($p<0,01$). Модель має вигляд наступного лі-

нійного рівняння:

$$14MD_S \text{ (північний регіон)} = 3,197 + 0,417 \times GO_GO + 0,864 \times CHI_CHI - 0,129 \times TIP_LICA + 0,228 \times EU_EU - 0,182 \times DUG_AUAU - 0,315 \times N_I - 0,596 \times AL_AL,$$

де (тут і в подальшому), TIP_LICA – тип обличчя (1- широке, 2- середнє, 3- вузьке, 4- дуже вузьке); N_I – відстань між назіон та міжрізцевою точкою (см); AL_AL – ширина основи носа (см).

Більшість коефіцієнтів моделі *присінково-язикового розміру шийки верхнього лівого першого МКЗ (24VO_S)* у чоловіків північного регіону України мають високу достовірність, за винятком вільного члену (Intercpt), відстані між назіон та міжрізцевою точкою і ширини обличчя (табл. Ж.6). Коефіцієнт детермінації R^2 на 55,5 % обумовлює допустимо залежну змінну. Оскільки критерій Фішера $F=6,25$, що перевищує розрахункове значення (F критичне дорівнює 5,19), ми можемо стверджувати, що регресійний лінійний поліном високо значущий ($p<0,01$). Модель має вигляд наступного лінійного рівняння:

$$24VO_S \text{ (північний регіон)} = - 8,792 + 1,507 \times LGO_GN + 1,118 \times N_GN - 0,364 \times G_OP + 1,120 \times N_STO - 0,703 \times N_I - 0,159 \times ZY_ZY.$$

Більшість коефіцієнтів моделі *мезіо-дистального розміру шийки верхнього лівого першого МКЗ (24MD_S)* у чоловіків північного регіону України мають високу достовірність, за винятком вільного члену (Intercpt), ширини основи носа і відстані між назіон та міжрізцевою точкою (табл. Ж.7). Коефіцієнт детермінації R^2 на 56,2 % обумовлює допустимо залежну змінну. Оскільки критерій Фішера $F=5,24$, що перевищує розрахункове значення (F критичне дорівнює 4,40), ми можемо стверджувати, що регресійний лінійний поліном високо значущий ($p<0,01$). Модель має вигляд наступного лінійного рівняння:

$$24MD_S \text{ (північний регіон)} = 4,030 + 0,912 \times CHI_CHI + 0,311 \times GO_GO - 0,179 \times DUG_AUAU + 0,251 \times EU_EU - 0,732 \times AL_AL - 0,115 \times TIP_LICA - 0,303 \times N_I.$$

Більшість коефіцієнтів моделі *мезіо-дистального розміру коронки другого верхнього лівого другого МКЗ (25MD_K)* у чоловіків північного регіону України мають високу достовірність, за винятком відстані між назіон та міжрізцевою точкою і висоти лоба (табл. Ж.8). Коефіцієнт детермінації R^2 на 60,4 % обумовлює допустимо залежну змінну. Оскільки критерій Фішера $F=6,34$, що перевищує розрахункове значення (F критичне дорівнює 6,25), ми можемо стверджувати, що регресійний лінійний поліном високо значущий ($p<0,001$). Модель має вигляд наступного лінійного рівняння:

$$25MD_K \text{ (північний регіон)} = 7,187 + 0,341 \times LGO_GN - 0,433 \times N_GN - 0,815 \times AL_AL + 0,107 \times DUGS_GOP + 0,158 \times EK_EK - 0,114 \times TR_N,$$

де (тут і в подальшому), TR_N – висота лоба (см).

Більшість коефіцієнтів моделі *присінково-язикового розміру коронки нижнього лівого другого МКЗ (35VO_K)* у чоловіків північного регіону України мають високу достовірність, за винятком вільного члену (Intercept) (табл. Ж.9). Коефіцієнт детермінації R^2 на 82,2 % обумовлює допустимо залежну змінну. Оскільки критерій Фішера $F=13,30$, що перевищує розрахункове значення (F критичне дорівнює 8,23), ми можемо стверджувати, що регресійний лінійний поліном високо значущий ($p<0,001$). Модель має вигляд наступного лінійного рівняння:

$$35VO_K \text{ (північний регіон)} = 3,341 - 0,397 \times TR_GN + 0,438 \times GO_GO + 0,237 \times DUG_GOP + 0,727 \times N_STO - 0,156 \times N_PRN - 0,271 \times ZM_ZM - 0,135 \times DUG_AUAU + 0,283 \times CHI_CHI,$$

де (тут і в подальшому), TR_GN – фізіологічна довжина обличчя (см); DUG_GOP – найбільший обхват голови (см); ZM_ZM – середня ширина об-

личчя (см).

Більшість коефіцієнтів моделі *мезіо-дистального розміру шийки нижнього лівого другого МКЗ (35MD_S)* у чоловіків північного регіону України мають високу достовірність, за винятком краніютипу (табл. Ж.10). Коефіцієнт детермінації R^2 на 64,8 % обумовлює допустимо залежну змінну. Оскільки критерій Фішера $F=7,67$, що перевищує розрахункове значення (F критичне дорівнює 6,25), ми можемо стверджувати, що регресійний лінійний поліном високо значущий ($p<0,001$). Модель має вигляд наступного лінійного рівняння:

$$35MD_S \text{ (північний регіон)} = 7,625 + 0,196 \times DUG_GOP - 0,657 \times RGO_GN - 0,713 \times SN_PRN - 0,129 \times ZM_ZM - 0,108 \times DUG_AUAU - 0,093 \times TIP_GOL,$$

де (тут і в подальшому), SN_PRN – глибина носа (см); TIP_GOL – краніютип (1- доліхоцефали, 2- мезоцефали, 3- брахіцефали, 4- гіпербрахіцефали).

Більшість коефіцієнтів моделі *висоти коронки нижнього лівого першого МКЗ (34HKZ)* у чоловіків північного регіону України мають високу достовірність, за винятком поперечної дуги (табл. Ж.11). Коефіцієнт детермінації R^2 на 50,7 % обумовлює допустимо залежну змінну. Оскільки критерій Фішера $F=6,94$, що перевищує розрахункове значення (F критичне дорівнює 4,27), ми можемо стверджувати, що регресійний лінійний поліном високо значущий ($p<0,001$). Модель має вигляд наступного лінійного рівняння:

$$34HKZ \text{ (північний регіон)} = - 10,37 + 0,388 \times EK_EK + 0,711 \times LGO_GN + 0,280 \times TIP_GOL + 0,199 \times DUG_AUAU.$$

Більшість коефіцієнтів моделі *висоти коронки нижнього правого першого МКЗ (44HKZ)* у чоловіків північного регіону України мають високу достовірність, за винятком вільного члену (Intercept) і зовнішньоочної ширини (табл. Ж.12). Коефіцієнт детермінації R^2 на 59,6 % обумовлює допустимо

залежну змінну. Оскільки критерій Фішера $F=7,66$, що перевищує розрахункове значення (F критичне дорівнює $5,26$), ми можемо стверджувати, що регресійний лінійний поліном високо значущий ($p<0,001$). Модель має вигляд наступного лінійного рівняння:

$$44HKZ \text{ (північний регіон)} = -3,372 + 0,451 \times \text{TIP_LICA} - 0,420 \times \text{ZM_ZM} + 0,301 \times \text{DUG_GOP} - 0,322 \times \text{G_OP} + 0,326 \times \text{EK_EK}.$$

Більшість коефіцієнтів моделі *мезіо-дистального розміру шийки нижнього правого другого МКЗ (45MD_S)* у чоловіків північного регіону України мають високу достовірність, за винятком ширини ротової щілини і довжини тіла нижньої щелепи зліва (табл. Ж.13). Коефіцієнт детермінації R^2 на $71,5\%$ обумовлює допустимо залежну змінну. Оскільки критерій Фішера $F=8,61$, що перевищує розрахункове значення (F критичне дорівнює $7,24$), ми можемо стверджувати, що регресійний лінійний поліном високо значущий ($p<0,001$). Модель має вигляд наступного лінійного рівняння:

$$45MD_S \text{ (північний регіон)} = 4,245 + 0,223 \times \text{DUG_GOP} - 0,782 \times \text{SN_PRN} - 0,967 \times \text{RGO_GN} - 0,142 \times \text{DUG_AUAU} - 0,103 \times \text{ZM_ZM} + 0,213 \times \text{CHI_CHI} + 0,444 \times \text{LGO_GN}.$$

Моделі усіх інших лінійних розмірів МКЗ у практично здорових чоловіків північного регіону України мають коефіцієнт детермінації менше $0,5$ і тому не мають суттєвого значення для практичної стоматології.

5.2. Регресійні моделі лінійних комп'ютерно-томографічних розмірів малих кутніх зубів у чоловіків південного регіону України

Встановлено (табл. Ж.14), що коефіцієнти моделі *мезіо-дистального розміру шийки верхнього лівого другого МКЗ (25MD_S)* у чоловіків південного регіону України мають високу достовірність, за винятком найбільшого

обхвата голови, відстані між назіон та міжрізцевою точкою, висоти верхньої частини обличчя і довжини тіла нижньої щелепи справа. Коефіцієнт детермінації R^2 на 50,9 % обумовлює допустимо залежну змінну. Оскільки критерій Фішера $F=5,60$, що перевищує розрахункове значення (F критичне дорівнює 5,27), ми можемо стверджувати, що регресійний лінійний поліном високо значущий ($p<0,01$). Модель має вигляд наступного лінійного рівняння:

$$25MD_S \text{ (південний регіон)} = 15,01 - 0,098 \times DUG_GOP - 0,279 \times N_I + 0,062 \times N_PRN - 0,320 \times N_STO - 0,194 \times RGO_GN.$$

Більшість коефіцієнтів моделі *висоти коронки нижнього лівого другого МКЗ (35HKZ)* у чоловіків південного регіону України мають високу достовірність, за винятком поперечної дуги і середньої ширини обличчя (табл. Ж.15). Коефіцієнт детермінації R^2 на 63,1 % обумовлює допустимо залежну змінну. Оскільки критерій Фішера $F=7,41$, що перевищує розрахункове значення (F критичне дорівнює 6,26), ми можемо стверджувати, що регресійний лінійний поліном високо значущий ($p<0,001$). Модель має вигляд наступного лінійного рівняння:

$$35HKZ \text{ (південний регіон)} = 16,76 - 0,099 \times DUG_AUAU - 0,244 \times TR_N - 1,632 \times SN_PRN - 0,341 \times TIP_LICA - 0,829 \times AL_AL + 0,172 \times ZM_ZM.$$

Всі коефіцієнти моделі *висоти коронки нижнього лівого першого МКЗ (34HKZ)* у чоловіків південного регіону України мають високу достовірність (табл. Ж.16). Коефіцієнт детермінації R^2 на 70,2 % обумовлює допустимо залежну змінну. Оскільки критерій Фішера $F=10,19$, що перевищує розрахункове значення (F критичне дорівнює 6,26), ми можемо стверджувати, що регресійний лінійний поліном високо значущий ($p<0,001$). Модель має вигляд наступного лінійного рівняння:

$$34HKZ \text{ (південний регіон)} = 22,70 - 0,440 \times DUG_GOP - 0,726 \times MF_MF - 0,229 \times TR_N + 0,433 \times RGO_GN + 0,448 \times EU_EU + 0,618 \times AL_AL,$$

де (тут і в подальшому), MF_MF – міжчочномкова ширина (см).

Більшість коефіцієнтів моделі *висоти коронки нижнього правого першого МКЗ (44HKZ)* у чоловіків південного регіону України мають високу достовірність, за винятком міжчочномкової ширини і довжини тіла нижньої щелепи зліва (табл. Ж.17). Коефіцієнт детермінації R^2 на 56,4 % обумовлює допустимо залежну змінну. Оскільки критерій Фішера $F=6,98$, що перевищує розрахункове значення (F критичне дорівнює 5,27), ми можемо стверджувати, що регресійний лінійний поліном високо значущий ($p < 0,001$). Модель має вигляд наступного лінійного рівняння:

$$44HKZ \text{ (південний регіон)} = 25,43 - 0,290 \times DUG_GOP - 0,482 \times MF_MF - 0,252 \times TR_N + 0,804 \times PGO_GN - 0,655 \times LGO_GN.$$

Моделі усіх інших лінійних розмірів МКЗ у практично здорових чоловіків південного регіону України мають коефіцієнт детермінації менше 0,5 і тому не мають суттєвого значення для практичної стоматології.

5.3. Регресійні моделі лінійних комп'ютерно-томографічних розмірів малих кутніх зубів у чоловіків західного регіону України

Встановлено (табл. Ж.18), що більшість коефіцієнтів моделі *мезіо-дистального розміру коронки верхнього правого другого МКЗ (15MD_K)* у чоловіків західного регіону України мають високу достовірність, за винятком вільного члену, глибини носа і ширини ротової щілини. Коефіцієнт детермінації R^2 на 65,9 % обумовлює допустимо залежну змінну. Оскільки критерій Фішера $F=7,71$, що перевищує розрахункове значення (F критичне дорівнює 7,28), ми можемо стверджувати, що регресійний лінійний поліном високо значущий ($p < 0,001$). Модель має вигляд наступного лінійного рівняння:

$$15MD_K \text{ (західний регіон)} = 2,747 + 0,389 \times SN_PRN + 0,739 \times N_I + 0,405 \times RGO_GN - 0,216 \times DUG_GOP + 0,116 \times DUG_AUAU + 0,045 \times N_SN + 0,251 \times CHI_CHI,$$

де (тут і в подальшому), N_SN – висота носа (см).

Більшість коефіцієнтів моделі *мезіо-дистального розміру шиїки верхнього правого першого МКЗ* (14MD_S) у чоловіків західного регіону України мають високу достовірність, за винятком вільного члену і відстані між назіон та міжрізцевою точкою (табл. Ж.19). Коефіцієнт детермінації R^2 на 53,8 % обумовлює допустимо залежну змінну. Оскільки критерій Фішера $F=6,98$, що перевищує розрахункове значення (F критичне дорівнює 5,30), ми можемо стверджувати, що регресійний лінійний поліном високо значущий ($p<0,001$). Модель має вигляд наступного лінійного рівняння:

$$14MD_S \text{ (західний регіон)} = -4,022 + 0,516 \times G_OP + 0,472 \times RGO_GN + 0,335 \times N_I - 0,195 \times DUG_GOP + 0,308 \times GO_GO.$$

Більшість коефіцієнтів моделі *мезіо-дистального розміру коронки верхнього лівого другого МКЗ* (25MD_K) у чоловіків західного регіону України мають високу достовірність, за винятком вільного члену (табл. Ж.20). Коефіцієнт детермінації R^2 на 65,6 % обумовлює допустимо залежну змінну. Оскільки критерій Фішера $F=8,27$, що перевищує розрахункове значення (F критичне дорівнює 6,43), ми можемо стверджувати, що регресійний лінійний поліном високо значущий ($p<0,001$). Модель має вигляд наступного лінійного рівняння:

$$25MD_K \text{ (західний регіон)} = 3,601 + 0,648 \times N_I + 1,011 \times RGO_GN - 0,228 \times DUG_GOP + 0,174 \times DUG_AUAU + 0,723 \times N_SN + 0,512 \times CHI_CHI - 0,786 \times LGO_GN - 0,654 \times N_PRN.$$

Більшість коефіцієнтів моделі *висоти коронки нижнього правого першого МКЗ* (44HKZ) у чоловіків західного регіону України мають високу достовірність, за винятком ширини обличчя і довжини тіла нижньої щелепи

справа (табл. Ж.21). Коефіцієнт детермінації R^2 на 52,2 % обумовлює допустимо залежну змінну. Оскільки критерій Фішера $F=5,28$, що перевищує розрахункове значення (F критичне дорівнює 4,37), ми можемо стверджувати, що регресійний лінійний поліном високо значущий ($p<0,01$). Модель має вигляд наступного лінійного рівняння:

$$44HKZ \text{ (західний регіон)} = 9,808 + 1,031 \times N_I - 0,604 \times TR_GN + 0,655 \times TR_N - 0,909 \times MF_MF + 0,114 \times ZY_ZY - 0,943 \times LGO_GN + 0,731 \times RGO_GN.$$

Більшість коефіцієнтів моделі *мезіо-дистального розміру коронки другого нижнього правого другого МКЗ (45MD_K)* у чоловіків західного регіону України мають високу достовірність, за винятком вільного члену (Intercpt), глибини носа, середньої ширини обличчя і відстані між назіон та міжрізцевою точкою (табл. Ж.22). Коефіцієнт детермінації R^2 на 53,5 % обумовлює допустимо залежну змінну. Оскільки критерій Фішера $F=5,28$, що перевищує розрахункове значення (F критичне дорівнює 4,60), ми можемо стверджувати, що регресійний лінійний поліном високо значущий ($p<0,01$). Модель має вигляд наступного лінійного рівняння:

$$45MD_K \text{ (західний регіон)} = 1,543 + 0,428 \times SN_PRN + 0,239 \times DUG_AUAU + 0,439 \times N_STO + 0,652 \times CHI_CHI - 0,148 \times DUG_GOP - 0,088 \times ZM_ZM + 0,318 \times N_I.$$

Моделі усіх інших лінійних розмірів МКЗ у практично здорових чоловіків західного регіону України мають коефіцієнт детермінації менше 0,5 і тому не мають суттєвого значення для практичної стоматології.

5.4. Регресійні моделі лінійних комп'ютерно-томографічних розмірів малих кутніх зубів у чоловіків східного регіону України

Встановлено (табл. Ж.23), що всі коефіцієнти моделі *мезіо-дисталь-*

ного розміру коронки верхнього правого другого МКЗ (15MD_K) у чоловіків східного регіону України мають високу достовірність. Коефіцієнт детермінації R^2 на 64,1 % обумовлює допустимо залежну змінну. Оскільки критерій Фішера $F=7,27$, що перевищує розрахункове значення (F критичне дорівнює 6,88), ми можемо стверджувати, що регресійний лінійний поліном високо значущий ($p<0,001$). Модель має вигляд наступного лінійного рівняння:

$$15MD_K \text{ (східний регіон)} = 14,09 - 0,192 \times ZM_ZM + 0,410 \times LGO_GN - 0,176 \times DUG_GOP + 0,648 \times MF_MF - 0,206 \times TR_N - 0,395 \times CHI_CHI + 0,539 \times AL_AL.$$

Більшість коефіцієнтів моделі мезіо-дистального розміру коронки верхнього правого першого МКЗ (14MD_K) у чоловіків східного регіону України мають високу достовірність, за винятком фізіологічної довжини обличчя (табл. Ж.24). Коефіцієнт детермінації R^2 на 63,0 % обумовлює допустимо залежну змінну. Оскільки критерій Фішера $F=8,26$, що перевищує розрахункове значення (F критичне дорівнює 5,54), ми можемо стверджувати, що регресійний лінійний поліном високо значущий ($p<0,001$). Модель має вигляд наступного лінійного рівняння:

$$14MD_K \text{ (східний регіон)} = 8,763 - 0,259 \times FMT_FMT + 0,412 \times N_GN - 0,098 \times DUGS_GOP - 0,704 \times SN_PRN - 0,409 \times CHI_CHI + 0,344 \times RRO_GN - 0,495 \times TR_N + 0,113 \times TR_GN,$$

де (тут і в подальшому), TR_GN – фізіологічна довжина обличчя (мм).

Всі коефіцієнти моделі мезіо-дистального розміру коронки верхнього лівого першого МКЗ (24MD_K) у чоловіків східного регіону України мають високу достовірність (табл. Ж.25). Коефіцієнт детермінації R^2 на 59,4 % обумовлює допустимо залежну змінну. Оскільки критерій Фішера $F=7,27$, що перевищує розрахункове значення (F критичне дорівнює 5,65), ми можемо стверджувати, що регресійний лінійний поліном високо значущий ($p<0,001$). Модель має вигляд наступного лінійного рівняння:

$$24MD_K \text{ (східний регіон)} = 10,12 - 0,111 \times DUGS_GOP - 0,180 \times ZM_ZM + 0,501 \times N_I + 0,468 \times LGO_GN - 0,246 \times TR_N - 0,363 \times CHI_CHI - 0,193 \times G_OP.$$

Більшість коефіцієнтів моделі *мезіо-дистального розміру коронки верхнього лівого другого МКЗ (25MD_K)* у чоловіків східного регіону України мають високу достовірність, за винятком ширини ротової щілини (табл. Ж.26). Коефіцієнт детермінації R^2 на 52,7 % обумовлює допустимо залежну змінну. Оскільки критерій Фішера $F=8,34$, що перевищує розрахункове значення (F критичне дорівнює 4,30), ми можемо стверджувати, що регресійний лінійний поліном високо значущий ($p<0,001$). Модель має вигляд наступного лінійного рівняння:

$$25MD_K \text{ (східний регіон)} = 8,621 + 0,366 \times LGO_GN - 0,130 \times DUGS_GOP - 0,173 \times TIP_LICA - 0,218 \times CHI_CHI.$$

Більшість коефіцієнтів моделі *присінково-язикового розміру шийки нижнього лівого другого МКЗ (35VO_S)* у чоловіків східного регіону України мають високу достовірність, за винятком ширини нижньої щелепи, міжчочноямкової ширини і типу обличчя (табл. Ж.27). Коефіцієнт детермінації R^2 на 55,9 % обумовлює допустимо залежну змінну. Оскільки критерій Фішера $F=5,26$, що перевищує розрахункове значення (F критичне дорівнює 4,12), ми можемо стверджувати, що регресійний лінійний поліном високо значущий ($p<0,01$). Модель має вигляд наступного лінійного рівняння:

$$35VO_S \text{ (східний регіон)} = 8,427 + 1,199 \times EK_EK - 0,328 \times GO_GO - 0,160 \times DUG_AUAU + 0,079 \times N_PRN - 0,555 \times TR_N - 0,655 \times CHI_CHI + 0,695 \times MF_MF - 0,146 \times TIP_LICA.$$

Більшість коефіцієнтів моделі *мезіо-дистального розміру шийки другого нижнього лівого другого МКЗ (35MD_K)* у чоловіків східного регіону України мають високу достовірність, за винятком висоти лоба (табл. Ж.28).

Коефіцієнт детермінації R^2 на 50,5 % обумовлює допустимо залежну змінну. Оскільки критерій Фішера $F=5,28$, що перевищує розрахункове значення (F критичне дорівнює 4,76), ми можемо стверджувати, що регресійний лінійний поліном високо значущий ($p<0,01$). Модель має вигляд наступного лінійного рівняння:

$$35MD_K \text{ (східний регіон)} = 11,23 - 0,367 \times ZM_ZM - 0,139 \times DUGS_GOP + 0,531 \times RGO_GN - 0,217 \times ZY_ZY + 0,392 \times N_I - 0,240 \times TR_N.$$

Половина коефіцієнтів моделі *мезіо-дистального розміру шийки нижнього правого першого МКЗ* (44MD_S) у чоловіків східного регіону України мають високу достовірність, за винятком середньої ширини обличчя, ширини ротової щілини, краніютипу і типу обличчя (табл. Ж.29). Коефіцієнт детермінації R^2 на 56,9 % обумовлює допустимо залежну змінну. Оскільки критерій Фішера $F=7,27$, що перевищує розрахункове значення (F критичне дорівнює 5,10), ми можемо стверджувати, що регресійний лінійний поліном високо значущий ($p<0,001$). Модель має вигляд наступного лінійного рівняння:

$$44MD_S \text{ (східний регіон)} = 11,04 - 0,136 \times ZM_ZM - 0,150 \times DUGS_GOP + 0,402 \times EK_EK - 0,270 \times TR_N - 0,329 \times CHI_CHI + 0,137 \times TIP_GOL - 0,114 \times TIP_LICA.$$

Більшість коефіцієнтів моделі *присінково-язикового розміру шийки нижнього правого другого МКЗ* (45VO_S) у чоловіків східного регіону України мають високу достовірність, за винятком поперечної дуги, довжина носа і глибини носа (табл. Ж.30). Коефіцієнт детермінації R^2 на 51,9 % обумовлює допустимо залежну змінну. Оскільки критерій Фішера $F=6,28$, що перевищує розрахункове значення (F критичне дорівнює 5,03), ми можемо стверджувати, що регресійний лінійний поліном високо значущий ($p<0,01$). Модель має вигляд наступного лінійного рівняння:

$$45VO_S \text{ (східний регіон)} = 9,239 + 1,187 \times EK_EK - 0,756 \times CHI_CHI - 0,561$$

$$\times GO_GO - 0,094 \times DUG_AUAU + 0,054 \times N_PRN - 0,623 \times SN_PRN.$$

Більшість коефіцієнтів моделі *висоти коронки нижнього правого другого МКЗ (45HKZ)* у чоловіків східного регіону України мають високу достовірність, за винятком найменшої ширини голови (табл. Ж.31). Коефіцієнт детермінації R^2 на 60,3 % обумовлює допустимо залежну змінну. Оскільки критерій Фішера $F=7,27$, що перевищує розрахункове значення (F критичне дорівнює 5,85), ми можемо стверджувати, що регресійний лінійний поліном високо значущий ($p<0,001$). Модель має вигляд наступного лінійного рівняння:

$$45HKZ \text{ (східний регіон)} = 20,49 - 1,164 \times AL_AL - 0,396 \times TIP_LICA - 0,141 \times N_PRN + 1,056 \times MF_MF - 0,230 \times DUG_GOP + 0,572 \times LGO_GN - 0,184 \times FMT_FMT.$$

Моделі усіх інших лінійних розмірів МКЗ у практично здорових чоловіків східного регіону України мають коефіцієнт детермінації менше 0,5 і тому не мають суттєвого значення для практичної стоматології.

Таким чином, на основі особливостей кефалометричних показників, краніотипу і типу обличчя побудовані достовірні регресійні моделі індивідуальних лінійних розмірів МКЗ із коефіцієнтом детермінації R^2 більшим, ніж 0,5 у практично здорових чоловіків північного (13 моделей), південного (4 моделі), західного (5 моделей) і східного (9 моделей) адміністративно-територіальних регіонів України. Необхідно відмітити, що у практично здорових чоловіків центрального регіону України взагалі не побудовано регресійний моделей лінійних розмірів МКЗ із коефіцієнтом детермінації більшим 0,5.

Результати досліджень, які представлені у даному розділі дисертації, відображені в 3 наукових статтях у фахових журналах [104, 252, 253] та 2 тезах науково-практичних конференцій [102, 103].

АНАЛІЗ І УЗАГАЛЬНЕННЯ РЕЗУЛЬТАТІВ ДОСЛІДЖЕНЬ

У попередніх розділах дисертації нами встановлені межі процентильного розмаху кефалометричних показників, лінійних КТ-розмірів МКЗ і їх коренів та їх розбіжності у практично здорових чоловіків першого зрілого віку з різних адміністративно-територіальних регіонів України, а також у представників різних краніотипів та типів обличчя загалом в Україні і у чоловіків центрального регіону України та розроблені регресійні моделі індивідуальних лінійних розмірів МКЗ в залежності від особливостей кефалометричних показників, краніотипу і типу обличчя у чоловіків різних регіонів України.

Відомо [188, 255], що превентивне використання одонтометричних і кефалометричних (тобто віднесення пацієнта до певної антропометричної групи) характеристик дозволяє передбачити хід лікування і відповідно, зекономити час і сили лікаря та покращити естетичний результат його роботи, що напряду впливає на соціальний статус пацієнта і ступінь його задоволеності [67, 207, 220].

На жаль, більшість робіт як в Україні, так і за кордоном відштовхуються не від адміністративно-регіональних особливостей будови і розмірів зубів та голови, а від кліматичних, історичних і екологічних зон або досліджуючи закриті субпопуляції. В той час як визначення регіональних особливостей даних показників дозволило б з більшою вірогідністю почати практичне впровадження наукових досліджень [7, 12, 13, 30, 31, 33, 51, 109]. Крім того, роботи присвячені вивченню нормативних даних комп'ютерного томографічних розмірів малих кутніх зубів та їх коренів в залежності від форми голови в період постійного прикусу нечисленні [24, 32, 59, 129].

Протягом історії людства в різний час змінювався склад населення різних територій. Зміна антропологічних показників і, власне, антропологічного портрета, відбувається бесперервно і не лише внаслідок міграцій, а

навіть тоді, коли немає змішування різнорідного населення [22]. Істотним фактором епохальних змін форми голови В.В. Бунак вважав «зрушення домінантності генів, які прямо або побічно впливають на зростання двох осей мозкової коробки; в одних поєднаннях розмірів діаметрів домінує поперечне зростання, в інших – поздовжнє» [22].

У світовій антропологічній літературі можна зустріти спроби тотального аналізу кефалометричних даних у всіх сучасних людських рас. Вивчено низку черепних серій, встановлено і уточнено значення цілого ряду діагностичних ознак, розпочато роботу на живих індивідуумах, причому досліджено мозковий і лицьовий відділ у японців, корейців, росіян, бурятів, хакасів, тувінців, білорусів, мексиканців, хорватів, сербів, болгарів, австрійців, чехів, поляків і ін. [35, 111, 153, 170, 171, 180, 203, 215, 218, 225, 284].

Це дозволяє, з одного боку, забезпечити інформаційну базу для порівняльних анатоμο-антропологічних досліджень різних етнічних груп і виявлення їх подібних і різних морфологічних рис і, з іншого, створити основу для багатовимірної біометричного аналізу залежностей між різними анатомічними структурами лицьового і мозкового відділу черепа [192].

Ймовірно, успіхи таких досліджень були б ще більш плідними, якби етнічні відмінності розмірів мозкового та лицевого черепа підкріплювалися даними стосовно розподілу краніотипів і типів обличчя у певній популяції та субпопуляції. Крім того, для кожної етнічної групи повинна бути визначена своя кефалометрична норма, отримати яку можливо лише при дослідженні практично здорових представників населення [22, 153, 246].

Унікальність даного дослідження полягає в тому, що в Україні, площа якої складає 603628 км², розташованої в чотирьох клімато-географічних екологічних зонах, проживає понад 100 національностей [22]. У зв'язку з цим визначення розподілу типів черепа і обличчя в різних регіонах дає можливість визначити антропологічний склад населення певної території і зміну анатомічної будови під впливом різних чинників демографічного, природного і соціокультурного характеру [22, 35, 111]. Питан-

ня епохальної мінливості розмірів, форми черепа, розподілу краніотипів і типів обличчя саме у практично здорового населення, що проживає на території України, дає підставу висунути гіпотезу про його мікроеволюційний характер.

З плином часу на всіх територіях, населених людиною, відбувався процес вкорочення черепа. Череп продовжував набувати більш округлу, гармонійну форму. Для пояснення цієї тенденції побудовано гіпотези про міграції, зміну одних народів іншими. Але при більш ретельному вивченні з'ясувалося, що мова, швидше за все, йдеться про процес епохальної брахікефалізації, при якій нащадки мають коротший череп, ніж їхні предки. Зокрема, однією з найбільш яскравих тенденцій зміни форми мозкового відділу черепа у слов'янського населення Східно-Європейської рівнини протягом останнього тисячоліття, є тенденція брахікефалізації, тобто «округлення» форми черепа за рахунок вкорочення поздовжнього і розширення поперечного його розміра [6].

Висота і ширина обличчя, черепний показник належать до основних ознак, за якими виділяються антропологічні типи голови. Незважаючи на велику внутрішню єдність узагальненого антропологічного типу етнічних українців Східної Європи, все ж можна виділити варіації і регіонально більш-менш їх локалізувати. Поряд із феноменами брахікефалізації і акселерації, за останні кілька століть у населення Європи стало більш вузьким обличчя [192].

В результаті нашого дослідження встановлено, що в усіх адміністративно-територіальних регіонах України відмічається тенденція до процесів брахіцефалізації і грацилізації, що підтверджується більшим відсотком брахіцефалів та чоловіків із вузьким і дуже вузьким обличчям.

Слід відмітити незначну кількість регіональних відмінностей у розподілі певних типів черепа і обличчя. Найбільш близькою для пояснення даної ситуації є гіпотеза єдності антропологічного складу слов'ян, яка наразі є найбільш обґрунтованою і підтвердженою гіпотезою їх походження.

Відповідно до неї, всі сучасні слов'янські народи є нащадками пранарода (праслов'ян), що володів певним антропологічним типом, властивим тільки йому [6].

Можна зробити висновок, що українське населення Східно-Європейської рівнини є вельми однорідним в антропологічному складі, тобто різниця між представниками різних регіонів України незначна і кожен з представлених регіональних типів українців не виходить за межі антропологічного типу, загального для народу в цілому.

У сумісних дослідженнях із М.М. Шінкарук-Диковицькою і О. О. Коцюрою [148, 149] нами встановлені межі процентильного розмаху кефалометричних показників у практично здорових чоловіків першого зрілого віку із різних адміністративно-територіальних регіонів України, а також у представників різних краніотипів та типів обличчя загалом в Україні і у чоловіків центрального регіону України.

У чоловіків загальної групи і представників центрального регіону України в напрямку гіпербрахіцефалія < брахіцефалія < мезоцефалія < доліхоцефалія встановлено збільшення найбільшого обхвата голови, поперечної і сагітальної дуги, найбільшої довжини голови, висоти лоба, фізіологічної довжини обличчя, довжини, висоти і глибини носа, відстані між назіон та міжрізцевою точкою; а в напрямку доліхоцефалія < мезоцефалія < брахіцефалія < гіпербрахіцефалія – збільшення найбільшої і найменшої ширини голови, а також середньої ширини обличчя.

Аналогічно в обох групах чоловіків у напрямку дуже вузьке обличчя < вузьке обличчя < середнє обличчя < широке обличчя встановлено збільшення найбільшої і найменшої ширини голови, ширини обличчя, середньої ширини обличчя, ширини ротової щілини, а також довжини тіла нижньої щелепи справа і зліва; а в напрямку широке обличчя < середнє обличчя < вузьке обличчя < дуже вузьке обличчя – збільшення висоти лоба, фізіологічної довжини обличчя, довжини, висоти і глибини носа, висоти верхньої частини обличчя, відстані між назіон та міжрізцевою точкою, а також мор-

фологічної довжини обличчя.

В результаті проведених досліджень встановлені межі процентильного розмаху лінійних комп'ютерно-томографічних розмірів МКЗ та їх коренів у практично здорових чоловіків із різних адміністративно-територіальних регіонів України, а також у представників різних краніотипів та типів обличчя загалом в Україні і у чоловіків центрального регіону України.

Рядом науковців [40, 51, 53, 55, 147] встановлено, що різні територіальні групи українського народу за більшістю одонтологічних маркерів мають як відповідності, так і відмінності. Зокрема, це стосується поперечних розмірів коронки зубів, які мають важливе антропологічне значення, оскільки дозволяють отримати цінну інформацію стосовно еволюції людини паралельно зі зміною харчування і техногенного навантаження, а також для визначення біологічної відстані між етносами – індикатором генетичних відмінностей між популяціями та субпопуляціями. Якщо за вертикальними розмірами коронки зуба можна судити про ступінь їх витягнутості, то за поперечними розмірами (присінково-язиковий і мезіо-дистальний розміри коронки і шийки) можна говорити про їх масивність [70, 77, 156]. У нашому дослідженні лєвова частка регіональних відмінностей належить відмінностям саме поперечних розмірів зубів (присінково-язикові та мезіо-дистальні розміри коронки і шийки).

Доведено (табл. 6.1), що у чоловіків *північного* регіону України присінково-язикові розміри верхніх лівого і правого перших МКЗ достовірно більші або мають тенденцію до більших значень, ніж у представників південного (на 4,8-5,7 %, $p < 0,05$), західного (на 4,3-4,8 %, $p < 0,05$, $p = 0,063-0,080$) і східного (на 5,3-7,4 %, $p < 0,05-0,01$) регіонів, а у представників *центрального* регіону – ніж у чоловіків південного (за винятком шийки, на 3,3 і 2,8 %, $p < 0,05$, $p = 0,064$) і східного (на 3,4-4,8 % $p = 0,052-0,059$) регіонів України. Також у чоловіків *північного* регіону України присінково-язикові розміри верхнього лівого другого МКЗ мають тенденції до більших значень, ніж у представників південного (на 4,7 і 5,4 %, $p = 0,063-0,072$) і західного (лише

Таблиця 6.1

Відмінності КТ-розмірів МКЗ верхньої щелепи та їх коренів у чоловіків із різних регіонів України.

Показники	Північний	Південний	Центральний	Західний	Східний
15_HZ					
15_HKZ	▲	▼↓	↑		↑
15_MD_K					
15_MD_S					
15_VO_K					
15_VO_S					
15_HRZ1					
15_HRZ2					
14_HZ					
14_HKZ	↑	↓	↑		
14_MD_K	▲↑		↓	▼	↓
14_MD_S					
14_VO_K	▲↑	▼∇	▲▲	↓∇	▼∇
14_VO_S	▲↑	▼	▲	↓	▼∇
14_HRZ1					
14_HRZ2			↓	↑	
24_HZ	▲↑	▼	↓		
24_HKZ	▲↑	▼	↓		▼
24_MD_K					
24_MD_S					
24_VO_K	▲	▼↓	↑	▼	▼↓
24_VO_S	▲↑	▼	▲	↓	▼∇
24_HRZ1					
24_HRZ2		▼	▼	▲	
25_HZ					
25_HKZ					
25_MD_K					
25_MD_S			↓		↑
25_VO_K	↑	↓			
25_VO_S	↑	↓		↓	
25_HRZ1					
25_HRZ2					

Примітки: тут і в подальшому

1. ▲▲ або ▼∇ – величина показника між відповідними групами має достовірні відмінності;

2. ↑▲ або ↓∇ – величина показника між відповідними групами має тен-

денцію до більших або менших значень;

3. 15_ – верхній правий другий МКЗ;
4. 14_ – верхній правий перший МКЗ;
5. 24_ – верхній лівий перший МКЗ;
6. 25_ – верхній лівий другий МКЗ;
7. HZ – висота відповідного зуба;
8. HKZ – висота коронки;
9. MD_K – мезіо-дистальний розмір коронки;
10. MD_S – мезіо-дистальний розмір шийки;
11. VO_K – присінково-язиковий розмір коронки;
12. VO_S – присінково-язиковий розмір шийки;
13. HRZ1 – довжина язикового кореня;
14. HRZ2 – довжина присінкового кореня.

шийки на 5,7 %, $p=0,079$) регіонів; висота верхнього лівого першого МКЗ і його коронки достовірно більша або має тенденцію до більших значень, ніж у представників південного (на 2,0 і 5,2 %, $p<0,05-0,01$), центрального (на 2,6 і 5,3 %, $p=0,080$) і східного (лише коронки на 7,1 %, $p<0,05$) регіонів; висота коронки верхнього правого другого МКЗ достовірно більша, ніж у представників південного (на 7,1 %, $p<0,05$) регіону, а мезіо-дистальний розмір коронки верхнього правого першого МКЗ достовірно більший або має тенденції до більших значень, ніж у представників центрального (на 4,0 %, $p=0,079$), західного (на 5,4 %, $p<0,05$) і східного (на 3,6 %, $p=0,080$) регіонів. У чоловіків *південного* регіону України висота коронки верхнього правого першого МКЗ має тенденцію до менших значень, ніж у представників північного (на 6,1 %, $p=0,068$) і центрального (на 4,3 %, $p=0,073$) регіонів; висота коронки верхнього правого другого МКЗ має тенденцію до менших значень, ніж у представників центрального (на 4,4 %, $p=0,068$) і східного (на 6,8 %, $p=0,056$) регіонів. У чоловіків *центрального* регіону України мезіо-дистальний розмір верхнього лівого другого МКЗ має тенденцію до менших значень, ніж у представників східного (на 2,4 %, $p=0,072$) регіону, а присін-

ково-язиковий розмір коронки верхнього правого першого МКЗ – тенденцію до більших значень, ніж у представників західного регіону (на 2,9 %, $p=0,076$). У чоловіків *західного* регіону України довжина присінкового кореня верхнього лівого першого МКЗ достовірно більша, ніж у представників південного (на 6,4 %, $p<0,05$) і центрального (на 4,6 %, $p<0,05$) регіонів, а верхнього правого першого МКЗ – має тенденцію до більших значень, ніж у представників центрального (на 4,6 %, $p=0,072$) регіону (див. табл. 6.1).

На нижній щелепі встановлена дещо інша картина *регіональних відмінностей* КТ-розмірів МКЗ (табл. 6.2). У чоловіків *південного* регіону України в більшості випадків висота коронки усіх МКЗ на нижній щелепі достовірно менша або має тенденцію до менших значень, ніж у представників північного (на 5,2-8,4 %, $p<0,05-0,01$), центрального (на 4,0-4,4 %, $p<0,05-0,01$), західного (на 5,6-6,6 %, $p<0,05-0,01$) і східного (за винятком нижнього лівого першого зуба, на 4,7-5,5 %, $p<0,05$, $p=0,059$) регіонів. У чоловіків *північного* регіону України в більшості випадків присінкові-язикові розміри нижніх лівих першого і другого МКЗ достовірно більші або мають тенденцію до більших значень, ніж у представників південного (за винятком шийки першого зуба, на 2,6-4,0 %, $p<0,05$, $p=0,075$), центрального (за винятком коронки зубів, на 7,1 %, $p<0,05$ і на 5,1 %, $p=0,063$), західного (на 4,1-7,1 %, $p<0,05$, $p=0,052-0,080$) і східного (за винятком коронки другого зуба, на 4,0-5,6 %, $p=0,056-0,080$) регіонів; присінкові-язикові розміри нижнього правого другого МКЗ – достовірно більші, ніж у представників східного (на 3,4 і 5,5 %, $p<0,05$) регіону, а шийки нижнього правого першого МКЗ – мають тенденцію до більших значень, ніж у представників центрального (на 4,4 %, $p=0,054$) і західного (на 4,1 %, $p=0,079$) регіонів (див. табл. 7.2). Привертає увагу повна відсутність розбіжностей КТ-розмірів довжини коренів МКЗ на нижній щелепі (див. табл. 6.2).

За С. Сегедою [118] аналіз варіацій одонтологічних ознак в українських групах дає підстави виділити три територіальних комплекси – різновиди

Таблиця 6.2

**Відмінності КТ-розмірів МКЗ нижньої щелепи та їх коренів у чоловіків
із різних регіонів України.**

Показники	Північний	Південний	Центральний	Західний	Східний
35_HZ					
35_HKZ	▲	▼↓	▲	▲	↑
35_MD_K					
35_MD_S					
35_VO_K	▲↑	▼		↓	
35_VO_S	▲↑	↓	▼	▼	↓
35_HRZ					
34_HZ					
34_HKZ	▲	▼	▲	▲	
34_MD_K					
34_MD_S					
34_VO_K	▲↑	▼		↓	↓
34_VO_S	↑		↓	↓	↓
34_HRZ					
44_HZ					
44_HKZ	▲	▼	▲	▲	▲
44_MD_K					
44_MD_S					
44_VO_K					
44_VO_S	↑		↓	↓	
44_HRZ					
45_HZ					
45_HKZ	▲	▼	▲	▲	▲
45_MD_K					
45_MD_S					
45_VO_K	▲				▼
45_VO_S	▲				▼
45_HRZ					

Примітки: тут і в подальшому

1. 35_ – нижній лівий другий МКЗ;
2. 34_ – нижній лівий перший МКЗ;
3. 44_ – нижній правий перший МКЗ;
4. 45_ – нижній правий другий МКЗ;
5. HRZ – довжина кореня.

середньоєвропейського типу, а саме: наддніпрянський матуризований, тобто

масивний (у більшості це північний регіон, частина центрального та східного регіонів), наддніпрянський грацилізований, тобто менш масивний, (більша частина південного регіону та частина центрального регіону) та карпатський (більша частина західного регіону). Відповідно: наддніпрянський матуризований має невисокий, карпатський – підвищений, а наддніпрянський грацилізований – найвищий рівень редукції малих кутніх зубів. Для зіставлення популяцій за комплексом ознак порівнювалися величини середньої таксономічної відстані між ними, які вираховувалися на основі критерію Фішера. Використовувалася така градація величин середньої таксономічної відстані: нижче 0,33 – відмінності між популяціями незначні; 0,33-0,66 – середні; вище 0,66 – значні.

Так, приналежністю до наддніпрянського матуризованого (масивного) типу пояснюється те, що у представників *північного регіону* відмічаються найбільші значення як вертикальних, так і поперечних розмірів малих кутніх зубів порівняно: із представниками південного регіону (переважно за рахунок присінково-язикових розмірів коронки і шийки, висоти коронки зубів) та із представниками західного і східного регіонів (переважно за рахунок присінково-язикових розмірів коронки і шийки зубів).

У представників *центрального регіону* відмічаються більші значення присінково-язикових розмірів коронки і шийки малих кутніх зубів порівняно із чоловіками східного і західного регіону.

У представників *південного регіону* (як у представників наддніпрянського грацилізованого одонтотипу) порівняно із представниками центрального, західного і східного регіонів відмічаються найменші значення вертикальних розмірів малих кутніх зубів (переважно за рахунок висоти коронки нижніх кутніх зубів).

Найбільша кількість регіональних відмінностей лінійних КТ-розмірів малих кутніх зубів та їх коренів при порівнянні північного регіону з південним і західним регіонами та центрального з південним регіоном зумовлена їх приналежністю до різних одонтологічних типів (таксономічна відс-

тань сягає 0,56-0,68). Центральний і східний регіон містять у собі частково наддніпрянський матуризований одонтотип і з північним регіоном вони мають значно меншу таксономічну відстань (0,32-0,39).

Отримані нами результати підтверджують те, що лінійні розміри зубів та їх коренів у найбільшій мірі зумовлені генетично та мають етнічні відмінності, що необхідно враховувати як ортодонту для досягнення оптимальної оклюзії, так і антропологу для дослідження історії народонаселення і співвідношення певних одонтотипів у популяції.

Вертикальні і поперечні розміри малих кутніх зубів залежать не лише від розмірів щелеп та зубних дуг, а і від параметрів краніофасіального комплексу. Тому, вивчення параметрів МКЗ у осіб різних краніотипів може з успіхом застосовуватись при їх моделюванні при реставрації. Їх значення можуть слугувати корисними орієнтирами для постановки діагноза і планування лікування зубів верхньої і нижньої щелеп [196, 239]. Проте, такі важливі і клінічно значимі аспекти стоматологічної естетики та ортодонції, як відношення параметрів малих кутніх зубів до типу черепа і типу обличчя практично не представлені у наукових джерелах [29, 34, 82].

При аналізі КТ-розмірів МКЗ на *верхній щелепі* у чоловіків *різних краніотипів* встановлено (табл. 6.3): у *доліхоцефалів* в більшості випадків висота коронки верхніх правого і лівого перших МКЗ достовірно менша або має тенденцію до менших значень, ніж у мезоцефалів (лише лівого зуба на 5,9 %, $p=0,080$), брахіцефалів (на 6,3 і 5,6 %, $p<0,05$ і $p=0,055$) і гіпербрахіцефалів (на 7,7 і 7,7 %, $p<0,05$), а висота верхнього правого першого МКЗ – достовірно менша, ніж у гіпербрахіцефалів (на 3,4 %, $p<0,05$); у *мезоцефалів* мезіо-дистальний розмір шийки верхніх правого і лівого перших МКЗ достовірно менший, ніж у брахіцефалів (на 4,7 і 3,9 %, $p<0,01$) і гіпербрахіцефалів (лише лівого зуба на 4,0 %, $p<0,05$); у *брахіцефалів* мезіо-дистальний розмір коронки верхнього правого і лівого перших МКЗ має тенденції до менших значень, ніж у мезоцефалів (на 2,3 і 2,4 %, $p=0,069-0,080$) і лише лівого зуба, ніж у доліхоцефалів (на 4,0 %, $p=0,057$), а присінково-язикові

Таблиця 6.3

Відмінності КТ-розмірів МКЗ верхньої щелепи та їх коренів у чоловіків різних краніотипів та типів обличчя.

Показники	Краніотип				Тип обличчя			
	доліхо.	мезоц.	брахіц.	г-брах.	широке	середнє	вузьке	д-вузьк.
15_HZ					▼	▲↑	↓	
15_HKZ								
15_MD_K								
15_MD_S								
15_VO_K								
15_VO_S								
15_HRZ1					↓	↑	↓	↓
15_HRZ2								
14_HZ	▼			▲	↓	↑	↓	↓
14_HKZ	▼↓		↑	▲		↑		↓
14_MD_K	↓	↓	↑					
14_MD_S		▼	▲		▲	↑		▼↓
14_VO_K	▼	▼	▲					
14_VO_S	▼	▼	▲	▲				
14_HRZ1								
14_HRZ2					↓	↑		
24_HZ						▲	▼	
24_HKZ	▼↓	↑	▲	▲		↑		↓
24_MD_K								
24_MD_S		▼	▲	▲				
24_VO_K	↓		↑					
24_VO_S	▼		▲	▲				
24_HRZ1								
24_HRZ2								
25_HZ					▼	▲		
25_HKZ								
25_MD_K								
25_MD_S								
25_VO_K								
25_VO_S								
25_HRZ1								
25_HRZ2								

Примітки: тут і в подальшому

1. доліхо. – доліхоцефали;
2. мезоц. – мезоцефали;

3. брахіц. – брахіцефали;
4. г-брах. – гіпербрахіцефали;
5. д-вузьк. – дуже вузьке.

розміри верхніх правого і лівого перших МКЗ – достовірно більші або мають тенденцію до більших значень, ніж у доліхоцефалів (на 3,2-5,2 %, $p < 0,05$, $p = 0,079$) і мезоцефалів (лише правого зуба на 2,7 і 2,9 %, $p < 0,05$); у *гіпербрахіцефалів* в більшості випадків присінково-язиковий розмір шийки верхніх правого і лівого перших МКЗ достовірно більший або має тенденцію до більших значень, ніж у доліхоцефалів (на 5,9 і 4,7 %, $p < 0,05$) і мезоцефалів (лише правого зуба на 3,6 %, $p = 0,080$). Привертає увагу повна відсутність розбіжностей КТ-розмірів довжини коренів і усіх лінійних розмірів других МКЗ на верхній щелепі (див. табл. 6.3).

При аналізі КТ-розмірів МКЗ на *верхній щелепі* у чоловіків із *різними типами обличчя* встановлено (див. табл. 6.3): у чоловіків із *середнім типом* в більшості випадків висота верхніх МКЗ достовірно більша або має тенденцію до більших значень, ніж у представників із широким (за винятком лівого першого зуба на 3,3-4,2 %, $p < 0,05$, $p = 0,078$), вузьким (за винятком лівого другого зуба на 2,8-3,8 %, $p < 0,05$, $p = 0,062-0,080$) і дуже вузьким (лише правого першого зуба на 2,4 %, $p = 0,069$) обличчям, а висота коронки верхніх перших МКЗ має тенденцію до більших значень, ніж у представників із дуже вузьким обличчям (на 3,7 і 3,9 %, $p = 0,072-0,074$); у чоловіків із *дуже вузьким обличчям* мезіо-дистальний розмір шийки верхнього правого першого МКЗ достовірно більший або має тенденцію до більших значень, ніж у представників із широким (на 5,7 %, $p < 0,05$) і середнім (на 3,7 %, $p = 0,078$) типами обличчя; у чоловіків із *середнім типом обличчя* довжина язикового кореня верхнього правого другого МКЗ має тенденції до більших значень, ніж у представників із широким (на 4,8 %, $p = 0,078$), вузьким (на 5,1 %, $p = 0,070$) і дуже вузьким (на 5,4 %, $p = 0,051$) обличчям, а довжина присінкового кореня верхнього правого першого малого кутнього зуба – лише, ніж у представників із широким (на 6,7 %, $p = 0,080$) типом обличчя.

При аналізі КТ-розмірів МКЗ на *нижній щелепі* у чоловіків *різних краніотипів* встановлено (табл. 6.4): у *доліхоцефалів* в більшості випадків присінкові-язикові розміри нижніх МКЗ достовірно менші або мають тенденцію до менших значень, ніж у брахіцефалів (за винятком шийки лівого другого зуба, на 4,0-7,4 %, $p < 0,05-0,01$ і $p = 0,053$) і гіпербрахіцефалів (за винятком лівого другого зуба коронки правого першого зуба і шийки правого другого зуба, на 3,5-6,4 %, $p < 0,05$, $p = 0,071-0,080$), а у *брахіцефалів* в більшості випадків присінково-язиковий розмір шийки нижніх МКЗ (за винятком лівого другого) достовірно більший або має тенденцію до більших значень, ніж у мезоцефалів (на 2,7-3,7 %, $p < 0,05$, $p = 0,072$); у *брахіцефалів* мезіо-дистальний розмір шийки нижніх перших МКЗ достовірно більший або має тенденцію до більших значень, ніж у доліхоцефалів (лише правого зуба на 5,3 %, $p = 0,078$) і мезоцефалів (на 4,2 і 5,5 %, $p < 0,01$), а у *гіпербрахіцефалів* – має тенденцію до більших значень, ніж у мезоцефалів (на 2,9 і 3,3 %, $p = 0,067-0,079$). Привертає увагу повна відсутність розбіжностей КТ-розмірів висоти зубів і їх коронок та довжини коренів МКЗ на *нижній щелепі* (див. табл. 6.4).

При аналізі КТ-розмірів МКЗ на *нижній щелепі* у чоловіків із *різними типами обличчя* встановлено (див. табл. 6.4), що лише у чоловіків із *вузьким типом* мезіо-дистальний розмір шийки нижніх правого і лівого других МКЗ достовірно більший або має тенденцію до більших значень, ніж у представників із середнім (на 5,3 і 4,8 %, $p = 0,073-0,078$) і дуже вузьким (лише лівого зуба на 4,6 %, $p < 0,05$) обличчям. Усі інші КТ-розміри МКЗ на *нижній щелепі* у чоловіків із *різними типами обличчя* не мають статистично значущих, або тенденцій відмінностей (див. табл. 6.4).

При аналізі КТ-розмірів МКЗ на *верхній щелепі* у чоловіків *центрального регіону України різних краніотипів* встановлено (табл. 6.5): у *брахіцефалів* в більшості випадків висота коронки верхніх правого і лівого перших МКЗ достовірно більша або має тенденцію до більших значень, ніж у доліхоцефалів (на 8,2 і 9,0 %, $p < 0,05$) і мезоцефалів (лише лівого зуба на 9,7 %, $p < 0,05$), а у *гіпербрахіцефалів* – менша або має тенденцію до менших значень, ніж у мезоцефалів (лише лівого зуба на 9,7 %, $p < 0,05$).

Таблиця 6.4

Відмінності КТ-розмірів МКЗ нижньої щелепи та їх коренів у чоловіків різних краніотипів та типів обличчя.

Показники	Краніотип				Тип обличчя			
	доліхо.	мезоц.	брахіц.	г-брах.	широке	середнє	вузьке	д-вузьк.
35_HZ								
35_HKZ								
35_MD_K								
35_MD_S						↓	↑▲	▼
35_VO_K	▼		▲					
35_VO_S								
35_HRZ								
34_HZ								
34_HKZ								
34_MD_K								
34_MD_S		▼↓	▲	↑				
34_VO_K	▼↓		▲	↑				
34_VO_S	▼	▼	▲▲	▲				
34_HRZ								
44_HZ								
44_HKZ								
44_MD_K								
44_MD_S	↓	▼▼	▲↑	▲				
44_VO_K	↓		↑					
44_VO_S	▼	▼	▲▲	▲				
44_HRZ								
45_HZ								
45_HKZ								
45_MD_K								
45_MD_S						↓	↑	
45_VO_K	▼↓		▲	↑				
45_VO_S	▼	↓	▲↑					
45_HRZ								

$p=0,061$), а мезіо-дистальні і присінково-язикові розміри – достовірно більші, ніж у мезоцефалів (відповідно на 7,0-10,3 %, $p<0,05-0,01$, та на 7,9-9,6 %, $p<0,05-0,01$), а також мезіо-дистальний розмір коронки і присінково-язиковий розмір шийки верхнього правого першого МКЗ мають тенденції до більших значень, ніж відповідно у гіпербрахіцефалів (на 3,1 %, $p=0,079$) і

Таблиця 6.5

Відмінності КТ-розмірів МКЗ верхньої щелепи та їх коренів у чоловіків центрального регіону України різних краніотипів та типів обличчя.

Показники	Краніотип				Тип обличчя			
	доліхо.	мезоц.	брахіц.	г-брах.	широке	середнє	вузьке	д-вузьк.
15_HZ			↓	↑	▼↓	▲^	▼	↑
15_HKZ		↓		↑				
15_MD_K								
15_MD_S								
15_VO_K	↓	↓		↑				
15_VO_S	▼	↓		▲↑				
15_HRZ1			↓	↑	▼↓	▲^	↑▼	↑▼
15_HRZ2								
14_HZ					↑	▲	▼↓	↑
14_HKZ	▼		▲					
14_MD_K		▼	▲↑	↓				
14_MD_S		▼	▲				▲	▼
14_VO_K		▼↓	▲	↑				
14_VO_S	↓	▼	▲↑					
14_HRZ1						↑	↓	
14_HRZ2					▼	▲		
24_HZ		▼		▲	↓	▲↑	▼	
24_HKZ	▼	↓	▲↑					
24_MD_K		▼	▲	▲				
24_MD_S		▼	▲				↑	↓
24_VO_K		▼	▲					
24_VO_S		▼	▲					
24_HRZ1					↓	▲↑	▼	
24_HRZ2					↓	↑	↓	
25_HZ								
25_HKZ								
25_MD_K								
25_MD_S								
25_VO_K	↓			↑				
25_VO_S	▼			▲				
25_HRZ1								
25_HRZ2					↓			↑

доліхоцефалів (на 3,9 %, $p=0,080$); у гіпербрахіцефалів висота верхнього правого другого МКЗ має тенденцію до більших значень, ніж у брахіцефалів (на 6,5 %, $p=0,060$), а верхнього лівого першого МКЗ достовірно більша, ніж

у мезоцефалів (на 7,0 %, $p < 0,05$), висота коронки верхнього правого другого МКЗ має тенденцію до більших значень, ніж у мезоцефалів (на 9,8 %, $p = 0,070$), мезіо-дистальний розмір коронки верхнього лівого першого МКЗ достовірно більший, ніж у мезоцефалів (на 5,8 %, $p < 0,05$), присінково-язикові розміри верхнього правого і лівого других МКЗ – достовірно більші, або мають тенденції до більших значень, ніж у доліхоцефалів (на 9,1-16,1 %, $p < 0,05$, $p = 0,069-0,074$) і мезоцефалів (лише правого зуба на 12,5 і 8,3 %, $p = 0,060-0,080$), а також присінково-язиковий розмір коронки верхнього правого першого МКЗ має тенденцію до більших значень, ніж у мезоцефалів (на 8,5 %, $p = 0,078$), а також довжина язикового кореня верхнього правого другого МКЗ має тенденцію до більших значень, ніж у брахіцефалів (на 8,3 %, $p = 0,074$).

При аналізі КТ-розмірів МКЗ на *верхній щелепі* у чоловіків *центрального регіону України з різними типами обличчя* встановлено (див. табл. 6.5): у чоловіків із *середнім типом* в більшості випадків висота верхніх МКЗ (за винятком лівого другого зуба) достовірно більша або має тенденцію до більших значень, ніж у представників із широким (за винятком правого першого зуба, на 8,7 і 4,1 %, $p < 0,05$, $p = 0,070$) і вузьким (на 5,9-7,3 %, $p < 0,05-0,01$, $p = 0,061$) обличчям, довжина язикового кореня – ніж у представників із широким (за винятком правого першого зуба, на 15,8 і 6,9 %, $p < 0,01$, $p = 0,076$), вузьким (на 5,2-8,3 %, $p < 0,05$, $p = 0,079$) і дуже вузьким (лише правого другого зуба на 7,9 %, $p = 0,067$) обличчям, а також довжина присінкового кореня верхніх перших МКЗ – ніж у представників із широким (на 12,9 і 6,1 %, $p < 0,05$, $p = 0,078$) і вузьким (лише лівого першого зуба на 6,0 %, $p = 0,072$) обличчям; у чоловіків із *дуже вузьким обличчям* висота верхніх правих другого і першого МКЗ має тенденції до більших значень, ніж відповідно у представників із широким (на 5,3 %, $p = 0,052$) і вузьким (лише першого зуба на 6,1 %, $p = 0,073$) типами обличчя, а мезіо-дистальний розмір шийки верхніх перших МКЗ достовірно менший, або має тенденцію до менших значень, ніж у представників із вузьким обличчям (на 5,9 і 3,7 %, $p < 0,05$, $p = 0,076$); у чоловіків із *широким типом*

обличчя висота верхнього правого першого МКЗ має тенденцію до більших значень, ніж у представників із вузьким обличчям (на 3,9 %, $p=0,079$), довжина язикового кореня верхнього правого другого МКЗ має тенденції до менших значень, ніж у представників із вузьким (на 8,1 %, $p=0,079$) і дуже вузьким (на 8,6 %, $p=0,071$) обличчям, а довжина присінкового кореня верхнього лівого другого МКЗ – лише, ніж у представників із дуже вузьким типом обличчя (на 15,0 %, $p=0,079$).

При аналізі КТ-розмірів МКЗ на *нижній щелелі* у чоловіків *центрального регіону України різних краніотипів* встановлено (табл. 6.6): у *брахіцефалів* висота коронки нижнього лівого другого МКЗ достовірно більша, ніж у мезоцефалів (на 10,3 %, $p<0,01$), а нижнього правого другого МКЗ – має тенденцію до більших значень, ніж у доліхоцефалів (на 8,1 %, $p=0,071$), мезіо-дистальні розміри нижніх МКЗ достовірно більші, або мають тенденції до більших значень, ніж у доліхоцефалів (за винятком розміру коронки правого першого і лівого другого зубів, на 5,8-11,4 %, $p<0,05$, $p=0,056-0,079$) і мезоцефалів (на 5,5-10,2 %, $p<0,05-0,01$), а присінково-язикові розміри нижніх МКЗ достовірно більші, або мають тенденції до більших значень, ніж у доліхоцефалів (за винятком розміру коронки лівого першого і шийки правого другого зубів, на 7,2-9,6 %, $p<0,05$, $p=0,080$) і мезоцефалів (на 6,2-10,7 %, $p<0,05-0,01$, $p=0,053$); у *гіпербрахіцефалів* висота нижніх лівих першого і другого МКЗ має тенденції до більших значень, ніж у мезоцефалів (на 6,2 і 3,8 %, $p=0,051-0,070$) і брахіцефалів (лише другого зуба на 4,9 %, $p=0,080$), висота коронки нижнього лівого другого і правого першого МКЗ має тенденції до більших значень, ніж у мезоцефалів (на 8,9 і 7,6 %, $p=0,057-0,063$), а довжина кореня – ніж у брахіцефалів (на 7,6 %, $p=0,077$), мезіо-дистальний розмір шийки нижнього лівого другого МКЗ достовірно більший, або має тенденцію до більших значень, ніж відповідно у мезоцефалів (на 6,4 %, $p<0,05$) і доліхоцефалів (на 8,2 %, $p=0,069$), а нижнього правого першого МКЗ – тенденцію до більших значень, ніж у мезоцефалів (на 5,9 %, $p=0,080$), мезіо-дистальний розмір коронки нижніх правих першого і другого МКЗ – ніж

Таблиця 6.6

Відмінності КТ-розмірів МКЗ нижньої щелепи та їх коренів у чоловіків центрального регіону України різних краніотипів та типів обличчя.

Показники	Краніотип				Тип обличчя			
	доліхо.	мезоц.	брахіц.	г-брах.	широке	середнє	вузьке	д-вузьк.
35_HZ		↓	↓	↑	↓	↑▲	▼	
35_HKZ		▼↓	▲	↑				
35_MD_K		▼	▲					
35_MD_S	↓	▼	▲↑	▲↑				
35_VO_K	▼	▼	▲▲	▲▲				
35_VO_S	↓	▼	▲	▲				
35_HRZ			↓	↑		▲	▼	
34_HZ		↓		↑			↓	↑
34_HKZ					↓	↓		↑
34_MD_K	↓	▼	▲↑					
34_MD_S	↓	▼	▲↑					
34_VO_K		▼	▲	▲				
34_VO_S	▼	▼	▲▲	▲				
34_HRZ								
44_HZ								
44_HKZ		↓		↑				
44_MD_K		▼	▲	▲				
44_MD_S	▼	▼	▲					
44_VO_K	↓	▼	▲↑	▲↑				
44_VO_S	▼	▼	▲	▲				
44_HRZ								
45_HZ								
45_HKZ	↓		↑					
45_MD_K	▼↓	▼	▲▲	↑				
45_MD_S	↓	▼	▲↑					
45_VO_K	▼↓	▼	▲▲	▲↑				
45_VO_S		▼	▲	▲				
45_HRZ								

відповідно у мезоцефалів (на 7,5 %, $p < 0,05$) і доліхоцефалів (на 5,1 %, $p = 0,079$), присінково-язикові розміри нижніх МКЗ достовірно більші, або мають тенденції до більших значень, ніж у доліхоцефалів (за винятком розміру коронки лівого першого і розміру шийки правого другого зубів, на 8,5-14,0%, $p < 0,05$, $p = 0,056-0,069$) і мезоцефалів (на 7,4-12,3 %, $p < 0,05-0,01$, $p = 0,067$).

При аналізі КТ-розмірів МКЗ на *нижній щелелі* у чоловіків *центрального регіону України з різними типами обличчя* встановлено (див. табл. 6.6): у чоловіків із *середнім типом висота* нижнього лівого другого МКЗ достовірно більша або має тенденцію до більших значень, ніж у представників із вузьким (на 7,3 %, $p < 0,05$) і широким (на 6,2 %, $p = 0,077$) обличчям, а довжина кореня – достовірно більша, ніж у представників із вузьким обличчям (на 10,7 %, $p < 0,05$); у чоловіків із *дуже вузьким типом обличчя висота* нижнього лівого першого МКЗ має тенденцію до більших значень, ніж у представників із вузьким обличчям (на 5,7 %, $p = 0,067$), а висота коронки – ніж у представників із широким (на 6,4 %, $p = 0,052$) і середнім (на 7,6 %, $p = 0,052$) обличчям. Усі інші КТ-розміри МКЗ на *нижній щелелі* у чоловіків *центрального регіону України з різними типами обличчя* не мають статистично значущих, або тенденцій відмінностей (див. табл. 6.6).

Таким чином, отримані нами результати підтверджують наукові дані про те, що лінійні розміри МКЗ мають краніотипологічні відмінності, що важливо для ортодонтів при плануванні індивідуалізованого лікування патологічних відхилень даних анатомічних утворень. Нами також встановлено найбільшу кількість статистично значущих або тенденцій краніотипологічних відмінностей лінійних КТ-розмірів МКЗ та їх коренів при порівнянні доліхоцефалів та мезоцефалів із брахіцефалами і гіпербрахіцефалами. Між чоловіками доліхоцефалами і мезоцефалами взагалі не виявлено статистично значущих або тенденцій відмінностей КТ-розмірів МКЗ та їх коренів. У брахіцефалів та гіпербрахіцефалів відмічаються найбільші значення як вертикальних, так і поперечних розмірів МКЗ порівняно із чоловіками доліхоцефалів та мезоцефалів (переважно за рахунок присінково-язикових та мезіо-дистальних розмірів коронки і шийки зуба).

Згідно з даними результатів ряду робіт [30, 49, 199, 245, 247] відомо про існування коваріацій між розмірами кутніх зубів, зубних дуг та кефалометричними показниками і черепом в цілому, що пояснюється їх філо-, онтогенетичною і морфо-функціональною єдністю. У осіб різних краніо-

типів кореляції відрізнялися як за силою, так і за напрямком, що обґрунтовує існування приватних одонтометричних морфологічних варіантів та доцільність поділу досліджуваних за типом черепа. Причому, у більшості робіт між представниками крайніх краніотипів встановлено більше статистично значущих відмінностей розмірів кутніх зубів.

Ознаки конституційного диморфізма кореляцій, як правило, слабо виражені і поступаються морфологічним проявам гетеродонтності і приналежності до субпопуляції, популяції [192, 196]. Тобто подальша успішна еволюція знань про морфологію МКЗ неможлива без врахування особливостей кореляцій КТ-розмірів МКЗ із кефалометричними показниками у представників різних адміністративно-територіальних регіонів. Нами встановлені переважно прямі зв'язки з показниками мозкового черепа у представників північного, центрального і західного регіонів, а зворотні – з представниками південного і східного регіонів України. Переважно прямі зв'язки з показниками лицевого черепа встановлені у представників північного, західного і східного регіонів, а зворотні – з представниками південного і центрального регіонів України [252, 253].

Наразі відомі 3 варіанти прогнозування розмірів МКЗ: використання табличних даних про середні значення цих зубів [44, 269, 285]; застосування регресійних рівнянь, які базуються на взаємозв'язку розмірів зубів з розмірами щелеп і зубних дуг [14, 42]. Ряд дослідників [50, 264] пропонує здійснювати прогнозування розмірів МКЗ шляхом аналізу інформації, одержуваної при вивченні їх площинних рентгенівських зображень в комбінації з використанням регресійних рівнянь.

Кожна зі згаданих груп методів має ряд недоліків, основним з яких є неточність отриманих результатів, що обумовлено наступними факторами: відсутністю урахування індивідуальних особливостей анатомії зубів при орієнтації на дані про середні табличні величини їх розмірів; відсутністю універсального характеру застосовуваних регресійних рівнянь внаслідок наявності статевих, вікових, расових і етнічних відмінностей в розмірах і

анатомії зубів; неможливістю прогнозу розмірів МКЗ на підставі регресійного рівняння в разі відсутності кефалометричних показників (на основі розмірів яких має здійснюватися прогнозування); спотворенням справжніх розмірів МКЗ, величина яких варіює залежно від виду і області рентгенографічного дослідження [8, 50, 221].

Таким чином, необхідність у застосуванні кореляційного аналізу з подальшим регресійним аналізом є очевидною. Причому, у дослідження мають включатися досліджувані чоловічої статі однієї етно-расової групи в періоді сформованого постійного прикусу і стабільності кефалодонтометричних показників [58, 88, 125, 135]. При цьому акцентується увага на математичному моделюванні розмірів МКЗ за кефалометричними показниками. Точність і достовірність величин лінійних вимірювань, одержуваних при вивченні конусно-променевих томограм, забезпечується можливістю проведення кутових і лінійних вимірювань без спотворень реальної величини їх значень. Крім того, безпечність даного методу морфометрії МКЗ дозволяє знизити сумарне променеве навантаження на пацієнта з отриманням максимальної кількості діагностичної інформації [227, 228].

Побудовані регресійні моделі КТ-розмірів МКЗ в залежності від особливостей кефалометричних показників, краніютипу і типу обличчя практично здорових чоловіків із різних регіонів України мають вигляд наступних лінійних рівнянь:

мезіо-дистальний розмір коронки верхнього правого другого МКЗ (північний регіон) = 2,681 + 0,346×LGO_GN – 0,331×N_GN + 0,132×FMT_FMT + 0,175×GO_GO + 0,193×CHI_CHI (R²=0,578; F_(5,26)=7,13; p<0,001; Error of estimate=0,262);

присінково-язиковий розмір шийки верхнього правого першого МКЗ (північний регіон) = – 11,36 + 0,536×N_STO – 0,356×G_OP + 1,518×LGO_GN + 0,972×N_GN – 0,270×ZY_ZY + 0,125×N_PRN (R²=0,643; F_(5,26)=7,13; p<0,001; Error of estimate=0,632);

присінково-язиковий розмір коронки верхнього правого першого МКЗ (північний регіон) = - 3,611 + 0,640×N_STO + 1,086×LGO_GN - 0,254×G_OP + 0,614×N_GN - 0,197×FMT_FMT (R²=0,525; F_(5,26)=5,75; p<0,01; Error of estimate=0,605);

висота коронки верхнього правого першого МКЗ (північний регіон) = 5,858 + 0,375×EU_EU + 0,513×EK_EK + 1,965×LGO_GN - 1,877×RGO_GN - 0,285×DUG_AUAU - 0,586×N_GN + 0,195×DUGS_GOP (R²=0,632; F_(5,88)=7,24; p<0,001; Error of estimate=0,574);

мезіо-дистальний розмір шийки верхнього правого першого МКЗ (північний регіон) = 3,197 + 0,417×GO_GO + 0,864×CHI_CHI - 0,129×TIP_LICA + 0,228×EU_EU - 0,182×DUG_AUAU - 0,315×N_I - 0,596×AL_AL (R²=0,594; F_(5,01)=7,24; p<0,01; Error of estimate=0,353);

присінково-язиковий розмір шийки верхнього лівого першого МКЗ (північний регіон) = - 8,792 + 1,507×LGO_GN + 1,118×N_GN - 0,364×G_OP + 1,120×N_STO - 0,703×N_I - 0,159×ZY_ZY (R²=0,555; F_(5,19)=6,25; p<0,01; Error of estimate=0,731);

мезіо-дистальний розмір шийки верхнього лівого першого МКЗ (північний регіон) = 4,030 + 0,912×CHI_CHI + 0,311×GO_GO - 0,179×DUG_AUAU + 0,251×EU_EU - 0,732×AL_AL - 0,115×TIP_LICA - 0,303×N_I (R²=0,562; F_(4,40)=5,24; p<0,01; Error of estimate=0,358);

мезіо-дистальний розмір коронки другого верхнього лівого другого МКЗ (північний регіон) = 7,187 + 0,341×LGO_GN - 0,433×N_GN - 0,815×AL_AL + 0,107×DUGS_GOP + 0,158×EK_EK - 0,114×TR_N (R²=0,604; F_(6,25)=6,34; p<0,001; Error of estimate=0,285);

присінково-язиковий розмір коронки нижнього лівого другого МКЗ (північний регіон) = 3,341 - 0,397×TR_GN + 0,438×GO_GO + 0,237×DUG_GOP + 0,727×N_STO - 0,156×N_PRN - 0,271×ZM_ZM - 0,135×DUG_AUAU +

$0,283 \times \text{CHI_CHI}$ ($R^2=0,822$; $F_{(8,23)}=13,30$; $p<0,001$; Error of estimate=0,260);

мезіо-дистальний розмір шийки нижнього лівого другого МКЗ (північний регіон) = 7,625 + 0,196 \times \text{DUG_GOP} - 0,657 \times \text{RGO_GN} - 0,713 \times \text{SN_PRN} - 0,129 \times \text{ZM_ZM} - 0,108 \times \text{DUG_AUAU} - 0,093 \times \text{TIP_GOL} ($R^2=0,648$; $F_{(6,25)}=7,67$; $p<0,001$; Error of estimate=0,238);

висота коронки нижнього лівого першого МКЗ (північний регіон) = - 10,37 + 0,388 \times \text{EK_EK} + 0,711 \times \text{LGO_GN} + 0,280 \times \text{TIP_GOL} + 0,199 \times \text{DUG_AUAU} ($R^2=0,507$; $F_{(4,27)}=6,94$; $p<0,001$; Error of estimate=0,592);

висота коронки нижнього правого першого МКЗ (північний регіон) = - 3,372 + 0,451 \times \text{TIP_LICA} - 0,420 \times \text{ZM_ZM} + 0,301 \times \text{DUG_GOP} - 0,322 \times \text{G_OP} + 0,326 \times \text{EK_EK} ($R^2=0,596$; $F_{(5,26)}=7,66$; $p<0,001$; Error of estimate=0,563);

мезіо-дистальний розмір шийки нижнього правого другого МКЗ (північний регіон) = 4,245 + 0,223 \times \text{DUG_GOP} - 0,782 \times \text{SN_PRN} - 0,967 \times \text{RGO_GN} - 0,142 \times \text{DUG_AUAU} - 0,103 \times \text{ZM_ZM} + 0,213 \times \text{CHI_CHI} + 0,444 \times \text{LGO_GN} ($R^2=0,715$; $F_{(7,24)}=8,61$; $p<0,001$; Error of estimate=0,235);

мезіо-дистальний розмір шийки верхнього лівого другого МКЗ (південний регіон) = 15,01 - 0,098 \times \text{DUG_GOP} - 0,279 \times \text{N_I} + 0,062 \times \text{N_PRN} - 0,320 \times \text{N_STO} - 0,194 \times \text{RGO_GN} ($R^2=0,509$; $F_{(5,27)}=5,60$; $p<0,01$; Error of estimate=0,341);

висота коронки нижнього лівого другого МКЗ (південний регіон) = 16,76 - 0,099 \times \text{DUG_AUAU} - 0,244 \times \text{TR_N} - 1,632 \times \text{SN_PRN} - 0,341 \times \text{TIP_LICA} - 0,829 \times \text{AL_AL} + 0,172 \times \text{ZM_ZM} ($R^2=0,631$; $F_{(6,26)}=7,41$; $p<0,001$; Error of estimate=0,456);

висота коронки нижнього лівого першого МКЗ (південний регіон) = 22,70 - 0,440 \times \text{DUG_GOP} - 0,726 \times \text{MF_MF} - 0,229 \times \text{TR_N} + 0,433 \times \text{RGO_GN} + 0,448 \times \text{EU_EU} + 0,618 \times \text{AL_AL} ($R^2=0,702$; $F_{(6,26)}=10,19$; $p<0,001$; Error of estimate=0,392);

висота коронки нижнього правого першого МКЗ (південний регіон) = 25,43 – 0,290×DUG_GOP – 0,482×MF_MF – 0,252×TR_N + 0,804×PGO_GN – 0,655×LGO_GN (R²=0,564; F_(5,27)=6,98; p<0,001; Error of estimate=0,459);

мезіо-дистальний розмір коронки верхнього правого другого МКЗ (західний регіон) = 2,747 + 0,389×SN_PRN + 0,739×N_I + 0,405×RGO_GN – 0,216×DUG_GOP + 0,116×DUG_AUAU + 0,045×N_SN + 0,251×CHI_CHI (R²=0,659; F_(7,28)=7,71; p<0,001; Error of estimate=0,322);

мезіо-дистальний розмір шийки верхнього правого першого МКЗ (західний регіон) = –4,022 + 0,516×G_OP + 0,472×RGO_GN + 0,335×N_I – 0,195×DUG_GOP + 0,308×GO_GO (R²=0,538; F_(5,30)=6,98; p<0,001; Error of estimate=0,385);

мезіо-дистальний розмір коронки верхнього лівого другого МКЗ (західний регіон) = 3,601 + 0,648×N_I + 1,011×RGO_GN – 0,228×DUG_GOP + 0,174×DUG_AUAU + 0,723×N_SN + 0,512×CHI_CHI – 0,786×LGO_GN – 0,654×N_PRN (R²=0,656; F_(6,43)=8,27; p<0,001; Error of estimate=0,341);

висота коронки нижнього правого першого МКЗ (західний регіон) = 9,808 + 1,031×N_I – 0,604×TR_GN + 0,655×TR_N – 0,909×MF_MF + 0,114×ZY_ZY – 0,943×LGO_GN + 0,731×RGO_GN (R²=0,522; F_(4,37)=5,28; p<0,01; Error of estimate=0,533);

мезіо-дистальний розмір коронки другого нижнього правого другого МКЗ (західний регіон) = 1,543 + 0,428×SN_PRN + 0,239×DUG_AUAU + 0,439×N_STO + 0,652×CHI_CHI – 0,148×DUG_GOP – 0,088×ZM_ZM + 0,318×N_I (R²=0,535; F_(4,60)=5,28; p<0,01; Error of estimate=0,436);

мезіо-дистальний розмір коронки верхнього правого другого МКЗ (східний регіон) = 14,09 – 0,192×ZM_ZM + 0,410×LGO_GN – 0,176×DUG_GOP + 0,648×MF_MF – 0,206×TR_N – 0,395×CHI_CHI + 0,539×AL_AL (R²=0,641; F_(6,88)=7,27; p<0,001; Error of estimate=0,278);

мезіо-дистальний розмір коронки верхнього правого першого МКЗ (східний регіон) = 8,763 – 0,259×FMT_FMT + 0,412×N_GN – 0,098×DUGS_GOP – 0,704×SN_PRN – 0,409×CHI_CHI + 0,344×RRO_GN – 0,495×TR_N + 0,113×TR_GN (R²=0,630; F_(5,54)=8,26; p<0,001; Error of estimate=0,390);

мезіо-дистальний розмір коронки верхнього лівого першого МКЗ (східний регіон) = 10,12 – 0,111×DUGS_GOP – 0,180×ZM_ZM + 0,501×N_I + 0,468×LGO_GN – 0,246×TR_N – 0,363×CHI_CHI – 0,193×G_OP (R²=0,594; F_(5,65)=7,27; p<0,001; Error of estimate=0,352);

мезіо-дистальний розмір коронки верхнього лівого другого МКЗ (східний регіон) = 8,621 + 0,366×LGO_GN – 0,130×DUGS_GOP – 0,173×TIP_LICA – 0,218×CHI_CHI (R²=0,527; F_(4,30)=8,24; p<0,001; Error of estimate=0,309);

присінково-язиковий розмір шийки нижнього лівого другого МКЗ (східний регіон) = 8,427 + 1,199×EK_EK – 0,328×GO_GO – 0,160×DUG_AUAU + 0,079×N_PRN – 0,555×TR_N – 0,655×CHI_CHI + 0,695×MF_MF – 0,146×TIP_LICA (R²=0,559; F_(4,12)=5,26; p<0,01; Error of estimate=0,666);

мезіо-дистальний розмір шийки другого нижнього лівого другого МКЗ (східний регіон) = 11,23 – 0,367×ZM_ZM – 0,139×DUGS_GOP + 0,531×RGO_GN – 0,217×ZY_ZY + 0,392×N_I – 0,240×TR_N (R²=0,505; F_(4,76)=5,28; p<0,01; Error of estimate=0,513);

мезіо-дистальний розмір шийки нижнього правого першого МКЗ (східний регіон) = 11,04 – 0,136×ZM_ZM – 0,150×DUGS_GOP + 0,402×EK_EK – 0,270×TR_N – 0,329×CHI_CHI + 0,137×TIP_GOL – 0,114×TIP_LICA (R²=0,569; F_(5,10)=7,27; p<0,001; Error of estimate=0,361);

присінково-язиковий розмір шийки нижнього правого другого МКЗ (східний регіон) = 9,239 + 1,187×EK_EK – 0,756×CHI_CHI – 0,561×GO_GO – 0,094×DUG_AUAU + 0,054×N_PRN – 0,623×SN_PRN (R²=0,519; F_(5,03)=6,28; p<0,01; Error of estimate=0,641);

висота коронки нижнього правого другого МКЗ (східний регіон) = 20,49 – 1,164×AL_AL – 0,396×TIP_LICA – 0,141×N_PRN + 1,056×MF_MF – 0,230×DUG_GOP + 0,572×LGO_GN – 0,184×FMT_FMT (R²=0,603; F_(5,85)=7,27; p<0,001; Error of estimate=0,571);

де, AL_AL – ширина основи носа (см); CHI_CHI – ширина ротової щілини (см); DUG_AUAU – поперечна дуга (см); DUG_GOP – найбільший обхват голови (см); DUGS_GOP – сагітальна дуга (см); EK_EK – зовнішньоочна ширина (см); EU_EU – найбільша ширина голови (см); FMT_FMT – найменша ширина голови (см); G_OP – найбільша довжина голови (см); GO_GO – ширина нижньої щелепи (см); LGO_GN – довжина тіла нижньої щелепи зліва (см); MF_MF – міжчочномкова ширина (см); N_GN – морфологічна довжина обличчя (см); N_I – відстань між назіон та міжрізцевою точкою (см); N_PRN – довжина носа (см); N_SN – висота носа (см); N_STO – висота верхньої частини обличчя (см); RGO_GN – довжина тіла нижньої щелепи справа (см); SN_PRN – глибина носа (см); TIP_GOL – краніотип (1- доліхоцефали, 2- мезоцефали, 3- брахіцефали, 4- гіпербрахіцефали); TIP_LICA – тип обличчя (1- широке, 2- середнє, 3- вузьке, 4- дуже вузьке); TR_GN – фізіологічна довжина обличчя (см); TR_N – висота лоба (см); ZM_ZM – середня ширина обличчя (см); ZY_ZY – ширина обличчя (см).

Моделі усіх інших лінійних розмірів МКЗ у практично здорових чоловіків різних регіонів України (в тому числі і центрального) мають коефіцієнт детермінації менше 0,5 і тому не мають суттєвого значення для практичної стоматології.

Таким чином, за допомогою регресійного аналізу на основі особливостей кефалометричних показників, краніотипу і типу обличчя нами побудовані достовірні моделі (із коефіцієнтом детермінації R² більшим, ніж 0,5) індивідуальних лінійних розмірів МКЗ верхньої і нижньої щелеп у практично здорових чоловіків *північного* (6 моделей мезіо-дистальних розмірів, R²=0,562-0,715; 4 моделі присінково-язикових розмірів, R²=0,525-0,822; 3

моделі висоти коронок, $R^2=0,507-0,632$), *південного* (1 модель мезіо-дистальних розмірів, $R^2=0,509$; 3 моделі висоти коронок, $R^2=0,564-0,702$), *західного* (4 моделі мезіо-дистальних розмірів, $R^2=0,535-0,659$; 1 модель висоти коронок, $R^2=0,522$) і *східного* (6 моделей мезіо-дистальних розмірів, $R^2=0,505-0,641$; 2 моделі присінково-язикових розмірів, $R^2=0,519$ і $0,559$; 1 модель висоти коронок, $R^2=0,603$) адміністративно-територіальних регіонів України. У більшості випадків, незалежно від регіону, моделі мезіо-дистальних розмірів коронки і шийки МКЗ побудовані для верхньої щелепи, а висоти коронок – для нижньої щелепи.

До побудованих моделей індивідуальних лінійних розмірів МКЗ верхньої і нижньої щелеп із коефіцієнтом детермінації більше 0,5 найчастіше входять:

у чоловіків *північного регіону* України до моделей мезіо-дистальних розмірів – поперечна дуга і ширина ротової щілини (по 10,5 %) та ширина основи носа, ширина нижньої щелепи і довжина тіла нижньої щелепи зліва (по 7,9 %); до моделей присінково-язикових розмірів – висота верхньої частини обличчя (16,0 %), найбільша довжина голови, довжина тіла нижньої щелепи зліва і морфологічна довжина обличчя (по 12,0 %); до моделей висоти коронок – зовнішньоочна ширина (18,7 %) та поперечна дуга і довжина тіла нижньої щелепи зліва (по 12,5 %);

у чоловіків *південного регіону* України до моделей висоти коронок – висота лоба (17,6 %), найбільший обхват голови, ширина основи носа, міжчочномкова ширина і довжина тіла нижньої щелепи справа (по 11,8 %);

у чоловіків *західного регіону* України до моделей мезіо-дистальних розмірів – найбільший обхват голови і відстань між назіон та міжрізцевою точкою (по 14,8 %), поперечна дуга, ширина ротової щілини і довжина тіла нижньої щелепи справа (по 11,1 %);

у чоловіків *східного регіону* України до моделей мезіо-дистальних розмірів – сагітальна дуга, ширина ротової щілини і висота лоба (по 12,8 %), середня ширина обличчя (10,3 %) і довжина тіла нижньої щелепи зліва

(7,7 %); до моделей присінково-язикових розмірів – поперечна дуга, ширина ротової щілини, зовнішньоочна ширина, ширина нижньої щелепи і довжина носа (по 14,3 %).

На сьогодні все частіше обговорюються можливість помилок при застосуванні регресійного аналізу зважаючи на расово-популяційні варіації розмірів зубів і краніофаціального комплексу. Тому, в даний час, виходячи з посилів про етно-територіальні варіації морфологічних параметрів, робляться спроби розробки діагностичних моделей адаптованих до застосування на населенні конкретних регіонів всередині ареалу розселення великих етнічних груп [126, 153, 192].

Підводячи підсумок усієї роботи слід підкреслити, що в руслі сучасних тенденцій в медицині, спрямованих на підвищення рівня діагностики і прогнозування патології шляхом розробки нормативів для конкретних регіонів, проведене нами дослідження дозволило визначити краніотипологічні і регіональні особливості лінійних КТ-розмірів МКЗ та їх коренів у практично здорових чоловіків України. Орієнтуючись на застосування високоінформативних, безпечних технологій і комплексний математичний аналіз, для кожного регіону України визначено базові кореляційні і регресійні показники, кінцевий результат яких буде спрямований на усунення відповідних лікувально-діагностичних проблем в практичній стоматології і превентивній медицині, а для етнічної одонтології може виявитися особливо цінним при антропологічному аналізі популяцій.

ВИСНОВКИ

У дисертаційній роботі подано вирішення науково-практичного завдання, яке полягає у встановленні величини і особливостей лінійних КТ-розмірів МКЗ та їх коренів у практично здорових чоловіків із різних адміністративно-територіальних регіонів України, у представників різних краніотипів та типів обличчя як загалом в Україні, так і у чоловіків центрального регіону України; а також розробленні регресійних моделей індивідуальних лінійних розмірів даних зубів у залежності від кефалометричних показників.

1. В усіх адміністративно-територіальних регіонах України встановлений більший відсоток практично здорових чоловіків брахіцефалів та представників із вузьким і дуже вузьким обличчям.

2. Найбільш виражені достовірні або тенденції регіональних відмінностей КТ-розмірів МКЗ на *верхній щелепі* встановлені для присінково-язикових розмірів лівого і правого перших зубів – у чоловіків *північного* регіону України, в більшості випадків, більші значення, ніж у представників південного (на 4,8-5,7 %), західного (на 4,3-4,8 %) і східного (на 5,3-7,4 %) регіонів, а у представників *центрального* регіону, ніж у чоловіків південного (за винятком шийки на 3,3 і 2,8 %) і східного (на 3,4-4,8 %) регіонів; висоти верхнього лівого першого зуба і його коронки – у чоловіків *північного* регіону більші значення, ніж у представників південного (на 2,0 і 5,2 %), центрального (на 2,6 і 5,3 %) і східного (лише коронки на 7,1 %) регіонів; довжини присінкового кореня верхнього лівого і правого першого зубів – у чоловіків *західного* регіону більші значення, ніж у представників південного (лише лівого зуба на 6,4 %) і центрального (на 4,6 % в обох випадках) регіонів; а на *нижній щелепі* – в більшості випадків у чоловіків *південного* регіону висота коронки усіх МКЗ менша, ніж у представників північного (на 5,2-8,4 %), центрального (на 4,0-4,4 %), західного (на 5,6-6,6

%) і східного (на 4,7-5,5 %) регіонів; у чоловіків *північного* регіону в більшості випадків присінкові-язикові розміри лівих першого і другого зубів більші, ніж у представників південного (на 2,6-4,0 %), центрального (на 5,1 і 7,1 %), західного (на 4,1-7,1 %) і східного (4,0-5,6 %) регіонів.

3. У практично здорових чоловіків *різних краніотипів* найбільш виражені достовірні або тенденції відмінності КТ-розмірів МКЗ встановлені для присінково-язикових розмірів верхніх і нижніх перших зубів та нижнього правого другого зуба – у *доліхоцефалів* в більшості випадків менші значення, ніж у брахіцефалів (на 3,2-7,4 %) і гіпербрахіцефалів (на 3,5-6,4 %); мезіо-дистального розміру шийки верхніх і нижніх перших зубів – у *мезоцефалів* в більшості випадків менші значення, ніж у брахіцефалів (на 3,9-5,5 %) і гіпербрахіцефалів (на 2,9-4,0 %); висоти коронки верхніх правого і лівого перших зубів – у *доліхоцефалів* менші значення, ніж у брахіцефалів (на 5,6 і 6,3 %) і гіпербрахіцефалів (на 7,7 % в обох випадках).

4. У чоловіків *із різним типом обличчя* найбільш виражені достовірні або тенденції відмінностей КТ-розмірів МКЗ встановлені лише на *верхній щелепі* для висоти правих першого і другого зубів – в більшості випадків у чоловіків із *середнім типом обличчя* більші значення, ніж у представників із іншими типами обличчя (на 2,4-4,2 %); та довжини язикового кореня правого другого зуба – у чоловіків із *середнім типом обличчя* більші значення, ніж у представників із іншими типами обличчя (на 4,8-5,4 %).

5. У практично здорових чоловіків *центрального регіону України різних краніотипів* найбільш виражені достовірні або тенденції відмінності КТ-розмірів МКЗ на *верхній щелепі* встановлені для мезіо-дистальних та присінково-язикових розмірів перших зубів – у *брахіцефалів* більші значення, ніж у мезоцефалів (відповідно на 7,0-10,3 % та на 7,9-9,6 %) та для присінково-язикових розмірів других зубів – у *гіпербрахіцефалів* більші значення, ніж у доліхоцефалів (на 9,1-16,1 %) і мезоцефалів (лише правого зуба на 12,5 і 8,3 %); а на *нижній щелепі* – в більшості випадків мезіо-дистальних та присінково-язикових розмірів зубів – у *брахіцефалів* більші значення, ніж у

мезоцефалів (відповідно на 5,5-10,2 % та на 6,2-10,7 %) і доліхоцефалів (відповідно на 5,8-11,4 % та на 7,2-9,6 %), а у *гіпербахіцефалів* більші значення, ніж у мезоцефалів (відповідно на 5,9-7,5 % та на 7,4-12,3 %).

6. У чоловіків *центрального регіону України з різним типом обличчя* найбільш виражені достовірні або тенденції відмінності КТ-розмірів МКЗ (за винятком лівого другого) встановлені лише на *верхній щелепі* для висоти МКЗ – у чоловіків із *середнім типом обличчя* більші значення, ніж у представників із іншими типами обличчя (на 4,1-8,7 %); довжини язикового і присінкового коренів зубів – у чоловіків із *середнім типом обличчя* більші значення, ніж у представників із широким (на 6,1-15,8 %) та вузьким (на 5,2-8,3 %) типами обличчя.

7. На основі особливостей кефалометричних показників та типу голови і обличчя у практично здорових чоловіків із різних адміністративно-територіальних регіонів України розроблені достовірні регресійні моделі (з коефіцієнтом детермінації R^2 більшим, ніж 0,5) індивідуальних лінійних розмірів МКЗ верхньої і нижньої щелеп, а саме: *північного регіону* – 6 моделей мезіо-дистальних розмірів, $R^2=0,562-0,715$, 4 моделі присінково-язикових розмірів, $R^2=0,525-0,822$ і 3 моделі висоти коронок, $R^2=0,507-0,632$; *південного регіону* – 1 модель мезіо-дистальних розмірів, $R^2=0,509$ і 3 моделі висоти коронок, $R^2=0,564-0,702$; *західного регіону* – 4 моделі мезіо-дистальних розмірів, $R^2=0,535-0,659$ і 1 модель висоти коронок, $R^2=0,522$; *східного регіону* – 6 моделей мезіо-дистальних розмірів, $R^2=0,505-0,641$, 2 моделі присінково-язикових розмірів, $R^2=0,519$ і $0,559$ та 1 модель висоти коронки, $R^2=0,603$.

8. До побудованих моделей найчастіше входять: в *північному регіоні* до моделей мезіо-дистальних розмірів – поперечна дуга і ширина ротової щілини (по 10,5 %), ширина основи носа, ширина нижньої щелепи і довжина тіла нижньої щелепи зліва (по 7,9 %); до моделей присінково-язикових розмірів – висота верхньої частини обличчя (16,0 %), найбільша довжина голови, довжина тіла нижньої щелепи зліва і морфологічна дов-

жина обличчя (по 12,0 %); до моделей висоти коронок – зовнішньоочна ширина (18,7 %), поперечна дуга і довжина тіла нижньої щелепи зліва (по 12,5 %); в *південному регіоні* до моделей висоти коронок – висота лоба (17,6 %), найбільший обхват голови, ширина основи носа, міжчочномкова ширина і довжина тіла нижньої щелепи справа (по 11,8 %); в *західному регіоні* до моделей мезіо-дистальних розмірів – найбільший обхват голови і відстань між назіон та міжрізцевою точкою (по 14,8 %), поперечна дуга, ширина ротової щілини і довжина тіла нижньої щелепи справа (по 11,1 %); в *східному регіоні* до моделей мезіо-дистальних розмірів – сагітальна дуга, ширина ротової щілини і висота лоба (по 12,8 %), середня ширина обличчя (10,3 %) і довжина тіла нижньої щелепи зліва (7,7 %); до моделей присінково-язикових розмірів – поперечна дуга, ширина ротової щілини, зовнішньоочна ширина, ширина нижньої щелепи і довжина носа (по 14,3 %).

СПИСОК ВИКОРИСТАНИХ ДЖЕРЕЛ

1. *Актуальні питання науково-практичної стоматології* (ред. В. І. Смоланка) (2016). Матеріали V Міжнар. стомат. конф. студентів та молодих вчених, Ужгород (329 стор.). – Ужгород : Бреза А. Е.
2. *Актуальні питання сучасної стоматології матеріали* (ред. Ю. Ю. Переста) (2014). III Міжнар. стоматол. конф. студентів та молодих вчених, Ужгород (229 стор.). – Ужгород : Бреза А. Е.
3. *Актуальні проблеми клінічної, теоретичної, профілактичної медицини, стоматології та фармації* (ред. Ю. В. Думанський) (2014). Програма та матеріали 76-го міжнародного медичного конгресу молодих учених "Актуальні проблеми клінічної, теоретичної, профілактичної медицини, стоматології та фармації", Донецьк (251 стор.). – Донецьк : Каштан.
4. *Актуальні проблеми клінічної, теоретичної, профілактичної медицини, стоматології та фармації* (2016). Матеріали Міжнародної науково-практичної конференції "Актуальні проблеми клінічної, теоретичної, профілактичної медицини, стоматології та фармації", Одеса (171 стор.). – Одеса : Міжнар. гуманітар. ун-т.
5. Алексеев, В. П., & Дебец, Г.Ф. (1964). *Краниометрия: методика антропологических исследований*. М.: Наука.
6. Алексеева, Т. И. (2002). *Антропология и этническая история. Восточные славяне*. М.: Научный мир.
7. Андрійчук, В. М., & Заєць, П. В. (2012). Регіональні особливості впливу геологічного середовища на антропометричні параметри чоловіків. *Український морфологічний альманах*, 10(1), 3-6.
8. Арсенина, О. И., Ряховский, А. Н., Сафарова, Н. М. (2012). Использование метода 3D- сканирования и моделирования в диагностике и планировании ортодонтического лечения пациентов со скученным положением зубов с использованием эластомерных корригирующих капп. *Ортодо-*

нтя, 1, 49-50.

9. Арсенина, О. И., Шишкин, К. М., Шишкин, М. К., Попова, Н. В. (2017). Эффективность цефалометрии в планировании ортодонтической коррекции: (часть I цефалометрические параметры и их возрастные изменения). *Стоматология*, 3, 45-48.

10. Базикян, Э. А., Волчкова, Л. В., Лукина, Г. И., Янушевич, О. О. (под ред. Э. А. Базякина, О. О. Янушевича) (2012). *Пропедевтическая стоматология: учебник : [для вузов по специальности 060201.65 "Стоматология"]*. М. : ГЭОТАР-Медиа.

11. Барило, О. С., Фурман, Р. Л., Кравчук, П. О. (2014). Гігієна порожнини рота як частина комплексу лікувальних заходів при переломах нижньої щелепи та її залежність від антропометричних особливостей лицевого скелета. *Соврем. стоматология*, 2, 86-90.

12. Безвушко, Е. В., Чухрай, Н. Л., Ахмад, Х. Д. (2012). Частота та структура ортодонтичної патології у дітей з регіону з підвищеним вмістом фтору у питній воді. *Вісник стоматології*, 1, 66-68.

13. Безвушко, Е. В., Чухрай, Н. Л., Ахмад, Х. Д., Штибель, Н. В. (2013). Формування зародків третіх молярів у дітей, які проживають на території з підвищеним вмістом фтору в питній воді за даними ортопантограм. *Вісник проблем біології і медицини*, 4(2), 270-273.

14. Бердин, В. В., Севастьянов, А. В., Вологина, М. В. (2012). *Макродонтия постоянных зубов и ее взаимосвязь с размерами зубочелюстных дуг*. Стаття представлена в сборнике материалов научно-пр. конф. «Актуальные вопросы стоматологии» посв. 80-летию проф. В. Ю. Миликевича, Волгоград, (стр. 184-187). Волгоград : «Феникс».

15. Билич, Г., & Зигалова, Е. (2017). *Анатомия и физиология. Большой популярный атлас*. М. : Издательство «Э».

16. Біда, В. І., Паливода, І. І., Пальчиков, А. В., Пальчикова, Г. В., Оснач, Р. Г., Чорненький, І. М. (2015). Дослідження впливу штучних коронок на стан маргінального пародонту опорних зубів. *Зб. наук. пр. співробітників*

НМАПО ім. П. Л. Шупика, 24(2), 52-58.

17. Біда, В. І., Пальчиков, А. В., Пальчикова, Г. В., Паливода, І. І., Чорненький, І. М. (2015). Профілометрія як метод визначення мікротопографії поверхонь конструкційних матеріалів у ортопедичній стоматології. *Зб. наук. пр. співробітників НМАПО ім. П. Л. Шупика*, 24(1), 477-482.

18. Бобрик, І. І., Школьніков, В. С., Максименко, С. Д., Гумінський, Ю. Й. (2012). *Анатомія дитини (з основами ембріології та вадами розвитку) : навч.-метод. посіб. для мед. ВНЗ (фармац.) навч. закл. III - IV рівнів акредитації, лікарів-інтернів, лікарів-педіатрів, лікарів-хірургів, лікарів-генетиків, а також спеціалістів з вік. гігієни*. Луганськ : Віртуал. реальність.

19. Большаков, О. П. (2013). *Оперативная хирургия и топографическая анатомия: [по специальности 040100 "Лечебное дело"] Учебник для ВУЗов*. Санкт-Петербург : Издательский дом «Питер».

20. Борисенко, А. В., & Шінкарук-Диковицька, М. М. (2015). Характеристика премолярів після терапевтичного лікування у соматично здорових чоловіків із різних регіонів України. *Інновації в стоматології*, 1, 19-24.

21. Бунак, В. В. (1941). *Антропометрия. Практический курс*. М.: Учпедгиз.

22. Бунак, В. В. (1968). Об эволюции формы черепа. *Вопросы антропологии*, 30, 3-16.

23. Владимирова, В. И., & Юфименко, В. Г. (2013). *Стоматология : учеб. пособие по изучающему чтению текстов стоматол. профиля для иностр. студентов стоматол. фак. высш. мед. учреждений IV уровня аккредитации*. Полтава : АСМИ.

24. Вовк, В. Ю. (2009). Краниологический анализ костей мозгового и лицевого отделов головы (обзорная статья). *Украинский медицинский альманах*, 12(1), 209-212.

25. Воляк, Ю. М., & Ожоган, З. Р. (2014). Поширеність, етіологія і вплив зубощелепних аномалій на формування лицевого черепа. *Галиц. лікар. вісн.*,

21(2), 13-16.

26. Воробець, А. Б., Гасюк, П. А., Росоловська, С. О., Костиренко, О. П. (2016). Гендерні відмінності одонтометричних показників коронок великих кутніх зубів людини. *Світ медицини та біології*, 4, 16-19.

27. Гаджула, Н. Г. (2015). *Пропедевтика терапевтичної стоматології : навч. посіб. для студентів стоматол. ф-тів вищ. мед. навч. закл. III-IV рівня акредитації*. Вінниця : Нілан.

28. Гайворонский, И. (2017). *Нормальная анатомия человека*. – Санкт-Петербург : СпецЛит.

29. Гасюк П. А., Ковтун Н. Я., Воробець А. Б. (2014). Морфометричні показники коронки малих кутніх зубів верхньої та нижньої щелеп людини в нормі. *Молодий вчений*, 2(05), 154-156.

30. Глушак, А. А. (2015). Вестибуло-оральні розміри зубів у хлопчиків та дівчаток з ортогнатичним прикусом в залежності від форми голови та типу обличчя. *Вісник Вінницького національного медичного університету*, 19(1), 37-43.

31. Глушак, А. А. (2015). Моделі трансверзальних розмірів верхньої й нижньої щелеп та сагітальних характеристик зубної дуги у хлопчиків та дівчаток із різним типом обличчя. *Вісник наукових досліджень*, 1, 78-83.

32. Глушак, А. А. (2015). *Розбіжності одонтометричних показників між підлітками різних фізіономічних типів та різної форми голови з ортогнатичним прикусом*. Тези представлені в матеріалах міжнародної науково-практичної конференції «Сучасні проблеми світової медицини та її роль у забезпеченні здоров'я світового співтовариства», Одеса (стор. 26-29). Одеса : Громадська організація «Південна фундація медицини».

33. Глушак, А. А., & Гунас, І. В. (2015). Моделі індивідуальних лінійних розмірів необхідних для побудови коректної форми зубної дуги у хлопчиків та дівчаток із різною формою голови. *Український науково-медичний молодіжний журнал*, 1, 34-38.

34. Глушак, А. А., Гунас, І. В., Лисничук, Н. Е., Самойленко, А. В. (2015).

Вертикальные размеры зубов у подростков Подолья с ортогнатическим прикусом в зависимости от формы головы и типа лица. *Биология ва тиб-биёт муаммолари*, 2(83), 28-37.

35. Година, Е. З., Пурунджан, А. Л., Хомякова, И. А. (2000). *Эпохальная трансформация размеров тела и головы у московских детей и подростков как критерий микроэволюционных процессов*. Народы России: от прошлого к настоящему, Ч. 2: Антропология, Москва (стр. 305-330). М.: Старый сад.

36. Головацький, А. С., Черкасов, В. Г., Сапін, М. Р. (ред.: А. С. Головацький, В. Г. Черкасов) (2010). *Анатомія людини : підруч. для студ. вищ. мед. навч. закл. IV рівня акредитації : у 3 т. Т. 1*. Вінниця : Нова книга.

37. Головацький, А. С., Черкасов, В. Г., Сапін, М. Р., Парахін, А. І. (2011). *Анатомія людини : підруч. для студ. вищ. мед. навч. закл. IV рівня акредитації: у 3 т. Т. 2 (2-ге вид., доопр.)*. Вінниця : Нова книга.

38. Головки, Н. В. (2008). *Профілактика зубощелепних аномалій.: Навчальний посібник для ВМНЗ IV р.а*. Вінниця : Нова книга.

39. Гутор, Н. С. (2014). Застосування хірургічних методів лікування у дітей за ортодонтичними показаннями. *Новини стоматології*, 3, 8-12.

40. Данилевский, Н. Ф., Сидельникова, Л. Ф., Ткаченко, А. Г. (2003). Распространенность основных стоматологических заболеваний и состояние гигиены полости рта у населения различных регионов Украины. *Совр. Стоматология*, 3, 14-16.

41. Даниленко, Г. М., Покроєва, Л. Д., Кратенко, І. С., Волкова, І. В. (2006). *Гігієнічна скринінг-оцінка впровадження здоров'яформуючих інновацій у загальноосвітніх навчальних закладах : [навчально-методичний посібник для медико-педагогічного персоналу шкіл]*. Харків, [б. в.].

42. Даньшина (Гордеева), Е. Г., & Коровин, Е. Н. (2013). Разработка продукционной модели дифференциации патологий зубочелюстной системы на основе расчета ортодонтических индексов соотношения зубных дуг. *Системный анализ и управление в биомедицинских системах*, 12, 3, 704-711.

43. Дмитренко, М. І., & Куроедова, В. Д. (2010). Форми скупченості фронтальних зубів залежно від мезіодистальних розмірів постійних зубів. *Український стоматологічний альманах*, 4, 70-72.
44. Дмитриенко, Д. С., Иванова, О. П., Ярадайкина, М. Н., Сойхер, М. Г. (2013). Алгоритм обследования пациентов для определения соответствия размеров зубов параметрам зубочелюстных дуг. *Саратовский научно-медицинский журнал*, 9, 3, 380-383.
45. Дмитрієв, М. О. (2016). Визначення нормативних цефалометричних параметрів за методом Стайнера для українських юнаків та дівчат. *Світ медицини та біології*, 3, 28-32.
46. Дмитрієв, М. О. (2016). Кореляції кутових показників верхньої щелепи з характеристиками положення зубів та профілю м'яких тканин обличчя у мешканців України юнацького віку. *Вісник морфології*, 22(2), 380-384.
47. Дмитрієв, М. О. (2016). Кореляції кутових показників нижньої щелепи з характеристиками положення зубів та профілю м'яких тканин обличчя у мешканців України юнацького віку. *Вісник Вінницького національного медичного університету*, 20(2), 357-363.
48. Дмитрієв, М. О. (2016). Кореляції основних краніальних показників з характеристиками верхньої та нижньої щелеп у мешканців України юнацького віку. *Світ медицини та біології*, 4, 24-29.
49. Дмитрієв, М. О., Гунас, І. В., Філімонов, Ю. В., Якубовський, М. М., Голуб, Л. М. (2005). Кореляції кутових параметрів лиця та кефалометричних лінійних розмірів у міських підлітків подільського регіону України з ортогнатичним прикусом. *Вісник морфології*, 11(1), 100-103.
50. Доменюк, Д. А., Дмитриенко, С. В, Ведешина, Э. Г., Кочконян, А. С., Кочконян, Т. С. (2015). Геометрически-графическая репродукция зубочелюстных дуг при физиологической окклюзии постоянных зубов. *Институт стоматологии*, 1, 62-65.
51. Задорожна, І. В. (2010). Структурно-функціональний стан зубів і пародонта в дітей та підлітків, що проживають у різних регіонах України.

Проблеми остеології, 13(1), 47-49.

52. Задорожна, І. В., & Поворознюк, В. В. (2015). Зв'язок між інтенсивністю карієсу і показниками мінеральної щільності кісткової тканини в дітей, які проживають в умовах недостатності фтору. *Соврем. стоматология*, 2, 11-13.

53. Задорожна, І. В., Поворознюк, В. В., Балацька, Н. І. (2014). Особливості показників структурно-функціонального стану кісткової тканини у дітей з різною інтенсивністю карієсу залежно від регіону проживання. *Імплантологія. Пародонтологія. Остеологія*, 2, 19-23.

54. Задорожна, І. В., Поворознюк, В. В., Балацька, Н. І. (2015). Показники карієсу та мінеральної щільності кісткової тканини в дітей гірської зони Прикарпаття з дефіцитом та недостатністю вітаміну D. *Соврем. стоматология*, 5, 39-43.

55. Зубов, А. А. (1973). *Этническая одонтология*. М.: Медицина. (225)

56. Зубов, А. А. (2003). *Одонтология. Методика антропологических исследований*. М.: Наука.

57. Кабак, С., & Артишевский, А. (2017). *Морфология человека*. Med-books.by.

58. Каган, И. И. (2011). Клиническая анатомия в современной морфологии и медицине. *Медицинское образование и профессиональное развитие*, 2, 27-35.

59. Калмин, О. В., Мясникова, Е. Л., Никишин, Д. В. (2013). Взаимосвязь дентотипа с цефалотипом и формой лица у детей г. Пензы. *Известия высших учебных заведений. Поволжский регион. Медицинские науки*, 1(25), 20-30.

60. Каменецький, М. С. (2013). *Радіологія : [підруч. для студ. стоматолог. ф-тів вищ. мед. навч. закл.]*. Донецьк : Ноулідж, Донец. від-ня.

61. Капустин, К., & Орлов, Д. (2017). *Стоматология*. Publisher, Litres.

62. Каськова, Л. Ф., Моргун, Н. А., Новикова, С. Ч., Янко, Н. В., Амосова, Л. І., Маковка, І. Л. (2014). Стан тканин пародонта в дітей із флюорозом

зубів з регіонів із різним вмістом фтору в питній воді. *Профілакт. та дит. Стоматологія*, 2, 5-8.

63. Клітинська, О. В. (2014). Оцінка зовнішнього вигляду обличчя та будови зубо-щелепного апарату у дітей Закарпаття. *Вісник проблем біології і медицини*, 4(1), 359-362.

64. Кобцева, О. А. (2012). Діагностика типу щелепного росту при антропометричних дослідженнях. *Соврем. стоматология*, 4, 136-137.

65. Ковальський, О. В., Мечев, Д. С., Данилевич, В. П. (2013). Радіологія. *Променева терапія. Променева діагностика : підруч. для студ. вищ. мед. навч. закл. IV рівня акредитації*. Вінниця : Нова Книга.

66. Ковальський, О. В., Мечев, Д. С., Данилевич, В. П. (2017). *Радіологія. Променева терапія. Променева діагностика : підруч. для студентів вищ. мед. навч. закл. IV рівня акредитації* (Вид. 2-ге). Вінниця : Нова Книга.

67. Ковалюк, А. В., & Ожоган, З. Р. (2016). Особливості визначення показників функції жування у пацієнтів з дефектами зубних рядів та зубощелепними деформаціями. *Галиц. лікар. вісн.*, 23(1), 35-37.

68. Козак, Р. В. (2014). Однотометричні показники міжальвеолярної відстані на контрольних моделях до та після лікування у пацієнтів з патологічною стертістю зубів. *Вісник проблем біології і медицини*, 2(1), 174-176.

69. Коцан, І. Я., Гринчук, В. О., Велемець, В. Х., Шварц, Л. О., Пикалюк, В. С., Шевчук, Т. Я. (2010). *Анатомія людини : підручник для студентів ВНЗ*. Луцьк : ВНУ ім. Лесі Українки.

70. Кривошиєва, Э., & Йорданов, Й. (1983). Зависимость между некоторыми размерами зубов, массой тела и длиной тела у человека. *Акта морфол.*, 4, 89-92.

71. Кузняк, Н. Б., Бамбуляк, А. В., Дмитренко, Р. Р. (2015). Питання щодо індивідуальної мінливості коронок окремих зубів. *Клінічна стоматологія*, 3-4, 88.

72. Кузняк, Н. Б., Навольський, Н. М., Калинчук, А. І., Годованець, О. І.

(2013). Співвідношення ортодонтичного статусу до форм обличчя у дітей. *Буковинський медичний вісник*, 17, 3(2), 38-40.

73. Лабунець, О. В. (2014). Комплексна характеристика стану стоматологічної ортопедичної захворюваності та допомоги у осіб молодого віку з малими включеними дефектами зубних рядів. *Інновації в стоматології*, 4, 131-137.

74. Левченко, Л. Т. (1998). *Морфологическая типология зубочелюстного аппарата*. Новосибирск, [б. и.].

75. Леоненко, Г. П. (2015). Розповсюдженість патології прикусу та патології розташування окремих зубів у поєднанні з аномалією форми та розміру окремих зубів. *Збірник наукових праць співробітників НМАПО ім. П. Л. Шупика*, 24(2), 64-70.

76. Лихота, К. М. (2015). Оцінка оклюзійних співвідношень зубо-щелепної системи у пацієнтів із сагітальними аномаліями прикусу методом комп'ютерної оклюзіографії. *Зб. наук. пр. співробітників НМАПО ім. П. Л. Шупика*, 24(3), 43-50.

77. Ломиашвили, Л. М., & Погодаев, Д. В. (2005). Вариабельность форм моляров зубочелюстного аппарата человека. *Изд-во «ДентАрт»*, 1, 18-27.

78. Луцик, О. Д., Іванова, А. Й., Кабак, К. С., Чайковський, Ю. Б. (ред.: О. Д. Луцик) (2013). *Гістологія людини : підруч. для студ. вищ. мед. навч. закл. III-IV рівнів акредитації (4-е вид., доопр.)*. К. : Книга-Плюс.

79. Луцкая, И. (2017). *Терапевтическая стоматология*. Litres.

80. Маланчук, В. О., Циленко, О. Л., Черногорский, Д. М., Кмецинская, З. В. (2014). *Нові технології в хірургічній стоматології і щелепно-лицевій хірургії*. Матеріали наук.-практ. конф., присвяч. 100-річчю з дня народж. проф. Г. І. Семенченка, Одеса (179 стор.). Одеса : Астропринт.

81. Марченко, А. В. (2015). Комп'ютерно-томографічні мезіодистальні розміри зубів у юнаків з фізіологічним прикусом в залежності від форми голови. *Світ медицини та біології*, 4(54), 50-53.

82. Марченко, А. В. (2016). Довжина зубів, за даними комп'ютерної то-

мографії, у юнаків і дівчат різних краніотипів із ортогнатичним прикусом. *Світ медицини та біології*, 4(58), 39-42.

83. Марченко, А. В. (2016). Комп'ютерно-томографічні присінково-язикові розміри коронок зубів у юнаків і дівчат різних краніотипів з фізіологічним прикусом. *Вісник морфології*, 22(2), 338-341.

84. Марченко, А. В. (2016). Статеві розбіжності комп'ютерно- томографічних мезіодистальних розмірів зубів у залежності від форми голови. *Вісник морфології*, 22(1), 132-134.

85. Моисеева, В. (2017). *Терапевтическая стоматология. Конспект лекций*. Litres.

86. Мороз, В. М., Гунас, І. В., Дмитрієв, М. О., Прокопенко, О. С. (2016). Кореляції лінійних показників нижньої щелепи з характеристиками положення зубів та профілю м'яких тканин лица у мешканців України юнацького віку. *Biomedical and biosocial anthropology*, 27, 81-88.

87. Музика, Ф. В., Гриньків, М. Я., Куцериб, Т. М. (2014). *Анатомія людини : навч. посіб.*, Львів : ЛДУФК.

88. Музурова, Л. В., Резугин, А. М., Коннов, В. В. (2007). Возрастная и индивидуальная изменчивость верхней и нижней челюстей у лиц с ортогнатическим прикусом. *Саратовский научно-медицинский журнал*, 3(17), 34-36.

89. Назарук, Р. М. (2013). Особливості мікрокристалізації змішаної слини в дітей, які проживають у різних регіонах Прикарпаття. *Галиц. лікар. вісн.*, 20(4), 43-45.

90. Назарук, Р. М. (2013). Порівняльний аналіз стану стоматологічної захворюваності в дітей, які проживають у різних регіонах Прикарпаття. *Галиц. лікар. вісн.*, 20(3), 65-67.

91. Назарян, Р. С., Фоменко, Ю. В., Щерблыкина, Н. А., Колесова, Т. А., Голик, Н. В., Сухоставец, Е. В. (2015). Применение компьютерной томографии в терапевтической стоматологии. *Соврем. стоматология*, 4, 24-26.

92. Никитюк, Д. Б., Николенко, В. Н., Чава, С. В. (под ред. М. Р. Сапина)

(2012). *Анатомия человека Т. 1*. М. : ГЭОТАР-Медиа.

93. Никитюк, Д. Б., Николенко, В. Н., Чава, С. В. (под ред. М. Р. Сапина) (2012). *Анатомия человека Т. 2*. М. : ГЭОТАР-Медиа.

94. Ноар, Д. (науч. ред. проф. М. С. Драгомирецкая) (2015). *Практическая ортодонтия. Руководство по коррекции окклюзии : [практ. пособие : пер. с англ.]*. Львов : ГалДент.

95. Образцов, Ю., & Ларионов, С. (2017). *Пропедевтическая ортодонтия*. Санкт-Петербург : СпецЛит.

96. Октисюк, Ю. В., & Рожко, М. М. (2013). Порівняльний аналіз захворюваності на карієс зубів дітей різних клімато-географічних зон Івано-Франківської області у віковому аспекті. *Архів клініч. медицини*, 2, 51-54.

97. Орловський, В. О. (2017). *Відмінності розподілу типів обличчя серед практично здорових чоловіків із різних регіонів України*. Тези представлені в матеріалах науково-практичної конференції з міжнародною участю присвяченої 60-ти річчю ДВНЗ «Тернопільський державний медичний університет імені І. Я. Горбачевського МОЗ України», Тернопіль (стор. 132-134). Тернопіль: ДВНЗ «Тернопільський державний медичний університет імені І. Я. Горбачевського МОЗ України».

98. Орловський, В. О. (2017). *Краніотипологічна мінливість лінійних розмірів малих кутніх зубів у практично здорових чоловіків України*. Тези представлені в матеріалах науково-практичної конференції «Прикладні аспекти морфології» присвячена пам'яті професорів-морфологів Терентьєва Г. В., Роменського О. Ю., Когана Б. Й., Шапаренка П. П., Жученка С. П., Вінниця (стор. 122-124). Вінниця: друкарня «Тези».

99. Орловський, В. О. (2017). Особливості комп'ютерно-томографічних розмірів малих кутніх зубів та їх коренів у практично здорових чоловіків України з різною формою голови. *Biomedical and Biosocial Anthropology*, 28, 92-94.

100. Орловський, В. О. (2017). Особливості лінійних комп'ютерно-томографічних розмірів малих кутніх зубів та їх коренів у практично здоро-

вих чоловіків центрального регіону України з різними типами обличчя. *Вісник морфології*, 23(2), 311-314.

101. Орловський, В. О. (2017). Регіональні відмінності лінійних комп'ютерно-томографічних розмірів малих кутніх зубів та їх коренів у практично здорових чоловіків України. *Вісник морфології*, 23(1), 102-107.

102. Орловський, В. О. (2018). *Кількісний аналіз зв'язків комп'ютерно-томографічних розмірів малих кутніх зубів із кефалометричними показниками практично здорових чоловіків центрального регіону України*. Тези представлені в матеріалах міжнародної науково-практичної конференції «Перспективні напрями розвитку сучасних медичних та фармацевтичних наук», Дніпро (стор. 22-24). Дніпро : Організації наукових медичних досліджень «Salutem».

103. Орловський, В. О. (2018). *Множинні зв'язки комп'ютерно-томографічних розмірів малих кутніх зубів із кефалометричними показниками практично здорових чоловіків центрального регіону України*. Тези представлені в матеріалах міжнародної науково-практичної конференції «Світова медицина: сучасні тенденції та фактори розвитку», Львів (стор. 114-116). Львів : ГО «Львівська медична спільнота».

104. Орловський, В. О., Шінкарук-Диковицька, М. М., Гунас І. В. (2018). Моделювання за допомогою регресійного аналізу індивідуальних лінійних розмірів малих кутніх зубів в залежності від кефалометричних показників практично здорових чоловіків із різних регіонів України. *Вісник наукових досліджень*, 1, 90-95.

105. Павленко, К. И. (2015). Клинико-диагностические подходы при образовании трещин на поверхности эмали зуба. *Соврем. Стоматология*, 4, 20-23.

106. Пантус, А. В. (2016). Особливості показників щільності кісткової тканини в пацієнтів із вродженими та набутими черепно-щелепно-лицевими аномаліями. *Галиц. лікар. вісн.*, 23(1), 72-74.

107. Петрунів, В. Б. (2012). Поширеність та інтенсивність карієсу зубів у

дітей, які проживають на екологічно забруднених територіях. *Галиц. лікар. вісн.*, 19(3), 92-95.

108. Пилипів, Н. В. (2014). Причинно-наслідковий зв'язок між розмірами зубних рядів щелеп та ретенцією зубів. *Новини стоматології*, 3, 82-84.

109. Поворознюк, В. В., Задорожна, І. В., Павлюк, Т. Д. (2011). Структурно-функціональний стан зубів і пародонта у дітей, що проживають у різних регіонах України (клініко-епідеміологічне дослідження). *Вісник стоматології*, 4, 105-106.

110. Проффит, У. Р. (пер. с англ.; под ред. Л.С. Персина) (2006). *Современная ортодонтия*. М.: МЕДпресс-информ.

111. Пурунджан, А. Л., & Хомякова, И. А. (2006). *Процессы эпохальной трансформации формы головы у детей и подростков России и Польши*. Некоторые актуальные проблемы современной антропологии, Санкт-Петербург (стр. 132-137). СПб.: МАЭ РАН.

112. Рибалов, О. В., & Скікевич, М. Г. (2006). *Основи стоматології: Підручник*. Вінниця: Нова Книга.

113. Рожко, М. М., Попович, З. Б., Куроєдова, В. Д., Михайленко, Т. М., Палійчук, І. В. (за ред. проф. М. М. Рожка) (2013). *Стоматологія : підруч. для лікарів-інтернів, стоматолів ф-тів післядиплом. освіти вищ. мед. навч. закл. III-IV рівнів акредитації : у 2 кн. Кн. 1*. К. : Медицина.

114. Рожко-Гунчак, О. М. (2014). Стан стоматологічного здоров'я дітей, які проживають в регіоні Карпат. *Галиц. лікар. вісн.*, 21(3), 62-65.

115. Романюк, А. М., Кузенко, Є. В., Кузенко, О. І. (2014). *Основні стоматологічні захворювання : навч. посіб. : у 2 ч. Ч. 1 : Карієс, пульпіт, періодонтит, періостит, остеомієліт*. Суми : Сум. держ. ун-т.

116. Савичук, О. В., Немирович, Ю. П., Голубєва, І. М. (2012). Динаміка стану твердих тканин зубів у дитячого населення екологічно несприятливих регіонів. *Профілакт. та дит. Стоматологія*, 1, 33-35.

117. Самусев, Р. П., Краюшкин, А. И., Дмитриенко, С. В. (ред. М. Р. Сапин) (2002). *Основы клинической морфологии зубов: учебное пособие*. М. :

ООО «Издательский дом «ОНИКС 21 век»: ООО «Мир и Образование».

118. Сегеда, С. П. (2002). *Антропологічний склад українського народу: етногенети-чний аспект* (Докторська дисертація). http://chtyvo.org.ua/authors/Seheda_Serhii/Antropolohichnyi_sklad_ukrainskoho_narodu_etnohenetychnyi_aspekt/

119. Семенов, Г. М., & Лебедев, В. А. (2012). *Топографическая анатомия и оперативная хирургия для стоматологов: [теория и практика]. Учебное пособие*. СПб : Питер.

120. Сидоренко, Л. П., & Ожоган, З. Р. (2013). Особливості методики та аналізу біометричних досліджень малих дефектів зубних рядів. *Галиц. лікар. вісн.*, 20(4), 54-56.

121. Сидоренко, Л. П., & Ожоган, З. Р. (2014). Аналіз біометричних досліджень малих дефектів зубних рядів із вторинними зубощелепними деформаціями. *Галиц. лікар. вісн.*, 21(2), 88-89.

122. Скрыбина, Т. А. (2013). *Введение в специальность - стоматология (филологический аспект: язык и речь) : учеб. пособие для иностр. студентов I-IV курсов мед. ун-та стоматол. фак. III-IV уровней аккредитации*. Луганск : ЛГМУ.

123. Смаглюк, В. І. (2012). Антропометричні параметри розмірів зубів як стратегічний фактор у вирішенні питань реабілітації пацієнтів із адентією бокових різців верхньої щелепи. *Український стоматологічний альманах*, 5, 151.

124. Смердина, Л. Н., & Смердина, Ю. Г. (1997). Морфология зубочелюстной системы в больших и малых популяциях. *Бюл. Вост.-Сиб. науч. центра СО РАМН*, 1, 61-64.

125. Смердина, Л. Н., & Смердина, Ю. Г. (2006). *Биологическая норма ортогнатического прикуса*. Медицинская литература от издательства "Медицинская книга".

126. Смердина, Ю. Г., & Смердина, Л. Н. (2007). Этнические особенности одонтологических признаков. *Научный журнал «Успехи современного*

естествознания». Изд-во «Российская Академия Естествознания», 8, 63-64.

127. Смоляр, Н. І., Безвушко, Е. В., Чухрай, Н. Л., Мельничук, Н. І. (2012). Ураженість карієсом постійних зубів у дітей Закарпаття. *Профілакт. та дит. Стоматологія*, 2, 43-45.

128. Струк, В. І. (2015). Особливості змін структури та мікроелементного складу емалі зубів людини при їх патологічному стиранні у віковому аспекті. *Буков. мед. вісн.*, 19(1), 170-173.

129. Тверской, А. В., & Петричко, С. А. (2010). Вариабельность отдельных анатомических образований лицевого отдела черепа у людей с различными формами черепа. *Морфология*, 137(4), 187.

130. Ткаченко, І. М. (2014). Визначення фізіологічних розмірів коронкової частини зубів як одного з головних параметрів при встановленні діагнозу підвищена стертість твердих тканин зубів. *Вісник проблем біології і медицини*, 2(2), 169-173.

131. Ткаченко, П. І., Старченко, І. І., Білоконь, С. О., Гуржій, О. В. (2014). *Клініко-морфологічні аспекти аномалій розвитку зубів : монографія*. Полтава : АСМІ.

132. Трезубов, В. Н. (2015). *Клиническая стоматология: учебник: Учебное пособие*. Scientific magazine "Kontsept".

133. Труфанова, В. П., Шешукова, О. В., Макаренко, О. А. (2013). Профілактика карієсу в дітей, що проживають в зоні ендемічного флюорозу, з використанням лікувально-профілактичного комплексу. *Вісн. стоматології*, 4, 100-103.

134. Федонюк, Я. І., Ющак, М. В., Герасимюк, І. Є., Боймиструк, І. І., Федонюк, Л. Я. (2011). *Анатомія людини для стоматологів : навч.-метод. посіб. до практ. Занять*. Тернопіль : Навч. кн. - Богдан.

135. Фищев, С. Б., Севастьянов, А. В., Дмитриенко, Д. С., Бердин, В. В., Лепилин, А. В. (2012). Основные линейные параметры зубочелюстных дуг при нормодонтизме постоянных зубов. *Стоматология детского возраста*

и профилактика, XI, 3(42), 38-42.

136. Хоменко, Л. О., Біденко, Н. В., Татченко, А. О. (2014). Форма та розміри площ фасеток стирання на аппроксимальних поверхнях коронок тимчасових молярів. *Новини стоматології*, 4, 72-77.

137. Черкасов, В. Г., & Кравчук, С. Ю. (2011). *Анатомія людини : навч. посіб.* Вінниця : Нова Книга.

138. Черкасов, В. Г., Хмара, Т. В., Макар, Б. Г., Проняєв, Д. В. (2012). *Анатомія людини : [підручник]*. Чернівці : Медуніверситет.

139. Шаповалова, Г. І., Наконечна, О. М., Мельник, Т. О. (2015). Рентгенодіагностика та рентгенологічний контроль якості лікування ускладненого карієсу в тимчасових молярах на різних етапах розвитку. *Лучевая диагностика, лучевая терапія*, 1/2, 24-34.

140. Шінкарук-Диковицька, М. М. (2012). Медико-соціальні фактори умов життя соматично здорових чоловіків із різних природних та адміністративних регіонів України. *Biomedical and Biosocial Anthropology*, 19, 248-254.

141. Шінкарук-Диковицька, М. М. (2012). Показники використання засобів догляду порожнини рота соматично здорових чоловіків із різних регіонів України. *Український медичний альманах*, 15(5), 164-169.

142. Шінкарук-Диковицька, М. М. (2012). Показники суб'єктивної оцінки стану тканин пародонта в соматично здорових чоловіків із різних регіонів України. *Український медичний альманах*, 15(6), 184-187.

143. Шінкарук-Диковицька, М. М. (2014). Показники відсутності зубів у соматично здорових чоловіків із різних етно-територіальних регіонів України. *Вісник наукових досліджень*, 4, 62-66.

144. Шінкарук-Диковицька, М. М. (2015). Оцінка стану молярів після терапевтичного лікування у соматично здорових чоловіків із різних регіонів України за даними стоматологічного обстеження та комп'ютерної томографії. *Клінічна стоматологія*, 1, 38-44.

145. Шінкарук-Диковицька, М. М. (2015). Оцінка стану різців та іклів після терапевтичного лікування у соматично здорових чоловіків із різних регіонів

України. *Вісник стоматології*, 1, 46-51.

146. Шінкарук-Диковицька, М. М. (2015). Частота хронічного періодонтиту, кістогранулем або кист різців та іклів у соматично здорових чоловіків із різних регіонів України. *Вісник Вінницького національного медичного університету*, 19(1), 47-50.

147. Шінкарук-Диковицька, М. М. (2016). *Показники захворюваності зубів та їх залежність від фенотипічних особливостей соматично здорових чоловіків із різних регіонів України* (Докторська дисертація). <https://nmapo.edu.ua/zagruzka/DrAr/DrShinka.pdf>.

148. Шінкарук-Диковицька, М. М., Коцюра, О. О., Орловський, В. О. (2016). Відмінності кефалометричних показників у практично здорових чоловіків України з різними типами обличчя. *Світ медицини та біології*, 4(58), 82-87.

149. Шінкарук-Диковицька, М. М., Коцюра, О. О., Орловський, В. О. (2016). Регіональні та краніотипологічні відмінності кефалометричних показників у практично здорових чоловіків України. *Вісник морфології*, 22(2), 314-319.

150. Шінкарук-Диковицька, М. М., Коцюра, О. О., Орловський, В. О. (2012). Сучасні променеві та антропометричні методи дослідження в стоматології. *Вісник Вінницького національного медичного університету*, 16(2), 546-550.

151. Шінкарук-Диковицька, М. М., Коцюра, О. О., Орловський, В. О. (2016). *Лінійні розміри молярів та премолярів та їх зв'язок з показниками кефалометрії*. Тези представлені в матеріалах науково-практичної конференції «Інноваційні технології в стоматології», Тернопіль (стор. 54-56). Тернопіль: ДВНЗ «Тернопільський державний медичний університет імені І. Я. Горбачевського МОЗ України».

152. Шінкарук-Диковицька, М. М., Орловський, В. О. (2017). Відмінності лінійних розмірів малих кутніх зубів та їх коренів у практично здорових чоловіків України з різними типами обличчя. *Світ медицини та біології*, 2(60),

124-126.

153. Юсупов, Р. Д., Алямовский, В. В., Николаев, В. Г. (2013). Этнические особенности кефалометрических показателей и проявлений одонтологических признаков населения Восточной Сибири. *В мире научных открытий (Красноярск)*, 7, 139-156.

154. Юшманова, Т. Н. (2012). *Клиническое материаловедение в ортопедической стоматологии: [учебное пособие для системы послевузовского профессионального образования врачей-стоматологов]*. Архангельск : [Изд-во Северного гос. мед. ун-та].

155. Якимець, А. В. (2015). Результати клінічного обстеження зубощелепної системи у осіб із вродженою адентією латеральних різців верхньої щелепи. *Зб. наук. пр. співробітників НМАПО ім. П. Л. Шупика*, 24(4), 74-79.

156. Янушевич, О. О., Акуленко, Л. А., Богомазов, Е. А. (редакт. О. О. Янушевич) (2008). *Медицинская и клиническая генетика для стоматологов*. М.: ГЭОТАР-Медиа.

157. Acton, A. (2012). *Issues in Dentistry, Oral Health, Odontology, and Craniofacial Research*. ScholarlyEditions.

158. Аксам, М. О., Aydemir, H., Özer, L., Özel, B., Toygar-Memikoğlu, T. U. (2014). Three-dimensional tooth crown size symmetry in cleft lip and cleft palate. *Angle Orthod.*, 84(4), 623-627.

159. Alam, M. K., Shahid, F., Purmal, K., Sikder, M. A., Saifuddin, M. (2015). Human Mesiodistal Tooth Width Measurements and Comparison with Dental Cast in a Bangladeshi Population. *J. Contemp. Dent. Pract.*, 16(4), 299-303.

160. Al-Barakati, S. F. (2011). Soft tissue facial profile of adult Saudis. Lateral cephalometric analysis. *Saudi Med. J.*, 32(8), 836-842.

161. Al-Kaisy, N., & Garib, B.T. (2016). Selecting maxillary anterior tooth width by measuring certain facial dimensions in the Kurdish population. *J. Prosthet. Dent.*, 115(3), 329-334.

162. AlQahtani, N. A., Haralur, S. B., AlMaqbol, M., AlMufarrij, A. J., Al De-

- ra, A. A., Al-Qarni, M. (2016). Distribution of smile line, gingival angle and tooth shape among the Saudi Arabian subpopulation and their association with gingival biotype. *J. Int. Soc. Prev. Community Dent.*, 6(1), 53-58.
163. Alqerban, A., Storms, A. S., Voet, M., Fieuws, S., Willems, G. (2016). Early prediction of maxillary canine impaction. *Dentomaxillofac. Radiol.*, 45(3), pii: 20150232.
164. Amorim, J. R., Macedo, D. V., Normando, D. (2014). Evaluation of a photographic method to measure dental angulation. *Dental Press J. Orthod.*, 19(2), 84-89.
165. Attokaran, G., & Shenoy, K. (2016). Correlation between Innercanthal Distance and Mesiodistal Width of Maxillary Anterior Teeth in a Thrissur, Kerala, India, Population. *J. Contemp. Dent. Pract.*, 17(5), 382-387.
166. Baherimoghaddam, T., Oshagh, M., Naseri, N., Nasrbadi, N. I. (2014). Changes in cephalometric variables after orthognathic surgery and their relationship to patients' quality of life and satisfaction. *J. Oral Maxillofac. Res.*, 5(4), 29, 6.
167. Balla, S. B., Galic, I. P K., Vanin, S., De Luca, S., Cameriere, R. (2017). Validation of third molar maturity index (I3M) for discrimination of juvenile/adult status in South Indian population. *J. Forensic Leg. Med.*, 49, 2-7.
168. Ben-Bassat, Y., Babadzhanov, D., Brin, I., Hazan-Molina, H., Aizenbud, D. (2014). Maturation of teeth adjacent to dental agenesis site. *Acta Odontol. Scand.*, 72(7), 516-522.
169. Bennett. J. (2012). *e-Study Guide for: Orthodontic Management of Uncrowded Class II Division 1 Malocclusion in Children*. Gardners Books.
170. Brůzek, J., Hajnis, K., Tláskal, P., Blazek, V., Krásnicánová, H. (1988). Temporal trends and debrachycephalization in Czech children in the 1st year of life. *Cesk Pediatr*, 43(4), 199-203.
171. Buretić-Tomljanović, A., Ostojić, S., Kapović, M. (2006). Secular change of craniofacial measures in Croatian younger adults. *American Journal of Human Biology*, 18(5), 668-675.

172. Calçada, D., Correia, A., Araújo, F. (2014). Anthropometric analysis of anterior maxillary teeth with digital photography - a study in a Portuguese sample. *Int. J. Esthet. Dent.*, 9(3), 370-380.
173. Cao, J., Hu, W. J., Zhang, H., Liu, D. G., Le, D. (2013). Preliminary study on measuring interdental papilla height and thickness of the maxillary anterior teeth based on cone-beam computed tomography. *Zhonghua Kou Qiang Yi Xue Za Zhi.*, 48(10), 581-585.
174. Carneiro, J. L., Caldas, I. M., Afonso, A., Cardoso, H. F. (2017). Examining the socioeconomic effects on third molar maturation in a Portuguese sample of children, adolescents and young adults. *Int. J. Legal. Med.*, 131(1), 235-242.
175. Celikoglu, M., Nur, M., Kilkis, D., Sezgin, O. S., Bayram, M. (2013). Mesiodistal tooth dimensions and anterior and overall Bolton ratios evaluated by cone beam computed tomography. *Aust. Orthod. J.*, 29(2), 153-158.
176. Chaushu, S., Becker, T., Becker, A. (2015). Impacted central incisors: factors affecting prognosis and treatment duration. *Am. J. Orthod. Dentofacial Orthop.*, 147(3), 355-362.
177. Choi, Y. J., Kim, D. J., Nam, J., Chung, C. J., Kim, K. H. (2016). Cephalometric configuration of the occlusal plane in patients with anterior open bite. *Am. J. Orthod. Dentofacial Orthop.*, 149(3), 391-400.
178. Condon, M., Bready, M., Quinn, F., O'Connell, B. C., Houston, F. J., O'Sullivan, M. (2011). Maxillary anterior tooth dimensions and proportions in an Irish young adult population. *J. Oral Rehabil.*, 38(7), 501-508.
179. Correia, G. D., Habib, F. A., Vogel, C. J. (2014). Tooth-size discrepancy: a comparison between manual and digital methods. *Dental Press J. Orthod.*, 19(4), 107-113.
180. Cvetkovic, M., Najman, S., Nikolic, M. (2014). Secular changes in cephalic index-a study of Serbian school children. *Genetika*, 46(2), 561-568.
181. da Silveira, P. F., Vizzotto, M. B., Montagner, F., da Silveira, H. L., da Silveira, H. E. (2014). Development of a new in vitro methodology to simulate

internal root resorption. *J. Endod.*, 40(2), 211-216.

182. De Luca, S., Pacifici, A., Pacifici, L., Polimeni, A., Fischetto, S. G., Velandia Palacio, L. A., ... Cameriere, R. (2016). Third molar development by measurements of open apices in an Italian sample of living subjects. *J. Forensic Leg. Med.*, 38, 36-42.

183. Demirturk Kocasarac, H., Altan, A. B., Yerlikaya, C., Sinanoglu, A., Noujeim, M. (2017). Correlation between speno-occipital synchondrosis, dental age, chronological age and cervical vertebrae maturation in Turkish population: is there a link? *Acta Odontol. Scand.*, 75(2), 79-86.

184. Deogade, S. C., Mantri, S. S., Sumathi, K., Rajoriya, S. (2015). The relationship between innercanthal dimension and interalar width to the intercanine width of maxillary anterior teeth in central Indian population. *J. Indian Prosthodont.*, 15(2), 91-97.

185. DeOliveira Farias, F., Ennes, J. P., Zorzatto, J. R. (2010). Aesthetic Value of the Relationship between the Shapes of the Face and Permanent Upper Central Incisor. *Int. J. Dent.* pii: 561957.

186. Duangto, P., Iamaroon, A., Prasitwattanaseree, S., Mahakkanukrauh, P., Janhom, A. (2017). New models for age estimation and assessment of their accuracy using developing mandibular third molar teeth in a Thai population. *Int. J. Legal Med.*, 131(2), 559-568.

187. DuPlessis, E. A., Araujo, E. A., Behrents, R. G., Kim, K. B. (2016). Relationship between body mass and dental and skeletal development in children and adolescents. *Am. J. Orthod. Dentofacial. Orthop.*, 150(2), 268-273.

188. Dwivedi, S., Dwivedi, C. D., Mittal, N. (2014). Correlation of root dentin thickness and length of roots in mesial roots of mandibular molars. *J. Endod.*, 40(9), 1435-1438.

189. Eigbobo, J. O., Sote, E. O., Oredugba, F. A. (2011). Variations of crown dimensions of permanent dentitions in a selected population of Nigerian children. *Nig. Q. J. Hosp. Med.*, 21(2), 163-168.

190. Eliades, T. (2012). *Research Methods in Orthodontics: A Guide to Under-*

standing Orthodontic Research. Springer-Verlag Berlin Heidelberg.

191. Emes, Y., Oncu, B., Aybar, B., Al-Badri, N., İşsever, H., Atalay, B., Yalçın, S. (2015). Measurement of the lingual position of the lower third molar roots using cone-beam computed tomography. *J. Oral Maxillofac. Surg.*, 73(1), 13-17.
192. Farkas, L. G., Katic, M. J., Forrest, C. R. (2005). International anthropometric study of facial morphology in various ethnic groups/races. *J. Craniofac. Surg.*, 16(4), 615-646.
193. Farooq, J., Ahmed, I., Gul-e-Erum, Iqbal, S. N. (2014). Relationship between tooth dimensions and malocclusion. *J. Pak. Med. Assoc.*, 64(6), 670-674.
194. Felemban, N. H., & Manjunatha, B. S. (2017). Prevalence of the number of cusps and occlusal groove patterns of the mandibular molars in a Saudi Arabian population. *J. Forensic Leg. Med.*, 49, 54-58.
195. Furtado, G. C., Furtado, A., Abu El Haje, O., Butignon, L. E., Pesqueira, A. A., Paranhos, L. R. (2014). Relationship between the morphology of the maxillary central incisor and horizontal and vertical measurements of the face. *Indian. J. Dent. Res.*, 25(2), 178-183.
196. Gayvoronskiy, I. V., Gayvoronskiy, A. I., Gayvoronskaya, M. G., Dubovik, E. I., Kevorkova S. A., Koltunov, A. V., ... Schanikova A. S. (2008). Kranimetricheskie korrelyatsii zubochehyustnoy sistemyi, visochno-nizhnechelyustnogo sustava i litseвого cherepa u vzroslogo cheloveka. *Morfologiya*, 133(2), 29.
197. Gueye, M., Dieng, L., Mbodj, E. B., Seck, A. K., Toure, A., Thioune, N., ... Ngom, P. I. (2014). Relationship between bizygomatic width and the size of maxillary anterior teeth among young Senegalese black people recruited in army. *Odontostomatol. Trop.*, 37(148), 5-12.
198. Gunas, I. V., Shinkaruk-Dykovytska, M. M., Kotsyura, O. O., Orlovskiy, V. O., Dmytrenko, S. V., Shayuk, A. V., Glushak, A. A. (2017). Differences of craniotype distribution and types of face among apparently healthy men from dif-

ferent regions of Ukraine. *Folia Morphol.*, 76(3), 473-477.

199. Gunas, I., Glushak, A., Samoylenko, A. (2015). Dental arch Transversal characteristics in boys and girls with orthognathic bite: head shape and face type dependence. *Current Issues in Pharmacy and Medical Sciences*, 28(1), 44-47.

200. Habib, S. R., Shiddi, I. A., Al-Sufyani, M. D., Althobaiti, F. A. (2015). Relationship and inter observer agreement of tooth and face forms in a Saudi subpopulation. *J. Coll. Physicians Surg. Pak.*, 25(4), 276-280.

201. Harfin, J., Satravaha, S., Faltin, K. (2017). *Clinical Cases in Early Orthodontic Treatment: An Atlas of When, How and Why to Treat*. Springer International Publishing.

202. Holyoak, M. (2013). Smile design: rules, tools and strategies to help plan aesthetic restorative dentistry. *Prim. Dent. J.*, 2(4), 38-43.

203. Hossain M. G., Lestrel, P. E., Ohtsuki, F. (2005). Secular changes in head dimensions of Japanese adult male students over eight decades. *Homo*, 55(3), 239-250.

204. Hourfar, J., Bister, D., Lisson, J. A., Goldbecher, C., Ludwig, B. (2016). Vestibulo-Oral inclination of maxillary and mandibular canines and bicuspids - a CBCT investigation. *Head Face Med.*, 12(1), 22.

205. Incerti Parenti, S., Marini, I., Ippolito, D. R., Alessandri Bonetti, G. (2014). Preeruptive changes in maxillary canine and first premolar inclinations: a retrospective study on panoramic radiographs. *Am. J. Orthod. Dentofacial Orthop.*, 146(4), 460-466.

206. Isa, Z. M., Tawfiq, O. F., Noor, N. M., Shamsudheen, M. I., Rijal, O. M. (2010). Regression methods to investigate the relationship between facial measurements and widths of the maxillary anterior teeth. *J. Prosthet. Dent.*, 103(3), 182-188.

207. Jain, S., Agrawal, M., Jain, S., Jain, S. (2015). Evaluation of the mandibular arch in patients with impacted permanent lower canines. *Aust. Orthod. J.*, 31(1), 37-41.

208. Janson, G., Laranjeira, V., Rizzo, M., Garib, D. (2016). Posterior tooth an-

gulations in patients with anterior open bite and normal occlusion. *Am. J. Orthod. Dentofacial Orthop.*, 150(1), 71-77.

209. Kanavakis, G., Curran, K. M., Wiseman, K. C., Barone, N. P., Finkelman, M. D., Srinivasan, S., ... Trotman, C. A. (2015). Evaluation of crown-root angulation of lateral incisors adjacent to palatally impacted canines. *Prog. Orthod.*, 16, 4.

210. Karad, A. (2014). *Clinical Orthodontics: Current Concepts, Goals and Mechanics*. Elsevier India.

211. Karkhanis, S., Mack, P., Franklin, D. (2015). Dental age estimation standards for a Western Australian population. *Forensic Sci. Int.*, 257, 509.

212. Kayaoglu, G., Peker, I., Gumusok, M., Sarikir, C., Kayadugun, A., Ucok, O. (2015). Root and canal symmetry in the mandibular anterior teeth of patients attending a dental clinic: CBCT study. *Braz. Oral Res.*, 29. pii: S1806-83242015000100283.

213. Kenyhercz, M. W., Klales, A. R., Kenyhercz, W. E. (2014). Molar size and shape in the estimation of biological ancestry: A comparison of relative cusp location using geometric morphometrics and interlandmark distances. *Am. J. Phys. Anthropol.* 153(2), 269-279.

214. Kini, A. Y., & Angadi, G. S. (2013). Biometric ratio in estimating widths of maxillary anterior teeth derived after correlating anthropometric measurements with dental measurements. *Gerodontology*, 30(2), 105-111.

215. Koh, K. S., Han, S. H., Song, W. C., Sohn, H. J., Paik, D. J., Kim, H. J., Choi, B. Y. (2001). Secular Changes of Cephalic Index in Korean Adults. *Korean Journal of Physical Anthropology*, 14(3), 177-185.

216. Kolesnikov, L. L., & Arutyunov, S. D. (2009). *Anatomiya, fiziologiya i biomehanika zubochelestnoy sistemyi*. M.: GEOTAR-Media.

217. Koralakunte, P. R., & Budihal, D. H. (2012). A clinical study to evaluate the correlation between maxillary central incisor tooth form and face form in an Indian population. *J. Oral Sci.*, 54(3), 273-278.

218. Kouchi, M. (2000). Brachycephalization in Japan has ceased. *American*

Journal of Physical Anthropology, 112(3), 339-347.

219. Ku, J. E., Yang, H. S., Yun, K. D. (2012). A morphometric analysis of maxillary central incisor on the basis of facial appearance in Korea. *J. Adv. Prosthodont.*, 4(1), 13-17.

220. Kuijpers, M. A., Chiu, Y. T., Nada, R. M., Carels, C. E., Fudalej, P. S. (2014). Three-dimensional imaging methods for quantitative analysis of facial soft tissues and skeletal morphology in patients with orofacial clefts: a systematic review. *PLoS One*, 9(4), e93442.

221. Kwong, J. C., Palomo, J. M., Landers, M. A., Figueroa, A., Hans, M. G. (2008). Image quality produced by different cone-beam computed tomography settings. *Am. J. Orthod. Dentofacial. Orthop.*, 133, 317-327.

222. Laura, M. (2013). *An Introduction to Orthodontics*. Oxford: OUP.

223. Leoni, G. B., Versiani, M. A., Pécora, J. D., Damião de Sousa-Neto, M. (2014). Micro-computed tomographic analysis of the root canal morphology of mandibular incisors. *J. Endod.*, 40(5), 710-716.

224. Lima, F. J., Montagner, F., Jacinto, R. C., Ambrosano, G. M., Gomes, B. P. (2014). An in vitro assessment of type, position and incidence of isthmus in human permanent molars. *J. Appl. Oral. Sci.*, 22(4), 274-281.

225. Little, B. B., Buschang, P. H., Peña Reyes, M. E., Tan, S. K., Malina, R. M. (2006). Craniofacial dimensions in children in rural Oaxaca, southern Mexico: secular change, 1968–2000. *American Journal of Physical Anthropology*, 131(1), 127-136.

226. Lombardo L., Marcon M., Arveda N., La Falce G., Tonello E., Siciliani G. (2016). Preliminary biometric analysis of mesiodistal tooth dimensions in subjects with normal occlusion. *Am. J. Orthod. Dentofacial Orthop.*, 150(1), 105-115.

227. Ludlow, J. B., & Ivanovic, M. (2008). Comparative dosimetry of dental CBCT devices and 64-slice CT for oral and maxillofacial radiology. *Oral Surg. Oral Med. Oral Pathol. Oral Radiol. Endod.*, 106, 106-114.

228. Lund, H., Grondahl, K., Grondahl, H. (2009). Accuracy and precision of

linear measurements in cone beam computed tomography Accuitomo tomograms obtained with different reconstruction techniques.

Dentomaxillofacial Radiology, 38, 379-386.

229. Lutsckaya, I. K. (2003). Esteticheskaya funktsiya zuba. *Nauchno-prakticheskiy zhurnal. Sovremennaya stomatologiya*, 1, 30-37.

230. Malanchuk, V. O. (2012). *Bases of dentistry : textbook for students of higher med. education establishments with III-VIth level of accreditation*. Vinnytsia : Nova Knyha.

231. Mancini, M., Palopoli, P., Iorio, L., Conte, G., Cianconi, L. (2014). Accuracy of an electronic apex locator in the retreatment of teeth obturated with plastic or cross-linked gutta-percha carrier-based materials: an ex vivo study. *J. Endod.*, 40(12), 2061-2065.

232. Marcuschamer, E., Tsukiyama, T., Griffin, T. J., Arguello, E., Gallucci, G. O., Magne, P. (2011). Anatomical crown width/length ratios of worn and unworn maxillary teeth in Asian subjects. *Int. J. Periodontics Restorative Dent.*, 31(5), 495-503.

233. Martins, J. N., Marques, D., Mata, A., Caramês, J. (2014). Clinical efficacy of electronic apex locators: systematic review. *J. Endod.*, 40(6), 759-777.

234. Mauad, B. A., Silva, R. C., Aragón, M. L., Pontes, L. F., Silva Júnior, N. G., Normando, D. (2015). Changes in lower dental arch dimensions and tooth alignment in young adults without orthodontic treatment. *Dental Press J. Orthod.*, 20(3), 64-68.

235. McGowan, S. (2016). Characteristics of Teeth: A Review of Size, Shape, Composition, and Appearance of Maxillary Anterior Teeth. *Compend. Contin. Educ. Dent.*, 37(3), 164-171.

236. Melsen, B. (2012). *Adult Orthodontics*. Health & Medicine.

237. Metska, M. E., Liem, V. M., Parsa, A., Koolstra, J. H., Wesselink, P. R., Ozok, A. R. (2014). Cone-beam computed tomographic scans in comparison with periapical radiographs for root canal length measurement: an in situ study. *J. Endod.*, 40(8), 1206-1209.

238. Meyer, A. H., Woods, M. G., Manton, D. J. (2014). Maxillary arch width and buccal corridor changes with orthodontic treatment. Part 2: attractiveness of the frontal facial smile in extraction and nonextraction outcomes. *Am. J. Orthod. Dentofacial Orthop.*, 145(3), 296-304.
239. Mirgazizov, M. Z., Smerdina, L. N., Koshkin, G. A., Smerdina, Yu. G. (1999). Kraniologicheskoe issledovanie – vazhnyiy metod izucheniya stomatologicheskoy patologii. *Stomatologiya*, 5, 17-25.
240. Mishra, M. K., Singh, R. K., Suwal, P., Parajuli, P. K., Shrestha, P., Baral, D. (2016). A comparative study to find out the relationship between the inner inter-canthal distance, interpupillary distance, inter-commissural width, inter-alar width, and the width of maxillary anterior teeth in Aryans and Mongoloids. *Clin Cosmet Investig Dent.* 22(8), 29-34.
241. Mohd Yusof, M., Cauwels, R., Deschepper, E., Martens, L. (2015). Application of third molar development and eruption models in estimating dental age in Malay sub-adults. *J. Forensic Leg. Med.*, 34, 40-44.
242. Mucedero, M., Franchi, L., Ricchiuti, M. R., Cozza, P. (2015). Association between mesially displaced maxillary first premolars and early displaced maxillary canines. *Eur. J. Paediatr. Dent.*, 16(1), 45-50.
243. Nadvorniy, M. M., & Lastkov, D. O. (2011). *Hygiene and preventive medicine : (manual for the students of dentistry fac.)*. Odessa : Press-courier.
244. Naghipur, S., Shah, A., Elgazzar, R. F. (2014). Does the presence or position of lower third molars alter the risk of mandibular angle or condylar fractures? *J. Oral Maxillofac. Surg.*, 72(9), 1766-1772.
245. Nanda, R. S. (2000). The contribution of craniofacial growth to clinical orthodontics. *American journal orthodontics and dentofacial orthopedics*, 117(5), 45-56.
246. Natale, V., & Rajagopalan, A. (2014). Worldwide variation in human growth and the World Health Organization growth standards: a systematic review. *BMJ Open*, 4, e003735. doi:10.1136/bmjopen-2013-003735.
247. Noback, M. L. & Harvati, K. (2015) Covariation in the Human Masticato-

ry Apparatus. *The anatomical record*, 298, 64-84.

248. Nouri, M., Abdi, A. H., Farzan, A., Mokhtarpour, F., Baghban, A. A. (2014). Measurement of the buccolingual inclination of teeth: manual technique vs 3-dimensional software. *Am. J. Orthod. Dentofacial Orthop.*, 146(4), 522-529.

249. Oh, Y. A., Yang, H. S., Park, S. W., Lim, H. P., Yun, K. D., Park, C. (2017). Analysis of the width ratio and wear rate of maxillary anterior teeth in the Korean population. *J. Adv. Prosthodont.*, 9(2), 93-98.

250. Okori, H., Apolot, P. S., Mwaka, E., Tumusiime, G., Buwembo, W., Munabi, I. G. (2015). A secondary analysis to determine variations of dental arch measurements with age and gender among Ugandans. *BMC Res. Notes*, 10(8), 428.

251. Oliveira, M. A., Venâncio, J. F., Raposo, L. H., Barbosa Júnior, N., Biffi, J. C. (2015). Morphometric evaluation and planning of anticurvature filing in roots of maxillary and mandibular molars. *Braz. Oral Res.*, 29, 1-9.

252. Orlovskiy, V. O. (2017). Features relations computed tomography sizes of premolar teeth with cephalometric indicators of practically healthy men from northern and southern regions of Ukraine. *Biomedical and Biosocial Anthropology*, 29, 73-77.

253. Orlovskiy, V. O., Cherkasov, V. G., Chaika, V. G. (2018). Features of correlations of computer-tomographic sizes of premolars with cephalometric indices of practically healthy men from the western and eastern regions of Ukraine. *Biomedical and Biosocial Anthropology*, 29, 36-42.

254. Orozco-Varo, A., Arroyo-Cruz, G., Martínez-de-Fuentes, R., Jiménez-Castellanos, E. (2015). Biometric analysis of the clinical crown and the width/length ratio in the maxillary anterior region. *J. Prosthet. Dent.*, 113(6), 565-570.

255. Oznurhan, F., Ünal, M., Kapdan, A., Ozturk, C., Aksoy, S. (2015). Clinical evaluation of apex locator and radiography in primary teeth. *Int. J. Paediatr. Dent.*, 25(3), 199-203.

256. Paranhos, L. R., Zaroni, M., Carli, J. P., Okamoto, R., Zogheib, L. V., Torres, F. C. (2014). Association between the facial type and morphology of the upper central incisor in normal occlusion subjects. *J. Contemp. Dent. Pract.*, 15(1), 29-33.
257. Parciak, E. C., Dahiya, A. T., AlRumaih, H. S., Kattadiyil, M. T., Baba, N. Z., Goodacre, C. J. (2017). Comparison of maxillary anterior tooth width and facial dimensions of 3 ethnicities. *J. Prosthet Dent.*, 118(4), 504-510.
258. Paredes, V., Tarazona, B., Zamora, N., Cibrian, R., Gandia, J. L. (2015). New regression equations for predicting human teeth sizes. *Head Face Med.*, 11, 8.
259. Park, M. K., Shin, M. K., Kim, S. O., Lee, H. S., Lee, J. H., Jung, H. S., Song, J. S. (2017). Prevalence of delayed tooth development and its relation to tooth agenesis in Korean children. *Arch. Oral. Biol.*, 73, 243-247.
260. Pedrosa, V. O., França, F. M., Flório, F. M., Basting, R. T. (2011). Study of the morpho-dimensional relationship between the maxillary central incisors and the face. *Braz. Oral. Res.*, 25(3), 210-216.
261. Peixoto, A., Marques, T. M., Correia, A. (2015). Gingival biotype characterization--a study in a Portuguese sample. *Int. J. Esthet. Dent.*, 10(4), 534-446.
262. Perinetti, G., Di Lenarda, R., Contardo, L. (2013). Diagnostic performance of combined canine and second molar maturity for identification of growth phase. *Prog. Orthod.*, 14, 1.
263. Porto, B. G., Porto, T. S., Silva, M. B., Grehs, R. A., Pinto Ados, S., Bhandi, S. H., ... dos Santos-Pinto, L. A. (2014). Comparison of linear measurements and analyses taken from plaster models and three-dimensional images. *J. Contemp. Dent. Pract.*, 15(6), 681-687.
264. Porto, L. V., Celestino da Silva Neto, J., Anjos Pontual, A. D., Catunda, R. Q. (2015). Evaluation of volumetric changes of teeth in a Brazilian population by using cone beam computed tomography. *J. Forensic Leg. Med.*, 36, 4-9.

265. Premkumar, S. (2015). *Textbook of orthodontics*. Elsevier India.
266. Proffit, W., Fields, H., Sarver, D. *Contemporary Orthodontics*. Elsevier Health Sciences.
267. Ramírez, K., García-Rodríguez, O., Murillo-Arocho, M., Fernández-López, O., Elías-Boneta, A. R. (2013). Dentogingival complex: dimension based on biotypes. *P. R. Health Sci. J.*, 32(4), 182-186.
268. Rivera, M., De Luca, S., Aguilar, L., Velandia Palacio, L. A., Galić, I., Cameriere, R. (2017). Measurement of open apices in tooth roots in Colombian children as a tool for human identification in asylum and criminal proceedings. *J. Forensic Leg. Med.*, 48, 9-14.
269. Rodrigues, C. T., Oliveira-Santos, C., Bernardineli, N., Duarte, M. A., Bramante, C. M., Minotti-Bonfante, P. G., Ordinola-Zapata, R. (2016). Prevalence and morphometric analysis of three-rooted mandibular first molars in a Brazilian subpopulation. *J. Appl. Oral. Sci.*, 24(5), 535-542.
270. Rokaya, D., Kitisubkanchana, J., Wonglamsam, A., Santiwong, P., Srithavaj, T., Humagain, M. (2015). Nepalese Esthetic Dental (NED) Proportion in Nepalese Population. *Kathmandu Univ. Med. J. (KUMJ)*., 13(51), 244-249.
271. Sah, S. K., Zhang, H. D., Chang, T., Dhungana, M., Acharya, L., Chen, L. L., Ding, Y. M. (2014). Maxillary anterior teeth dimensions and proportions in a central mainland chinese population. *Chin J. Dent. Res.*, 17(2), 117-124.
272. Sarig, R., Hershkovitz, I., Shvalb, N., Sella-Tunis, T., May, H., Vardimon, A. D. (2014). Proximal attrition facets: morphometric, demographic, and aging characteristics. *Eur. J. Oral. Sci.*, 122(4), 271-278.
273. Schindel, R. H., & Sheinis, M. R. (2013). Prediction of maxillary lateral-incisor root resorption using sector analysis of potentially impacted canines. *J. Clin. Orthod.*, 47(8), 490-493.
274. Selvakumar, H., Kavitha, S., Vijayakumar, R., Eapen, T., Bharathan, R. (2014). Study of pulp chamber morphology of primary mandibular molars using spiral computed tomography. *J. Contemp. Dent. Pract.*, 15(6), 726-729.
275. Shaweesh, A. I. (2017). Mesiodistal and faciolingual diameters of the per-

manent teeth in a Jordanian population. *Arch. Oral. Biol.*, 73, 253-258.

276. Shaweesh, A. I., Al-Dwairi, Z. N., Shamkhey, H. D. (2015). Studying the relationships between the outlines of the face, maxillary central incisor, and maxillary arch in Jordanian adults by using Fourier analysis. *J. Prosthet. Dent.*, 113(3), 198-204.

277. Shinkaruk-Dykovytska, M. M., Orlovskiy, V. O., Gavriilyuk, A. O., Datsenko, G. V., Zakalata, T. R. (2017). Differences in computer-tomographic size of premolar teeth and their roots in practically healthy men of different craniotypes, inhabitants of the central region of Ukraine. *World of Medicine and Biology*, 4(62), 104-107.

278. Shpack, N., Brosh, T., Mazor, Y., Shapinko, Y., Davidovitch, M., Sarig, R., ... Vardimon, A. D. (2014). Long- and short-term effects of headgear traction with and without the maxillary second molars. *Am. J. Orthod. Dentofacial Orthop.*, 146(4), 467-476.

279. Sinavarat, P., Anunmana, C., Hossain, S. (2013). The relationship of maxillary canines to the facial anatomical landmarks in a group of Thai people. *J. Adv. Prosthodont.*, 5(4), 369-373.

280. Singh, D. P., Garg, A. K., Singh, S. P., Krishna Nayak, U. S., Gupta, M. (2014). Comparison of the dental arch changes in patients with different malocclusions. *Indian J. Dent. Res.*, 25(5), 623-629.

281. Song, J. W., Leesungbok, R., Park, S. J., Chang, S. H., Ahn, S. J., Lee, S. W. (2017). Analysis of crown size and morphology, and gingival shape in the maxillary anterior dentition in Korean young adults. *J. Adv. Prosthodont.*, 9(4), 315-320.

282. Souza-Flamini, L. E., Leoni, G. B., Chaves, J. F., Versiani, M. A., Cruz-Filho, A. M., Pécora, J. D., Sousa-Neto, M. D. (2014). The radix entomolaris and paramolaris: a micro-computed tomographic study of 3-rooted mandibular first molars. *J. Endod.*, 40(10), 1616-1621.

283. Tabachnick, G. B., & Fidell, L. S. (2014). *Using multivariate statistics* (6th ed.). Edinburgh: Pearson Education Limited.

284. Tineshev, S., & Dimov, I. (2013). Cephalometric characteristics of children and adolescents from the eastern Rhodope region – Bulgaria. *Glasnik Antropološkog društva Srbije*, 48, 43-47.
285. Tsukiyama, T., Marcushamer, E., Griffin, T. J., Arguello, E., Magne, P., Gallucci, G. O. (2012). Comparison of the anatomic crown width/length ratios of unworn and worn maxillary teeth in Asian and white subjects. *J. Prosthet Dent.*, 107(1), 11-16.
286. Varjão, F. M., & Nogueira, S. S. (2012). Correlating the curve distance between the distal of the canines to the combined width of the six anterior teeth when selecting denture teeth for different ethnic groups. *J. Prosthet. Dent.*, 107(6), 400-404.
287. Vasconcelos, A. C., Joias, R. P., Rode, S. M., Scanavini, M. A., Rosario, H. D., Paranhos, L. R. (2014). Evaluation of changes in clinical crown length of lower anterior teeth after treatment with Frankel-2's appliance. *Indian J. Dent. Res.*, 25(5), 586-588.
288. Ward, D. H. (2015). Proportional Smile Design: Using the Recurring Esthetic Dental Proportion to Correlate the Widths and Lengths of the Maxillary Anterior Teeth with the Size of the Face. *Dent. Clin. North Am.*, 59(3), 623-638.
289. Wegstein, P. G., Horvath, S. D., Stemmann, J., Lüthi, M., Blatz, M. B. (2014). Three-dimensional analysis of the correlation between anterior tooth form and face shape. *Int. J. Periodontics Restorative Dent.*, 34(6), 765-771.
290. Wichelhaus, A. (2017). *Orthodontic Therapy: Fundamental Treatment Concepts*. Thieme Publishers, New York, Stuttgart.
291. Yadav, A. B., Yadav, S. K., Kedia, N. B., Singh, A. K. (2016). An Odontometric Approach for Estimation of Stature in Indians: Cross- Sectional Analysis. *J. Clin. Diagn. Res.*, 10(3), 24-26.
292. Yanushevich, O. O. (2008). *Meditinskaya i klinicheskaya genetika dlya stomatologov*. M.: GEOTAR-Media.
293. Yoo, H. I., Yang, D. W., Lee, M. Y., Kim, M. S., Kim, S. H. (2016). Morphological analysis of the occlusal surface of maxillary molars in Koreans.

Arch. Oral Biol., 67, 15-21.

294. Zagar, M., Knezović, Zlatarić, D. (2011). Influence of esthetic dental and facial measurements on the Caucasian patients' satisfaction. *J. Esthet. Restor. Dent.*, 23(1), 12-20.

295. Zhang, X., Xiong, S., Ma, Y., Han, T., Chen, X., Wan, F., ... Wang, Y. (2015). A Cone-Beam Computed Tomographic Study on Mandibular First Molars in a Chinese Subpopulation. *PLoS One*, 10(8), e0134919.

296. Zhao, Q., Li, N., Cao, J. (2015). Morphological features of maxillary anterior teeth in a sample of Chinese population. *Homo*, 66(5), 448-454.

ДОДАТКИ

Додаток А

НАУКОВІ ПРАЦІ, В ЯКИХ ОПУБЛІКОВАНІ ОСНОВНІ НАУКОВІ РЕЗУЛЬТАТИ ДИСЕРТАЦІЇ

1. Шінкарук-Диковицька М. М. Регіональні та краніотипологічні відмінності кефалометричних показників у практично здорових чоловіків України / М. М. Шінкарук-Диковицька, О. О. Коцюра, В. О. Орловський // Вісник морфології. – 2016. – Т. 22, № 2. – С. 314-319.
2. Шінкарук-Диковицька М. М. Відмінності кефалометричних показників у практично здорових чоловіків України з різними типами обличчя / М. М. Шінкарук-Диковицька, О. О. Коцюра, В. О. Орловський // Світ медицини та біології. – 2016. – №4(58). – С. 82-87.
3. Орловський В. О. Регіональні відмінності лінійних комп'ютерно-томографічних розмірів малих кутніх зубів та їх коренів у практично здорових чоловіків України / В. О. Орловський // Вісник морфології. – 2017. – Т. 23, № 1. – С. 102-107.
4. Орловський В. О. Особливості комп'ютерно-томографічних розмірів малих кутніх зубів та їх коренів у практично здорових чоловіків України з різною формою голови / В. О. Орловський // Biomedical and Biosocial Anthropology. – 2017. – № 28. – С. 92-94.
5. Шінкарук-Диковицька М. М. Відмінності лінійних розмірів малих кутніх зубів та їх коренів у практично здорових чоловіків України з різними типами обличчя / М. М. Шінкарук-Диковицька, В. О. Орловський // Світ медицини та біології. – 2017. – №2(60). – С. 124-126.
6. Differences of craniotype distribution and types of face among apparently

healthy men from different regions of Ukraine / I. V. Gunas, M. M. Shinkaruk-Dykovytska, O. O. Kotsyura, V. O. Orlovskiy, S. V. Dmytrenko, A. V. Shayuk, A. A. Glushak // *Folia Morphol.* – 2017. – Vol.76, №3. – P. 473-477.

7. Differences in computer-tomographic size of premolar teeth and their roots in practically healthy men of different craniotypes, inhabitants of the central region of Ukraine / M. M. Shinkaruk-Dykovytska, V. O. Orlovskiy, A. O. Gavrilyuk, G. V. Datsenko, T. R. Zakalata // *World of Medicine and Biology.* – 2017. – №4(62). – P. 104-107.

8. Орловський В. О. Особливості лінійних комп'ютерно-томографічних розмірів малих кутніх зубів та їх коренів у практично здорових чоловіків центрального регіону України з різними типами обличчя / В. О. Орловський // *Вісник морфології.* – 2017. – Т. 23, № 2. – С. 311-314.

9. Орловський В. О. Моделювання за допомогою регресійного аналізу індивідуальних лінійних розмірів малих кутніх зубів в залежності від кефалометричних показників практично здорових чоловіків із різних регіонів України / В. О. Орловський, М. М. Шінкарук-Диковицька, І. В. Гунас // *Вісник наукових досліджень.* – 2018. – № 1. – С. 90-95.

10. Orlovskiy V. O. Features relations computed tomography sizes of premolar teeth with cephalometric indicators of practically healthy men from northern and southern regions of Ukraine / V. O. Orlovskiy // *Biomedical and Biosocial Anthropology.* – 2017. – № 29. – P. 73-77.

11. Orlovskiy V. O. Features of correlations of computer-tomographic sizes of premolars with cephalometric indices of practically healthy men from the western and eastern regions of Ukraine / V. O. Orlovskiy, V. G. Cherkasov, V. G. Chaika // *Biomedical and Biosocial Anthropology.* – 2018. – № 30. – P. 36-42.

12. Шінкарук-Диковицька М. М. Сучасні променеві та антропометричні методи дослідження в стоматології / М. М. Шінкарук-Диковицька, О. О. Коцюра, В. О. Орловський // *Вісник Вінницького національного медичного університету.* – 2012. – Т. 16, № 2. – С. 546-550.

НАУКОВІ ПРАЦІ, ЯКІ ЗАСВІДЧУЮТЬ АПРОБАЦІЮ МАТЕРІАЛІВ ДИСЕРТАЦІЇ

13. Шінкарук-Диковицька М. М. Лінійні розміри молярів та премолярів та їх зв'язок з показниками кефалометрії / М. М. Шінкарук-Диковицька, О. О. Коцюра, В. О. Орловський // «Інноваційні технології в стоматології» : збірник матеріалів науково-практичної конференції (м. Тернопіль, 23 вересня 2016 р.). – Тернопіль: ДВНЗ «Тернопільський державний медичний університет імені І. Я. Горбачевського МОЗ України». – С. 54-56.

14. Орловський В. О. Відмінності розподілу типів обличчя серед практично здорових чоловіків із різних регіонів України / В. О. Орловський // Матеріали науково-практичної конференції з міжнародною участю присвяченої 60-ти річчю ДВНЗ «Тернопільський державний медичний університет імені І. Я. Горбачевського МОЗ України» (м. Тернопіль, 1-2 червня 2017 р.). – Тернопіль: ДВНЗ «Тернопільський державний медичний університет імені І. Я. Горбачевського МОЗ України». – С. 132-134.

15. Орловський В. О. Краніотипологічна мінливість лінійних розмірів малих кутніх зубів у практично здорових чоловіків України / В. О. Орловський // «Прикладні аспекти морфології» : матеріали науково-практичної конференції присвяченої пам'яті професорів-морфологів Терентьєва Г. В., Роменського О. Ю., Когана Б. Й., Шапаренка П. П., Жученка С. П. / за редакцією академіка НАМН України, професора В. М. Мороза, чл.-кор. НАМН України, професора Ю. Б. Чайковського, професора В. Г. Черкасова, професора М. А. Волошина, професора В. І. Півторака (м. Вінниця, 21-22 вересня 2017р.). – Вінниця: друкарня «Тези», 2017. – С. 122-124.

16. Орловський В. О. Множинні зв'язки комп'ютерно-томографічних розмірів малих кутніх зубів із кефалометричними показниками практично здорових чоловіків центрального регіону України / В. О. Орловський // «Світова медицина: сучасні тенденції та фактори розвитку» : матеріали міжнародної науково-практичної конференції (м. Львів, 26-27 січня 2018

р.). – Львів: ГО «Львівська медична спільнота», 2018. – С. 114-116.

17. Орловський В. О. Кількісний аналіз зв'язків комп'ютернотомографічних розмірів малих кутніх зубів із кефалометричними показниками практично здорових чоловіків центрального регіону України / В. О. Орловський // «Перспективні напрями розвитку сучасних медичних та фармацевтичних наук» : матеріали міжнародної науково-практичної конференції (м. Дніпро, 9-10 лютого 2018 року). – Дніпро : Організації наукових медичних досліджень «Salutem». – С. 22-24.

Апробація результатів дисертації:

- науково-практичній конференції «Інноваційні технології в стоматології» (м. Тернопіль, 2016) – стендова доповідь і публікація;
- науково-практичної конференції з міжнародною участю присвяченої 60-ти річчю ДВНЗ «Тернопільський державний медичний університет імені І. Я. Горбачевського МОЗ України» (м. Тернопіль, 2017) – стендова доповідь і публікація;
- науково-практичній конференції “Прикладні аспекти морфології” присвяченої пам’яті професорів-морфологів Г. В. Терентьєва, О. Ю. Роменського, Б. Й. Когана, П. П. Шапаренка, С. П. Жученка (м. Вінниця, 2017) – усна доповідь і публікація;
- міжнародній науково-практичній конференції «Світова медицина: сучасні тенденції та фактори розвитку» (м. Львів, 2018) – публікація;
- міжнародній науково-практичній конференції «Перспективні напрями розвитку сучасних медичних та фармацевтичних наук» (м. Дніпро, 2018) – публікація.

Додаток Б1

«ЗАТВЕРДЖУЮ»



Проректор
з науково-педагогічної (навчальної) роботи
Вінницького національного медичного
університету імені М.І. Пирогова
проф. Ю. Й. Гумінський
«16.04.18» к.Вітка 2018 р.

АКТ ВПРОВАДЖЕННЯ

1. **Пропозиція для впровадження:** У соматично здорових чоловіків віком від 19 до 35 років із різних адміністративних регіонів України з різною формою голови більшість відмінностей встановлено для лінійних розмірів перших малих кутніх зубів та їх коренів. У гіпербрахіцефалів та брахіцефалів встановлено найбільші значення лінійних комп'ютерно-томографічних розмірів малих кутніх зубів та їх коренів.

2. **Установа-розробник:** Вінницький національний медичний університет імені М. І. Пирогова.

Розроблювач: Орловський Володимир Олександрович.

Джерела інформації: Орловський В. О. Особливості комп'ютерно-томографічних розмірів малих кутніх зубів та їх коренів у практично здорових чоловіків України з різною формою голови / В. О. Орловський // Biomedical and Biosocial Anthropology. – 2017. – № 28. – С. 92-94.

Базова установа, яка проводить впровадження: Вінницький національний медичний університет імені М.І. Пирогова, кафедра анатомії людини.

3. **Результати застосування** пропозиції за період з квітня по червень 2017 р. Матеріали використовуються в навчальному процесі кафедри анатомії людини на практичних заняттях.

4. **Ефективність впровадження за критеріями, висловленими в джерелі інформації (п. 3):** Використання результатів наукових досліджень у навчальному процесі дозволяє розширити знання студентів щодо особливостей лінійних розмірів перших малих кутніх зубів та їх коренів у представників різних краніотипів.

5. **Зауваження, пропозиції:** не вносилися.

6. **Затверджено** на засіданні кафедри 16.04.18 2018 (протокол №14)

Відповідальний за впровадження: доц. Башинська О. І.

Завідувач кафедри анатомії людини
Вінницького національного
медичного університету імені М.І. Пирогова,
доктор медичних наук, професор

Тихолаз В. О.

Додаток Б2

«ЗАТВЕРДЖУЮ»



Проректор
з науково-педагогічної (навчальної) роботи
Вінницького національного медичного
університету імені М.І. Пирогова
проф. Ю. Й. Гумінський
« 28 » Березня 2018 р.

АКТ ВПРОВАДЖЕННЯ

1. **Пропозиція для впровадження:** При порівнянні відмінностей кефалометричних показників між практично здоровими чоловіками загальних груп або представниками центрального регіону України з різними типами обличчя встановлено, що у напрямку дуже вузьке обличчя < вузьке обличчя < середнє обличчя < широке обличчя відмічається збільшення найбільшої і найменшої ширини голови, ширини обличчя, середньої ширини обличчя, ширина ротової щілини, довжина тіла нижньої щелепи справа і зліва.

2. **Установа-розробник:** Вінницький національний медичний університет імені М. І. Пирогова.

Розроблювач: Орловський Володимир Олександрович.

Джерела інформації: Шінкарук-Диковицька М. М. Відмінності кефалометричних показників у практично здорових чоловіків України з різними типами обличчя / М. М. Шінкарук-Диковицька, О. О. Коцюра, В. О. Орловський // Світ медицини та біології. – 2016. – №4(58). – С. 82-87.

Базова установа, яка проводить впровадження: Вінницький національний медичний університет імені М.І. Пирогова, кафедра ортопедичної стоматології.

3. **Результати застосування** пропозиції за період з вересня по грудень 2017 р. Матеріали використовуються в навчальному процесі кафедри ортопедичної стоматології на практичних заняттях.

4. **Ефективність впровадження за критеріями, висловленими в джерелі інформації (п. 3):** Використання результатів наукових досліджень у навчальному процесі дозволяє розширити знання студентів щодо відмінностей кефалометричних показників у пацієнтів з різними типами обличчя.

5. **Зауваження, пропозиції:** не вносилися.

6. **Затверджено** на засіданні кафедри 20.03 2018 (протокол №9)

Відповідальний за впровадження: доц. Глушак А. А.

Завідувач кафедри ортопедичної стоматології
Вінницького національного
медичного університету імені М.І. Пирогова,
кандидат медичних наук, доцент

Беляев Е. В.

Додаток БЗ

«Затверджую»

Проректор з науково-педагогічної роботи
 Національного медичного університету імені О.О.
 Богомольця
 професор _____ Черенько Т.М.
 « 14 » _____ 2017 р.



АКТ ВПРОВАДЖЕННЯ

Назва роботи: «Комп'ютерно-томографічні розміри малих кутніх зубів у практично здорових чоловіків із різних регіонів України та їх зв'язок із показниками кефалометрії»

1. Автор: Орловський Володимир Олександрович, асистент кафедри ортопедичної стоматології Вінницького національного медичного університету ім. М.І. Пирогова.

2. Пропозиція до впровадження: У практично здорових чоловіків із різних регіонів України вперше встановлено збільшення найбільшого обхвата голови, поперечної і сагітальної дуги, найбільшої довжини голови, висоти лоба, фізіологічної довжини обличчя, довжини, висоти і глибини носа, відстані між назіон та міжрізцевою точкою і міжчочномкової ширини та зменшення найбільшої й найменшої ширини голови і середньої ширини обличчя в напрямку гіпербрахіцефалія → брахіцефалія → мезоцефалія → доліхоцефалія відмічається Підтверджено процесу брахіцефалізації чоловічого населення в різних регіонах України.

3. Актуальність дослідження: Кефалометричні дані пацієнта є одним із основних способів діагностики патології зубощелепної системи, оцінки саморегуляції, росту щелепно-лицевої ділянки та контролю за лікуванням. У дослідженнях ряду авторів встановлено цілий ряд кефалометричних і одонтологічних міжгрупових відмінностей у сучасної людини, які виникли за рахунок швидко перебігаючого за останні тисячоліття процесу редукції зубощелепної системи. Відмінності кефалометричних показників у практично здорових чоловіків із різних регіонів України та різних краніотипів майже не вивчалися.

4. Установа-розробник: Вінницький національний медичний університет ім. М.І. Пирогова.

5. Джерела інформації:

Шінкарук-Диковицька М. М. Регіональні та краніотипологічні відмінності кефалометричних показників у практично здорових чоловіків України / М. М. Шінкарук-Диковицька, О. О. Коцюра, В. О. Орловський // Вісник морфології. – 2016. – Т. 22, № 2. – С. 314-319.

Differences of craniotype distribution and types of face among apparently healthy men from different regions of Ukraine / I. V. Gunas, M. M. Shinkaruk-Dykovytska, O. O. Kotsyura, V. O. Orlovskiy, S. V. Dmytrenko, A. V. Shayuk, A. A. Glushak // Folia Morphol. – 2017. – Vol.76, №3. – P. 473-477.

6. Ким і коли впроваджено: кафедра анатомії людини Національного медичного університету імені О.О. Богомольця

Початок впровадження: листопад 2017 р.

Протокол засідання кафедри № 12 від 09.11.2017р.

7. Форма впровадження: результати дослідження впроваджено у навчальний процес та лекційний курс.

8. Соціально-економічний ефект: покращення підготовки молодих спеціалістів.

Відповідальний за впровадження:

Завідувач кафедри анатомії людини,
 Заслужений діяч науки і техніки України,
 д.мед.н., проф.

Підпис _____ В.Г. Черкасов
 ЗАСВІДЧУЮ
 ВІСНИЙ СЕКРЕТАР УНІВЕРСИТЕТУ
 _____ 2017 р.

Додаток Б4

«Затверджую»
 Перший проректор з науково-педагогічної
 роботи Львівського національного медичного
 університету імені Данила Галицького
 член-кор. НАМН України
 професор  Гжегоцький М. Р.
 «26» жовтня 2017 р.

АКТ ВПРОВАДЖЕННЯ

Назва роботи: «Комп'ютерно-томографічні розміри малих кутніх зубів у практично здорових чоловіків із різних регіонів України та їх зв'язок із показниками кефалометрії»

1. Автор: Орловський Володимир Олександрович, асистент кафедри ортопедичної стоматології Вінницького національного медичного університету ім. М.І. Пирогова.

2. Пропозиція до впровадження: Вперше встановлені регіональні відмінності КТ-розмірів малих кутніх зубів, які на найбільш виражені для присінково-язикових розмірів зубів (більші значення у чоловіків північного регіону України, ніж у представників південного, західного і східного регіонів, а у представників центрального регіону, ніж у чоловіків південного і східного регіонів) та лише на нижній щелепі – для висоти коронки малих кутніх зубів (менші значення у чоловіків південного регіону, ніж у представників північного, центрального, західного і східного регіонів)..

3. Актуальність дослідження: Щоб отримати гарні функціонально-естетичні показники (природна індивідуальність) та попередити розвиток рецидиву в процесі ортодонтичного лікування, необхідне гармонійне поєднання вестибулярно-оральних, мезіодістальних розмірів зубів, висоти і форми їх коронки. Вони важливі як для визначення естетичної характеристики зубів, так і встановлення їх етнічних особливостей. Власне кажучи, результати розрахунків необхідно порівнювати з нормативами розмірів зубів, характерних для тієї чи іншої національності та етнічної групи. Зокрема, для кожного регіону повинні бути встановлені параметри фізіологічної норми, оскільки як у різних народів існують певні особливості будови зубних рядів, щелеп, прикусу, а також суттєві відмінності у величині зубів.

4. Установа-розробник: Вінницький національний медичний університет ім. М.І. Пирогова.

5. Джерела інформації:

Орловський В. О. Регіональні відмінності лінійних комп'ютерно-томографічних розмірів малих кутніх зубів та їх коренів у практично здорових чоловіків України / В. О. Орловський // Вісник морфології. – 2017. – Т. 23, № 1. – С. 102-107.

Орловський В. О. Краніотипологічна мінливість лінійних розмірів малих кутніх зубів у практично здорових чоловіків України / В. О. Орловський // Матеріали науково-практичної конференції «Прикладні аспекти морфології» присвячена пам'яті професорів-морфологів Терентьєва Г. В., Роменського О. Ю., Когана Б. Й., Шапаренка П. П., Жученка С. П.; Вінниця, 21-22 вересня 2017р. / за редакцією академіка НАМН України, професора В. М. Мороза, чл.-кор. НАМН України, професора Ю. Б. Чайковського, професора В. Г. Черкасова, професора М. А. Волошина, професора В. І. Півторака. – Вінниця: друкарня «Тези», 2017. – 263 с. (С. 122-124).

6. Ким і коли впроваджено: кафедра нормальної анатомії Львівського національного медичного університету імені Данила Галицького.

Початок впровадження: січень 2017 р.

Протокол засідання кафедри № 2-Б від 19 жовтня 2017р.

7. Форма впровадження: результати дослідження впроваджено у навчальний процес та лекційний курс.

8. Соціально-економічний ефект: покращення підготовки молодих спеціалістів.

Відповідальний за впровадження:

Завідувач кафедри нормальної анатомії,
 д.мед.н., проф.



Л.Р. Матешук-Вацеба

Додаток Б5

«ЗАТВЕРДЖУЮ»

Ректор Одеського національного

медичного університету,

академік НАМН України,

проф.  Запорожан В. М.« 22 »  2017 р.

АКТ ВПРОВАДЖЕННЯ

Назва роботи: «Комп'ютерно-томографічні розміри малих кутніх зубів у практично здорових чоловіків із різних регіонів України та їх зв'язок із показниками кефалометрії»

1. Автор: Орловський Володимир Олександрович, асистент кафедри ортопедичної стоматології Вінницького національного медичного університету ім. М.І. Пирогова.

2. Пропозиція до впровадження: У практично здорових чоловіків різних краніотипів вперше встановлені відмінності КТ-розмірів малих кутніх зубів – у доліхоцефалів, в більшості випадків, менші значення присінково-язикових розмірів і висоти коронки зубів, ніж у брахіцефалів і гіпербрахіцефалів; а у мезоцефалів, в більшості випадків, менші значення мезіо-дистального розміру шийки зубів, ніж у брахіцефалів і гіпербрахіцефалів. У практично здорових чоловіків центрального регіону України різних краніотипів вперше виявлені найбільш виражені відмінності КТ-розмірів малих кутніх зубів на верхній щелепі – у брахіцефалів більші значення мезіо-дистальних та присінково-язикових розмірів перших зубів, ніж у мезоцефалів, та у гіпербрахіцефалів більші значення присінково-язикових розмірів других зубів, ніж у доліхоцефалів і мезоцефалів; а на нижній щелепі – у брахіцефалів більші значення мезіо-дистальних та присінково-язикових розмірів зубів, ніж у мезоцефалів і доліхоцефалів та у гіпербрахіцефалів, ніж у мезоцефалів.

3. Актуальність дослідження: На сучасному етапі розвитку щелепно-лицевої хірургії, хірургічної стоматології, реконструктивної хірургії необхідна деталізація вивчення індивідуальної анатомічної мінливості структурних елементів кутніх зубів, в тому числі їх коренів. При цьому уточнена характеристика питань вивчення одонтометричних показників проводиться нерозривно від особливостей розмірів мозкового і лицьового відділів черепа, що дозволяє розробляти і впроваджувати в практику нові спрямовані методи хірургічних маніпуляцій і правильно розуміти вимоги індивідуалізованої техніки протезування.

4. Установа-розробник: Вінницький національний медичний університет ім. М.І. Пирогова.

5. Джерела інформації:

Шінкарук-Диковицька М. М. Регіональні та краніотипологічні відмінності кефалометричних показників у практично здорових чоловіків України / М. М. Шінкарук-Диковицька, О. О. Коцюра, В. О. Орловський // Вісник морфології. – 2016. – Т. 22, № 2. – С. 314-319.

Орловський В. О. Особливості комп'ютерно-томографічних розмірів малих кутніх зубів та їх коренів у практично здорових чоловіків України з різною формою голови / В. О. Орловський // Biomedical and Biosocial Anthropology. – 2017. – № 28. – С. 92-94.

Differences in computer-tomographic size of premolar teeth and their roots in practically healthy men of different craniotypes, inhabitants of the central region of Ukraine / M. M. Shinkaruk-Dykovytska, V. O. Orlovskiy, A. O. Gavrilyuk, G. V. Datsenko, T. R. Zakalata // Світ медицини та біології. – 2017. – № 4. – С. 63-66.

6. Ким і коли впроваджено: кафедра анатомії людини Одеського національного медичного університету.

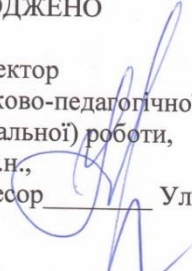
Початок впровадження: грудень 2017 р.


Протокол засідання кафедри № 17 від 14. 11 2017р.

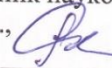
7. Форма впровадження: результати дослідження впроваджено у навчальний процес та лекційний курс.

8. Соціально-економічний ефект: покращення підготовки молодих спеціалістів.

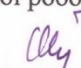
УЗГОДЖЕНО

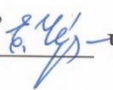
Проректор
з науково-педагогічної
(навчальної) роботи,
д.мед.н.,
професор  Ульянов В.О.

Зав. кафедри анатомії людини,
д.мед.н.,
професор  Холодкова О.Л.

Начальник наукового відділу,
к.мед.н.,
доцент  Романова Н.О.

УЗГОДЖЕНО

Проректор з науково-
педагогічної роботи,
д.м.н.,
професор  Бажора Ю.І

Начальник методичного відділу,
к.мед.н.,
доцент  Чернецька О.В

Додаток Б6

«Затверджую»
 Проректор з наукової роботи
 ДВНЗ «Тернопільський державний медичний
 університет імені І. Я. Горбачевського МОЗ України»
 Професор _____ Кліщ І.М.
 « 12 » _____ 2017 р.

АКТ ВПРОВАДЖЕННЯ

Назва роботи: «Комп'ютерно-томографічні розміри малих кутніх зубів у практично здорових чоловіків із різних регіонів України та їх зв'язок із показниками кефалометрії»

1. Автор: Орловський Володимир Олександрович, асистент кафедри ортопедичної стоматології Вінницького національного медичного університету ім. М.І. Пирогова.

2. Пропозиція до впровадження: Вперше у практично здорових чоловіків із різним типом обличчя встановлені (лише на верхній щелепі) відмінності КТ-розмірів малих кутніх зубів – в більшості випадків у чоловіків із середнім типом обличчя більші значення висоти зубів та довжини піднебінного кореня правого другого зуба, ніж у представників із іншими типами обличчя. Вперше у практично здорових чоловіків центрального регіону України з різним типом обличчя, як і в загальній групі, найбільш виражені відмінності КТ-розмірів малих кутніх зубів встановлені лише на верхній щелепі – у чоловіків із середнім типом обличчя більші значення висоти зубів, ніж у представників із іншими типами обличчя, а також довжини піднебінного і щічного коренів зубів, ніж у представників із широким та вузьким типами обличчя.

3. Актуальність дослідження: Проведені дослідження вказують на те, що превентивне використання одонтометричних і кефалометричних (тобто віднесення пацієнта до певної антропометричної групи) характеристик дозволить передбачити хід лікування і відповідно, зекономити час і сили лікаря, та що більше важливо, покращити естетичний результат його роботи, що напряду впливає на соціальний статус пацієнта і ступінь його задоволеності. Нажаль більшість робіт як в Україні, так і за кордоном відштовхуються не від адміністративно-регіональних особливостей будови і розмірів зубів та голови, а від кліматичних, історичних і екологічних зон або досліджуючи закриті субпопуляції.

4. Установа-розробник: Вінницький національний медичний університет ім. М.І. Пирогова.

5. Джерела інформації:

Шінкарук-Диковицька М. М. Відмінності лінійних розмірів малих кутніх зубів та їх коренів у практично здорових чоловіків України з різними типами обличчя / М. М. Шінкарук-Диковицька, В. О. Орловський // Світ медицини та біології. – 2017. – №2(60). – С. 124-126.

Орловський В. О. Особливості лінійних комп'ютерно-томографічних розмірів малих кутніх зубів та їх коренів у практично здорових чоловіків центрального регіону України з різними типами обличчя / В. О. Орловський // Вісник морфології. – 2017. – Т. 23, № 2. – С. 217-219.

6. Ким і коли впроваджено: кафедра анатомії людини ДВНЗ «Тернопільський державний медичний університет імені І. Я. Горбачевського МОЗ України»

Початок впровадження: жовтень 2017 р.

Протокол засідання кафедри № 5 від 5 грудня 2017р.

7. Форма впровадження: результати дослідження впроваджено у навчальний процес та лекційний курс.

8. Соціально-економічний ефект: покращення підготовки молодих спеціалістів.

Відповідальний за впровадження:
 Завідувач кафедри анатомії людини,
 д.мед.н., проф.



I.S. Герасимюк

Додаток В

Кефалометричні показники у чоловіків із різних регіонів України та з різною формою голови й різними типами обличчя.

В таблицях додатку:

DUG_GOP – найбільший обхват голови через надперенісся (глабелла) та ініон;

DUG_AUAU – поперечна дуга, що вимірюється стрічкою від правої козелкової точки до лівої;

DUGS_GOP – сагітальна дуга, що вимірюється стрічкою від глабелли до потиличної точки;

G_OP – найбільша довжина голови, це відстань від глабелли до опистокраніон;

EU_EU – найбільша ширина голови (потиличний діаметр);

FMT_FMT – найменша ширина голови (лобовий діаметр);

ZY_ZY – ширина обличчя, це відстань між виличними точками;

ZM_ZM – середня ширина обличчя, це відстань між зігомаксилярними точками;

GO_GO – ширина нижньої щелепи, або ширина між кутами нижньої щелеп;

TR_N – висота лоба, це пряма відстань між точками тріхіон і назіон;

TR_GN – фізіологічна довжина обличчя, це відстань від тріхіона (лінія росту волосся) до гнатіон;

N_PRN – довжина носа, це відстань між назіон та проназіон;

N_SN – висота носа, це відстань між верхньоносовою і підносовою точками;

SN_PRN – глибина носа, це відстань між підносовою точкою та проназіон;

N_STO – висота верхньої частини обличчя, це відстань від носової до ротової точок;

N_I – відстань між назіон та міжрізцевою точкою;

N_GN – морфологічна довжина обличчя, це пряма відстань від назіон до

гнатіон;

MF_MF – міжочноямкова ширина (передня міжорбітальна ширина), це прямолінійна відстань між внутрішніми кутами очних ямок;

EK_EK – зовнішньоочна ширина (біорбітальна ширина), це прямий розмір між зовнішніми кутами очних щілин;

AL_AL – ширина основи носа (відстань між алярними точками);

CHI_CHI – ширина ротової щілини;

RGO_GN – довжина тіла нижньої щелепи справа;

LGO_GN – довжина тіла нижньої щелепи зліва;

північ. – північний регіон;

півден. – південний регіон;

центр. – центральний регіон;

захід. – західний регіон;

схід. – східний регіон;

25,0th- 75,0th percentl – процентильний розмах вибірки;

p – достовірність відмінностей між кефалометричними показниками у представників відповідних регіонів, краніотипів, або типів обличчя;

Продовження табл. В.2

1	2	3	4	5	6	7	8	9	10	11	12	13	14	15	16
Середнє	9.38	24.24	14.06	30.56	14.29	>0,05	>0,05	<0,05	>0,05	>0,05	>0,05	>0,05	=0,051	>0,05	>0,05
Вузьке	25.00	36.36	28.13	16.67	25.71	>0,05	>0,05	>0,05	>0,05	>0,05	=0,067	>0,05	>0,05	>0,05	>0,05
Дуже вузьке	56.25	30.30	45.31	44.44	48.57	<0,05	>0,05	>0,05	>0,05	>0,05	>0,05	>0,05	>0,05	>0,05	>0,05
$r_{дш-ш}$	>0,05	>0,05	<0,05	>0,05	<0,05										
$r_{дш-с}$	>0,05	<0,05	<0,01	<0,01	<0,05										
$r_{дш-в}$	<0,05	<0,01	<0,001	=0,051	<0,01										
$r_{дш-дв}$	<0,001	<0,01	<0,001	<0,001	<0,001										
$r_{ш-с}$	>0,05	<0,05	>0,05	<0,01	>0,05										
$r_{ш-в}$	<0,05	<0,01	<0,05	>0,05	>0,05										
$r_{ш-дв}$	<0,001	<0,05	<0,001	<0,001	<0,01										
$r_{с-в}$	>0,05	>0,05	=0,053	>0,05	>0,05										
$r_{с-дв}$	<0,001	>0,05	<0,001	>0,05	<0,01										
$r_{в-дв}$	<0,05	>0,05	<0,05	<0,05	=0,052										

Таблиця В.3

Процентильний розмах кефалометричних показників у практично здорових чоловіків із різних регіонів України (см).

Показники	Регіони України									
	північний		південний		центральний		західний		східний	
	25,0th percentl	75,0th percentl	25,0th percentl	75,0th percentl	25,0th percentl	75,0th percentl	25,0th percentl	75,0th percentl	25,0th percentl	75,0th percentl
1	2	3	4	5	6	7	8	9	10	11
DUG_GOP	55.25	58.25	56.00	58.00	56.00	58.00	56.00	58.00	56.00	59.00
DUG_AUAU	30.00	32.00	31.00	32.00	30.00	32.00	30.00	31.00	30.00	33.00

Продовження табл. В.3

1	2	3	4	5	6	7	8	9	10	11
DUGS_GOP	31.00	33.00	31.00	33.00	31.00	33.00	30.00	33.00	31.00	33.00
G_OP	18.00	19.50	18.00	19.00	18.00	19.00	18.00	19.00	18.00	20.00
EU_EU	15.00	16.00	15.00	15.50	15.00	15.50	15.00	16.00	15.00	16.00
FMT_FMT	12.50	13.25	12.00	13.50	12.00	13.00	12.00	13.25	12.50	13.50
ZY_ZY	13.25	14.00	13.00	14.00	13.00	14.00	13.50	14.50	13.50	14.50
ZM_ZM	10.00	11.00	10.50	11.00	10.00	11.00	10.00	11.00	10.50	11.00
GO_GO	10.00	11.00	10.00	11.00	10.00	11.00	10.00	11.00	10.00	11.00
TR_N	5.550	6.500	5.700	6.700	5.550	6.650	5.750	6.550	5.500	6.500
TR_GN	17.50	18.85	17.80	19.20	17.50	18.95	17.65	19.00	17.80	19.30
N_PRN	3.125	6.050	2.800	6.100	5.200	6.025	2.800	5.825	3.000	6.000
N_SN	3.000	5.975	2.750	5.900	5.025	6.000	2.750	5.725	2.900	6.100
SN_PRN	2.000	2.300	1.800	2.200	2.000	2.300	1.800	2.250	2.000	2.400
N_STO	5.850	7.800	5.400	6.900	5.700	8.100	5.400	6.900	5.400	8.100
N_I	7.800	8.500	7.800	8.400	7.700	8.500	7.750	8.350	8.000	8.800
N_GN	12.45	13.00	12.20	13.00	12.05	13.15	12.15	13.25	12.30	13.40
MF_MF	2.850	3.300	2.800	3.300	2.850	3.200	2.800	3.100	2.800	3.300
EK_EK	9.400	10.00	9.500	10.00	9.500	10.00	9.400	10.05	9.500	10.20
AL_AL	3.300	3.600	3.300	3.600	3.300	3.600	3.300	3.700	3.300	3.600
CHI_CHI	4.750	5.500	4.800	5.400	4.800	5.500	4.850	5.300	4.900	5.400
RGO_GN	10.00	10.45	9.800	10.30	9.850	10.45	9.700	10.35	9.500	10.60
LGO_GN	10.00	10.40	9.800	10.50	9.800	10.50	9.700	10.60	9.800	10.60

Таблиця В.5

Процентильний розмах кефалометричних показників у практично здорових чоловіків різних краніотипів загалом і представників центрального регіону України (см).

Показники	Група	Краніотипи							
		доліхоцефали		мезоцефали		брахіцефали		гіпербрахіцефали	
		25,0th percentl	75,0th percentl	25,0th percentl	75,0th percentl	25,0th percentl	75,0th percentl	25,0th percentl	75,0th percentl
1	2	3	4	5	6	7	8	9	10
DUG_GOP	загалом	56.00	59.50	57.00	59.00	56.00	58.00	56.00	58.00
	центр. регіон	56.00	60.00	57.00	58.50	56.00	57.00	55.75	57.75
DUG_AUAU	загалом	31.00	33.00	31.00	32.00	30.00	32.00	30.00	32.00
	центр. регіон	32.00	34.00	31.00	32.00	30.00	32.00	30.00	32.00
DUGS_GOP	загалом	31.00	34.00	31.00	33.00	30.50	33.00	30.00	32.50
	центр. регіон	31.50	33.25	30.00	33.00	30.00	32.50	30.00	32.00
G_OP	загалом	19.50	20.00	19.00	19.50	18.00	19.00	17.50	18.00
	центр. регіон	19.50	20.00	19.00	19.75	18.00	18.50	17.75	18.25
EU_EU	загалом	14.00	15.00	15.00	15.50	15.00	15.50	15.50	16.00
	центр. регіон	14.00	15.00	15.00	15.25	15.00	15.50	15.25	16.00
FMT_FMT	загалом	12.00	13.00	12.00	13.00	12.00	13.50	12.50	14.00
	центр. регіон	12.00	13.00	12.25	13.00	12.00	13.50	12.25	13.25
ZY_ZY	загалом	13.00	14.00	13.00	14.00	13.50	14.00	13.50	14.50
	центр. регіон	13.00	14.00	13.00	14.00	13.00	14.00	13.25	14.00
ZM_ZM	загалом	10.00	10.50	10.00	11.00	10.00	11.50	10.50	11.90
	центр. регіон	10.00	11.00	10.20	11.25	10.20	11.50	10.50	12.00

Продовження табл. В.5

1	2	3	4	5	6	7	8	9	10
GO_GO	загалом	10.00	11.00	10.00	11.00	10.00	11.00	10.00	11.00
	центр. регіон	10.00	11.00	10.00	11.00	10.00	11.00	10.00	11.00
TR_N	загалом	5.700	6.800	5.700	6.700	5.600	6.500	5.500	6.500
	центр. регіон	5.800	6.800	5.500	6.600	5.600	6.600	5.400	6.400
TR_GN	загалом	17.80	19.20	17.60	19.10	17.50	19.00	17.50	18.80
	центр. регіон	18.60	19.10	17.50	19.00	17.30	18.40	17.00	18.40
N_PRN	загалом	5.900	6.250	5.400	6.100	5.300	5.875	5.100	5.850
	центр. регіон	5.950	6.250	5.400	5.950	5.300	5.950	5.275	5.675
N_SN	загалом	5.300	6.250	5.200	6.000	5.100	5.800	5.000	5.750
	центр. регіон	5.600	6.250	5.150	5.900	5.100	6.100	4.475	5.625
SN_PRN	загалом	2.000	2.400	2.000	2.300	1.950	2.200	1.900	2.200
	центр. регіон	2.000	2.500	2.000	2.300	2.000	2.200	1.900	2.100
N_STO	загалом	6.000	8.100	5.400	7.500	5.400	7.200	5.400	7.500
	центр. регіон	7.200	8.400	5.550	8.250	5.700	7.800	5.400	7.500
N_I	загалом	8.000	8.500	7.800	8.500	7.800	8.400	7.700	8.400
	центр. регіон	8.000	8.800	7.750	8.600	7.700	8.500	7.500	8.450
N_GN	загалом	12.20	13.30	12.40	13.30	12.20	13.20	12.20	12.80
	центр. регіон	12.20	13.50	12.50	13.40	12.00	13.00	11.90	12.90
MF_MF	загалом	2.700	3.100	2.800	3.200	2.800	3.300	3.000	3.400
	центр. регіон	2.750	3.100	2.800	3.200	2.900	3.300	3.000	3.200
EK_EK	загалом	9.250	10.00	9.500	10.05	9.500	10.10	9.500	10.30
	центр. регіон	9.250	10.00	9.500	10.10	9.500	10.20	9.600	10.50
AL_AL	загалом	3.200	3.500	3.300	3.500	3.300	3.600	3.350	3.600
	центр. регіон	3.200	3.550	3.200	3.600	3.300	3.600	3.300	3.700

Продовження табл. В.5

1	2	3	4	5	6	7	8	9	10
CHI_CHI	загалом	4.800	5.300	4.800	5.300	4.800	5.400	4.900	5.550
	центр. регіон	4.700	5.350	4.750	5.550	4.800	5.500	4.850	5.600
RGO_GN	загалом	9.700	10.40	9.800	10.40	9.800	10.50	10.00	10.60
	центр. регіон	9.700	10.40	9.800	10.40	10.00	10.55	10.00	10.90
LGO_GN	загалом	9.800	10.40	9.800	10.45	10.00	10.50	10.00	10.70
	центр. регіон	9.650	10.40	9.700	10.50	9.800	10.50	10.00	10.80

Таблиця В.6

Відмінності кефалометричних показників у практично здорових чоловіків різних краніотипів загалом і представників центрального регіону України (см, $M \pm \sigma$).

Показники	Група	Краніотипи				р ₃₋₄	р ₃₋₅	р ₃₋₆	р ₄₋₅	р ₄₋₆	р ₅₋₆
		доліхоцефали	мезоцефали	брахіцефали	гіпербрахіцефали						
1	2	3	4	5	6	7	8	9	10	11	12
DUG_GOP	загалом	57.80±1.92	57.69±1.34	56.92±1.76	56.80±1.43	>0,05	<0,05	<0,05	<0,01	<0,01	>0,05
	центр. регіон	58.32±1.87	57.78±1.41	56.54±1.31	56.67±1.34	>0,05	<0,05	<0,05	<0,01	=0,057	>0,05
DUG_AUAU	загалом	32.06±1.77	31.35±1.16	31.13±1.62	31.07±1.35	<0,05	<0,01	<0,05	>0,05	>0,05	>0,05
	центр. регіон	32.68±1.45	31.13±1.31	30.84±1.14	30.92±1.00	<0,05	<0,01	<0,01	>0,05	>0,05	>0,05
DUGS_GOP	загалом	32.44±1.51	32.02±1.45	31.66±1.93	31.54±1.68	>0,05	>0,05	>0,05	<0,01	<0,05	>0,05
	центр. регіон	32.34±1.47	32.08±1.19	31.82±1.76	31.75±1.40	>0,05	>0,05	>0,05	>0,05	>0,05	>0,05
G_OP	загалом	19.79±0.74	19.22±0.55	18.40±0.59	17.85±1.05	<0,001	<0,001	<0,001	<0,001	<0,001	<0,001
	центр. регіон	19.82±0.78	19.25±0.55	18.20±0.46	18.04±0.45	<0,05	<0,001	<0,001	<0,001	<0,001	>0,05

Продовження табл. В.6

1	2	3	4	5	6	7	8	9	10	11	12
N_GN	загалом	12.78±0.70	12.81±0.72	12.64±0.71	12.51±0.63	>0,05	>0,05	>0,05	>0,05	<0,05	>0,05
	центр. регіон	12.94±0.73	12.89±0.74	12.48±0.80	12.38±0.62	>0,05	>0,05	=0,069	>0,05	=0,070	>0,05
MF_MF	загалом	2.985±0.262	3.021±0.312	3.019±0.357	3.118±0.280	>0,05	>0,05	>0,05	=0,070	<0,05	>0,05
	центр. регіон	2.908±0.247	3.040±0.268	3.109±0.308	3.131±0.196	>0,05	>0,05	>0,05	>0,05	<0,05	>0,05
EK_EK	загалом	9.690±0.579	9.754±0.412	9.777±0.482	9.915±0.637	>0,05	>0,05	>0,05	>0,05	>0,05	>0,05
	центр. регіон	9.608±0.480	9.780±0.427	9.838±0.322	9.836±0.679	>0,05	>0,05	>0,05	>0,05	>0,05	>0,05
AL_AL	загалом	3.427±0.241	3.443±0.247	3.469±0.222	3.506±0.263	>0,05	>0,05	>0,05	>0,05	>0,05	>0,05
	центр. регіон	3.456±0.273	3.464±0.274	3.475±0.218	3.509±0.226	>0,05	>0,05	>0,05	>0,05	>0,05	>0,05
CHI_CHI	загалом	5.063±0.432	5.134±0.424	5.146±0.408	5.185±0.375	>0,05	>0,05	>0,05	>0,05	>0,05	>0,05
	центр. регіон	5.069±0.366	5.076±0.508	5.142±0.436	5.209±0.401	>0,05	>0,05	>0,05	>0,05	>0,05	>0,05
RGO_GN	загалом	10.09±0.53	10.12±0.61	10.16±0.46	10.25±0.55	>0,05	>0,05	>0,05	>0,05	>0,05	>0,05
	центр. регіон	10.16±0.58	10.18±0.54	10.22±0.52	10.29±0.51	>0,05	>0,05	>0,05	>0,05	>0,05	>0,05
LGO_GN	загалом	10.13±0.52	10.14±0.57	10.18±0.49	10.29±0.54	>0,05	>0,05	>0,05	>0,05	>0,05	>0,05
	центр. регіон	10.15±0.60	10.16±0.62	10.18±0.58	10.31±0.43	>0,05	>0,05	>0,05	>0,05	>0,05	>0,05

Таблиця В.7

Процентильний розмах кефалометричних показників у практично здорових чоловіків із різними типами обличчя загалом і представників центрального регіону України (см).

Показники	Група	Тип обличчя							
		широке		середнє		вузьке		дуже вузьке	
		25,0th percentl	75,0th percentl	25,0th percentl	75,0th percentl	25,0th percentl	75,0th percentl	25,0th percentl	75,0th percentl
1	2	3	4	5	6	7	8	9	10

Продовження табл. В.7

1	2	3	4	5	6	7	8	9	10
DUG_GOP	загалом	55,8	59,0	56,0	58,0	56,0	58,0	56,0	58,0
	центр. регіон	56,0	59,0	55,5	60,0	56,0	58,0	56,0	58,0
DUG_AUAU	загалом	30,0	32,5	30,0	32,0	30,0	33,0	30,0	32,0
	центр. регіон	31,0	32,0	30,0	33,0	30,0	32,0	30,0	32,0
DUGS_GOP	загалом	31,0	33,0	31,0	33,0	31,0	33,0	30,0	32,0
	центр. регіон	31,0	33,0	31,0	33,0	32,0	33,0	30,0	33,0
G_OP	загалом	18,0	19,3	18,0	19,5	18,0	19,0	18,0	19,0
	центр. регіон	18,0	20,0	18,0	20,0	18,0	19,0	18,0	19,0
EU_EU	загалом	15,0	16,0	15,0	15,8	15,0	15,5	14,8	15,0
	центр. регіон	15,0	16,0	15,0	15,8	15,0	15,5	14,8	15,0
FMT_FMT	загалом	12,5	14,0	12,4	13,5	12,0	13,5	12,0	13,0
	центр. регіон	12,5	14,0	12,4	13,5	12,0	13,5	12,0	13,0
ZM_ZM	загалом	13,5	14,5	13,5	14,0	13,5	14,0	11,0	13,0
	центр. регіон	13,5	14,5	13,5	14,0	13,0	14,0	11,0	13,5
ZY_ZY	загалом	12,0	14,0	11,0	12,0	10,5	11,0	10,0	11,0
	центр. регіон	11,0	13,5	11,0	12,5	10,0	11,5	10,0	11,5
GO_GO	загалом	10,5	12,0	10,5	11,0	10,0	11,0	10,0	11,0
	центр. регіон	10,5	12,0	10,5	11,0	10,0	11,0	10,0	11,0
TR_N	загалом	5,5	6,4	5,5	6,5	6,0	6,6	6,0	6,8
	центр. регіон	5,7	6,4	5,7	6,5	5,8	6,8	5,8	7,2
TR_GN	загалом	17,1	18,7	17,5	18,7	18,0	19,2	17,9	19,4
	центр. регіон	17,1	18,7	17,5	18,8	17,5	19,1	17,6	19,3
N_PRN	загалом	5,5	10,3	8,2	12,0	9,5	12,3	10,8	12,4
	центр. регіон	5,6	11,0	10,6	12,0	11,0	12,3	11,2	12,5

Продовження табл. В.7

1	2	3	4	5	6	7	8	9	10
N_SN	загалом	5,3	10,4	6,0	11,9	6,1	12,2	10,8	12,4
	центр. регіон	5,3	10,9	11,0	12,1	10,3	12,5	11,0	12,2
SN_PRN	загалом	1,8	2,2	2,0	2,3	2,0	2,3	2,0	2,4
	центр. регіон	1,9	2,2	2,0	2,4	2,1	2,5	2,0	2,5
N_STO	загалом	1,7	2,0	1,9	2,4	2,1	2,6	2,0	2,9
	центр. регіон	1,7	2,1	2,0	2,7	1,8	2,6	2,4	3,0
N_I	загалом	7,6	8,3	7,7	8,4	7,8	8,5	7,8	8,6
	центр. регіон	7,5	8,0	7,5	8,3	7,8	8,5	7,7	8,8
N_GN	загалом	11,8	12,8	12,2	12,5	12,5	13,0	12,3	13,3
	центр. регіон	11,6	12,8	12,1	12,8	12,8	13,5	12,2	13,2
MF_MF	загалом	3,0	3,3	2,8	3,2	2,6	3,1	2,6	3,0
	центр. регіон	3,0	3,3	2,8	3,2	2,6	3,1	2,6	3,0
EK_EK	загалом	9,5	10,2	9,4	10,2	9,3	10,2	9,3	10,0
	центр. регіон	9,6	10,2	9,4	10,0	9,3	10,0	9,1	10,0
AL_AL	загалом	3,3	3,6	3,3	3,6	3,3	3,6	3,3	3,6
	центр. регіон	3,2	3,7	3,3	3,7	3,2	3,7	3,3	3,6
CHI_CHI	загалом	5,0	5,5	4,9	5,4	4,8	5,3	4,7	5,2
	центр. регіон	5,0	5,5	4,9	5,4	4,8	5,3	4,7	5,2
RGO_GN	загалом	10,0	10,6	10,0	10,4	9,8	10,3	9,7	10,2
	центр. регіон	10,0	10,6	10,0	10,4	9,7	10,3	9,7	10,2
LGO_GN	загалом	10,0	10,5	9,9	10,4	9,8	10,4	9,7	10,3
	центр. регіон	9,8	10,5	9,7	10,0	9,6	10,0	9,6	9,9

Таблиця В.8

Відмінності кефалометричних показників у практично здорових чоловіків із різними типами обличчя загалом і представників центрального регіону України (см, М±σ).

Показники	Група	Тип обличчя				р ₃₋₄	р ₃₋₅	р ₃₋₆	р ₄₋₅	р ₄₋₆	р ₅₋₆
		широке	середнє	вузьке	дуже вузьке						
1	2	3	4	5	6	7	8	9	10	11	12
DUG_GOP	загалом	57,17±1,99	57,20±1,71	56,58±1,75	57,20±1,53	>0,05	>0,05	>0,05	>0,05	>0,05	>0,05
	центр. регіон	57,40±2,26	57,55±2,11	57,14±1,28	56,93±1,18	>0,05	>0,05	>0,05	>0,05	>0,05	>0,05
DUG_AUAU	загалом	31,31±1,40	31,11±1,16	31,30±1,90	31,40±1,71	>0,05	>0,05	>0,05	>0,05	>0,05	>0,05
	центр. регіон	31,50±1,43	31,65±1,56	30,93±1,27	31,13±1,68	>0,05	>0,05	>0,05	>0,05	>0,05	>0,05
DUGS_GOP	загалом	32,27±1,59	31,95±1,48	31,66±1,90	31,19±1,68	>0,05	>0,05	<0,01	>0,05	<0,05	>0,05
	центр. регіон	32,40±1,35	31,80±1,55	32,32±1,03	31,67±1,80	>0,05	>0,05	>0,05	>0,05	>0,05	>0,05
G_OP	загалом	18,55±1,42	18,85±0,89	18,53±0,96	18,61±0,71	>0,05	>0,05	>0,05	>0,05	>0,05	>0,05
	центр. регіон	18,75±1,09	19,00±1,08	18,64±0,79	18,57±0,73	>0,05	>0,05	>0,05	>0,05	>0,05	>0,05
EU_EU	загалом	15,48±1,24	15,34±1,05	15,30±0,53	15,25±0,66	>0,05	>0,05	>0,05	>0,05	>0,05	>0,05
	центр. регіон	15,55±1,64	15,17±1,36	15,11±0,35	15,05±0,60	>0,05	>0,05	>0,05	>0,05	>0,05	>0,05
FMT_FMT	загалом	13,26±1,17	13,08±1,03	12,81±0,91	12,72±0,69	>0,05	<0,05	>0,05	>0,05	>0,05	=0,061
	центр. регіон	13,18±0,93	12,83±0,82	12,60±0,77	12,60±0,39	>0,05	>0,05	>0,05	>0,05	>0,05	>0,05
ZM_ZM	загалом	14,03±1,13	13,91±0,52	13,55±0,66	12,11±1,65	<0,05	<0,05	<0,001	>0,05	<0,001	<0,001
	центр. регіон	13,89±0,74	13,75±0,42	13,65±0,71	12,70±1,52	>0,05	>0,05	>0,05	>0,05	>0,05	<0,05
ZY_ZY	загалом	13,07±1,27	11,08±0,49	10,98±0,46	10,43±0,47	<0,001	<0,001	<0,001	>0,05	<0,001	<0,001
	центр. регіон	12,40±1,35	11,15±0,63	11,11±0,66	10,45±0,44	<0,05	<0,01	<0,001	>0,05	<0,05	<0,01
GO_GO	загалом	10,80±0,52	10,68±0,68	10,61±0,56	10,55±0,60	>0,05	>0,05	>0,05	>0,05	=0,065	>0,05
	центр. регіон	10,84±0,48	10,71±0,61	10,40±0,66	10,33±0,67	>0,05	>0,05	>0,05	>0,05	=0,057	>0,05

Додаток Г

Одонтометричні показники у чоловіків із різних регіонів України та з різною формою голови й різними типами обличчя.

В таблицях додатку:

північ. – північний регіон;

півден. – південний регіон;

центр. – центральний регіон;

захід. – західний регіон;

схід. – східний регіон;

15- – верхній правий другий малий кутній зуб;

14- – верхній правий перший малий кутній зуб;

24- – верхній лівий перший малий кутній зуб;

25- – верхній лівий другий малий кутній зуб;

35- – нижній лівий другий малий кутній зуб;

34- – нижній лівий перший малий кутній зуб;

44- – нижній правий перший малий кутній зуб;

45- – нижній правий другий малий кутній зуб;

HZ – висота відповідного зуба;

HRZ1 – довжина піднебінного кореня;

HRZ2 – довжина щічного кореня;

HRZ – довжина кореня;

HKZ – висота коронки;

MD_K – мезіо-дистальний розмір коронки;

MD_S – мезіо-дистальний розмір шийки;

VO_K – присінково-язиковий розмір коронки;

VO_S – присінково-язиковий розмір шийки;

25,0th- 75,0th percentl – процентильний розмах вибірки;

p – достовірність відмінностей між одонтометричними показниками у представників відповідних регіонів, краніотипів, або типів обличчя.

Таблиця Г.1

Процентильний розмах одонтометричних показників малих кутніх зубів у практично здорових чоловіків із різних регіонів України (мм).

Показники	Регіони України									
	північний		південний		центральний		західний		східний	
	25,0th percentl	75,0th percentl	25,0th percentl	75,0th percentl	25,0th percentl	75,0th percentl	25,0th percentl	75,0th percentl	25,0th percentl	75,0th percentl
1	2	3	4	5	6	7	8	9	10	11
15-HZ	20,19	22,70	19,27	21,75	19,41	22,59	19,40	22,48	19,96	22,50
15-HRZ1	13,63	15,18	12,68	15,10	12,80	15,56	12,84	15,32	12,86	15,15
15-HRZ2	11,69	14,90	12,28	14,42	11,00	14,42	11,60	13,89	12,51	14,66
15-HKZ	6,35	7,37	6,28	7,08	5,84	7,43	5,97	7,40	6,00	7,50
15-MD_K	6,34	6,90	6,15	6,74	6,15	6,75	6,14	6,85	6,37	6,71
15-MD_S	4,83	5,25	4,75	5,42	4,65	5,33	4,75	5,32	4,76	5,31
15-VO_K	8,73	9,88	8,55	9,56	8,28	9,79	7,91	9,59	8,72	9,66
15-VO_S	7,99	9,17	7,45	8,88	7,62	9,10	6,35	8,88	7,62	8,73
14-HZ	20,13	21,81	19,85	21,40	20,02	21,85	20,28	22,35	20,20	22,12
14-HRZ1	12,58	14,24	12,10	14,70	12,51	14,29	12,97	14,86	12,50	14,91
14-VRZ2	11,78	13,86	12,11	14,53	11,85	14,01	12,63	14,42	12,17	14,70
14-HKZ	6,93	7,78	6,50	7,44	6,50	8,05	6,51	7,78	6,40	7,80
14-MD_K	6,38	7,18	6,35	6,81	6,18	6,98	6,01	6,89	6,13	6,85
14-MD_S	4,76	5,23	4,82	5,20	4,75	5,23	4,87	5,28	4,75	5,25
14-VO_K	9,13	9,91	8,60	9,50	8,89	9,87	8,57	9,68	8,63	9,59
14-VO_S	8,39	9,21	7,90	8,75	8,10	9,00	8,14	8,87	7,88	8,75
24-HZ	20,59	22,48	19,34	21,88	19,99	22,16	20,23	22,29	20,23	22,25

Продовження табл. Г.1

1	2	3	4	5	6	7	8	9	10	11
24-HRZ1	13,13	14,60	11,56	14,64	12,39	14,75	12,63	14,99	12,84	14,73
24-VRZ2	12,65	14,45	11,69	14,06	12,03	14,00	12,74	14,38	12,13	14,63
24-HKZ	7,21	8,28	6,35	7,60	6,49	8,04	6,53	7,73	6,52	7,90
24-MD_K	6,16	7,10	6,23	6,82	6,24	6,90	6,14	6,89	6,21	6,88
24-MD_S	4,85	5,20	4,82	5,20	4,74	5,22	4,86	5,37	4,75	5,25
24-VO_K	9,10	10,05	8,57	9,49	8,85	9,90	8,50	9,65	8,60	9,50
24-VO_S	8,33	9,20	7,84	8,89	8,02	9,07	8,02	8,91	7,85	8,63
25-HZ	20,12	22,86	19,44	22,50	20,01	22,68	19,68	22,30	20,00	22,90
25-HRZ1	13,41	15,45	13,09	15,10	12,75	15,42	12,77	15,50	13,02	15,13
25-HRZ2	11,64	14,05	12,13	15,42	12,48	13,97	12,23	13,80	12,63	13,90
25-HKZ	6,20	7,44	6,15	7,18	5,87	7,81	5,73	7,58	6,10	8,00
25-MD_K	6,30	6,87	6,08	6,71	6,10	6,84	6,07	6,83	6,35	6,76
25-MD_S	4,85	5,25	4,75	5,25	4,70	5,25	4,82	5,44	4,85	5,35
25-VO_K	9,01	9,76	8,52	9,51	8,22	9,80	7,87	9,60	8,67	9,66
25-VO_S	8,35	9,19	7,45	8,82	7,26	9,02	6,36	8,89	7,58	8,84
35-HZ	21,31	24,56	21,24	23,60	21,93	24,53	22,15	24,20	21,90	24,85
35-HRZ	14,10	17,70	14,20	17,30	14,55	17,42	14,78	17,31	14,55	17,75
35-HKZ	6,73	7,73	6,20	7,01	6,62	7,60	6,51	7,81	6,45	7,62
35-MD_K	6,82	7,49	6,81	7,38	6,52	7,38	6,64	7,64	6,47	7,39
35-MD_S	5,34	5,67	5,35	5,88	5,35	5,75	5,33	5,76	5,27	5,75
35-VO_K	8,26	8,88	7,85	8,63	7,75	8,87	7,60	8,84	7,80	8,77
35-VO_S	7,50	8,21	7,33	7,90	7,11	8,00	7,24	7,89	7,08	7,92
34-HZ	21,89	24,10	22,00	23,60	21,99	24,40	22,06	23,74	21,85	23,74

Продовження табл. Г.1

1	2	3	4	5	6	7	8	9	10	11
34-HRZ	14,69	16,70	14,53	16,53	14,69	16,82	14,42	16,56	14,45	16,04
34-HKZ	7,05	8,00	6,88	7,73	7,21	8,01	7,20	7,94	6,75	8,15
34-MD_K	6,47	7,28	6,38	7,30	6,37	7,25	6,35	7,38	6,37	7,17
34-MD_S	5,07	5,68	5,02	5,78	5,15	5,71	5,13	5,92	5,25	5,75
34-VO_K	7,68	8,65	7,22	8,33	7,15	8,33	7,20	8,08	7,17	8,00
34-VO_S	7,01	7,56	6,70	7,52	6,58	7,58	6,57	7,41	6,60	7,49
44-HZ	21,97	24,07	22,00	23,51	21,61	24,29	21,44	23,72	21,82	23,74
44-HRZ	14,61	15,68	14,50	16,36	14,38	16,77	14,34	16,14	14,51	15,85
44-HKZ	7,04	8,16	6,85	7,63	7,12	8,12	7,32	8,11	7,18	8,09
44-MD_K	6,45	7,16	6,35	7,25	6,37	7,17	6,23	7,38	6,30	7,10
44-MD_S	5,12	5,66	5,05	5,75	5,13	5,73	5,16	5,85	5,19	5,63
44-VO_K	7,66	8,45	7,24	8,31	7,23	8,30	7,34	8,25	7,27	8,09
44-VO_S	6,98	7,55	6,69	7,51	6,58	7,36	6,48	7,42	6,49	7,55
45-HZ	21,57	24,47	21,27	23,51	21,81	24,16	21,86	23,88	21,90	24,45
45-HRZ	13,99	17,40	14,23	17,15	14,49	16,91	14,92	16,74	14,50	16,98
45-HKZ	6,77	7,76	6,25	7,00	6,71	7,55	6,48	7,68	6,60	7,47
45-MD_K	6,82	7,38	6,82	7,34	6,75	7,43	6,84	7,53	6,37	7,32
45-MD_S	5,27	5,73	5,31	5,84	5,28	5,73	5,26	5,77	5,25	5,76
45-VO_K	8,10	8,80	7,80	8,70	7,77	8,85	7,66	8,91	7,73	8,70
45-VO_S	7,42	8,15	7,30	7,80	7,20	7,96	7,12	7,75	6,93	7,81

Таблиця Г.2

Відмінності одонтометричних показників малих кутніх зубів у практично здорових чоловіків із різних регіонів України (мм, $M \pm \sigma$).

Показники	Регіони України					p ₂₋₃	p ₂₋₄	p ₂₋₅	p ₂₋₆	p ₃₋₄	p ₃₋₅	p ₃₋₆	p ₄₋₅	p ₄₋₆	p ₅₋₆
	північ.	півден.	центр.	захід.	схід.										
1	2	3	4	5	6	7	8	9	10	11	12	13	14	15	16
15-HZ	21,08± 1,92	20,54± 2,08	20,95± 1,96	20,87± 1,81	21,01± 1,77	>0,05	>0,05	>0,05	>0,05	>0,05	>0,05	>0,05	>0,05	>0,05	>0,05
15-HRZ1	14,23± 1,76	14,07± 2,01	14,08± 1,81	14,16± 1,83	13,91± 1,57	>0,05	>0,05	>0,05	>0,05	>0,05	>0,05	>0,05	>0,05	>0,05	>0,05
15-HRZ2	12,90± 2,59	13,10± 2,62	12,54± 2,65	12,33± 2,49	13,23± 1,86	>0,05	>0,05	>0,05	>0,05	>0,05	>0,05	>0,05	>0,05	>0,05	>0,05
15-HKZ	6,834± 1,085	6,438± 0,905	6,722± 1,123	6,704± 1,173	6,905± 1,197	<0,05	>0,05	>0,05	>0,05	=0,068	>0,05	=0,056	>0,05	>0,05	>0,05
15-MD_K	6,583± 0,369	6,458± 0,409	6,426± 0,508	6,521± 0,493	6,537± 0,413	>0,05	>0,05	>0,05	>0,05	>0,05	>0,05	>0,05	>0,05	>0,05	>0,05
15-MD_S	5,045± 0,346	5,069± 0,378	5,015± 0,570	5,075± 0,441	5,114± 0,410	>0,05	>0,05	>0,05	>0,05	>0,05	>0,05	>0,05	>0,05	>0,05	>0,05
15-VO_K	9,104± 1,151	8,720± 1,215	8,957± 1,180	8,772± 1,196	8,983± 1,090	>0,05	>0,05	>0,05	>0,05	>0,05	>0,05	>0,05	>0,05	>0,05	>0,05
15-VO_S	8,146± 1,498	7,759± 1,550	8,085± 1,467	7,810± 1,545	8,011± 1,264	>0,05	>0,05	>0,05	>0,05	>0,05	>0,05	>0,05	>0,05	>0,05	>0,05
14-HZ	20,94± 1,60	20,68± 1,32	21,01± 1,61	21,24± 1,23	20,98± 1,90	>0,05	>0,05	>0,05	>0,05	>0,05	>0,05	>0,05	>0,05	>0,05	>0,05
14-HRZ1	13,41± 1,24	13,42± 1,61	13,39± 1,32	13,68± 1,22	13,54± 1,72	>0,05	>0,05	>0,05	>0,05	>0,05	>0,05	>0,05	>0,05	>0,05	>0,05
14-VRZ2	13,03± 1,51	13,11± 1,41	12,71± 2,16	13,32± 1,80	13,19± 2,19	>0,05	>0,05	>0,05	>0,05	>0,05	>0,05	>0,05	=0,072	>0,05	>0,05

Продовження табл. Г.2

1	2	3	4	5	6	7	8	9	10	11	12	13	14	15	16
45-HZ	23,14± 2,23	22,26± 1,84	22,84± 1,78	23,05± 1,78	23,01± 1,93	>0,05	>0,05	>0,05	>0,05	>0,05	>0,05	>0,05	>0,05	>0,05	>0,05
45-HRZ	15,77± 2,02	15,47± 1,96	15,74± 1,81	15,93± 1,74	15,91± 1,85	>0,05	>0,05	>0,05	>0,05	>0,05	>0,05	>0,05	>0,05	>0,05	>0,05
45-HKZ	7,362± 0,876	6,744± 0,741	7,052± 0,843	7,184± 0,891	7,138± 0,807	<0,01	>0,05	>0,05	>0,05	<0,01	<0,05	<0,05	>0,05	>0,05	>0,05
45-MD_K	7,037± 0,558	7,090± 0,496	6,999± 0,591	7,157± 0,571	6,927± 0,677	>0,05	>0,05	>0,05	>0,05	>0,05	>0,05	>0,05	>0,05	>0,05	>0,05
45-MD_S	5,478± 0,387	5,592± 0,422	5,484± 0,481	5,556± 0,408	5,593± 0,533	>0,05	>0,05	>0,05	>0,05	>0,05	>0,05	>0,05	>0,05	>0,05	>0,05
45-VO_K	8,491± 0,473	8,269± 0,472	8,256± 0,754	8,208± 0,786	8,202± 0,688	>0,05	>0,05	>0,05	<0,05	>0,05	>0,05	>0,05	>0,05	>0,05	>0,05
45-VO_S	7,775± 0,537	7,593± 0,467	7,355± 1,066	7,294± 0,942	7,344± 0,838	>0,05	>0,05	>0,05	<0,05	>0,05	>0,05	>0,05	>0,05	>0,05	>0,05

Таблиця Г.3

Процентильний розмах одонтометричних показників малих кутніх зубів у практично здорових чоловіків різних краніотипів (мм).

Показники	Краніютипи							
	доліхоцефали		мезоцефали		брахіцефали		гіпербрахіцефали	
	25,0th percentl	75,0th percentl	25,0th percentl	75,0th percentl	25,0th percentl	75,0th percentl	25,0th percentl	75,0th percentl
1	2	3	4	5	6	7	8	9
15-HZ	19,01	22,01	19,39	22,70	19,61	22,50	19,93	21,88
15-HRZ1	12,66	15,41	12,75	15,08	12,99	15,39	12,85	14,75

Продовження табл. Г.3

1	2	3	4	5	6	7	8	9
15-HRZ2	8,28	14,42	11,69	14,70	9,71	14,16	12,48	13,84
15-HKZ	5,55	7,25	6,00	7,30	6,11	7,40	6,62	7,33
15-MD_K	5,85	6,85	6,13	6,67	6,25	6,79	6,20	6,75
15-MD_S	4,60	5,39	4,73	5,25	4,76	5,37	4,83	5,25
15-VO_K	7,65	9,50	8,60	9,70	8,47	9,77	8,90	9,63
15-VO_S	5,90	8,70	7,75	8,88	7,63	9,05	8,15	9,17
14-HZ	19,73	21,21	19,79	22,00	20,05	21,99	20,50	22,39
14-HRZ1	11,58	14,25	12,64	14,61	12,63	14,63	12,88	14,81
14-VRZ2	11,85	14,01	12,00	14,39	11,98	14,40	12,64	14,42
14-HKZ	6,48	7,55	6,48	7,72	6,50	8,00	6,71	7,88
14-MD_K	5,85	6,76	6,11	6,85	6,32	7,05	6,25	6,80
14-MD_S	4,70	5,25	4,65	5,13	4,85	5,31	4,80	5,15
14-VO_K	8,42	9,53	8,67	9,60	8,72	9,93	8,73	9,67
14-VO_S	7,70	8,75	8,03	8,68	8,15	9,12	8,26	9,00
24-HZ	19,75	22,00	19,79	22,38	20,16	22,11	20,41	22,48
24-HRZ1	11,90	14,25	12,63	14,73	12,47	14,63	12,88	14,87
24-VRZ2	12,21	13,97	12,13	14,23	12,48	14,02	12,64	14,33
24-HKZ	6,20	7,60	6,50	8,00	6,58	8,09	6,90	7,80
24-MD_K	6,09	6,95	6,12	6,82	6,28	6,97	6,30	6,88
24-MD_S	4,68	5,24	4,73	5,12	4,85	5,28	4,90	5,23
24-VO_K	8,44	9,50	8,62	9,62	8,78	9,96	8,80	9,60
24-VO_S	7,74	8,75	7,95	8,97	8,02	9,15	8,24	9,00
25-HZ	19,98	23,22	19,82	23,00	19,76	22,61	20,05	22,25
25-HRZ1	12,93	15,88	12,75	15,10	13,02	15,48	12,81	15,01

Продовження табл. Г.3

1	2	3	4	5	6	7	8	9
25-HRZ2	12,70	14,87	11,64	14,12	10,77	14,00	12,30	13,74
25-HKZ	5,70	7,76	6,03	7,70	6,12	7,61	6,42	7,47
25-MD_K	5,98	6,88	6,13	6,75	6,18	6,83	6,19	6,75
25-MD_S	4,84	5,32	4,70	5,25	4,79	5,26	4,85	5,43
25-VO_K	7,60	9,64	8,57	9,67	8,40	9,69	8,92	9,77
25-VO_S	5,80	8,69	7,70	8,92	7,73	9,01	8,10	9,06
35-HZ	22,15	23,90	21,50	24,50	22,01	24,50	21,80	23,87
35-HRZ	14,60	17,43	14,26	17,75	14,64	17,55	14,76	17,12
35-HKZ	6,28	7,65	6,40	7,47	6,60	7,60	6,57	7,80
35-MD_K	6,47	7,44	6,60	7,30	6,79	7,55	6,90	7,36
35-MD_S	5,21	5,75	5,25	5,70	5,35	5,80	5,35	5,75
35-VO_K	7,60	8,50	7,79	8,84	7,87	8,93	7,84	8,75
35-VO_S	6,80	7,94	7,20	7,92	7,32	8,00	7,42	7,88
34-HZ	21,96	24,15	21,75	24,08	21,97	24,25	22,28	23,51
34-HRZ	14,96	16,68	14,42	16,70	14,85	16,70	14,42	15,92
34-HKZ	6,63	7,97	7,00	7,94	7,09	7,97	7,19	8,09
34-MD_K	6,34	7,18	6,33	7,13	6,39	7,38	6,50	7,18
34-MD_S	5,13	5,64	4,95	5,57	5,15	5,87	5,18	5,70
34-VO_K	6,98	8,00	7,09	8,20	7,33	8,55	7,40	8,18
34-VO_S	6,35	7,33	6,60	7,40	6,67	7,69	6,92	7,38
44-HZ	21,46	24,02	21,60	24,10	21,61	24,11	22,28	23,32
44-HRZ	14,78	16,30	14,30	16,70	14,56	16,55	14,46	15,89
44-HKZ	7,01	7,85	7,05	8,00	7,06	8,01	7,32	8,23
44-MD_K	6,10	7,32	6,25	7,10	6,39	7,35	6,46	7,09

Продовження табл. Г.4

1	2	3	4	5	6	7	8	9	10	11
25-MD_K	6,445±0,582	6,435±0,475	6,515±0,475	6,490±0,422	>0,05	>0,05	>0,05	>0,05	>0,05	>0,05
25-MD_S	4,967±0,489	5,002±0,495	5,102±0,504	5,172±0,610	>0,05	>0,05	>0,05	>0,05	>0,05	>0,05
25-VO_K	8,645±1,181	8,933±1,110	8,861±1,196	8,979±1,140	>0,05	>0,05	>0,05	>0,05	>0,05	>0,05
25-VO_S	7,590±1,636	8,040±1,327	7,999±1,458	8,090±1,500	>0,05	>0,05	>0,05	>0,05	>0,05	>0,05
35-HZ	22,97±1,63	22,83±2,22	23,08±2,01	22,90±1,83	>0,05	>0,05	>0,05	>0,05	>0,05	>0,05
35-HRZ	15,97±1,80	15,77±2,19	15,92±1,97	15,77±1,83	>0,05	>0,05	>0,05	>0,05	>0,05	>0,05
35-HKZ	6,899±0,969	6,924±0,870	7,177±0,793	7,147±0,799	>0,05	>0,05	>0,05	>0,05	>0,05	>0,05
35-MD_K	6,974±0,616	6,928±0,651	7,110±0,603	7,109±0,521	>0,05	>0,05	>0,05	>0,05	>0,05	>0,05
35-MD_S	5,476±0,610	5,510±0,396	5,577±0,386	5,612±0,461	>0,05	>0,05	>0,05	>0,05	>0,05	>0,05
35-VO_K	8,015±0,846	8,304±0,680	8,363±0,753	8,351±0,576	>0,05	<0,05	>0,05	>0,05	>0,05	>0,05
35-VO_S	7,141±1,135	7,487±0,953	7,549±0,856	7,600±0,653	>0,05	>0,05	>0,05	>0,05	>0,05	>0,05
34-HZ	23,20±1,41	22,93±1,69	23,22±1,63	22,93±1,19	>0,05	>0,05	>0,05	>0,05	>0,05	>0,05
34-HRZ	15,71±1,11	15,47±1,46	15,70±1,43	15,28±1,19	>0,05	>0,05	>0,05	>0,05	>0,05	>0,05
34-HKZ	7,389±0,781	7,429±0,819	7,516±0,734	7,667±0,663	>0,05	>0,05	>0,05	>0,05	>0,05	>0,05
34-MD_K	6,723±0,645	6,715±0,559	6,900±0,635	6,814±0,482	>0,05	>0,05	>0,05	>0,05	>0,05	>0,05
34-MD_S	5,313±0,611	5,311±0,622	5,618±0,727	5,493±0,580	>0,05	>0,05	>0,05	<0,01	=0,079	>0,05
34-VO_K	7,542±0,849	7,733±0,656	7,927±0,697	7,871±0,588	>0,05	<0,05	=0,071	>0,05	>0,05	>0,05
34-VO_S	6,706±0,844	6,956±0,703	7,209±0,699	7,147±0,626	>0,05	<0,01	<0,05	<0,05	>0,05	>0,05
44-HZ	22,84±1,71	22,81±1,77	23,02±1,70	22,89±1,14	>0,05	>0,05	>0,05	>0,05	>0,05	>0,05
44-HRZ	15,39±1,46	15,31±1,54	15,51±1,49	15,22±1,07	>0,05	>0,05	>0,05	>0,05	>0,05	>0,05
44-HKZ	7,343±0,771	7,471±0,832	7,536±0,758	7,705±0,750	>0,05	>0,05	>0,05	>0,05	>0,05	>0,05
44-MD_K	6,692±0,672	6,690±0,570	6,847±0,592	6,813±0,483	>0,05	>0,05	>0,05	>0,05	>0,05	>0,05
44-MD_S	5,231±0,618	5,291±0,584	5,523±0,549	5,448±0,477	>0,05	=0,079	>0,05	<0,01	=0,067	>0,05
44-VO_K	7,551±0,825	7,728±0,695	7,937±0,685	7,879±0,626	>0,05	=0,053	>0,05	>0,05	>0,05	>0,05

Продовження табл. Г.4

1	2	3	4	5	6	7	8	9	10	11
44-VO_S	6,643±0,854	6,912±0,690	7,176±0,687	7,096±0,654	>0,05	<0,01	<0,05	<0,05	>0,05	>0,05
45-HZ	22,83±1,73	22,87±2,07	22,91±1,92	22,76±1,81	>0,05	>0,05	>0,05	>0,05	>0,05	>0,05
45-HRZ	15,89±1,80	15,77±2,03	15,84±1,85	15,52±1,71	>0,05	>0,05	>0,05	>0,05	>0,05	>0,05
45-HKZ	6,897±0,934	7,070±0,916	7,088±0,770	7,238±0,862	>0,05	>0,05	>0,05	>0,05	>0,05	>0,05
45-MD_K	6,950±0,611	6,954±0,583	7,110±0,614	7,036±0,495	>0,05	>0,05	>0,05	>0,05	>0,05	>0,05
45-MD_S	5,469±0,644	5,471±0,421	5,592±0,415	5,525±0,424	>0,05	>0,05	>0,05	>0,05	>0,05	>0,05
45-VO_K	8,020±0,761	8,261±0,566	8,350±0,732	8,314±0,567	>0,05	<0,05	=0,080	>0,05	>0,05	>0,05
45-VO_S	7,090±1,097	7,348±0,839	7,551±0,869	7,586±0,640	>0,05	<0,05	>0,05	=0,072	>0,05	>0,05

Таблиця Г.5

Процентильний розмах одонтометричних показників малих кутніх зубів у практично здорових чоловіків із різними типами обличчя (мм).

Показники	Тип обличчя							
	широке		середнє		вузьке		дуже вузьке	
	25,0th percentl	75,0th percentl	25,0th percentl	75,0th percentl	25,0th percentl	75,0th percentl	25,0th percentl	75,0th percentl
1	2	3	4	5	6	7	8	9
15-HZ	19,34	21,65	20,35	22,93	19,39	22,10	19,93	22,00
15-HRZ1	12,52	14,83	13,27	15,94	12,85	14,59	12,86	15,08
15-HRZ2	11,52	14,00	12,53	14,54	12,52	14,30	12,21	14,42
15-HKZ	5,98	7,29	6,77	7,32	6,12	7,48	6,43	7,40
15-MD_K	6,37	6,76	6,34	6,75	6,17	6,85	6,08	6,70

Продовження табл. Г.5

1	2	3	4	5	6	7	8	9
15-MD_S	4,80	5,31	4,73	5,19	4,75	5,30	4,73	5,25
15-VO_K	8,03	9,70	8,52	9,63	8,50	9,67	8,80	9,79
15-VO_S	6,51	9,10	7,73	8,77	7,50	9,00	8,08	9,00
14-HZ	20,18	21,44	20,65	22,60	19,73	21,70	19,85	22,00
14-HRZ1	12,57	14,67	12,77	14,70	12,67	14,50	12,08	14,57
14-VRZ2	11,38	13,80	12,65	14,48	12,10	14,42	11,85	14,53
14-HKZ	6,52	7,89	7,09	7,80	6,55	8,00	6,47	7,50
14-MD_K	6,06	6,89	6,13	7,08	6,40	6,95	6,11	6,95
14-MD_S	4,75	5,34	4,85	5,31	4,75	5,25	4,75	5,11
14-VO_K	8,75	9,85	8,68	9,75	8,73	9,69	8,63	9,75
14-VO_S	8,29	8,88	8,25	8,80	8,10	9,00	8,00	9,03
24-HZ	20,44	21,74	20,58	22,48	19,99	21,88	20,00	22,40
24-HRZ1	12,74	14,61	12,77	14,73	13,10	14,53	12,25	14,70
24-VRZ2	12,50	13,88	12,80	14,44	12,43	14,10	12,40	14,15
24-HKZ	6,77	8,16	7,24	8,05	6,32	7,90	6,47	7,75
24-MD_K	6,25	6,88	6,12	6,98	6,31	7,00	6,15	6,89
24-MD_S	4,74	5,22	4,73	5,32	4,73	5,30	4,80	5,13
24-VO_K	9,02	10,00	8,75	9,86	8,90	9,68	8,60	9,72
24-VO_S	8,30	9,11	8,20	9,02	8,01	9,17	7,95	9,00
25-HZ	19,66	22,41	20,69	23,00	20,00	22,18	19,90	22,48
25-HRZ1	12,61	14,90	13,70	15,40	13,02	15,26	12,75	15,10
25-HRZ2	11,53	13,79	12,70	15,75	12,47	13,78	12,16	14,30
25-HKZ	6,03	7,53	6,52	7,50	6,18	7,86	6,42	7,55
25-MD_K	6,43	6,78	6,23	6,80	6,18	6,85	6,03	6,75

Продовження табл. Г.5

1	2	3	4	5	6	7	8	9
25-MD_S	4,75	5,29	4,85	5,20	4,84	5,20	4,75	5,30
25-VO_K	8,25	9,72	8,64	9,66	8,43	9,70	8,70	9,71
25-VO_S	6,44	8,93	8,10	9,11	7,50	8,92	7,98	9,02
35-HZ	21,99	24,46	21,65	24,40	21,50	24,50	21,69	24,42
35-HRZ	14,79	18,05	14,19	17,43	14,55	17,12	14,20	17,43
35-HKZ	6,63	7,68	6,57	7,57	6,20	7,62	6,57	7,63
35-MD_K	6,77	7,50	6,50	7,43	6,83	7,56	6,73	7,36
35-MD_S	5,28	5,78	5,25	5,71	5,40	5,88	5,21	5,75
35-VO_K	7,77	8,84	7,69	8,85	7,95	8,89	7,80	8,72
35-VO_S	7,32	7,95	7,39	8,07	7,34	7,94	7,30	7,90
34-HZ	21,75	24,45	22,25	23,75	22,00	23,73	21,70	24,13
34-HRZ	14,69	16,69	14,96	15,92	14,42	16,43	14,42	16,63
34-HKZ	7,15	7,77	6,93	7,84	7,10	8,10	7,03	7,94
34-MD_K	6,37	7,13	6,35	7,25	6,40	7,37	6,33	7,25
34-MD_S	5,13	5,77	4,98	5,75	5,20	5,99	5,02	5,71
34-VO_K	7,25	8,67	7,17	8,25	7,30	8,33	7,25	8,35
34-VO_S	6,59	7,58	6,95	7,65	6,60	7,49	6,63	7,52
44-HZ	21,61	24,07	22,20	23,70	21,50	23,51	21,50	23,97
44-HRZ	14,76	16,43	14,76	15,78	14,40	15,59	14,30	16,59
44-HKZ	6,91	7,88	7,19	7,93	7,11	8,22	7,10	7,92
44-MD_K	6,40	7,14	6,20	7,32	6,41	7,36	6,30	7,10
44-MD_S	5,14	5,81	4,99	5,83	5,19	5,75	5,02	5,67
44-VO_K	7,16	8,53	7,37	8,25	7,35	8,38	7,28	8,26
44-VO_S	6,61	7,54	6,82	7,58	6,50	7,35	6,50	7,47

Продовження табл. Г.5

1	2	3	4	5	6	7	8	9
45-HZ	21,80	24,26	21,63	23,98	21,44	23,88	21,59	23,99
45-HRZ	14,54	17,91	14,14	16,73	15,00	16,73	14,50	17,23
45-HKZ	6,63	7,76	6,58	7,40	6,35	7,60	6,50	7,40
45-MD_K	6,73	7,35	6,42	7,38	6,82	7,55	6,80	7,36
45-MD_S	5,22	5,72	5,23	5,76	5,36	5,91	5,31	5,75
45-VO_K	7,79	8,84	7,62	8,83	7,95	8,85	7,78	8,70
45-VO_S	7,19	7,92	7,15	8,09	7,45	8,04	7,31	7,88

Таблиця Г.6

Відмінності одонтометричних показників малих кутніх зубів у практично здорових чоловіків із різними типами обличчя (мм, $M \pm \sigma$).

Показники	Тип обличчя				P ₂₋₃	P ₂₋₄	P ₂₋₅	P ₃₋₄	P ₃₋₅	P ₄₋₅
	широке	середнє	вузьке	дуже вузьке						
1	2	3	4	5	6	7	8	9	10	11
15-HZ	20,69±1,78	21,54±1,72	20,72±2,00	20,86±1,91	<0,05	>0,05	>0,05	=0,080	>0,05	>0,05
15-HRZ1	13,96±1,87	14,66±1,51	13,91±1,85	13,87±1,84	=0,078	>0,05	>0,05	=0,070	=0,051	>0,05
15-HRZ2	12,47±2,30	13,54±1,20	12,66±2,68	12,79±2,41	>0,05	>0,05	>0,05	>0,05	>0,05	>0,05
15-HKZ	6,722±1,073	6,785±1,065	6,795±1,198	6,839±1,069	>0,05	>0,05	>0,05	>0,05	>0,05	>0,05
15-MD_K	6,517±0,462	6,529±0,427	6,555±0,500	6,392±0,437	>0,05	>0,05	>0,05	>0,05	>0,05	>0,05
15-MD_S	5,035±0,437	4,975±0,423	5,103±0,413	5,042±0,552	>0,05	>0,05	>0,05	>0,05	>0,05	>0,05
15-VO_K	8,858±1,130	8,854±1,181	9,005±1,200	9,071±1,080	>0,05	>0,05	>0,05	>0,05	>0,05	>0,05
15-VO_S	7,851±1,567	7,956±1,531	8,083±1,428	8,193±1,289	>0,05	>0,05	>0,05	>0,05	>0,05	>0,05
14-HZ	20,69±1,09	21,39±1,38	20,77±1,39	20,88±1,98	=0,078	>0,05	>0,05	=0,062	=0,069	>0,05

Додаток Д

Одонтометричні показники у чоловіків центрального регіону України з різною формою голови й різними типами обличчя.

В таблицях додатку:

15- – верхній правий другий малий кутній зуб;

14- – верхній правий перший малий кутній зуб;

24- – верхній лівий перший малий кутній зуб;

25- – верхній лівий другий малий кутній зуб;

35- – нижній лівий другий малий кутній зуб;

34- – нижній лівий перший малий кутній зуб;

44- – нижній правий перший малий кутній зуб;

45- – нижній правий другий малий кутній зуб;

HZ – висота відповідного зуба;

HRZ1 – довжина піднебінного кореня;

HRZ2 – довжина щічного кореня;

HRZ – довжина кореня;

HKZ – висота коронки;

MD_K – мезіо-дистальний розмір коронки;

MD_S – мезіо-дистальний розмір шийки;

VO_K – присінково-язиковий розмір коронки;

VO_S – присінково-язиковий розмір шийки;

25,0th- 75,0th percentl – центильний розмах вибірки;

p – достовірність відмінностей між одонтометричними показниками у представників відповідних регіонів, краніотипів, або типів обличчя.

Таблиця Д.1

Процентильний розмах одонтометричних показників малих кутніх зубів у практично здорових чоловіків центрального регіону України різних краніотипів (мм).

Показники	Краніютипи							
	доліхоцефали		мезоцефали		брахіцефали		гіпербрахіцефали	
	25,0th percentl	75,0th percentl	25,0th percentl	75,0th percentl	25,0th percentl	75,0th percentl	25,0th percentl	75,0th percentl
1	2	3	4	5	6	7	8	9
15-HZ	18,66	22,70	19,32	22,05	19,45	21,85	20,20	23,99
15-HRZ1	12,66	15,45	12,83	15,15	12,75	14,70	12,95	16,94
15-HRZ2	8,28	13,10	11,15	14,89	11,00	14,19	12,48	14,50
15-HKZ	5,55	7,48	5,49	7,23	6,43	7,43	6,92	7,42
15-MD_K	5,68	6,61	5,85	6,69	6,27	6,79	6,25	6,62
15-MD_S	4,43	5,50	4,60	5,33	4,80	5,26	4,70	5,29
15-VO_K	7,65	9,63	7,21	9,57	8,42	9,90	9,25	9,90
15-VO_S	5,90	8,72	6,15	9,19	8,18	9,05	8,51	9,34
14-HZ	19,88	21,58	19,65	21,63	20,00	22,00	20,51	22,60
14-HRZ1	11,82	13,94	12,51	14,86	12,10	13,98	13,18	14,71
14-VRZ2	11,85	14,01	11,93	14,39	11,75	13,40	11,38	15,25
14-HKZ	6,08	7,65	6,20	8,05	7,11	8,10	6,91	8,05
14-MD_K	5,55	7,00	5,38	6,62	6,50	7,10	6,38	6,77
14-MD_S	4,30	5,55	4,41	5,13	4,92	5,25	4,85	5,11
14-VO_K	8,40	10,15	8,38	9,58	9,35	10,01	9,07	9,94
14-VO_S	7,56	8,90	7,59	8,76	8,39	9,14	8,31	8,94
24-HZ	19,87	23,17	19,48	21,64	20,31	21,73	20,51	22,76

Продовження табл. Д.1

1	2	3	4	5	6	7	8	9
24-HRZ1	11,90	15,25	12,37	14,93	12,35	13,69	12,96	14,95
24-VRZ2	12,60	14,20	11,89	13,92	11,96	13,69	12,74	15,03
24-HKZ	6,20	7,67	6,20	7,86	7,13	8,20	6,97	7,75
24-MD_K	5,55	7,15	6,09	6,47	6,50	7,07	6,49	6,74
24-MD_S	4,10	5,24	4,38	5,11	4,78	5,30	4,92	5,07
24-VO_K	8,42	10,12	8,38	9,57	9,32	10,00	8,94	10,01
24-VO_S	7,60	8,95	7,47	8,93	8,44	9,24	8,27	9,09
25-HZ	18,66	23,38	19,55	22,02	19,72	22,28	20,26	23,52
25-HRZ1	12,63	16,07	12,75	15,32	12,61	14,65	13,01	16,43
25-HRZ2	10,41	14,36	8,34	13,97	13,10	14,30	12,40	13,95
25-HKZ	5,58	7,87	5,55	7,13	6,45	7,97	6,63	7,42
25-MD_K	5,62	6,75	5,82	6,75	6,38	6,85	6,22	6,78
25-MD_S	4,23	5,43	4,54	5,31	4,75	5,13	4,87	5,38
25-VO_K	7,60	9,80	7,25	9,71	8,38	9,82	9,20	10,05
25-VO_S	5,80	8,69	6,01	9,19	8,00	9,00	8,43	9,34
35-HZ	22,15	23,51	20,95	24,32	21,88	24,50	23,18	24,90
35-HRZ	14,48	17,55	13,60	17,88	14,50	16,50	15,07	17,60
35-HKZ	6,28	7,65	5,77	7,23	7,21	7,60	6,72	7,94
35-MD_K	6,10	7,43	6,08	7,28	6,98	7,44	7,05	7,44
35-MD_S	4,40	5,65	5,05	5,59	5,50	5,85	5,44	5,75
35-VO_K	7,23	8,50	7,28	8,54	8,09	8,94	8,22	8,97
35-VO_S	5,63	8,03	6,04	7,71	7,47	7,90	7,50	8,17
34-HZ	21,53	24,67	21,72	23,81	21,98	24,50	22,55	25,13

Продовження табл. Д.1

1	2	3	4	5	6	7	8	9
34-HRZ	14,50	16,70	14,82	16,36	14,35	16,53	14,70	16,98
34-HKZ	6,18	7,98	6,51	8,04	7,38	7,93	7,31	8,30
34-MD_K	5,90	7,18	6,07	7,02	6,52	7,42	6,75	7,15
34-MD_S	4,32	5,62	4,84	5,54	5,25	5,98	5,30	5,66
34-VO_K	6,78	8,40	6,97	7,78	7,60	8,65	7,70	8,57
34-VO_S	5,95	7,35	5,75	6,98	6,84	7,70	7,00	7,75
44-HZ	21,20	24,87	21,44	23,69	21,60	24,13	22,39	25,03
44-HRZ	14,45	16,60	14,39	16,44	14,20	16,50	14,53	16,96
44-HKZ	6,20	8,17	6,25	8,03	7,20	8,01	7,43	8,41
44-MD_K	5,91	7,14	6,07	6,91	6,60	7,35	6,80	7,05
44-MD_S	4,25	5,45	4,81	5,39	5,23	5,85	5,17	5,67
44-VO_K	6,28	8,20	6,82	7,70	7,59	8,69	7,77	8,52
44-VO_S	5,98	7,25	5,84	6,95	6,71	7,50	7,01	7,65
45-HZ	21,85	23,71	21,82	24,32	21,86	23,98	21,30	24,39
45-HRZ	14,60	17,58	14,55	17,49	15,20	16,35	14,14	16,95
45-HKZ	6,28	7,33	5,98	7,65	6,96	7,48	6,89	7,99
45-MD_K	6,07	7,42	6,31	7,21	6,92	7,56	6,90	7,42
45-MD_S	4,28	5,67	5,03	5,61	5,50	5,81	5,24	5,72
45-VO_K	7,35	8,37	7,43	8,55	8,00	8,95	8,00	8,89
45-VO_S	5,65	7,92	6,09	7,64	7,49	8,02	7,41	8,22

Продовження табл. Д.2

1	2	3	4	5	6	7	8	9	10	11
34-НКЗ	7,372±0,870	7,341±0,921	7,646±0,430	7,693±0,772	>0,05	>0,05	>0,05	>0,05	>0,05	>0,05
34-MD_K	6,584±0,720	6,484±0,667	6,986±0,561	6,949±0,318	>0,05	=0,080	>0,05	<0,05	>0,05	>0,05
34-MD_S	5,095±0,732	5,163±0,624	5,749±0,769	5,451±0,259	>0,05	=0,057	>0,05	<0,05	>0,05	>0,05
34-VO_K	7,432±1,090	7,452±0,610	8,037±0,605	8,133±0,566	>0,05	>0,05	>0,05	<0,01	<0,01	>0,05
34-VO_S	6,566±1,166	6,483±0,821	7,261±0,705	7,339±0,571	>0,05	<0,05	>0,05	<0,01	<0,01	>0,05
44-HZ	23,24±2,05	22,64±1,91	23,06±2,02	23,53±1,40	>0,05	>0,05	>0,05	>0,05	>0,05	>0,05
44-HRZ	15,64±1,78	15,26±1,50	15,48±1,77	15,69±1,40	>0,05	>0,05	>0,05	>0,05	>0,05	>0,05
44-НКЗ	7,351±0,879	7,264±0,940	7,620±0,606	7,858±0,822	>0,05	>0,05	>0,05	>0,05	=0,057	>0,05
44-MD_K	6,502±0,738	6,444±0,644	6,961±0,526	6,969±0,235	>0,05	>0,05	>0,05	<0,05	<0,05	>0,05
44-MD_S	5,041±0,763	5,127±0,568	5,622±0,513	5,447±0,357	>0,05	<0,05	>0,05	<0,01	=0,080	>0,05
44-VO_K	7,422±1,019	7,338±0,703	8,043±0,597	8,148±0,590	>0,05	=0,080	=0,069	<0,01	<0,01	>0,05
44-VO_S	6,558±1,114	6,516±0,813	7,157±0,685	7,347±0,546	>0,05	>0,05	<0,05	<0,01	<0,01	>0,05
45-HZ	23,18±1,67	22,75±1,93	22,68±1,81	22,97±1,76	>0,05	>0,05	>0,05	>0,05	>0,05	>0,05
45-HRZ	16,31±1,94	15,80±2,01	15,51±1,77	15,63±1,59	>0,05	>0,05	>0,05	>0,05	>0,05	>0,05
45-НКЗ	6,633±1,076	6,883±1,062	7,214±0,520	7,323±0,732	>0,05	=0,071	>0,05	>0,05	>0,05	>0,05
45-MD_K	6,739±0,700	6,781±0,717	7,201±0,475	7,104±0,350	>0,05	<0,05	=0,079	<0,05	>0,05	>0,05
45-MD_S	5,224±0,724	5,333±0,458	5,667±0,284	5,542±0,452	>0,05	=0,056	>0,05	<0,05	>0,05	>0,05
45-VO_K	7,858±0,893	7,948±0,629	8,472±0,706	8,584±0,620	>0,05	<0,05	=0,056	<0,05	<0,05	>0,05
45-VO_S	6,813±1,555	6,907±1,070	7,629±0,773	7,877±0,632	>0,05	>0,05	>0,05	<0,05	<0,05	>0,05

Таблиця Д.3

Процентильний розмах одонтометричних показників малих кутніх зубів у практично здорових чоловіків центрального регіону України із різними типами обличчя (мм).

Показники	Тип обличчя							
	широке		середнє		вузьке		дуже вузьке	
	25,0th percentl	75,0th percentl	25,0th percentl	75,0th percentl	25,0th percentl	75,0th percentl	25,0th percentl	75,0th percentl
1	2	3	4	5	6	7	8	9
15-HZ	18,66	21,55	21,28	23,35	18,78	22,10	20,25	22,50
15-HRZ1	11,26	13,44	14,25	16,58	12,78	15,42	12,86	16,10
15-HRZ2	10,69	13,57			8,40	13,82	13,80	14,50
15-HKZ	6,85	7,25	5,55	7,36	5,90	7,42	5,62	7,88
15-MD_K	6,35	6,77	6,27	6,61	6,17	6,75	5,95	6,85
15-MD_S	4,50	5,31	4,60	5,55	4,70	5,26	4,60	5,20
15-VO_K	8,30	9,90	7,40	9,63	8,42	9,77	9,00	9,94
15-VO_S	8,41	9,13	5,50	9,42	8,34	9,05	7,88	9,25
14-HZ	20,60	21,00	20,44	22,75	19,50	20,88	20,10	23,38
14-HRZ1	12,50	13,77	13,37	14,35	12,10	13,50	12,08	14,81
14-VRZ2	11,23	12,76	13,05	14,00	11,85	13,80	11,75	15,25
14-HKZ	6,93	8,25	6,35	7,88	6,50	7,80	6,75	8,60
14-MD_K	5,75	6,80	5,60	6,84	6,41	7,00	6,25	7,09
14-MD_S	4,75	5,29	4,60	5,50	4,85	5,25	4,75	5,07
14-VO_K	9,03	9,80	8,44	10,20	8,88	9,80	8,63	10,10
14-VO_S	8,28	8,88	8,10	9,20	8,40	9,03	7,75	9,03
24-HZ	20,00	21,67	20,97	22,88	19,51	21,51	19,45	22,60

Продовження табл. Д.3

1	2	3	4	5	6	7	8	9
24-HRZ1	12,25	14,75	13,69	15,13	12,35	13,59	12,10	15,16
24-VRZ2	12,38	13,45	13,03	13,97	11,96	13,34	11,90	15,20
24-HKZ	7,12	8,23	6,67	7,75	6,23	8,05	6,80	8,27
24-MD_K	6,09	6,60	5,41	6,98	6,23	6,90	6,25	7,10
24-MD_S	4,68	5,12	4,10	5,48	4,75	5,28	4,75	5,10
24-VO_K	9,42	9,76	8,44	10,38	8,92	9,82	8,40	10,12
24-VO_S	8,40	9,11	8,02	9,50	8,02	9,25	7,67	9,02
25-HZ	19,53	21,60	19,98	23,00	19,57	22,10	20,14	22,65
25-HRZ1	12,58	14,06	12,93	16,07	13,01	15,34	12,67	16,02
25-HRZ2	10,46	13,54	12,70	13,50	10,36	14,53	13,50	14,67
25-HKZ	6,68	8,50	5,58	7,87	5,93	7,86	5,68	7,75
25-MD_K	6,13	6,73	5,90	6,60	6,18	6,82	5,90	6,89
25-MD_S	4,50	5,10	4,55	5,60	4,84	5,20	4,65	5,25
25-VO_K	9,00	9,82	7,35	9,95	8,42	9,71	8,47	10,02
25-VO_S	8,38	9,04	5,48	9,51	7,98	8,77	7,73	9,30
35-HZ	21,55	24,15	23,27	24,85	21,59	23,38	21,78	25,35
35-HRZ	13,35	17,70	16,25	17,55	14,26	15,78	14,05	17,75
35-HKZ	6,66	7,31	6,57	7,60	6,88	7,60	6,88	8,21
35-MD_K	6,93	7,27	6,35	7,43	6,75	7,44	6,93	7,50
35-MD_S	5,38	5,80	5,10	5,75	5,40	5,78	5,13	5,75
35-VO_K	7,78	8,77	7,23	9,13	7,90	8,85	7,80	9,50
35-VO_S	7,42	8,00	5,85	8,07	7,27	8,15	7,17	7,98
34-HZ	22,00	24,30	22,22	24,67	21,68	24,30	22,25	25,60

Продовження табл. Д.3

1	2	3	4	5	6	7	8	9
34-HRZ	14,38	16,70	14,85	16,87	14,27	16,78	14,63	17,16
34-HKZ	7,18	7,62	7,07	7,97	7,34	8,02	7,62	8,50
34-MD_K	6,16	7,00	6,35	7,25	6,42	7,42	6,60	7,25
34-MD_S	5,15	5,63	5,10	5,69	5,27	6,00	5,13	5,75
34-VO_K	6,95	8,73	6,98	8,67	7,22	8,30	7,50	8,77
34-VO_S	6,28	7,58	6,35	7,78	6,60	7,68	6,65	7,70
44-HZ	21,63	24,25	22,60	24,87	21,15	22,90	22,20	25,95
44-HRZ	14,32	16,60	14,48	16,87	14,00	15,60	14,59	17,30
44-HKZ	6,97	8,00	7,20	8,22	7,13	8,08	7,51	8,40
44-MD_K	6,11	6,94	6,10	7,35	6,69	7,43	6,60	7,10
44-MD_S	5,13	5,48	4,73	5,84	5,19	6,13	5,09	5,74
44-VO_K	7,00	8,59	7,69	8,78	7,35	8,38	7,55	8,25
44-VO_S	6,65	7,57	6,51	7,58	6,65	7,17	6,62	7,77
45-HZ	21,48	24,10	23,03	23,71	21,60	23,35	21,86	24,85
45-HRZ	13,30	17,83	15,20	16,73	15,09	15,88	14,00	17,55
45-HKZ	6,67	7,48	6,80	7,60	6,87	7,50	6,75	8,04
45-MD_K	6,88	7,24	6,60	7,42	6,75	7,55	6,92	7,50
45-MD_S	5,30	5,73	5,23	5,63	5,48	5,90	5,16	5,75
45-VO_K	7,75	8,77	7,35	8,95	7,98	8,85	7,86	9,00
45-VO_S	7,30	7,69	6,48	8,22	7,54	8,15	7,35	7,92

Таблиця Д.4

Відмінності одонтометричних показників малих кутніх зубів у практично здорових чоловіків центрального регіону України із різними типами обличчя (мм, $M \pm \sigma$).

Показники	Тип обличчя				p ₂₋₃	p ₂₋₄	p ₂₋₅	p ₃₋₄	p ₃₋₅	p ₄₋₅
	широке	середнє	вузьке	дуже вузьке						
1	2	3	4	5	6	7	8	9	10	11
15-HZ	20,17±1,66	22,10±1,95	20,48±2,04	21,29±1,90	<0,05	>0,05	=0,052	=0,061	>0,05	>0,05
15-HRZ1	12,83±1,59	15,23±1,50	13,96±1,94	14,03±1,63	<0,01	=0,079	=0,071	=0,079	=0,067	>0,05
15-HRZ2	12,13±2,59	12,62	11,51±3,40	13,40±2,37	>0,05	>0,05	>0,05	>0,05	>0,05	>0,05
15-HKZ	6,994±0,917	6,682±1,331	6,593±1,141	6,927±1,366	>0,05	>0,05	>0,05	>0,05	>0,05	>0,05
15-MD_K	6,410±0,544	6,382±0,524	6,488±0,493	6,417±0,570	>0,05	>0,05	>0,05	>0,05	>0,05	>0,05
15-MD_S	4,930±0,553	4,974±0,622	5,091±0,434	5,024±0,824	>0,05	>0,05	>0,05	>0,05	>0,05	>0,05
15-VO_K	9,149±1,015	8,578±1,511	8,967±1,263	9,258±1,039	>0,05	>0,05	>0,05	>0,05	>0,05	>0,05
15-VO_S	8,387±1,215	7,579±2,046	8,230±1,517	8,317±1,189	>0,05	>0,05	>0,05	>0,05	>0,05	>0,05
14-HZ	21,07±1,10	21,50±1,60	20,24±1,15	21,55±2,26	>0,05	=0,079	>0,05	<0,05	>0,05	=0,077
14-HRZ1	13,31±1,32	13,76±0,98	13,04±1,27	13,46±1,65	>0,05	>0,05	>0,05	=0,079	>0,05	>0,05
14-VRZ2	11,66±2,18	13,38±1,31	12,71±1,57	13,06±2,74	<0,05	>0,05	>0,05	>0,05	>0,05	>0,05
14-HKZ	7,558±0,819	7,130±1,028	7,131±1,009	7,476±1,313	>0,05	>0,05	>0,05	>0,05	>0,05	>0,05
14-MD_K	6,241±0,786	6,387±0,786	6,595±0,663	6,541±0,778	>0,05	>0,05	>0,05	>0,05	>0,05	>0,05
14-MD_S	4,997±0,476	5,122±0,898	5,096±0,370	4,797±0,408	>0,05	>0,05	>0,05	>0,05	>0,05	<0,05
14-VO_K	9,410±0,570	9,414±0,976	9,289±0,981	9,209±1,091	>0,05	>0,05	>0,05	>0,05	>0,05	>0,05
14-VO_S	8,488±0,638	8,677±0,938	8,642±1,188	8,191±1,280	>0,05	>0,05	>0,05	>0,05	>0,05	>0,05
24-HZ	21,07±1,23	21,98±1,06	20,51±1,23	21,42±1,96	=0,070	>0,05	>0,05	<0,01	>0,05	>0,05
24-HRZ1	13,39±1,39	14,38±1,07	13,44±1,45	13,49±1,89	=0,076	>0,05	>0,05	<0,05	>0,05	>0,05
24-VRZ2	12,75±1,06	13,58±1,03	12,77±0,90	13,54±1,69	=0,078	>0,05	>0,05	=0,073	>0,05	>0,05

Додаток Е

Кореляції комп'ютерно-томографічних лінійних розмірів малих кутніх зубів із кефалометричними показниками чоловіків із різних регіонів України.

В таблицях додатку:

15- – верхній правий другий малий кутній зуб;

14- – верхній правий перший малий кутній зуб;

24- – верхній лівий перший малий кутній зуб;

25- – верхній лівий другий малий кутній зуб;

35- – нижній лівий другий малий кутній зуб;

34- – нижній лівий перший малий кутній зуб;

44- – нижній правий перший малий кутній зуб;

45- – нижній правий другий малий кутній зуб;

AL_AL – ширина основи носа (відстань між алярними точками);

CHI_CHI – ширина ротової щілини;

DUG_AUAU – поперечна дуга;

DUG_GOP – найбільший обхват голови;

DUGS_GOP – сагітальна дуга;

EK_EK – зовнішньоочна ширина (біорбітальна ширина);

EU_EU – найбільша ширина голови (потиличний діаметр);

FMT_FMT – найменша ширина голови (лобовий діаметр);

G_OP – найбільша довжина голови;

GO_GO – ширина нижньої щелепи, або ширина між кутами нижньої щелеп;

HKZ – висота коронки;

IN_GARS – морфологічний індекс Гарсона;

HRZ – довжина кореня;

HRZ1 – довжина піднебінного кореня;

HRZ2 – довжина щічного кореня;

HZ – висота відповідного зуба;

KRANIO – черепний показчик;

LGO_GN – довжина тіла нижньої щелепи зліва;
 MD_K – мезіо-дистальний розмір коронки;
 MD_S – мезіо-дистальний розмір шийки;
 MF_MF – міжочноямкова ширина (передня міжорбітальна ширина);
 N_GN – морфологічна довжина обличчя;
 N_I – відстань між назіон та міжрізцевою точкою;
 N_PRN – довжина носа;
 N_SN – висота носа;
 N_STO – висота верхньої частини обличчя;
 RGO_GN – довжина тіла нижньої щелепи зправа;
 SN_PRN – глибина носа;
 TIP_GOL – краніотип;
 TIP_LICA – тип обличчя;
 TR_GN – фізіологічна довжина обличчя;
 TR_N – висота лоба;
 VO_K – присінково-язиковий розмір коронки;
 VO_S – присінково-язиковий розмір шийки;
 ZM_ZM – середня ширина обличчя;
 ZY_ZY – ширина обличчя, це відстань між виличними точками;
 жирним – виділені достовірні кореляції;
 підкресленням – виділені недостовірні середньої сили кореляції.

Таблиця Е.1

Кореляції КТ-розмірів МКЗ із кефалометричними показниками мозкового черепа чоловіків північного регіону України (n=10-32).

	DUG_GOP	DUG_AUAU	DUGS_GOP	G_OP	EU_EU	FMT_FMT	KRAN IO	TIP_GOL
1	2	3	4	5	6	7	8	9
15HZ	0,03	0,06	-0,21	-0,14	-0,07	0,03	0,15	0,17
15HRZ1	-0,05	0,01	-0,19	-0,12	-0,09	0,04	0,04	0,07
15HRZ2	<u>0,49</u>	0,17	<u>0,35</u>	<u>0,39</u>	<u>0,31</u>	<u>0,42</u>	-0,13	-0,17
15HKZ	0,22	0,13	-0,10	-0,03	0,08	0,11	0,17	0,14

Продовження табл. Е.1

1	2	3	4	5	6	7	8	9
15MD_K	<u>0,34</u>	0,14	<u>0,34</u>	0,26	0,42	0,40	0,07	-0,06
15MD_S	<u>0,32</u>	<u>0,31</u>	0,08	0,10	0,36	<u>0,35</u>	0,21	0,10
15VO_K	0,20	-0,08	-0,02	-0,03	-0,04	0,09	0,03	0,02
15VO_S	0,05	-0,05	-0,09	-0,10	-0,13	0,01	0,03	0,03
14HZ	0,07	0,09	-0,02	-0,02	<u>0,35</u>	<u>0,31</u>	0,39	<u>0,33</u>
14HRZ1	0,05	0,05	-0,06	-0,03	0,20	0,18	0,19	0,16
14VRZ2	0,05	0,09	-0,04	0,03	0,15	0,18	0,14	0,14
14HKZ	0,17	0,15	0,19	0,14	<u>0,33</u>	0,18	0,24	0,13
14MD_K	0,19	0,17	0,13	-0,13	0,25	0,17	0,24	0,10
14MD_S	0,00	-0,08	0,07	-0,08	0,29	0,14	<u>0,32</u>	0,29
14VO_K	0,17	0,04	0,03	0,02	0,14	0,05	0,12	0,02
14VO_S	<u>0,34</u>	0,20	0,05	0,04	0,39	<u>0,33</u>	<u>0,33</u>	0,19
24HZ	0,22	<u>0,31</u>	0,01	0,01	0,28	0,27	0,24	0,15
24HRZ1	0,09	0,18	-0,05	-0,12	0,12	0,17	0,16	0,14
24VRZ2	0,09	0,22	0,00	-0,02	0,08	0,10	0,05	0,02
24HKZ	0,07	0,12	0,02	0,08	0,21	0,18	0,17	0,10
24MD_K	0,19	0,29	0,29	-0,01	0,21	0,27	0,13	-0,03
24MD_S	0,04	-0,04	-0,03	-0,09	0,37	0,15	0,43	0,38
24VO_K	0,19	0,10	0,03	0,04	0,16	0,07	0,12	0,02
24VO_S	0,18	0,13	0,09	-0,04	0,27	0,17	0,26	0,15
25HZ	0,10	0,12	-0,20	-0,04	-0,01	0,12	0,14	0,15
25HRZ1	0,06	0,01	-0,25	0,05	-0,07	0,12	0,00	0,01
25HRZ2	0,16	-0,07	0,17	-0,18	0,17	<u>0,48</u>	<u>0,36</u>	0,29
25HKZ	<u>0,32</u>	<u>0,34</u>	0,18	0,12	0,16	-0,05	0,07	0,01
25MD_K	<u>0,30</u>	0,25	0,46	0,27	0,27	0,29	-0,08	-0,21
25MD_S	<u>0,32</u>	0,19	0,02	0,03	0,36	0,48	0,27	0,18
25VO_K	0,19	-0,02	-0,02	-0,03	-0,01	0,00	0,06	0,03
25VO_S	0,08	-0,07	-0,08	-0,08	-0,01	0,06	0,13	0,15
35HZ	0,22	<u>0,34</u>	-0,02	0,18	0,12	0,13	-0,02	-0,14
35HRZ	0,17	0,29	-0,01	0,21	0,01	0,08	-0,15	-0,21
35HKZ	0,35	0,36	0,19	0,22	0,42	0,21	0,19	0,05
35MD_K	0,41	0,16	0,38	0,37	0,36	0,25	-0,08	-0,19
35MD_S	0,37	0,20	<u>0,30</u>	<u>0,34</u>	0,20	0,37	-0,17	-0,27
35VO_K	0,38	0,02	0,24	0,29	0,28	0,13	-0,01	-0,11
35VO_S	0,22	0,00	0,11	0,06	0,13	0,15	0,03	-0,08
34HZ	<u>0,32</u>	0,25	0,20	0,15	0,39	0,14	0,23	0,14
34HRZ	0,12	0,06	0,08	0,12	0,16	-0,03	0,06	0,01
34HKZ	0,43	0,47	0,24	0,16	0,54	0,22	0,37	0,23
34MD_K	<u>0,30</u>	0,09	<u>0,33</u>	0,23	<u>0,34</u>	0,36	0,05	-0,07
34MD_S	0,12	-0,05	0,25	0,05	0,27	0,40	0,16	0,11

Продовження табл. Е.1

1	2	3	4	5	6	7	8	9
34VO_K	0,16	0,05	0,26	0,01	0,29	-0,05	0,23	0,11
34VO_S	0,12	0,00	0,25	0,01	0,36	0,12	<u>0,30</u>	0,19
44HZ	0,29	0,18	0,15	0,06	0,43	0,24	<u>0,35</u>	0,27
44HRZ	0,13	0,03	0,02	0,06	0,08	0,12	0,01	0,02
44HKZ	<u>0,30</u>	<u>0,33</u>	0,12	0,01	0,46	0,21	0,43	<u>0,30</u>
44MD_K	0,29	0,01	<u>0,31</u>	0,29	0,21	0,29	-0,11	-0,21
44MD_S	0,22	-0,05	<u>0,30</u>	0,22	<u>0,31</u>	0,41	0,04	-0,04
44VO_K	0,08	-0,12	0,17	0,00	0,05	0,05	0,02	-0,03
44VO_S	0,06	-0,12	0,12	0,02	0,22	0,25	0,25	0,21
45HZ	<u>0,30</u>	0,40	0,05	<u>0,30</u>	0,21	0,19	-0,04	-0,16
45HRZ	0,23	<u>0,30</u>	0,02	0,27	0,08	0,17	-0,12	-0,18
45HKZ	<u>0,30</u>	0,42	0,18	0,23	0,35	0,00	0,12	-0,04
45MD_K	0,28	0,15	<u>0,32</u>	0,22	0,26	0,23	-0,05	-0,13
45MD_S	0,50	0,21	0,29	0,37	0,43	0,53	0,00	-0,16
45VO_K	0,28	-0,01	0,26	0,22	0,10	0,04	-0,14	-0,23
45VO_S	0,14	0,00	0,16	0,08	0,14	0,08	0,05	-0,06

Продовження табл. Е.2

1	2	3	4	5	6	7	8	9	10	11	12	13	14	15	16	17	18	19	20
24HKZ	0,17	-0,07	0,18	0,10	0,04	0,12	0,15	-0,12	0,06	0,00	-0,08	-0,15	0,40	-0,29	-0,21	0,07	<u>0,34</u>	-0,17	-0,04
24MD_K	0,19	-0,02	<u>0,31</u>	0,10	0,09	-0,08	-0,11	0,07	-0,12	0,15	-0,08	-0,14	0,05	-0,09	0,01	0,23	0,37	0,00	0,05
24MD_S	0,20	0,00	<u>0,34</u>	0,26	0,26	0,06	0,00	0,10	0,23	<u>0,34</u>	0,07	0,10	0,27	0,12	0,29	0,05	0,06	-0,23	-0,11
24VO_K	0,12	-0,18	0,39	0,17	0,19	0,16	0,07	0,00	0,19	0,22	0,05	-0,09	0,03	0,02	0,06	0,17	<u>0,33</u>	0,02	0,15
24VO_S	0,17	-0,07	0,35	0,26	0,17	0,18	0,11	-0,05	0,11	0,07	0,03	-0,11	0,04	0,09	-0,02	0,25	0,39	-0,06	0,06
25HZ	0,12	0,14	0,22	0,02	0,16	<u>0,32</u>	<u>0,30</u>	0,08	0,26	0,22	0,19	0,04	0,04	-0,17	0,05	-0,05	0,05	0,10	0,05
25HRZ1	0,11	0,08	0,13	0,03	0,17	<u>0,31</u>	0,25	0,02	0,26	0,29	0,05	0,06	0,13	-0,04	0,29	-0,04	0,09	0,00	-0,03
25HRZ2	<u>0,30</u>	-0,25	<u>0,44</u>	<u>0,48</u>	<u>0,47</u>	<u>0,43</u>	<u>0,47</u>	0,25	0,60	0,14	<u>-0,31</u>	<u>-0,42</u>	-0,02	-0,21	-0,04	0,27	<u>0,30</u>	<u>-0,46</u>	<u>-0,41</u>
25HKZ	0,11	0,02	0,16	0,13	0,11	0,18	0,22	0,26	0,20	-0,06	0,21	0,09	0,01	-0,19	<u>-0,31</u>	0,17	0,20	0,19	0,24
25MD_K	<u>0,30</u>	-0,06	0,19	0,01	0,05	0,02	0,07	-0,17	-0,07	-0,06	-0,18	-0,14	0,23	-0,22	-0,12	<u>0,30</u>	0,41	<u>-0,30</u>	-0,20
25MD_S	0,18	<u>0,31</u>	0,45	0,19	<u>0,30</u>	0,07	0,00	0,09	-0,04	<u>0,33</u>	0,19	0,02	0,08	0,04	0,12	0,09	0,23	-0,18	-0,19
25VO_K	-0,01	0,15	0,12	0,09	0,10	0,08	0,08	0,00	0,04	0,07	0,12	0,03	0,00	0,20	0,15	0,16	0,17	0,12	0,14
25VO_S	-0,03	0,07	0,20	0,23	0,15	0,15	0,17	-0,07	0,05	0,02	0,12	-0,02	-0,10	0,08	0,00	0,11	0,08	0,08	0,08
35HZ	0,18	0,02	0,10	-0,11	0,04	0,16	0,17	0,19	0,14	0,13	0,01	0,14	0,40	-0,08	0,10	-0,12	0,08	-0,05	-0,05
35HRZ	0,10	0,01	-0,04	-0,15	0,06	0,10	0,13	0,15	0,06	0,07	0,02	0,19	<u>0,33</u>	-0,11	0,08	-0,19	-0,09	-0,05	-0,09
35HKZ	<u>0,34</u>	-0,04	0,43	0,16	0,09	0,19	0,13	0,23	0,26	0,13	0,13	0,06	0,22	-0,03	0,01	<u>0,32</u>	0,46	-0,07	0,05
35MD_K	0,06	0,07	0,08	-0,06	0,05	-0,10	-0,07	-0,27	-0,15	0,15	-0,05	0,09	0,43	0,21	0,20	0,25	0,22	-0,20	-0,15
35MD_S	0,24	-0,04	0,21	0,00	0,09	0,19	0,24	-0,26	-0,01	0,01	0,22	0,01	0,35	-0,26	-0,20	-0,01	0,13	-0,01	0,02
35VO_K	0,19	0,01	<u>0,30</u>	-0,01	0,03	-0,02	-0,07	-0,01	0,22	0,37	0,01	0,03	0,10	0,20	0,19	0,37	0,37	-0,13	0,00
35VO_S	0,15	-0,08	0,49	0,11	0,10	0,06	0,01	0,07	0,19	0,24	0,04	-0,18	-0,15	-0,01	-0,01	0,14	<u>0,32</u>	0,01	0,17
34HZ	0,09	0,13	0,16	-0,17	0,06	-0,07	-0,06	-0,18	-0,14	0,27	-0,10	0,17	<u>0,31</u>	0,14	0,08	0,17	0,20	-0,23	-0,22
34HRZ	-0,04	0,12	0,04	-0,19	-0,06	-0,14	-0,10	-0,08	-0,18	0,08	-0,08	0,13	0,05	0,04	0,01	0,04	-0,04	-0,12	-0,16
34HKZ	<u>0,31</u>	0,09	0,20	0,06	0,07	0,24	0,17	-0,19	0,15	0,05	0,02	0,23	0,46	0,06	-0,01	<u>0,34</u>	0,49	-0,24	-0,15
34MD_K	<u>0,32</u>	-0,12	0,28	0,23	0,21	-0,04	-0,07	-0,03	0,17	0,24	0,00	0,04	0,15	-0,05	0,07	0,22	0,25	-0,25	-0,13

Продовження табл. Е.2

1	2	3	4	5	6	7	8	9	10	11	12	13	14	15	16	17	18	19	20
34MD_S	0,36	0,01	0,25	0,16	0,16	-0,11	-0,08	-0,05	0,04	0,09	0,09	0,20	0,16	0,11	0,28	0,11	-0,06	-0,38	-0,37
34VO_K	<u>0,30</u>	-0,07	<u>0,33</u>	-0,03	0,02	0,02	-0,09	-0,06	0,19	0,22	-0,06	0,09	0,24	0,15	0,15	<u>0,30</u>	<u>0,31</u>	-0,18	0,04
34VO_S	<u>0,32</u>	0,04	0,51	0,08	0,00	0,08	-0,01	-0,18	0,06	0,27	-0,03	0,00	0,29	0,06	0,04	0,22	0,35	-0,29	0,01
44HZ	0,18	0,17	0,19	-0,21	0,04	-0,06	-0,12	-0,21	-0,12	<u>0,33</u>	-0,01	0,21	<u>0,31</u>	0,21	0,21	0,18	0,18	<u>-0,31</u>	-0,29
44HRZ	-0,01	0,08	0,21	-0,18	0,10	-0,11	-0,12	-0,05	-0,26	0,16	0,09	0,10	0,00	0,10	0,15	-0,02	-0,11	-0,11	-0,18
44HKZ	<u>0,30</u>	0,16	0,06	-0,07	-0,07	0,17	0,10	-0,13	0,28	0,12	-0,06	0,14	0,44	0,04	0,06	0,26	0,39	-0,22	-0,14
44MD_K	0,24	-0,09	0,22	0,20	0,17	0,02	0,02	-0,08	0,24	0,21	-0,03	-0,08	0,12	-0,15	-0,07	0,19	0,27	-0,18	-0,04
44MD_S	0,40	-0,15	0,27	0,26	0,14	-0,01	0,02	-0,05	0,13	0,12	0,02	0,04	0,11	0,05	0,05	0,23	0,14	-0,38	<u>-0,30</u>
44VO_K	0,12	-0,01	<u>0,34</u>	0,04	-0,02	0,08	0,00	-0,15	0,24	0,16	-0,07	-0,04	0,11	0,03	0,03	0,10	0,16	-0,06	0,14
44VO_S	0,26	-0,02	0,53	0,26	0,05	0,19	0,13	-0,22	0,15	0,29	0,07	0,02	0,22	0,00	-0,06	0,12	0,18	-0,20	0,01
45HZ	0,21	0,00	0,17	-0,01	0,11	0,24	0,24	0,14	0,06	0,10	0,06	0,19	0,42	-0,09	0,02	-0,06	0,16	-0,07	-0,08
45HRZ	0,16	0,05	0,07	-0,16	0,07	0,11	0,14	0,09	-0,04	0,09	0,15	0,26	<u>0,35</u>	-0,09	0,05	-0,14	-0,08	-0,03	-0,10
45HKZ	0,20	-0,20	0,27	0,17	0,07	0,21	0,20	0,20	<u>0,32</u>	-0,03	-0,06	0,05	<u>0,32</u>	-0,08	-0,05	0,22	0,40	-0,05	0,09
45MD_K	0,04	-0,07	0,15	0,03	0,07	-0,03	-0,03	<u>-0,30</u>	-0,17	0,06	-0,06	0,15	0,38	0,23	<u>0,32</u>	0,13	0,10	-0,17	-0,08
45MD_S	<u>0,30</u>	0,12	<u>0,35</u>	0,13	0,13	0,15	0,17	-0,37	-0,17	0,04	0,21	0,05	<u>0,33</u>	-0,06	-0,08	0,10	0,37	-0,18	-0,11
45VO_K	0,19	-0,08	0,26	-0,10	0,05	-0,05	-0,08	0,07	0,27	0,37	-0,04	-0,03	0,10	0,11	0,21	0,29	0,23	-0,07	0,05
45VO_S	0,16	-0,13	0,46	0,15	0,04	0,09	0,06	-0,08	0,13	0,25	-0,09	-0,04	0,04	0,15	0,10	0,17	<u>0,30</u>	-0,06	0,10

Таблиця Е.3

Кореляції КТ-розмірів МКЗ із кефалометричними показниками мозкового черепа чоловіків південного регіону України (n=6-33).

	DUG_ GOP	DUG_ AUAU	DUGS_ GOP	G_OP	EU_EU	FMT_ FMT	KRAN IO	TIP_ GOL
1	2	3	4	5	6	7	8	9
15HZ	-0,02	0,03	-0,05	0,13	-0,28	0,19	-0,26	-0,26
15HRZ1	-0,03	0,09	-0,05	0,11	-0,39	-0,15	<u>-0,32</u>	-0,28
15HRZ2	<u>-0,39</u>	<u>0,44</u>	-0,15	0,17	0,00	-0,09	-0,17	-0,06
15HKZ	-0,17	-0,15	-0,10	0,04	-0,05	<u>0,34</u>	-0,04	-0,15
15MD_K	<u>-0,32</u>	-0,12	-0,17	-0,14	-0,17	-0,05	0,04	-0,07
15MD_S	-0,36	-0,14	<u>-0,33</u>	-0,10	-0,19	-0,10	-0,06	-0,09
15VO_K	-0,04	-0,01	0,10	0,17	0,04	0,26	-0,06	-0,17
15VO_S	-0,14	-0,04	-0,01	0,04	0,03	0,24	0,02	-0,08
14HZ	-0,21	0,29	-0,29	-0,18	-0,17	-0,09	0,01	-0,02
14HRZ1	-0,22	0,27	-0,22	-0,17	-0,18	0,07	-0,02	0,01
14VRZ2	-0,06	0,27	-0,16	-0,09	-0,12	-0,15	-0,06	-0,03
14HKZ	-0,22	-0,06	-0,01	-0,20	-0,05	-0,10	0,20	0,04
14MD_K	-0,11	0,03	-0,03	0,13	-0,06	-0,08	-0,06	-0,19
14MD_S	-0,12	0,04	-0,12	0,19	-0,18	-0,01	-0,19	-0,22
14VO_K	0,04	0,05	0,01	0,12	0,12	0,05	0,01	-0,03
14VO_S	-0,02	0,00	-0,08	0,14	0,15	0,20	0,02	-0,05
24HZ	-0,21	0,18	-0,26	-0,18	-0,08	<u>-0,30</u>	0,04	0,05
24HRZ1	-0,21	0,25	-0,19	-0,08	-0,24	-0,17	-0,14	-0,10
24VRZ2	-0,10	0,23	-0,17	-0,08	0,02	<u>-0,32</u>	-0,01	0,04
24HKZ	-0,25	-0,14	0,00	-0,18	-0,09	-0,10	0,15	0,03
24MD_K	-0,14	-0,03	-0,09	0,16	-0,09	-0,11	-0,12	-0,24
24MD_S	-0,16	0,04	-0,13	0,10	-0,15	-0,21	-0,12	-0,15
24VO_K	0,03	0,00	0,01	0,13	0,09	0,10	-0,02	-0,07
24VO_S	0,00	0,02	-0,07	0,15	0,10	0,07	-0,04	-0,09
25HZ	-0,16	0,02	-0,02	0,12	-0,35	0,09	<u>-0,30</u>	<u>-0,31</u>
25HRZ1	-0,13	0,00	-0,01	0,10	-0,44	-0,11	-0,35	-0,28
25HRZ2	<u>-0,41</u>	0,21	<u>-0,39</u>	-0,04	-0,19	<u>-0,49</u>	-0,11	-0,09
25HKZ	-0,17	-0,09	-0,17	0,07	-0,08	0,43	-0,07	-0,21
25MD_K	<u>-0,31</u>	-0,10	-0,16	-0,07	-0,14	-0,01	0,01	-0,13
25MD_S	-0,52	-0,17	-0,43	-0,19	<u>-0,31</u>	-0,19	-0,07	-0,04
25VO_K	-0,04	-0,02	0,08	0,18	0,02	0,22	-0,09	-0,22
25VO_S	-0,14	-0,02	-0,02	0,09	0,01	0,16	-0,03	-0,13
35HZ	-0,38	0,01	-0,17	-0,12	-0,37	-0,27	-0,16	-0,10
35HRZ	-0,28	0,15	-0,05	-0,07	<u>-0,34</u>	-0,20	-0,19	-0,15
35HKZ	-0,28	-0,17	-0,27	-0,28	0,16	0,06	<u>0,34</u>	<u>0,33</u>

Продовження табл. Е.3

1	2	3	4	5	6	7	8	9
35MD_K	-0,03	-0,04	-0,06	0,09	-0,10	-0,04	-0,11	-0,15
35MD_S	-0,09	0,09	-0,13	0,10	-0,16	-0,11	-0,20	-0,27
35VO_K	-0,15	0,08	-0,23	0,01	0,00	-0,13	0,01	-0,03
35VO_S	-0,11	0,01	-0,21	0,20	-0,03	-0,25	-0,15	-0,18
34HZ	-0,10	0,01	-0,05	0,06	-0,17	-0,06	-0,17	-0,22
34HRZ	0,19	0,07	0,16	<u>0,32</u>	-0,14	-0,09	-0,36	-0,38
34HKZ	-0,52	-0,04	-0,38	-0,40	-0,07	0,02	0,27	0,19
34MD_K	0,06	0,13	0,01	0,16	0,02	-0,21	-0,07	-0,19
34MD_S	-0,13	-0,01	-0,04	0,03	0,01	-0,36	0,05	-0,08
34VO_K	0,11	0,09	0,18	0,17	0,07	-0,02	-0,03	-0,08
34VO_S	-0,11	0,00	-0,01	0,14	-0,18	0,06	-0,15	-0,22
44HZ	-0,11	0,04	-0,12	0,07	-0,26	-0,21	-0,24	<u>-0,30</u>
44HRZ	0,17	0,06	0,08	0,28	-0,21	-0,13	-0,38	-0,39
44HKZ	-0,49	0,05	-0,37	-0,36	-0,16	-0,20	0,19	0,13
44MD_K	0,07	0,06	0,06	0,21	0,05	-0,17	-0,08	-0,20
44MD_S	-0,17	-0,02	-0,11	-0,09	0,06	-0,28	0,16	0,04
44VO_K	0,01	0,04	0,06	0,19	-0,05	0,00	-0,13	-0,16
44VO_S	-0,15	-0,05	-0,04	0,11	-0,18	0,11	-0,13	-0,19
45HZ	<u>-0,34</u>	0,09	-0,15	-0,20	<u>-0,32</u>	-0,37	-0,08	0,00
45HRZ	-0,24	0,10	-0,08	-0,06	-0,36	-0,35	-0,22	-0,15
45HKZ	<u>-0,30</u>	-0,11	<u>-0,33</u>	<u>-0,31</u>	0,17	-0,04	0,37	0,36
45MD_K	-0,06	-0,10	-0,02	-0,02	-0,11	0,00	-0,04	-0,08
45MD_S	-0,06	0,10	-0,08	0,15	-0,26	-0,10	-0,27	<u>-0,33</u>
45VO_K	-0,12	0,08	-0,20	0,04	-0,02	-0,12	-0,01	-0,06
45VO_S	-0,08	0,16	-0,11	0,08	0,05	-0,18	-0,01	-0,06

Таблиця Е.4

Кореляції КТ-розмірів МКЗ із кефалометричними показниками лицевого черепа чоловіків південного регіону України (n=6-33).

	ZY_ ZY	ZM_ ZM	GO_ GO	TR_ N	TR_ GN	N_ PRN	N_ SN	SN_ PRN	N_S TO	N_I	N_ GN	MF_ MF	EK_ EK	AL_ AL	CHI_ CHI	PGO _GN	IGO _GN	IN_ GARS	TIP_ LICA
1	2	3	4	5	6	7	8	9	10	11	12	13	14	15	16	17	18	19	20
15HZ	-0,14	0,05	0,13	0,17	-0,06	0,06	0,05	0,04	0,11	0,07	-0,11	0,00	0,06	0,08	0,08	0,13	-0,09	0,00	-0,03
15HRZ1	-0,35	0,05	0,04	0,09	-0,12	0,04	0,03	0,09	0,06	0,14	-0,09	0,08	-0,10	0,09	0,03	0,05	-0,10	0,16	0,07
15HRZ2	-0,07	-0,26	-0,26	<u>-0,43</u>	<u>-0,43</u>	0,29	<u>0,31</u>	0,03	<u>0,44</u>	-0,23	<u>-0,31</u>	<u>-0,38</u>	-0,29	<u>-0,38</u>	<u>0,41</u>	<u>-0,48</u>	<u>-0,38</u>	-0,20	-0,06
15HKZ	0,07	0,20	0,01	0,19	0,22	-0,17	-0,18	-0,09	-0,16	-0,06	0,07	-0,06	-0,01	-0,15	-0,16	0,00	-0,11	-0,13	0,00
15MD_K	0,19	<u>-0,31</u>	-0,35	-0,12	-0,02	-0,05	-0,02	-0,15	-0,15	-0,24	-0,15	-0,25	<u>-0,30</u>	0,21	-0,25	-0,27	-0,22	-0,02	-0,02
15MD_S	0,05	-0,17	-0,41	-0,16	-0,18	0,15	0,12	0,01	-0,13	-0,24	-0,07	-0,24	-0,29	-0,03	<u>-0,31</u>	-0,27	-0,22	-0,05	-0,15
15VO_K	0,07	0,03	-0,07	-0,01	-0,18	-0,04	-0,04	-0,13	-0,25	<u>-0,32</u>	-0,22	-0,20	-0,12	-0,07	0,01	0,16	0,05	-0,19	-0,09
15VO_S	0,02	0,08	-0,08	-0,05	-0,22	-0,19	-0,17	-0,16	-0,28	<u>-0,32</u>	-0,23	-0,24	-0,17	-0,10	-0,12	0,11	-0,02	-0,21	-0,11
14HZ	-0,10	-0,08	0,08	-0,13	-0,15	-0,14	-0,10	-0,09	0,05	0,10	-0,19	-0,14	-0,13	0,16	-0,02	-0,12	-0,28	0,04	0,05
14HRZ1	0,04	-0,09	0,03	0,10	-0,08	-0,04	-0,01	0,02	0,15	0,06	-0,09	0,04	0,06	0,19	0,10	-0,17	-0,29	0,02	0,00
14VRZ2	-0,13	-0,07	0,12	0,06	-0,09	-0,07	-0,04	0,03	0,20	0,15	-0,14	0,06	0,08	0,25	-0,04	-0,21	<u>-0,31</u>	0,10	0,09
14HKZ	-0,05	-0,15	-0,23	-0,10	-0,01	-0,15	-0,12	-0,14	-0,15	-0,09	-0,05	-0,26	-0,29	-0,05	<u>-0,33</u>	0,01	-0,07	0,04	0,13
14MD_K	-0,03	-0,16	-0,04	-0,10	0,01	0,07	0,11	-0,05	0,00	-0,15	0,02	-0,15	-0,21	0,13	-0,11	<u>-0,31</u>	-0,26	0,17	0,21
14MD_S	0,08	-0,14	-0,28	-0,11	-0,12	0,18	0,14	-0,06	0,05	-0,35	-0,13	-0,04	0,00	0,09	0,03	-0,18	-0,07	-0,14	-0,20
14VO_K	-0,09	0,06	-0,08	-0,27	-0,26	0,00	-0,05	-0,21	-0,28	-0,36	-0,24	-0,15	-0,18	-0,21	0,04	0,08	0,13	-0,13	-0,10
14VO_S	-0,06	0,12	-0,15	<u>-0,34</u>	<u>-0,33</u>	-0,15	-0,17	-0,43	-0,28	-0,52	<u>-0,34</u>	-0,17	-0,17	-0,16	-0,01	0,15	0,14	-0,28	-0,21
24HZ	-0,24	-0,16	-0,06	-0,35	<u>-0,33</u>	-0,14	-0,11	-0,14	-0,11	-0,16	-0,17	-0,29	-0,42	0,15	-0,27	-0,19	<u>-0,33</u>	0,16	0,14
24HRZ1	-0,19	-0,08	-0,01	-0,16	<u>-0,31</u>	-0,05	-0,02	0,04	-0,05	-0,10	-0,08	-0,08	-0,21	0,19	-0,12	-0,15	-0,29	0,14	0,09
24VRZ2	-0,19	-0,14	-0,14	-0,29	-0,42	-0,22	-0,19	-0,28	-0,12	-0,27	-0,36	-0,11	-0,23	0,27	-0,19	-0,26	<u>-0,31</u>	0,02	0,02

Продовження табл. Е.4

1	2	3	4	5	6	7	8	9	10	11	12	13	14	15	16	17	18	19	20
24HKZ	-0,01	-0,21	<u>-0,31</u>	-0,17	-0,12	-0,23	-0,20	-0,22	-0,25	-0,25	-0,13	<u>-0,30</u>	-0,40	-0,01	-0,35	0,00	-0,10	0,00	0,09
24MD_K	0,00	-0,19	-0,11	-0,19	-0,05	0,06	0,08	-0,01	0,01	-0,29	-0,02	-0,15	-0,21	0,10	-0,23	-0,39	<u>-0,33</u>	0,12	0,15
24MD_S	-0,18	-0,04	-0,23	-0,23	-0,20	0,09	0,05	-0,02	0,07	<u>-0,32</u>	-0,06	-0,03	-0,15	0,04	-0,18	-0,42	<u>-0,32</u>	0,06	0,01
24VO_K	-0,05	0,06	-0,08	<u>-0,31</u>	-0,25	0,01	-0,03	-0,18	-0,27	-0,35	-0,20	-0,15	-0,19	-0,20	0,04	0,08	0,13	-0,14	-0,11
24VO_S	-0,14	0,11	-0,02	<u>-0,34</u>	<u>-0,31</u>	-0,13	-0,16	<u>-0,31</u>	-0,22	-0,43	<u>-0,30</u>	-0,11	-0,16	-0,15	-0,04	0,11	0,09	-0,20	-0,14
25HZ	-0,14	-0,11	-0,05	0,27	-0,02	0,10	0,10	0,12	-0,01	0,06	-0,06	-0,14	-0,12	-0,06	-0,02	0,08	-0,16	0,12	0,12
25HRZ1	-0,25	-0,15	-0,05	0,22	-0,07	0,20	0,19	0,26	0,03	0,11	0,00	-0,03	-0,18	-0,06	0,07	0,00	-0,16	0,20	0,13
25HRZ2	<u>-0,30</u>	<u>-0,31</u>	<u>-0,35</u>	<u>0,32</u>	0,23	-0,18	-0,20	<u>-0,30</u>	0,24	0,15	-0,20	<u>-0,49</u>	<u>-0,45</u>	<u>-0,49</u>	-0,07	<u>-0,37</u>	<u>-0,49</u>	<u>0,39</u>	<u>0,43</u>
25HKZ	0,16	0,18	-0,05	0,08	0,17	-0,11	-0,10	-0,11	-0,18	-0,02	0,09	-0,21	0,00	-0,08	-0,16	0,11	-0,05	-0,14	-0,05
25MD_K	0,22	-0,23	-0,35	-0,06	0,03	-0,09	-0,07	-0,20	-0,17	-0,18	-0,17	-0,18	-0,23	0,17	-0,21	-0,19	-0,14	-0,07	-0,05
25MD_S	-0,03	-0,28	-0,43	-0,12	-0,18	0,16	0,11	0,02	-0,09	-0,22	-0,05	-0,18	-0,37	-0,10	-0,27	<u>-0,34</u>	-0,28	0,07	-0,03
25VO_K	0,03	0,09	-0,06	0,01	-0,12	-0,02	-0,03	-0,06	-0,26	-0,29	-0,14	-0,19	-0,13	-0,10	-0,07	0,11	0,01	-0,16	-0,05
25VO_S	-0,03	0,09	-0,04	-0,03	-0,17	-0,16	-0,15	-0,10	-0,24	-0,25	-0,15	-0,23	-0,16	-0,13	-0,14	0,07	-0,07	-0,13	-0,02
35HZ	-0,18	-0,38	-0,23	-0,10	-0,37	0,16	0,17	0,23	0,16	-0,06	-0,04	-0,08	-0,24	-0,16	-0,11	-0,19	-0,27	0,20	0,12
35HRZ	-0,14	<u>-0,33</u>	-0,16	0,00	-0,27	0,16	0,20	0,35	0,11	0,07	0,04	-0,05	-0,23	-0,06	-0,07	-0,17	-0,28	0,27	0,21
35HKZ	0,07	-0,17	-0,28	<u>-0,30</u>	-0,17	-0,12	-0,14	-0,46	-0,03	-0,41	-0,22	-0,23	-0,07	-0,20	<u>-0,31</u>	-0,15	-0,04	-0,17	-0,20
35MD_K	-0,01	-0,01	-0,08	-0,19	-0,11	0,14	0,15	-0,05	0,01	-0,22	-0,02	0,01	-0,21	0,35	0,03	-0,19	-0,14	-0,06	-0,12
35MD_S	-0,14	0,08	0,13	0,00	0,01	0,24	0,23	0,23	-0,06	0,11	0,09	0,17	-0,22	0,11	0,09	0,00	-0,02	0,09	0,09
35VO_K	-0,09	-0,11	-0,18	-0,16	-0,14	0,11	0,12	-0,01	-0,16	-0,11	-0,03	-0,14	<u>-0,31</u>	0,13	-0,03	-0,16	-0,09	0,06	0,04
35VO_S	-0,21	0,00	-0,10	-0,19	-0,28	-0,10	-0,14	-0,18	-0,24	-0,36	-0,28	-0,06	-0,22	0,05	-0,03	-0,19	-0,15	-0,08	-0,04
34HZ	0,08	-0,23	-0,18	-0,25	-0,28	<u>0,31</u>	<u>0,34</u>	0,10	0,20	-0,11	-0,03	-0,11	-0,16	0,01	0,03	-0,09	-0,10	-0,05	-0,09
34HRZ	0,06	-0,03	-0,05	-0,13	-0,20	0,29	<u>0,31</u>	0,20	0,15	0,05	0,04	0,14	0,00	0,16	0,21	0,02	0,02	-0,04	-0,06
34HKZ	0,04	-0,22	-0,36	-0,28	-0,17	-0,07	-0,05	-0,24	-0,10	<u>-0,32</u>	-0,22	-0,50	<u>-0,34</u>	-0,14	-0,36	-0,23	-0,21	-0,11	-0,14
34MD_K	-0,19	-0,09	-0,09	-0,16	-0,04	0,19	0,22	0,13	-0,02	-0,10	0,11	-0,02	-0,16	0,02	-0,21	-0,10	-0,02	0,17	0,23

Продовження табл. Е.4

1	2	3	4	5	6	7	8	9	10	11	12	13	14	15	16	17	18	19	20
34MD_S	-0,24	-0,07	-0,09	-0,16	-0,06	0,01	0,02	0,14	0,08	-0,17	0,06	-0,21	-0,28	-0,21	-0,41	<u>-0,30</u>	-0,26	0,21	0,24
34VO_K	0,00	0,04	-0,05	<u>-0,30</u>	-0,25	0,20	0,18	-0,07	-0,09	-0,27	-0,02	0,00	-0,02	-0,04	0,12	-0,01	0,15	-0,04	-0,08
34VO_S	-0,03	0,00	0,03	-0,16	-0,10	0,09	0,10	-0,14	-0,05	-0,20	-0,05	-0,01	-0,14	0,07	0,17	-0,05	-0,01	-0,05	-0,03
44HZ	-0,10	-0,18	-0,02	-0,22	-0,17	<u>0,33</u>	0,35	0,28	0,20	0,03	0,09	-0,09	-0,27	-0,02	-0,06	-0,17	-0,23	0,11	0,07
44HRZ	-0,03	-0,04	0,05	-0,07	-0,12	0,38	0,39	0,38	0,26	0,16	0,09	0,12	-0,05	0,14	0,20	-0,04	-0,08	0,03	0,00
44HKZ	-0,17	-0,16	-0,15	-0,26	-0,12	-0,06	-0,05	-0,11	-0,06	-0,10	-0,10	-0,48	-0,37	-0,14	-0,38	<u>-0,30</u>	-0,35	0,09	0,05
44MD_K	-0,16	-0,08	-0,19	-0,23	-0,12	0,17	0,20	0,03	-0,04	-0,20	0,03	-0,08	-0,23	0,07	-0,16	-0,08	0,03	0,09	0,16
44MD_S	-0,24	-0,08	-0,08	-0,23	-0,11	0,06	0,09	0,06	0,02	-0,19	0,04	<u>-0,30</u>	-0,38	-0,16	<u>-0,34</u>	-0,25	-0,20	0,17	0,18
44VO_K	-0,02	0,00	-0,06	-0,39	<u>-0,30</u>	0,17	0,16	-0,10	-0,08	-0,29	-0,04	0,02	-0,12	0,06	0,14	-0,07	0,07	-0,02	-0,03
44VO_S	0,01	-0,05	-0,03	-0,17	-0,13	0,12	0,14	-0,05	0,00	-0,25	0,00	-0,02	-0,13	0,07	0,10	-0,08	-0,03	-0,03	-0,02
45HZ	-0,29	<u>-0,34</u>	-0,15	-0,05	<u>-0,32</u>	0,15	0,17	0,22	0,08	0,00	-0,01	-0,13	<u>-0,31</u>	-0,19	-0,14	-0,19	-0,29	0,26	0,17
45HRZ	-0,28	-0,24	-0,08	0,11	-0,21	0,15	0,16	0,38	0,11	0,18	0,03	0,03	-0,23	-0,06	-0,03	-0,13	-0,25	0,28	0,23
45HKZ	-0,03	-0,08	-0,25	<u>-0,32</u>	-0,15	-0,11	-0,15	-0,42	-0,06	-0,39	-0,18	<u>-0,30</u>	-0,12	-0,29	-0,34	-0,22	-0,10	-0,13	-0,18
45MD_K	0,02	-0,01	-0,10	-0,15	-0,08	0,11	0,13	-0,05	-0,08	-0,18	-0,02	-0,06	-0,28	0,35	-0,04	-0,15	-0,13	-0,06	-0,11
45MD_S	-0,17	0,07	0,12	-0,04	0,03	0,28	0,27	0,21	0,02	0,12	0,13	0,13	-0,19	0,19	0,13	-0,08	-0,09	0,12	0,10
45VO_K	-0,07	-0,11	-0,14	-0,15	-0,13	0,12	0,13	0,01	-0,08	-0,03	-0,03	-0,05	-0,21	0,22	0,04	-0,15	-0,05	0,07	0,04
45VO_S	-0,20	-0,04	-0,04	-0,21	-0,23	-0,04	-0,03	-0,10	-0,25	-0,26	-0,15	-0,21	-0,29	0,08	-0,11	-0,24	-0,22	0,04	0,06

Таблиця Е.5

Кореляції КТ-розмірів МКЗ із кефалометричними показниками мозкового черепа чоловіків центрального регіону України (n=23-64).

	DUG_GOP	DUG_AUAU	DUGS_GOP	G_OP	EU_EU	FMT_FMT	KRAN IO	TIP_GOL
1	2	3	4	5	6	7	8	9
15HZ	0,04	0,12	-0,03	-0,03	0,22	-0,05	0,18	0,17
15HRZ1	0,08	0,07	0,12	-0,05	0,20	-0,03	0,19	0,17
15HRZ2	0,14	-0,01	-0,07	-0,04	0,12	0,00	0,17	0,14
15HKZ	-0,24	-0,05	-0,25	-0,20	0,06	-0,11	0,17	0,19
15MD_K	0,01	0,08	-0,02	-0,09	0,18	0,10	0,18	0,14
15MD_S	-0,01	-0,03	0,11	-0,06	0,25	-0,02	0,22	0,18
15VO_K	-0,06	0,11	-0,11	-0,17	0,14	-0,02	0,26	0,26
15VO_S	-0,05	0,04	-0,08	-0,24	0,13	0,02	0,28	0,29
14HZ	-0,16	0,00	-0,12	-0,10	0,17	-0,15	0,20	0,15
14HRZ1	-0,08	-0,02	0,04	-0,07	0,16	-0,08	0,15	0,11
14VRZ2	0,06	0,16	0,06	0,15	0,18	0,00	-0,03	-0,03
14HKZ	-0,21	-0,10	-0,28	-0,26	0,20	-0,10	0,31	0,27
14MD_K	-0,09	-0,01	-0,13	-0,23	0,07	-0,02	0,24	0,23
14MD_S	-0,14	-0,09	-0,02	-0,16	0,06	-0,10	0,18	0,17
14VO_K	-0,11	0,03	-0,07	-0,21	0,14	-0,05	0,28	0,25
14VO_S	-0,06	0,01	-0,03	-0,18	0,22	0,07	0,29	0,25
24HZ	-0,16	0,05	-0,18	-0,13	0,24	-0,19	0,29	0,23
24HRZ1	-0,04	0,09	0,07	0,04	0,15	-0,20	0,10	0,04
24VRZ2	-0,05	0,15	-0,03	-0,04	0,11	0,00	0,10	0,10
24HKZ	-0,18	-0,13	-0,29	-0,26	0,16	-0,10	0,31	0,26
24MD_K	-0,09	-0,04	-0,14	-0,29	0,09	0,01	0,30	0,28
24MD_S	-0,11	-0,19	0,04	-0,19	0,08	-0,03	0,18	0,17
24VO_K	-0,04	0,04	-0,02	-0,14	0,15	0,00	0,23	0,20
24VO_S	-0,04	0,02	0,01	-0,16	0,20	-0,01	0,25	0,23
25HZ	0,03	0,17	-0,01	0,04	0,15	-0,09	0,07	0,08
25HRZ1	0,08	0,18	0,13	0,06	0,16	-0,04	0,06	0,07
25HRZ2	0,14	0,06	0,11	-0,16	0,09	0,24	0,16	0,09
25HKZ	-0,15	-0,01	-0,19	-0,12	0,05	-0,08	0,11	0,12
25MD_K	-0,01	0,10	-0,04	-0,10	0,15	0,05	0,17	0,14
25MD_S	-0,04	-0,01	0,07	-0,14	0,20	-0,03	0,23	0,22
25VO_K	-0,03	0,08	-0,11	-0,13	0,12	-0,02	0,22	0,22
25VO_S	-0,03	0,04	-0,11	-0,17	0,15	0,03	0,26	0,26
35HZ	-0,15	0,03	-0,14	-0,10	0,18	-0,23	0,19	0,16
35HRZ	-0,08	0,08	-0,07	-0,01	0,15	-0,25	0,11	0,06
35HKZ	-0,33	-0,24	-0,20	-0,33	-0,08	-0,11	0,17	0,24

Продовження табл. Е.5

1	2	3	4	5	6	7	8	9
35MD_K	-0,15	-0,07	-0,05	-0,30	0,10	-0,12	0,31	0,27
35MD_S	-0,04	0,03	0,02	-0,25	0,17	0,09	0,36	0,34
35VO_K	-0,22	-0,04	-0,23	-0,32	0,15	-0,13	0,38	0,38
35VO_S	-0,09	-0,04	-0,18	-0,22	0,13	-0,10	0,31	0,30
34HZ	-0,02	-0,05	-0,14	-0,04	0,25	0,05	0,23	0,15
34HRZ	0,00	-0,06	-0,10	0,00	0,19	-0,02	0,19	0,11
34HKZ	-0,05	-0,04	-0,02	-0,08	0,18	0,05	0,15	0,13
34MD_K	-0,09	-0,10	-0,12	-0,24	0,06	0,02	0,27	0,27
34MD_S	-0,13	-0,24	-0,14	-0,32	-0,03	-0,09	0,24	0,26
34VO_K	-0,18	-0,06	-0,04	-0,27	0,19	-0,04	0,38	0,36
34VO_S	-0,24	-0,16	-0,07	-0,33	0,14	-0,10	0,38	0,38
44HZ	-0,01	-0,01	-0,10	-0,02	0,19	-0,02	0,20	0,11
44HRZ	0,02	-0,02	-0,09	0,03	0,11	-0,03	0,12	0,03
44HKZ	-0,13	-0,08	-0,01	-0,17	0,19	-0,11	0,22	0,22
44MD_K	-0,06	-0,11	-0,10	-0,24	0,11	0,03	0,31	0,31
44MD_S	-0,08	-0,20	-0,15	-0,31	0,04	0,08	0,29	0,30
44VO_K	-0,18	-0,05	0,01	-0,29	0,19	-0,01	0,39	0,38
44VO_S	-0,16	0,00	0,00	-0,27	0,20	-0,10	0,39	0,38
45HZ	-0,16	0,00	-0,12	0,01	0,05	-0,27	0,04	0,01
45HRZ	-0,06	0,10	-0,01	0,11	0,01	-0,24	-0,07	-0,12
45HKZ	-0,26	-0,22	-0,22	-0,24	0,06	-0,14	0,23	0,27
45MD_K	-0,18	-0,14	-0,10	-0,32	0,04	-0,10	0,30	0,27
45MD_S	-0,01	-0,06	0,07	-0,18	0,08	0,13	0,21	0,20
45VO_K	-0,29	-0,09	-0,24	-0,35	0,06	-0,15	0,34	0,36
45VO_S	-0,15	-0,03	-0,22	-0,27	0,08	-0,10	0,30	0,31

Таблиця Е.6

Кореляції КТ-розмірів МКЗ із кефалометричними показниками лицевого черепа чоловіків центрального регіону України (n=23-64).

	ZY_ ZY	ZM_ ZM	GO_ GO	TR_ N	TR_ GN	N_ PRN	N_ SN	SN_ PRN	N_ STO	N_I	N_ GN	MF_ MF	EK_ EK	AL_ AL	CHI_ CHI	PGO_ _GN	IGO_ _GN	IN_ GARS	TIP_ LICA
1	2	3	4	5	6	7	8	9	10	11	12	13	14	15	16	17	18	19	20
15HZ	-0,05	0,18	0,04	0,04	-0,10	-0,09	-0,11	0,05	-0,21	-0,03	0,05	0,02	0,00	0,00	-0,08	-0,08	-0,14	-0,04	-0,11
15HRZ1	0,08	0,09	0,06	-0,03	-0,07	-0,17	-0,18	-0,03	-0,18	0,10	0,14	0,04	0,00	-0,11	0,03	-0,02	-0,06	0,03	-0,04
15HRZ2	<u>-0,31</u>	<u>0,34</u>	-0,12	0,23	0,10	-0,13	-0,13	0,26	-0,15	0,00	0,00	0,07	0,14	0,20	0,10	-0,27	<u>-0,31</u>	-0,09	-0,17
15HKZ	-0,18	0,08	-0,15	-0,02	-0,15	-0,10	-0,10	-0,09	-0,06	-0,26	-0,20	-0,17	-0,14	0,09	-0,13	-0,14	-0,20	-0,12	-0,19
15MD_K	0,05	0,03	0,01	0,02	-0,03	-0,11	-0,07	0,09	-0,09	-0,04	-0,05	-0,01	0,19	0,03	0,20	-0,04	-0,09	-0,13	-0,15
15MD_S	0,08	-0,13	0,10	-0,23	-0,13	-0,12	-0,13	0,05	0,00	-0,10	-0,16	-0,26	0,02	-0,13	-0,09	0,11	0,07	-0,11	-0,08
15VO_K	-0,23	0,05	-0,03	-0,08	-0,06	-0,05	0,00	0,04	0,05	-0,23	-0,09	-0,21	0,03	-0,07	-0,07	0,08	0,05	-0,03	-0,03
15VO_S	-0,20	0,03	0,04	-0,07	-0,07	-0,04	-0,02	0,01	0,05	-0,24	-0,08	-0,25	0,06	0,07	-0,01	0,16	0,10	-0,04	-0,05
14HZ	0,03	-0,03	-0,11	-0,03	-0,13	-0,18	-0,18	-0,12	-0,18	-0,12	-0,18	-0,08	0,06	0,03	-0,10	-0,18	-0,23	-0,18	-0,25
14HRZ1	0,14	-0,07	-0,03	-0,21	-0,15	-0,29	-0,26	-0,16	-0,11	-0,03	-0,09	-0,05	-0,01	-0,10	-0,11	-0,02	-0,05	-0,07	-0,11
14VRZ2	0,12	0,10	0,11	0,07	0,11	-0,10	-0,10	-0,07	-0,11	0,10	-0,02	0,01	0,01	-0,15	-0,07	-0,07	0,00	-0,09	-0,11
14HKZ	-0,14	0,04	-0,05	0,06	-0,10	-0,02	-0,05	0,09	-0,11	-0,20	-0,14	-0,21	-0,02	0,11	-0,08	-0,18	-0,25	-0,17	-0,23
14MD_K	-0,01	0,09	-0,01	-0,05	-0,15	-0,09	-0,12	0,08	-0,19	-0,23	-0,19	-0,19	-0,03	-0,02	-0,09	-0,12	-0,15	-0,23	-0,28
14MD_S	0,07	-0,12	0,02	-0,03	-0,13	0,04	0,02	0,04	-0,08	-0,14	-0,13	-0,22	-0,06	-0,24	-0,21	-0,01	-0,02	-0,15	-0,07
14VO_K	0,00	0,04	-0,08	-0,10	-0,11	-0,11	-0,08	0,01	-0,07	-0,16	-0,13	-0,15	0,08	-0,11	-0,04	-0,01	-0,04	-0,15	-0,18
14VO_S	0,13	0,06	0,04	-0,09	-0,05	-0,05	-0,05	0,04	0,00	-0,18	-0,14	-0,27	0,15	-0,10	-0,06	0,09	0,04	-0,22	-0,23
24HZ	-0,09	-0,06	-0,05	-0,04	-0,25	-0,14	-0,13	-0,02	-0,13	-0,17	-0,15	-0,16	0,06	-0,10	-0,09	-0,12	-0,18	-0,06	-0,13
24HRZ1	0,01	-0,02	-0,07	-0,16	-0,17	-0,20	-0,19	-0,09	-0,11	-0,03	-0,07	-0,08	0,07	-0,23	-0,08	-0,04	-0,07	0,03	0,00
24VRZ2	0,12	0,04	-0,05	0,08	-0,12	-0,24	-0,20	-0,09	-0,23	-0,07	-0,17	-0,03	0,07	-0,03	0,02	-0,02	-0,01	-0,19	-0,22

Продовження табл. Е.6

1	2	3	4	5	6	7	8	9	10	11	12	13	14	15	16	17	18	19	20
24HKZ	-0,22	-0,04	-0,04	0,09	-0,12	0,03	0,04	0,14	0,05	-0,27	-0,11	-0,23	0,01	0,01	-0,12	-0,13	-0,20	-0,07	-0,11
24MD_K	-0,04	0,10	0,01	-0,11	-0,24	-0,15	-0,18	0,04	-0,22	-0,30	-0,28	-0,20	-0,02	-0,05	-0,05	-0,06	-0,08	-0,30	-0,32
24MD_S	0,15	-0,05	-0,04	-0,09	-0,20	0,00	-0,05	0,00	-0,13	-0,05	-0,15	-0,30	-0,09	-0,22	-0,17	0,08	0,02	-0,21	-0,20
24VO_K	0,03	0,03	-0,10	-0,11	-0,11	-0,07	-0,03	0,03	-0,04	-0,18	-0,15	-0,14	0,16	-0,09	-0,02	-0,01	-0,04	-0,17	-0,18
24VO_S	0,10	0,06	-0,01	-0,10	-0,07	-0,01	0,00	0,08	0,03	-0,16	-0,14	-0,23	0,18	-0,06	-0,02	0,02	0,01	-0,23	-0,25
25HZ	-0,13	0,10	-0,11	0,01	0,01	-0,07	-0,05	0,12	-0,03	0,04	0,06	-0,05	-0,12	-0,01	-0,03	-0,05	-0,09	0,09	0,03
25HRZ1	0,03	0,06	0,00	-0,01	0,05	-0,16	-0,12	0,06	-0,02	0,18	0,14	0,02	-0,14	-0,10	0,09	0,00	-0,02	0,09	0,05
25HRZ2	-0,16	0,47	-0,21	0,10	0,05	<u>-0,36</u>	<u>-0,36</u>	0,04	-0,16	-0,07	-0,18	0,25	0,07	<u>0,35</u>	0,29	-0,01	-0,13	<u>-0,32</u>	<u>-0,37</u>
25HKZ	-0,19	-0,01	-0,13	-0,04	-0,04	0,06	0,04	0,00	0,04	-0,21	-0,11	-0,26	-0,05	0,10	-0,17	0,01	-0,04	-0,02	-0,05
25MD_K	-0,03	0,06	0,02	0,06	-0,12	-0,12	-0,11	0,07	-0,12	-0,09	-0,12	0,04	0,12	0,09	0,18	-0,07	-0,14	-0,17	-0,20
25MD_S	0,08	-0,01	0,12	-0,20	-0,25	-0,21	-0,19	-0,01	-0,07	-0,12	-0,20	-0,14	-0,05	-0,12	-0,03	0,01	-0,01	-0,19	-0,19
25VO_K	-0,21	0,11	-0,07	-0,04	-0,02	-0,08	-0,04	0,02	0,00	-0,26	-0,16	-0,17	0,06	0,00	-0,03	0,04	0,01	-0,10	-0,11
25VO_S	-0,17	0,07	0,04	0,01	0,02	-0,06	-0,02	0,03	-0,01	-0,21	-0,09	-0,22	0,07	0,02	0,00	0,09	0,06	-0,08	-0,09
35HZ	-0,13	-0,03	0,00	-0,06	-0,29	-0,26	-0,26	-0,07	-0,17	-0,13	-0,26	-0,05	-0,10	-0,05	-0,05	-0,08	-0,12	-0,10	-0,14
35HRZ	-0,11	-0,09	-0,04	-0,09	-0,20	-0,26	-0,24	-0,04	-0,08	-0,02	-0,14	0,05	-0,03	-0,09	0,03	-0,06	-0,11	0,05	0,01
35HKZ	0,02	0,13	-0,04	-0,01	-0,28	-0,06	-0,13	-0,22	-0,18	-0,38	-0,36	-0,35	-0,19	0,02	-0,19	0,02	-0,04	-0,39	-0,40
35MD_K	0,04	0,14	0,06	-0,14	-0,25	-0,11	-0,11	-0,03	-0,17	-0,15	-0,11	-0,07	0,00	-0,17	0,01	-0,03	-0,07	-0,21	-0,20
35MD_S	0,11	-0,08	0,12	-0,02	-0,06	0,06	0,07	0,14	-0,07	-0,11	-0,03	-0,14	0,11	-0,06	-0,06	0,18	0,13	-0,05	-0,04
35VO_K	-0,14	0,08	-0,04	-0,11	-0,26	-0,16	-0,15	-0,10	-0,15	-0,30	-0,25	-0,27	-0,05	-0,14	-0,04	0,03	0,00	-0,23	-0,26
35VO_S	-0,12	-0,01	-0,04	-0,08	-0,19	-0,15	-0,13	-0,13	-0,08	-0,26	-0,20	-0,35	-0,03	-0,20	-0,05	0,12	0,10	-0,14	-0,18
34HZ	0,03	-0,02	0,12	-0,07	-0,28	-0,15	-0,18	0,08	-0,22	-0,16	-0,28	0,02	0,05	0,03	-0,01	-0,02	-0,10	-0,20	-0,22
34HRZ	0,00	-0,18	0,09	-0,08	-0,23	-0,11	-0,13	0,07	-0,13	-0,11	-0,21	-0,03	0,01	-0,05	-0,06	-0,01	-0,10	-0,07	-0,09
34HKZ	0,03	0,23	0,09	0,00	-0,18	0,02	-0,03	-0,05	-0,09	-0,13	-0,16	0,03	0,09	0,09	0,08	0,05	0,00	-0,17	-0,18
34MD_K	0,06	0,05	-0,02	0,01	-0,14	0,00	0,01	-0,02	-0,22	-0,17	-0,12	-0,16	-0,18	-0,18	-0,08	-0,11	-0,19	-0,23	-0,28

Продовження табл. Е.6

1	2	3	4	5	6	7	8	9	10	11	12	13	14	15	16	17	18	19	20
34MD_S	-0,01	-0,07	-0,01	-0,10	-0,29	-0,10	-0,09	0,02	-0,16	-0,27	-0,22	-0,27	-0,20	-0,18	-0,02	-0,06	-0,08	-0,24	-0,26
34VO_K	-0,06	0,06	-0,18	-0,07	-0,18	-0,15	-0,16	-0,05	-0,17	-0,20	-0,26	-0,21	0,03	-0,09	-0,02	-0,07	-0,11	-0,23	-0,27
34VO_S	-0,09	0,03	-0,18	-0,20	-0,26	-0,16	-0,18	-0,04	-0,15	-0,27	-0,29	-0,28	-0,05	-0,13	-0,13	-0,11	-0,15	-0,22	-0,27
44HZ	0,00	0,03	0,05	-0,06	-0,26	-0,16	-0,20	0,05	-0,27	-0,12	-0,27	0,01	0,04	-0,07	-0,05	-0,08	-0,16	-0,17	-0,21
44HRZ	-0,01	-0,07	-0,01	-0,14	-0,26	-0,11	-0,13	0,03	-0,16	-0,11	-0,23	0,07	0,10	-0,09	-0,05	-0,07	-0,15	-0,10	-0,12
44HKZ	-0,01	0,11	0,10	0,03	-0,19	-0,03	-0,11	-0,03	-0,21	-0,15	-0,18	-0,17	-0,12	0,05	-0,07	0,01	-0,07	-0,19	-0,22
44MD_K	0,04	0,01	0,03	-0,01	-0,16	0,04	0,05	0,05	-0,22	-0,17	-0,09	-0,17	-0,16	-0,13	-0,07	-0,05	-0,13	-0,20	-0,24
44MD_S	0,13	0,02	0,13	-0,12	-0,20	-0,04	-0,03	-0,04	-0,17	-0,22	-0,10	-0,17	-0,03	-0,22	0,01	0,08	0,07	-0,21	-0,20
44VO_K	-0,04	0,09	-0,13	-0,09	-0,19	-0,09	-0,09	-0,09	-0,18	-0,17	-0,21	-0,20	-0,01	-0,09	0,00	-0,11	-0,15	-0,21	-0,25
44VO_S	-0,11	0,04	-0,13	-0,17	-0,21	-0,10	-0,11	-0,03	-0,11	-0,16	-0,16	-0,19	0,01	-0,22	-0,06	-0,08	-0,10	-0,09	-0,13
45HZ	-0,14	-0,07	-0,12	-0,11	-0,19	-0,24	-0,23	-0,07	-0,08	-0,07	-0,22	-0,14	-0,15	-0,17	-0,13	-0,10	-0,09	-0,03	-0,07
45HRZ	-0,12	-0,04	-0,13	-0,13	-0,09	-0,19	-0,15	-0,04	0,02	0,03	-0,10	0,02	-0,06	-0,15	-0,04	-0,06	-0,06	0,09	0,07
45HKZ	0,00	0,00	0,01	0,03	-0,20	-0,06	-0,13	-0,13	-0,16	-0,28	-0,27	-0,38	-0,10	-0,02	-0,17	-0,03	-0,06	-0,27	-0,30
45MD_K	0,05	0,13	0,02	-0,16	-0,23	-0,08	-0,06	-0,01	-0,17	-0,13	-0,06	-0,02	0,02	-0,15	0,02	-0,12	-0,17	-0,18	-0,18
45MD_S	0,15	0,04	0,13	-0,12	-0,06	0,12	0,11	0,02	-0,02	-0,11	-0,02	-0,15	0,07	-0,13	-0,10	0,26	0,20	-0,08	-0,05
45VO_K	-0,16	0,08	-0,10	-0,11	-0,26	-0,16	-0,15	-0,16	-0,17	-0,32	-0,26	-0,29	-0,07	-0,08	-0,06	-0,01	-0,02	-0,23	-0,27
45VO_S	-0,10	0,03	-0,02	-0,10	-0,23	-0,10	-0,09	-0,13	-0,11	-0,33	-0,22	-0,35	-0,06	-0,25	-0,11	0,09	0,10	-0,18	-0,23

Таблиця Е.7

Кореляції КТ-розмірів МКЗ із кефалометричними показниками мозкового черепа чоловіків західного регіону України (n=16-36).

	DUG_GOP	DUG_AUAU	DUGS_GOP	G_OP	EU_EU	FMT_FMT	KRAN IO	TIP_GOL
1	2	3	4	5	6	7	8	9
15HZ	0,04	-0,01	-0,05	0,06	-0,26	-0,22	-0,25	-0,23
15HRZ1	-0,10	-0,07	-0,21	-0,10	-0,26	-0,34	-0,16	-0,11
15HRZ2	0,23	0,17	-0,02	-0,01	0,23	0,27	0,20	0,14
15HKZ	-0,04	-0,04	0,07	0,01	-0,16	0,06	-0,11	-0,16
15MD_K	-0,21	0,04	-0,05	0,02	<u>0,32</u>	0,17	0,22	0,25
15MD_S	-0,10	0,03	0,05	0,15	0,34	0,12	0,14	0,21
15VO_K	0,00	-0,11	0,06	0,12	-0,12	-0,02	-0,17	-0,17
15VO_S	-0,07	-0,09	0,00	0,01	-0,10	-0,07	-0,06	-0,01
14HZ	-0,06	0,24	-0,14	-0,05	-0,02	0,08	0,05	0,00
14HRZ1	-0,22	0,00	-0,17	-0,21	-0,03	0,10	0,08	0,13
14VRZ2	-0,03	0,40	-0,01	0,02	0,24	0,36	0,26	0,21
14HKZ	-0,06	0,06	-0,04	0,08	-0,08	-0,01	-0,14	-0,13
14MD_K	-0,19	0,01	-0,12	-0,03	0,24	0,11	0,16	0,17
14MD_S	0,02	0,04	0,09	0,26	0,35	-0,01	0,06	0,06
14VO_K	0,15	-0,07	-0,05	0,13	-0,07	<u>-0,31</u>	-0,15	-0,15
14VO_S	-0,02	-0,11	-0,23	-0,08	-0,10	-0,36	-0,03	0,07
24HZ	-0,19	0,17	-0,23	-0,10	0,01	-0,06	0,13	0,07
24HRZ1	-0,36	-0,17	-0,35	<u>-0,31</u>	-0,06	-0,04	0,16	0,16
24VRZ2	-0,26	0,07	-0,25	-0,17	0,19	0,20	0,35	0,23
24HKZ	-0,01	0,15	0,09	0,21	-0,05	-0,12	-0,15	-0,16
24MD_K	-0,11	-0,01	0,05	0,05	<u>0,31</u>	0,11	0,25	0,21
24MD_S	-0,08	0,08	-0,05	0,06	0,28	0,11	0,12	0,15
24VO_K	0,11	-0,06	-0,13	0,08	0,00	<u>-0,30</u>	-0,02	0,01
24VO_S	-0,01	-0,11	-0,20	-0,03	0,00	-0,27	0,07	0,12
25HZ	-0,01	0,01	0,04	0,10	<u>-0,32</u>	-0,12	-0,36	<u>-0,30</u>
25HRZ1	-0,05	0,11	-0,05	-0,11	-0,20	-0,09	-0,15	-0,07
25HRZ2	-0,02	-0,04	-0,12	<u>0,36</u>	-0,15	-0,07	<u>-0,34</u>	<u>-0,42</u>
25HKZ	-0,12	-0,11	-0,05	0,11	-0,13	0,02	-0,15	-0,18
25MD_K	-0,02	0,27	0,12	0,19	0,42	0,34	0,26	0,26
25MD_S	-0,04	0,00	0,16	0,16	0,43	0,18	0,27	0,22
25VO_K	-0,02	-0,01	0,05	0,05	-0,09	0,00	-0,08	-0,06
25VO_S	-0,02	0,01	-0,07	-0,09	-0,23	-0,08	-0,08	-0,06
35HZ	-0,11	-0,05	-0,08	-0,17	-0,09	-0,01	0,09	0,06
35HRZ	-0,16	-0,01	-0,18	-0,29	-0,09	0,05	0,15	0,15
35HKZ	0,23	0,21	0,27	0,44	0,15	-0,03	-0,11	-0,13

Продовження табл. Е.7

1	2	3	4	5	6	7	8	9
35MD_K	0,11	0,28	0,13	0,11	0,45	<u>0,30</u>	0,22	0,17
35MD_S	-0,21	-0,01	-0,15	-0,08	0,27	0,06	0,23	0,22
35VO_K	0,17	0,42	0,23	0,19	0,11	0,16	-0,06	-0,12
35VO_S	-0,03	0,24	0,03	0,00	-0,10	0,01	-0,02	-0,05
34HZ	0,17	-0,10	0,13	0,14	0,01	-0,10	-0,11	-0,11
34HRZ	0,10	-0,16	-0,01	0,03	-0,07	-0,19	-0,11	-0,13
34HKZ	0,19	0,01	0,36	0,38	0,11	0,04	-0,14	-0,09
34MD_K	0,07	<u>0,30</u>	0,05	0,05	0,24	-0,02	0,13	0,08
34MD_S	-0,08	0,18	-0,05	-0,01	<u>0,31</u>	0,11	0,24	0,24
34VO_K	0,17	0,19	0,22	0,28	0,15	0,13	-0,09	-0,05
34VO_S	0,07	0,22	0,14	0,20	0,18	0,06	0,00	0,03
44HZ	0,19	-0,07	0,15	0,16	0,12	-0,12	0,01	0,01
44HRZ	0,16	-0,04	0,10	0,05	0,18	-0,12	0,12	0,11
44HKZ	0,07	-0,08	0,16	<u>0,31</u>	0,02	-0,01	-0,20	-0,19
44MD_K	0,01	0,21	0,06	0,07	0,28	0,04	0,17	0,14
44MD_S	0,07	0,24	0,12	0,09	0,45	0,18	0,27	<u>0,30</u>
44VO_K	0,10	0,28	0,23	0,23	0,10	0,12	-0,09	-0,08
44VO_S	0,07	0,33	0,14	0,18	0,14	0,02	-0,05	-0,02
45HZ	-0,14	0,09	0,00	-0,17	0,10	0,24	0,20	0,20
45HRZ	-0,15	0,08	-0,10	-0,28	0,07	0,23	0,26	0,24
45HKZ	-0,05	0,03	0,14	0,16	0,17	0,13	0,01	0,08
45MD_K	0,07	0,24	0,27	0,24	0,45	<u>0,31</u>	0,18	0,15
45MD_S	-0,02	0,15	0,06	0,08	0,42	0,09	0,29	0,23
45VO_K	0,16	0,40	0,27	0,25	0,08	0,10	-0,09	-0,16
45VO_S	0,09	0,35	0,16	0,10	0,05	0,00	0,01	-0,05

Продовження табл. Е.8

1	2	3	4	5	6	7	8	9	10	11	12	13	14	15	16	17	18	19	20
34MD_S	0,13	0,08	0,06	0,06	0,04	0,14	0,07	0,10	0,26	0,10	-0,02	0,10	0,23	-0,05	-0,20	0,24	0,23	-0,17	-0,07
34VO_K	0,25	-0,16	0,14	0,25	0,27	0,18	0,24	-0,06	0,24	0,15	0,07	-0,10	<u>0,31</u>	0,08	0,03	0,21	0,22	-0,02	0,07
34VO_S	0,16	-0,11	0,18	0,14	0,06	0,07	0,10	-0,07	0,09	-0,06	-0,08	-0,07	<u>0,32</u>	0,17	0,10	0,37	0,34	-0,14	-0,05
44HZ	0,02	<u>-0,30</u>	0,16	0,07	0,14	0,23	0,21	0,21	0,06	0,40	<u>0,30</u>	-0,24	0,18	0,06	0,06	0,14	0,05	0,40	0,34
44HRZ	0,00	-0,26	0,24	0,09	0,21	0,26	0,20	0,26	-0,08	<u>0,31</u>	0,21	-0,14	0,24	0,20	0,08	0,24	0,15	<u>0,31</u>	0,28
44HKZ	0,22	-0,16	0,00	-0,03	-0,05	0,15	0,14	0,13	0,38	0,42	0,37	-0,17	-0,07	-0,22	-0,07	-0,16	-0,21	0,29	0,20
44MD_K	0,08	-0,14	0,17	0,13	0,18	<u>0,30</u>	0,23	0,13	0,21	0,26	0,09	-0,03	0,33	0,02	0,06	0,24	0,14	0,02	0,04
44MD_S	0,34	-0,08	0,26	0,08	0,24	0,25	0,23	0,04	0,21	0,13	0,02	-0,07	0,25	0,00	-0,13	0,33	0,33	-0,19	-0,06
44VO_K	0,19	-0,10	0,12	0,25	0,13	0,11	0,15	-0,02	0,17	0,03	-0,01	0,02	0,41	0,13	0,06	0,29	0,23	-0,13	-0,02
44VO_S	0,10	-0,06	0,16	0,20	0,08	0,11	0,13	-0,19	0,07	-0,06	-0,14	0,04	0,39	0,25	0,02	0,38	0,38	-0,19	-0,08
45HZ	0,07	0,03	-0,16	-0,14	-0,10	0,04	0,04	-0,04	0,27	0,15	0,02	0,10	0,07	<u>-0,31</u>	-0,05	-0,11	-0,10	-0,07	-0,05
45HRZ	0,07	0,05	-0,03	-0,26	-0,15	-0,10	-0,12	0,00	0,05	0,04	-0,06	0,15	0,08	-0,29	-0,04	-0,12	-0,09	-0,14	-0,14
45HKZ	0,19	-0,07	-0,15	0,21	0,13	0,39	0,41	0,01	0,50	0,22	0,16	-0,07	0,05	-0,08	-0,08	0,07	0,06	0,05	0,10
45MD_K	<u>0,31</u>	-0,12	0,11	-0,02	0,24	0,36	0,33	0,36	0,37	0,37	0,20	-0,08	0,18	-0,09	0,10	0,07	0,00	-0,01	0,07
45MD_S	0,23	-0,04	0,18	-0,22	0,01	0,24	0,22	0,09	0,22	0,23	0,02	-0,02	0,16	0,05	0,04	0,02	-0,02	-0,15	-0,09
45VO_K	0,17	-0,03	0,20	0,27	0,14	0,12	0,17	-0,06	0,11	-0,09	-0,14	0,06	0,48	0,19	0,26	<u>0,31</u>	0,35	-0,26	-0,17
45VO_S	0,05	0,11	0,20	0,29	0,07	-0,01	0,03	-0,18	-0,03	-0,21	-0,22	0,08	0,41	0,17	0,12	<u>0,32</u>	0,36	-0,34	-0,24

Таблиця Е.9

Кореляції КТ-розмірів МКЗ із кефалометричними показниками мозкового черепа чоловіків східного регіону України (n=12-35).

	DUG_	DUG_	DUGS_	G_OP	EU_EU	FMT_	KRAN	TIP_
	GOP	AUAU	GOP			FMT	IO	GOL
1	2	3	4	5	6	7	8	9
15HZ	0,03	-0,06	-0,07	-0,17	0,27	-0,06	<u>0,32</u>	0,28
15HRZ1	-0,06	-0,14	-0,06	<u>-0,33</u>	0,07	-0,03	0,26	0,22
15HRZ2	-0,20	0,13	<u>-0,34</u>	0,13	0,22	<u>-0,31</u>	0,11	-0,11
15HKZ	-0,08	-0,12	-0,03	-0,10	0,24	-0,04	0,27	0,27
15MD_K	-0,26	-0,07	-0,18	-0,09	-0,11	-0,16	0,04	-0,03
15MD_S	-0,24	0,07	-0,45	-0,13	-0,10	-0,28	0,05	-0,05
15VO_K	-0,04	-0,04	0,07	-0,10	0,15	-0,03	0,19	0,22
15VO_S	0,04	-0,04	0,04	-0,09	0,14	0,04	0,16	0,22
14HZ	-0,26	-0,13	-0,13	-0,25	-0,04	0,00	0,12	0,14
14HRZ1	-0,18	-0,19	-0,17	-0,16	-0,08	-0,13	0,03	0,05
14VRZ2	-0,26	-0,23	-0,23	-0,12	-0,14	-0,16	-0,06	-0,09
14HKZ	-0,17	0,06	0,02	-0,24	-0,04	-0,04	0,11	0,16
14MD_K	-0,07	-0,06	-0,21	-0,06	0,00	-0,40	0,04	-0,01
14MD_S	-0,11	-0,08	<u>-0,30</u>	-0,27	-0,03	-0,18	0,16	0,14
14VO_K	-0,22	-0,17	-0,12	-0,34	0,02	-0,12	0,22	0,29
14VO_S	-0,21	-0,17	-0,09	-0,35	0,08	-0,07	0,25	0,35
24HZ	-0,07	-0,05	-0,07	-0,20	-0,05	0,12	0,04	0,04
24HRZ1	-0,10	-0,15	-0,19	-0,21	-0,08	0,05	0,03	0,01
24VRZ2	-0,18	-0,15	-0,18	-0,12	-0,20	0,00	-0,12	-0,16
24HKZ	-0,11	0,03	-0,02	-0,26	0,05	0,00	0,18	0,23
24MD_K	-0,11	-0,05	-0,16	-0,16	0,01	-0,27	0,13	0,08
24MD_S	-0,17	0,08	-0,24	-0,16	-0,11	-0,11	0,08	0,04
24VO_K	-0,19	-0,16	-0,01	-0,24	-0,03	0,02	0,10	0,16
24VO_S	-0,07	-0,11	0,08	-0,19	0,11	0,17	0,16	0,22
25HZ	0,05	0,02	0,08	0,05	0,11	0,03	0,08	0,02
25HRZ1	-0,03	-0,07	0,05	-0,04	-0,13	-0,21	-0,05	-0,07
25HRZ2	<u>0,47</u>	0,22	-0,11	0,05	<u>0,48</u>	0,29	<u>0,41</u>	0,18
25HKZ	-0,03	-0,06	0,09	-0,03	0,20	0,22	0,19	0,18
25MD_K	-0,03	0,12	-0,06	0,19	-0,04	-0,17	-0,07	-0,17
25MD_S	0,06	0,09	-0,27	0,11	-0,08	-0,20	-0,10	-0,23
25VO_K	-0,07	-0,07	0,07	-0,02	0,08	0,11	0,09	0,09
25VO_S	0,02	-0,02	0,07	0,00	0,19	0,23	0,15	0,14
35HZ	-0,18	-0,02	0,00	-0,09	<u>-0,33</u>	-0,11	-0,15	-0,14
35HRZ	-0,13	-0,01	0,07	-0,10	<u>-0,32</u>	-0,08	-0,11	-0,08
35HKZ	-0,15	-0,16	-0,05	-0,08	-0,04	-0,03	-0,02	-0,04

Продовження табл. Е.9

1	2	3	4	5	6	7	8	9
35MD_K	-0,07	0,10	-0,01	-0,04	-0,08	-0,08	0,01	-0,07
35MD_S	-0,18	-0,25	-0,02	-0,28	-0,14	-0,08	0,07	0,00
35VO_K	-0,14	0,02	-0,12	-0,11	0,02	-0,10	0,10	0,09
35VO_S	-0,14	-0,17	-0,07	-0,12	-0,05	-0,02	0,03	0,03
34HZ	0,10	0,12	-0,08	0,08	-0,05	-0,26	-0,07	-0,15
34HRZ	0,07	0,15	-0,28	0,11	-0,15	-0,21	-0,15	-0,23
34HKZ	-0,04	0,04	0,18	0,00	-0,03	-0,25	-0,04	-0,03
34MD_K	-0,25	0,07	-0,23	-0,24	-0,16	-0,15	0,08	0,07
34MD_S	-0,16	-0,05	-0,18	-0,16	-0,13	-0,12	0,03	0,01
34VO_K	-0,24	0,01	-0,08	-0,24	-0,08	-0,16	0,11	0,14
34VO_S	-0,11	-0,09	0,00	<u>-0,30</u>	0,06	-0,04	0,24	0,25
44HZ	0,10	0,14	-0,08	-0,03	0,04	-0,26	0,07	0,02
44HRZ	0,13	0,14	-0,27	-0,04	0,02	-0,20	0,09	0,06
44HKZ	0,05	0,05	0,20	0,01	0,03	-0,22	0,00	0,00
44MD_K	-0,19	0,07	-0,18	-0,15	-0,17	-0,12	0,02	-0,01
44MD_S	-0,18	-0,14	-0,28	-0,22	-0,17	-0,16	0,03	-0,01
44VO_K	-0,17	-0,01	0,04	<u>-0,31</u>	-0,07	-0,12	0,15	0,17
44VO_S	0,01	-0,05	0,03	-0,29	0,11	-0,12	0,26	<u>0,30</u>
45HZ	-0,37	-0,16	-0,16	<u>-0,30</u>	-0,37	-0,09	-0,06	-0,09
45HRZ	-0,37	-0,15	-0,10	-0,34	<u>-0,33</u>	-0,08	0,02	0,01
45HKZ	-0,21	-0,22	-0,13	-0,06	-0,23	-0,18	-0,22	-0,23
45MD_K	-0,06	0,07	0,01	0,01	-0,15	-0,07	-0,08	-0,17
45MD_S	-0,25	-0,29	-0,10	<u>-0,32</u>	-0,17	-0,05	0,09	0,01
45VO_K	-0,20	-0,07	-0,18	-0,24	0,06	-0,17	0,21	0,21
45VO_S	-0,11	-0,13	-0,11	-0,27	0,00	-0,10	0,16	0,19

Таблиця Е.10

Кореляції КТ-розмірів МКЗ із кефалометричними показниками лицевого черепа чоловіків східного регіону України (n=12-35).

	ZY_ ZY	ZM_ ZM	GO_ GO	TR_ N	TR_ GN	N_ PRN	N_ SN	SN_ PRN	N_ STO	N_I	N_ GN	MF_ MF	EK_ EK	AL_ AL	CHI_ CHI	PGO _GN	IGO _GN	IN_ GARS	TIP_ LICA
1	2	3	4	5	6	7	8	9	10	11	12	13	14	15	16	17	18	19	20
15HZ	0,03	0,13	0,01	0,00	0,29	0,19	0,20	-0,11	-0,05	0,21	0,22	0,19	0,25	-0,03	0,02	0,16	0,17	0,04	0,17
15HRZ1	-0,07	0,03	0,07	-0,09	-0,14	0,17	0,10	-0,30	-0,06	-0,01	-0,02	-0,02	0,05	-0,08	0,01	0,02	-0,03	-0,14	-0,09
15HRZ2	<u>-0,33</u>	0,11	-0,11	-0,28	0,28	<u>0,30</u>	0,21	0,03	-0,21	<u>0,39</u>	<u>0,41</u>	-0,01	-0,15	-0,13	0,23	<u>0,44</u>	0,23	<u>0,33</u>	<u>0,43</u>
15HKZ	0,07	0,16	-0,10	0,10	<u>0,30</u>	0,04	0,12	0,01	-0,02	0,16	0,14	0,26	0,19	0,18	-0,02	0,18	0,22	0,10	0,21
15MD_K	0,12	-0,26	0,03	-0,04	0,06	0,18	0,26	-0,13	0,24	-0,16	0,06	0,02	-0,04	-0,01	-0,02	0,16	0,13	0,19	0,14
15MD_S	0,03	-0,03	-0,06	<u>-0,31</u>	-0,17	0,07	0,01	0,05	-0,05	-0,05	-0,11	0,05	0,07	-0,15	-0,06	-0,13	-0,18	-0,01	-0,04
15VO_K	0,07	-0,01	-0,15	0,17	0,26	0,16	0,24	-0,06	0,20	0,21	0,15	0,20	<u>0,31</u>	0,20	0,01	0,08	0,14	0,16	0,18
15VO_S	0,14	0,04	-0,05	0,23	0,22	0,18	0,23	-0,16	0,18	0,26	0,16	0,29	0,52	0,19	-0,04	0,10	0,14	0,10	0,11
14HZ	0,07	0,07	0,13	0,16	0,27	0,09	0,16	-0,06	0,18	0,04	0,37	-0,11	-0,08	-0,24	-0,21	-0,08	-0,01	0,20	0,28
14HRZ1	0,07	0,01	0,01	0,01	0,20	0,01	0,01	0,03	0,27	0,26	0,44	0,01	-0,01	-0,24	<u>-0,32</u>	-0,22	-0,15	0,27	0,34
14VRZ2	0,06	-0,04	0,14	0,02	0,16	0,12	0,13	0,08	0,21	-0,02	0,38	-0,06	0,04	<u>-0,30</u>	-0,34	-0,06	0,01	0,18	0,26
14HKZ	0,07	-0,01	0,08	0,15	0,21	0,13	0,23	-0,22	0,09	-0,12	0,09	-0,17	-0,10	-0,02	0,07	0,04	0,11	0,05	0,05
14MD_K	0,09	-0,17	-0,06	-0,03	0,37	0,18	0,28	-0,09	0,19	0,19	0,28	-0,03	0,20	0,03	-0,26	0,10	0,08	<u>0,31</u>	0,36
14MD_S	0,00	-0,12	0,11	-0,13	-0,09	-0,02	-0,05	-0,01	0,12	-0,04	0,05	-0,02	0,08	-0,14	0,02	-0,13	-0,24	0,08	0,13
14VO_K	-0,14	0,11	-0,02	0,09	0,10	0,17	0,20	-0,10	0,00	0,06	0,02	0,02	0,15	0,08	-0,06	-0,08	-0,07	0,17	0,16
14VO_S	-0,10	0,14	-0,09	0,15	0,07	0,20	0,23	-0,04	0,07	0,20	0,01	0,08	0,05	-0,01	-0,24	-0,09	-0,14	0,09	0,03
24HZ	0,01	-0,02	0,09	0,05	0,20	0,13	0,21	-0,13	0,02	0,01	0,26	0,07	0,11	-0,26	-0,09	0,08	0,05	0,14	0,12
24HRZ1	0,05	-0,07	-0,03	-0,27	-0,02	-0,07	-0,09	-0,12	0,03	-0,04	0,07	0,10	0,10	<u>-0,31</u>	-0,11	-0,07	-0,10	-0,01	-0,02
24VRZ2	-0,04	-0,14	0,20	0,03	0,03	0,04	0,07	-0,07	0,17	-0,13	0,20	0,06	0,13	-0,29	-0,22	0,07	0,03	0,11	0,10

Продовження табл. Е.10

1	2	3	4	5	6	7	8	9	10	11	12	13	14	15	16	17	18	19	20
34MD_S	0,08	<u>-0,32</u>	-0,05	-0,16	0,08	-0,02	-0,01	-0,15	0,22	-0,21	0,10	-0,21	0,17	-0,09	-0,07	0,09	0,01	0,18	0,12
34VO_K	-0,09	-0,08	0,13	-0,04	0,12	-0,12	-0,13	-0,08	0,05	-0,22	0,22	0,03	0,15	-0,08	0,11	-0,04	-0,07	<u>0,30</u>	0,25
34VO_S	0,04	-0,14	0,00	-0,09	0,08	-0,08	0,03	-0,29	0,18	-0,14	0,22	0,10	0,20	-0,04	0,06	0,09	0,04	0,19	0,21
44HZ	0,04	0,00	0,25	0,20	0,34	<u>0,30</u>	<u>0,33</u>	-0,01	0,09	0,04	0,23	0,11	0,40	0,03	0,21	0,35	0,23	0,11	0,13
44HRZ	0,06	0,17	0,11	0,06	0,29	0,20	0,23	0,17	0,03	0,22	0,26	0,12	0,45	-0,02	0,16	0,17	0,00	0,13	0,17
44HKZ	0,06	-0,26	0,13	0,21	<u>0,31</u>	0,11	0,18	-0,13	0,16	-0,14	0,15	0,05	0,11	0,09	0,09	0,28	0,28	0,13	0,14
44MD_K	-0,06	-0,12	-0,08	-0,07	0,10	0,06	0,17	-0,09	0,12	-0,05	0,18	-0,02	0,11	0,08	0,11	0,20	0,05	0,29	0,26
44MD_S	-0,07	<u>-0,31</u>	-0,07	-0,28	-0,13	-0,26	-0,25	-0,15	0,05	<u>-0,33</u>	-0,06	-0,19	0,11	-0,06	-0,10	0,00	-0,12	0,14	0,10
44VO_K	-0,10	-0,16	0,07	0,01	0,07	-0,05	0,01	-0,25	0,08	-0,17	0,17	0,06	0,14	0,08	0,12	-0,01	-0,04	0,29	0,23
44VO_S	0,08	-0,16	-0,01	0,02	0,17	-0,08	0,01	-0,25	0,17	0,02	0,24	0,13	0,34	0,05	0,02	-0,02	-0,05	0,22	0,23
45HZ	-0,29	-0,02	-0,01	-0,14	-0,18	-0,15	-0,20	-0,13	0,01	-0,12	-0,01	-0,17	0,02	-0,12	-0,08	-0,13	-0,24	0,16	0,14
45HRZ	-0,22	0,02	0,00	-0,18	<u>-0,32</u>	-0,07	-0,15	-0,16	0,06	-0,17	-0,09	-0,24	0,03	-0,02	-0,08	-0,13	-0,20	0,03	0,02
45HKZ	-0,10	-0,22	-0,10	-0,03	0,18	-0,22	-0,17	-0,02	-0,09	0,07	0,20	0,17	0,01	-0,29	-0,19	-0,13	-0,23	0,44	0,43
45MD_K	0,01	<u>-0,33</u>	-0,01	-0,06	0,07	-0,15	-0,08	<u>-0,31</u>	0,06	-0,01	0,13	-0,06	-0,04	0,13	-0,01	0,22	0,07	0,37	0,40
45MD_S	-0,09	-0,22	-0,29	-0,50	-0,47	<u>-0,30</u>	-0,28	-0,46	-0,19	-0,45	-0,42	<u>-0,30</u>	-0,22	-0,08	-0,08	-0,11	-0,06	-0,13	-0,04
45VO_K	-0,09	0,09	-0,26	-0,15	0,01	-0,06	0,03	-0,05	-0,06	0,02	0,04	0,15	0,17	-0,01	-0,04	-0,12	-0,08	0,14	0,19
45VO_S	-0,04	0,04	-0,19	0,05	-0,01	0,00	0,07	-0,20	0,05	-0,04	-0,01	0,09	0,38	0,00	-0,21	-0,11	-0,05	0,02	0,03

Додаток Ж

Регресійні моделі комп'ютерно-томографічних лінійних розмірів малих кутніх зубів в залежності від особливостей кефалометричних показників чоловіків із різних регіонів України.

В таблицях даного розділу:

DUG_GOP – найбільший обхват голови через надперенісся (глабелла) та ініон;

DUG_AUAU – поперечна дуга, що вимірюється стрічкою від правої козелкової точки до лівої;

DUGS_GOP – сагітальна дуга, що вимірюється стрічкою від глабелли до потиличної точки;

G_OP – найбільша довжина голови, це відстань від глабелли до опистокраніон;

EU_EU – найбільша ширина голови (потиличний діаметр);

FMT_FMT – найменша ширина голови (лобовий діаметр);

ZY_ZY – ширина обличчя, це відстань між виличними точками;

ZM_ZM – середня ширина обличчя, це відстань між зігомаксилярними точками;

GO_GO – ширина нижньої щелепи, або ширина між кутами нижньої щелепи;

TR_N – висота лоба, це пряма відстань між точками тріхіон і назіон;

TR_GN – фізіологічна довжина обличчя, це відстань від тріхіона (лінія росту волосся) до гнатіон;

N_PRN – довжина носа, це відстань між назіон та проназіон;

N_SN – висота носа, це відстань між верхньоносовою і підносовою точками;

SN_PRN – глибина носа, це відстань між підносовою точкою та проназіон;

N_STO – висота верхньої частини обличчя, це відстань від носової до ротової точок;

N_I – відстань між назіон та міжрізцевою точкою;

- N_GN – морфологічна довжина обличчя, це пряма відстань від назіон до гнатіон;
- MF_MF – міжочноямкова ширина (передня міжорбітальна ширина), це прямолінійна відстань між внутрішніми кутами очних ямок;
- EK_EK – зовнішньоочна ширина (біорбітальна ширина), це прямий розмір між зовнішніми кутами очних щілин;
- AL_AL – ширина основи носа (відстань між алярними точками);
- CHI_CHI – ширина ротової щілини;
- RGO_GN – довжина тіла нижньої щелепи зправа;
- LGO_GN – довжина тіла нижньої щелепи зліва;
- TIP_LICA – тип обличчя (1- широке, 2- середнє, 3- вузьке, 4- дуже вузьке);
- TIP_GOL – краніотип (1- доліхоцефали, 2- мезоцефали, 3- брахіцефали, 4- гіпербрахіцефали);
- R – коефіцієнт множинної кореляції;
- RI – коефіцієнт детермінації R^2 ;
- Adjusted RI – скорегований коефіцієнт детермінації R^2 ;
- F – критерій Фішера;
- Std. Error of estimate – стандартна помилка оцінки;
- BETA – стандартизований регресійний коефіцієнт;
- St. Err. of BETA – стандартна помилка стандартизованого регресійного коефіцієнта;
- B – регресійний B-коефіцієнт;
- St. Err. of B – стандартна помилка B-коефіцієнта;
- t – критерій Стьюдента;
- p-level – рівень достовірності;
- Sums of Squares – сума квадратів;
- df – кількість показників;
- Mean Squares – середній квадрат;
- Regress. – регресія;
- Residual – залишки;

Total – разом;

Intercpt – вільний член.

Таблиця Ж.1

Результати прямого покрокового регресійного (Regression Summary) та дисперсійного аналізів (Analysis of Variance) мезіо-дистального розміру коронки верхнього правого другого малого кутнього зуба (15MD_K) у чоловіків північного регіону України в залежності від особливостей кефалометричних показників.

Regression Summary for Dependent Variable: 15MD_K						
R= .760 R ² = .578 Adjusted R ² = .497						
F(5,26)=7.13 p<.00026 Std.Error of estimate: .262						
	BETA	St. Err. of BETA	B	St. Err. of B	t(26)	p-level
Intercpt			2,681	2,006	1,34	0,1930
LGO_GN	0,363	0,142	0,346	0,135	2,56	0,0164
N_GN	-0,429	0,142	-0,331	0,110	-3,02	0,0057
FMT_FMT	0,408	0,135	0,132	0,044	3,02	0,0056
GO_GO	0,312	0,145	0,175	0,081	2,15	0,0411
CHI_CHI	0,235	0,133	0,193	0,109	1,77	0,0880
Analysis of Variance; DV: 15MD_K (orlovskiy.sta)						
	Sums of Squares	df	Mean Squares	F	p-level	
Regress.	2,441	5,000	0,488	7,127	0,0003	
Residual	1,781	26,00	0,068			
Total	4,222					

Таблиця Ж.2

Результати прямого покрокового регресійного (Regression Summary) та дисперсійного аналізів (Analysis of Variance) присінково-язикового розміру шийки верхнього правого першого малого кутнього зуба (14VO_S) у чоловіків північного регіону України в залежності від особливостей кефалометричних показників.

Regression Summary for Dependent Variable: 14VO_S						
R= .802 R ² = .643 Adjusted R ² = .558						
F(6,25)=7.52 p<.00011 Std.Error of estimate: .632						

Продовження табл. Ж.2

	BETA	St. Err. of BETA	B	St. Err. of B	t(25)	p-level
Intercept			-11,36	4,264	-2,66	0,013
N_STO	0,290	0,158	0,536	0,292	1,84	0,078
G_OP	-0,535	0,135	-0,356	0,090	-3,97	0,001
LGO_GN	0,618	0,133	1,518	0,327	4,64	0,000
N_GN	0,489	0,127	0,972	0,252	3,85	0,001
ZY_ZY	-0,393	0,133	-0,270	0,092	-2,94	0,007
N_PRN	0,370	0,161	0,125	0,055	2,29	0,031
Analysis of Variance; DV: 14VO_S (orlovskiy.sta)						
	Sums of Squares	df	Mean Squares	F	p-level	
Regress.	18,03	6,000	3,005	7,520	0,0001	
Residual	9,989	25,00	0,400			
Total	28,02					

Таблиця Ж.3

Результати прямого покрокового регресійного (Regression Summary) та дисперсійного аналізів (Analysis of Variance) присінково-язикового розміру коронки верхнього правого першого малого кутнього зуба (14VO_K) у чоловіків північного регіону України в залежності від особливостей кефалометричних показників.

Regression Summary for Dependent Variable: 14VO_K						
R= .725 R ² = .525 Adjusted R ² = .434						
F(5,26)=5,75 p<.00105 Std.Error of estimate: .605						
	BETA	St. Err. of BETA	B	St. Err. of B	t(26)	p-level
Intercept			-3,611	4,035	-0,89	0,3791
N_STO	0,408	0,149	0,640	0,234	2,73	0,0111
LGO_GN	0,523	0,145	1,086	0,302	3,60	0,0013
G_OP	-0,451	0,152	-0,254	0,086	-2,96	0,0065
N_GN	0,365	0,142	0,614	0,238	2,58	0,0160
FMT_FMT	-0,279	0,149	-0,197	0,105	-1,86	0,0735
Analysis of Variance; DV: 14VO_K (orlovskiy.sta)						
	Sums of Squares	df	Mean Squares	F	p-level	
Regress.	10,54	5,000	2,107	5,753	0,0011	
Residual	9,525	26,00	0,366			
Total	20,06					

Таблиця Ж.4

Результати прямого покрокового регресійного (Regression Summary) та дисперсійного аналізів (Analysis of Variance) висоти коронки верхнього правого першого малого кутнього зуба (14HKZ) у чоловіків північного регіону України в залежності від особливостей кефалометричних показників.

Regression Summary for Dependent Variable: 14HKZ						
R= .795 R ² = .632 Adjusted R ² = .524						
F(5,88)=7,24 p<.00047 Std.Error of estimate: .574						
	BETA	St. Err. of BETA	B	St. Err. of B	t(24)	p-level
Intercpt			5,858	5,225	1,12	0,2733
EU_EU	0,430	0,151	0,375	0,131	2,85	0,0088
EK_EK	0,399	0,135	0,513	0,174	2,95	0,0070
LGO_GN	0,914	0,249	1,965	0,536	3,66	0,0012
RGO_GN	-0,836	0,296	-1,877	0,665	-2,82	0,0094
DUG_AUAU	-0,417	0,164	-0,285	0,112	-2,54	0,0179
N_GN	-0,337	0,150	-0,586	0,261	-2,25	0,0340
DUGS_GOP	0,386	0,211	0,195	0,106	1,83	0,0795
Analysis of Variance; DV: 14HKZ (orlovskiy.sta)						
	Sums of Squares	Df	Mean Squares	F	p-level	
Regress.	13,57	7,000	1,939	5,876	0,0005	
Residual	7,919	24,00	0,330			
Total	21,49					

Таблиця Ж.5

Результати прямого покрокового регресійного (Regression Summary) та дисперсійного аналізів (Analysis of Variance) мезіо-дистального розміру шийки верхнього правого першого малого кутнього зуба (14MD_S) у чоловіків північного регіону України в залежності від особливостей кефалометричних показників.

Regression Summary for Dependent Variable: 14MD_S
R= .770 R ² = .594 Adjusted R ² = .475
F(5,01)=7,24 p<.00132 Std.Error of estimate: .353

Продовження табл. Ж.5

	BETA	St. Err. of BETA	B	St. Err. of B	t(24)	p-level
Intercept			3,197	2,440	1,31	0,2026
GO_GO	0,564	0,148	0,417	0,110	3,80	0,0009
CHI_CHI	0,798	0,182	0,864	0,197	4,37	0,0002
TIP_LICA	-0,364	0,150	-0,129	0,053	-2,43	0,0229
EU_EU	0,447	0,151	0,228	0,077	2,96	0,0069
DUG_AUAU	-0,457	0,151	-0,182	0,060	-3,03	0,0057
N_I	-0,294	0,159	-0,315	0,170	-1,85	0,0764
AL_AL	-0,267	0,159	-0,596	0,354	-1,68	0,1053
Analysis of Variance; DV: 14MD_S (orlovskiy.sta)						
	Sums of Squares	df	Mean Squares	F	p-level	
Regress.	4,364	7,000	0,623	5,009	0,0013	
Residual	2,987	24,000	0,124			
Total	7,350					

Таблиця Ж.6

Результати прямого покрокового регресійного (Regression Summary) та дисперсійного аналізів (Analysis of Variance) присінково-язикового розміру шийки верхнього лівого першого малого кутнього зуба (24VO_S) у чоловіків північного регіону України в залежності від особливостей кефалометричних показників.

Regression Summary for Dependent Variable: 24VO_S						
R= .745 R ² = .555 Adjusted R ² = .448						
F(5,19)=6,25 p<.00137 Std.Error of estimate: .731						
	BETA	St. Err. of BETA	B	St. Err. of B	t(25)	p-level
Intercept			-8,792	4,905	-1,79	0,0851
LGO_GN	0,593	0,151	1,507	0,383	3,93	0,0006
N_GN	0,543	0,162	1,118	0,334	3,35	0,0026
G_OP	-0,529	0,152	-0,364	0,105	-3,48	0,0019
N_STO	0,584	0,150	1,120	0,288	3,89	0,0007
N_I	-0,325	0,171	-0,703	0,370	-1,90	0,0693
ZY_ZY	-0,223	0,149	-0,159	0,106	-1,49	0,1479
Analysis of Variance; DV: 24VO_S (orlovskiy.sta)						
	Sums of Squares	df	Mean Squares	F	p-level	

Продовження табл. Ж.6

Regress.	16,68	6,000	2,779	5,194	0,0014	
Residual	13,38	25,00	0,535			
Total	30,05					

Таблиця Ж.7

Результати прямого покрокового регресійного (Regression Summary) та дисперсійного аналізів (Analysis of Variance) мезіо-дистального розміру шийки верхнього лівого першого малого кутнього зуба (24MD_S) у чоловіків північного регіону України в залежності від особливостей кефалометричних показників.

Regression Summary for Dependent Variable: 24MD_S						
R= .750 R ² = .562 Adjusted R ² = .434						
F(4,40)=5,24 p<.00290 Std.Error of estimate: .358						
	BETA	St. Err. of BETA	B	St. Err. of B	t(24)	p-level
Intercpt			4,030	2,476	1,63	0,1166
CHI_CHI	0,862	0,189	0,912	0,200	4,56	0,0001
GO_GO	0,430	0,154	0,311	0,111	2,79	0,0101
DUG_AUAU	-0,460	0,156	-0,179	0,061	-2,94	0,0071
EU_EU	0,504	0,157	0,251	0,078	3,21	0,0038
AL_AL	-0,336	0,165	-0,732	0,359	-2,04	0,0527
TIP_LICA	-0,332	0,155	-0,115	0,054	-2,13	0,0433
N_I	-0,290	0,165	-0,303	0,172	-1,76	0,0914
Analysis of Variance; DV: 24MD_S (orlovskiy.sta)						
	Sums of Squares	df	Mean Squares	F	p-level	
Regress.	3,942	7,000	0,563	4,397	0,0029	
Residual	3,074	24,00	0,128			
Total	7,016					

Таблиця Ж.8

Результати прямого покрокового регресійного (Regression Summary) та дисперсійного аналізів (Analysis of Variance) мезіо-дистального розміру коронки верхнього лівого другого малого кутнього зуба (25MD_K) у чоловіків північного регіону України в залежності від особливостей кефалометричних показників.

Regression Summary for Dependent Variable: 25MD_K						
---	--	--	--	--	--	--

Продовження табл. Ж.8

R= .777 R ² = .604 Adjusted R ² = .508						
F(6,25)=6,34 p<.00037 Std.Error of estimate: .285						
	BETA	St. Err. of BETA	B	St. Err. of B	t(25)	p-level
Intercpt			7,187	2,129	3,38	0,0024
LGO_GN	0,324	0,156	0,341	0,164	2,08	0,0478
N_GN	-0,509	0,137	-0,433	0,117	-3,71	0,0010
AL_AL	-0,437	0,132	-0,815	0,247	-3,30	0,0029
DUGS_GOP	0,432	0,164	0,107	0,041	2,63	0,0143
EK_EK	0,252	0,130	0,158	0,081	1,94	0,0637
TR_N	-0,208	0,135	-0,114	0,074	-1,55	0,1347
Analysis of Variance; DV: 25MD_K (orlovskiy.sta)						
	Sums of Squares	df	Mean Squares	F	p-level	
Regress.	3,095	6,000	0,516	6,343	0,0004	
Residual	2,033	25,00	0,081			
Total	5,129					

Таблиця Ж.9

Результати прямого покрокового регресійного (Regression Summary) та дисперсійного аналізів (Analysis of Variance) присінково-язикового розміру коронки нижнього лівого другого малого кутнього зуба (35VO_K) у чоловіків північного регіону України в залежності від особливостей кефалометричних показників.

Regression Summary for Dependent Variable: 35VO_K						
R= .907 R ² = .822 Adjusted R ² = .760						
F(8,23)=13,30 p<.00000 Std.Error of estimate: .260						
	BETA	St. Err. of BETA	B	St. Err. of B	t(23)	p-level
Intercpt			3,341	1,743	1,92	0,0678
TR_GN	-0,675	0,111	-0,397	0,065	-6,09	0,0000
GO_GO	0,544	0,102	0,438	0,082	5,35	0,0000
DUG_GOP	0,832	0,129	0,237	0,037	6,46	0,0000
N_STO	0,704	0,132	0,727	0,136	5,34	0,0000
N_PRN	-0,827	0,146	-0,156	0,028	-5,67	0,0000
ZM_ZM	-0,640	0,119	-0,271	0,050	-5,36	0,0000
DUG_AUAU	-0,311	0,116	-0,135	0,051	-2,68	0,0135
CHI_CHI	0,240	0,101	0,283	0,119	2,37	0,0265

Продовження табл. Ж.9

Analysis of Variance; DV: 35VO_K (orlovskiy.sta)						
	Sums of Squares	df	Mean Squares	F	p-level	
Regress.	7,180	8,000	0,898	13,30	0,0000	
Residual	1,552	23,00	0,067			
Total	8,732					

Таблиця Ж.10

Результати прямого покрокового регресійного (Regression Summary) та дисперсійного аналізів (Analysis of Variance) мезіо-дистального розміру шийки нижнього лівого другого малого кутнього зуба (35MD_S) у чоловіків північного регіону України в залежності від особливостей кефалометричних показників.

Regression Summary for Dependent Variable: 35MD_S						
R= .805 R ² = .648 Adjusted R ² = .564						
F(6,25)=7,67 p<.00010 Std.Error of estimate: .238						
	BETA	St. Err. of BETA	B	St. Err. of B	t(25)	p-level
Intercept			7,625	1,801	4,23	0,0003
DUG_GOP	1,014	0,193	0,196	0,037	5,25	0,0000
RGO_GN	-0,676	0,153	-0,657	0,148	-4,43	0,0002
SN_PRN	-0,435	0,122	-0,713	0,200	-3,57	0,0015
ZM_ZM	-0,449	0,134	-0,129	0,038	-3,36	0,0025
DUG_AUAU	-0,367	0,155	-0,108	0,046	-2,37	0,0259
TIP_GOL	-0,228	0,127	-0,093	0,052	-1,79	0,0852
Analysis of Variance; DV: 35MD_S (orlovskiy.sta)						
	Sums of Squares	df	Mean Squares	F	p-level	
Regress.	2,607	6,000	0,435	7,671	0,0001	
Residual	1,416	25,00	0,057			
Total	4,023					

Таблиця Ж.11

Результати прямого покрокового регресійного (Regression Summary) та дисперсійного аналізів (Analysis of Variance) висоти коронки нижнього лівого першого малого кутнього зуба (34HKZ) у чоловіків північного регіону України в залежності від особливостей кефалометричних показників.

Regression Summary for Dependent Variable: 34HKZ						
R= .712 R ² = .507 Adjusted R ² = .434						
F(4,27)=6,94 p<.00056 Std.Error of estimate: .592						
	BETA	St. Err. of BETA	B	St. Err. of B	t(27)	p-level
Intercpt			-10,37	3,641	-2,85	0,0083
EK_EK	0,319	0,144	0,388	0,175	2,22	0,0349
LGO_GN	0,350	0,149	0,711	0,302	2,36	0,0260
TIP_GOL	0,313	0,147	0,280	0,132	2,13	0,0426
DUG_AUAU	0,309	0,155	0,199	0,100	1,99	0,0566
Analysis of Variance; DV: 34HKZ (orlovskiy.sta)						
	Sums of Squares	df	Mean Squares	F	p-level	
Regress.	9,735	4,000	2,434	6,937	0,0006	
Residual	9,472	27,00	0,351			
Total	19,21					

Таблиця Ж.12

Результати прямого покрокового регресійного (Regression Summary) та дисперсійного аналізів (Analysis of Variance) висоти коронки нижнього правого першого малого кутнього зуба (44HKZ) у чоловіків північного регіону України в залежності від особливостей кефалометричних показників.

Regression Summary for Dependent Variable: 44HKZ						
R= .772 R ² = .596 Adjusted R ² = .518						
F(5,26)=7,66 p<.00015 Std.Error of estimate: .563						
	BETA	St. Err. of BETA	B	St. Err. of B	t(26)	p-level
Intercpt			-3,372	3,397	-0,99	0,3300
TIP_LICA	0,763	0,218	0,451	0,129	3,50	0,0017
ZM_ZM	-0,650	0,229	-0,420	0,148	-2,84	0,0086
DUG_GOP	0,694	0,168	0,301	0,073	4,14	0,0003
G_OP	-0,567	0,159	-0,322	0,090	-3,57	0,0014
EK_EK	0,261	0,133	0,326	0,166	1,96	0,0605
Analysis of Variance; DV: 44HKZ (orlovskiy.sta)						
	Sums of Squares	df	Mean Squares	F	p-level	
Regress.	12,13	5,000	2,426	7,657	0,0002	
Residual	8,237	26,00	0,317			
Total	20,37					

Таблиця Ж.13

Результати прямого покрокового регресійного (Regression Summary) та дисперсійного аналізів (Analysis of Variance) мезіо-дистального розміру шийки нижнього правого другого малого кутнього зуба (45MD_S) у чоловіків північного регіону України в залежності від особливостей кефалометричних показників.

Regression Summary for Dependent Variable: 45MD_S						
R= .846 R ² = .715 Adjusted R ² = .632						
F(7,24)=8,61 p<.00003 Std.Error of estimate: .235						
	BETA	St. Err. of BETA	B	St. Err. of B	t(24)	p-level
Intercpt			4,245	1,666	2,55	0,0176
DUG_GOP	1,075	0,186	0,223	0,039	5,78	0,0000
SN_PRN	-0,444	0,119	-0,782	0,209	-3,74	0,0010
RGO_GN	-0,926	0,213	-0,967	0,223	-4,34	0,0002
DUG_AUAU	-0,448	0,143	-0,142	0,045	-3,13	0,0045
ZM_ZM	-0,334	0,135	-0,103	0,042	-2,48	0,0207
CHI_CHI	0,247	0,126	0,213	0,109	1,96	0,0613
LGO_GN	0,444	0,228	0,444	0,228	1,94	0,0636
Analysis of Variance; DV: 45MD_S (orlovskiy.sta)						
	Sums of Squares	df	Mean Squares	F	p-level	
Regress.	3,325	7,000	0,475	8,614	0,0000	
Residual	1,324	24,00	0,055			
Total	4,649					

Таблиця Ж.14

Результати прямого покрокового регресійного (Regression Summary) та дисперсійного аналізів (Analysis of Variance) мезіо-дистального розміру шийки верхнього лівого другого малого кутнього зуба (25MD_S) у чоловіків південного регіону України в залежності від особливостей кефалометричних показників.

Regression Summary for Dependent Variable: 25MD_S						
R= .714 R ² = .509 Adjusted R ² = .418						
F(5,27)=5,60 p<.00115 Std.Error of estimate: .341						
	BETA	St. Err. of BETA	B	St. Err. of B	t(27)	p-level

Продовження табл. Ж.14

Intercept			15,01	2,616	5,74	0,0000
DUG_GOP	-0,313	0,166	-0,098	0,052	-1,89	0,0699
N_I	-0,264	0,143	-0,279	0,151	-1,85	0,0759
N_PRN	0,461	0,170	0,062	0,023	2,71	0,0115
N_STO	-0,333	0,180	-0,320	0,174	-1,84	0,0762
RGO_GN	-0,269	0,169	-0,194	0,122	-1,59	0,1230
Analysis of Variance; DV: 25MD_S (orlovskiy.sta)						
	Sums of Squares	df	Mean Squares	F	p-level	
Regress.	3,264	5,000	0,653	5,602	0,0011	
Residual	3,146	27,00	0,117			
Total	6,409					

Таблиця Ж.15

Результати прямого покрокового регресійного (Regression Summary) та дисперсійного аналізів (Analysis of Variance) висоти коронки нижнього лівого другого малого кутнього зуба (35HKZ) у чоловіків південного регіону України в залежності від особливостей кефалометричних показників.

Regression Summary for Dependent Variable: 35HKZ						
R= .794 R ² = .631 Adjusted R ² = .546						
F(6,26)=7,41 p<.00011 Std.Error of estimate: .456						
	BETA	St. Err. of BETA	B	St. Err. of B	t(26)	p-level
Intercept			16,76	2,895	5,79	0,0000
DUG_AUAU	-0,197	0,133	-0,099	0,067	-1,48	0,1519
TR_N	-0,326	0,123	-0,244	0,092	-2,65	0,0136
SN_PRN	-0,699	0,133	-1,632	0,311	-5,25	0,0000
TIP_LICA	-0,764	0,235	-0,341	0,105	-3,25	0,0032
AL_AL	-0,339	0,123	-0,829	0,301	-2,75	0,0107
ZM_ZM	0,388	0,217	0,172	0,096	1,78	0,0864
Analysis of Variance; DV: 35HKZ (orlovskiy.sta)						
	Sums of Squares	df	Mean Squares	F	p-level	
Regress.	9,258	6,000	1,543	7,408	0,0001	
Residual	5,416	26,00	0,208			
Total	14,67					

Таблиця Ж.16

Результати прямого покрокового регресійного (Regression Summary) та дисперсійного аналізів (Analysis of Variance) висоти коронки нижнього лівого першого малого кутнього зуба (34HKZ) у чоловіків південного регіону України в залежності від особливостей кефалометричних показників.

Regression Summary for Dependent Variable: 34HKZ						
R= .838 R ² = .702 Adjusted R ² = .633						
F(6,26)=10,19 p<.00001 Std.Error of estimate: .392						
	BETA	St. Err. of BETA	B	St. Err. of B	t(26)	p-level
Intercpt			22,70	3,045	7,46	0,0000
DUG_GOP	-0,969	0,167	-0,440	0,076	-5,79	0,0000
MF_MF	-0,335	0,117	-0,726	0,254	-2,86	0,0082
TR_N	-0,320	0,119	-0,229	0,085	-2,70	0,0121
RGO_GN	0,415	0,140	0,433	0,145	2,97	0,0063
EU_EU	0,333	0,137	0,448	0,185	2,43	0,0225
AL_AL	0,264	0,128	0,618	0,300	2,06	0,0497
Analysis of Variance; DV: 34HKZ (orlovskiy.sta)						
	Sums of Squares	df	Mean Squares	F	p-level	
Regress.	9,398	6,000	1,566	10,19	0,0000	
Residual	3,998	26,00	0,154			
Total	13,40					

Таблиця Ж.17

Результати прямого покрокового регресійного (Regression Summary) та дисперсійного аналізів (Analysis of Variance) висоти коронки нижнього правого першого малого кутнього зуба (44HKZ) у чоловіків південного регіону України в залежності від особливостей кефалометричних показників.

Regression Summary for Dependent Variable: 44HKZ						
R= .751 R ² = .564 Adjusted R ² = .483						
F(5,27)=6,98 p<.00027 Std.Error of estimate: .459						
	BETA	St. Err. of BETA	B	St. Err. of B	t(27)	p-level
Intercpt			25,43	3,513	7,24	0,0000

Продовження табл. Ж.17

DUG_GOP	-0,648	0,159	-0,29	0,071	-4,07	0,0004
MF_MF	-0,226	0,142	-0,482	0,303	-1,59	0,1236
TR_N	-0,357	0,142	-0,252	0,100	-2,52	0,0179
PGO_GN	0,783	0,378	0,804	0,388	2,07	0,0479
LGO_GN	-0,546	0,349	-0,655	0,418	-1,57	0,1291
Analysis of Variance; DV: 44HKZ (orlovskiy.sta)						
	Sums of Squares	df	Mean Squares	F	p-level	
Regress.	7,353	5,000	1,471	6,984	0,0003	
Residual	5,685	27,00	0,211			
Total	13,04					

Таблиця Ж.18

Результати прямого покрокового регресійного (Regression Summary) та дисперсійного аналізів (Analysis of Variance) мезіо-дистального розміру коронки верхнього правого другого малого кутнього зуба (15MD_K) у чоловіків західного регіону України в залежності від особливостей кефалометричних показників.

Regression Summary for Dependent Variable: 15MD_K						
R= .811 R ² = .659 Adjusted R ² = .573						
F(7,28)=7,71 p<.00003 Std.Error of estimate: .322						
	BETA	St. Err. of BETA	B	St. Err. of B	t(28)	p-level
Intercpt			2,747	2,561	1,07	0,2925
SN_PRN	0,238	0,123	0,389	0,201	1,93	0,0637
N_I	0,630	0,140	0,739	0,164	4,51	0,0001
RGO_GN	0,440	0,129	0,405	0,119	3,41	0,0020
DUG_GOP	-0,721	0,166	-0,216	0,050	-4,34	0,0002
DUG_AUAU	0,362	0,152	0,116	0,049	2,38	0,0241
N_SN	0,301	0,127	0,045	0,019	2,37	0,0252
CHI_CHI	0,168	0,118	0,251	0,176	1,43	0,1649
Analysis of Variance; DV: 15MD_K (orlovskiy.sta)						
	Sums of Squares	df	Mean Squares	F	p-level	
Regress.	5,597	7,000	0,800	7,713	0,0000	
Residual	2,903	28,00	0,104			
Total	8,500					

Таблиця Ж.19

Результати прямого покрокового регресійного (Regression Summary) та дисперсійного аналізів (Analysis of Variance) мезіо-дистального розміру шийки верхнього правого першого малого кутнього зуба (14MD_S) у чоловіків західного регіону України в залежності від особливостей кефалометричних показників.

Regression Summary for Dependent Variable: 14MD_S						
R= .733 R ² = .538 Adjusted R ² = .461						
F(5,30)=6,98 p<.00020 Std.Error of estimate: .385						
	BETA	St. Err. of BETA	B	St. Err. of B	t(30)	p-level
Intercpt			-4,022	2,715	-1,48	0,1490
G_OP	0,738	0,204	0,516	0,142	3,63	0,0011
RGO_GN	0,482	0,139	0,472	0,136	3,46	0,0016
N_I	0,268	0,153	0,335	0,192	1,75	0,0907
DUG_GOP	-0,611	0,219	-0,195	0,070	-2,80	0,0090
GO_GO	0,357	0,156	0,308	0,135	2,28	0,0297
Analysis of Variance; DV: 14MD_S (orlovskiy.sta)						
	Sums of Squares	df	Mean Squares	F	p-level	
Regress.	5,186	5,000	1,037	6,981	0,0002	
Residual	4,457	30,00	0,149			
Total	9,643					

Таблиця Ж.20

Результати прямого покрокового регресійного (Regression Summary) та дисперсійного аналізів (Analysis of Variance) мезіо-дистального розміру коронки верхнього лівого другого малого кутнього зуба (25MD_K) у чоловіків західного регіону України в залежності від особливостей кефалометричних показників.

Regression Summary for Dependent Variable: 25MD_K						
R= .810 R ² = .656 Adjusted R ² = .554						
F(6,43)=8,27 p<.00011 Std.Error of estimate: .341						
	BETA	St. Err. of BETA	B	St. Err. of B	t(27)	p-level
Intercpt			3,601	2,913	1,24	0,2271

Продовження табл. Ж.20

N_I	0,534	0,136	0,648	0,165	3,93	0,0005
RGO_GN	1,063	0,296	1,011	0,281	3,59	0,0013
DUG_GOP	-0,735	0,184	-0,228	0,057	-4,00	0,0004
DUG_AUAU	0,525	0,154	0,174	0,051	3,40	0,0021
N_SN	4,623	1,773	0,723	0,277	2,61	0,0147
CHI_CHI	0,330	0,121	0,512	0,188	2,72	0,0113
LGO_GN	-0,853	0,312	-0,786	0,288	-2,73	0,0109
N_PRN	-4,221	1,748	-0,654	0,271	-2,41	0,0228
Analysis of Variance; DV: 25MD_K (orlovskiy.sta)						
	Sums of Squares	df	Mean Squares	F	p-level	
Regress.	5,969	8,000	0,746	6,426	0,0001	
Residual	3,135	27,00	0,116			
Total	9,105					

Таблиця Ж.21

Результати прямого покрокового регресійного (Regression Summary) та дисперсійного аналізів (Analysis of Variance) висоти коронки нижнього правого першого малого кутнього зуба (44HRZ) у чоловіків західного регіону України в залежності від особливостей кефалометричних показників.

Regression Summary for Dependent Variable: 44HKZ						
R= .723 R ² = .522 Adjusted R ² = .403						
F(4,37)=5,28 p<.00220 Std.Error of estimate: .533						
	BETA	St. Err. of BETA	B	St. Err. of B	t(28)	p-level
Intercept			9,808	3,704	2,65	0,0131
N_I	0,628	0,175	1,031	0,287	3,60	0,0012
TR_GN	-0,874	0,246	-0,604	0,170	-3,55	0,0014
TR_N	0,704	0,238	0,655	0,221	2,96	0,0062
MF_MF	-0,331	0,145	-0,909	0,397	-2,29	0,0300
ZY_ZY	0,258	0,149	0,114	0,066	1,73	0,0947
LGO_GN	-0,757	0,324	-0,943	0,403	-2,34	0,0267
RGO_GN	0,568	0,334	0,731	0,429	1,70	0,0998
Analysis of Variance; DV: 44HKZ (orlovskiy.sta)						
	Sums of Squares	df	Mean Squares	F	p-level	
Regress.	8,694	7,000	1,242	4,369	0,0022	
Residual	7,960	28,00	0,284			
Total	16,65					

Таблиця Ж.22

Результати прямого покрокового регресійного (Regression Summary) та дисперсійного аналізів (Analysis of Variance) мезіо-дистального розміру коронки нижнього правого другого малого кутнього зуба (45MD_K) у чоловіків західного регіону України в залежності від особливостей кефалометричних показників.

Regression Summary for Dependent Variable: 45MD_K						
R= .731 R ² = .535 Adjusted R ² = .419						
F(4,60)=5,28 p<.00159 Std.Error of estimate: .436						
	BETA	St. Err. of BETA	B	St. Err. of B	t(28)	p-level
Intercpt			1,543	3,115	0,50	0,6243
SN_PRN	0,226	0,146	0,428	0,277	1,55	0,1329
DUG_AUAU	0,643	0,175	0,239	0,065	3,68	0,0010
N_STO	0,376	0,158	0,439	0,184	2,38	0,0244
CHI_CHI	0,375	0,149	0,652	0,259	2,52	0,0177
DUG_GOP	-0,426	0,189	-0,148	0,066	-2,26	0,0319
ZM_ZM	-0,265	0,143	-0,088	0,048	-1,85	0,0746
N_I	0,234	0,153	0,318	0,207	1,53	0,1362
Analysis of Variance; DV: 45MD_K (orlovskiy.sta)						
	Sums of Squares	df	Mean Squares	F	p-level	
Regress.	6,113	7,000	0,873	4,600	0,0016	
Residual	5,316	28,00	0,190			
Total	11,43					

Таблиця Ж.23

Результати прямого покрокового регресійного (Regression Summary) та дисперсійного аналізів (Analysis of Variance) мезіо-дистального розміру коронки верхнього правого другого малого кутнього зуба (15MD_K) у чоловіків східного регіону України в залежності від особливостей кефалометричних показників.

Regression Summary for Dependent Variable: 15MD_K						
R= .801 R ² = .641 Adjusted R ² = .548						
F(6,88)=7,27 p<.00010 Std.Error of estimate: .278						
	BETA	St. Err. of BETA	B	St. Err. of B	t(27)	p-level

Продовження табл. Ж.23

Intercpt			14,09	1,788	7,88	0,0000
ZM_ZM	-0,671	0,135	-0,192	0,038	-4,99	0,0000
LGO_GN	0,612	0,144	0,410	0,096	4,26	0,0002
DUG_GOP	-0,778	0,166	-0,176	0,037	-4,69	0,0001
MF_MF	0,639	0,160	0,648	0,162	4,00	0,0004
TR_N	-0,309	0,128	-0,206	0,085	-2,42	0,0227
CHI_CHI	-0,382	0,141	-0,395	0,145	-2,72	0,0113
AL_AL	0,324	0,149	0,539	0,248	2,18	0,0385
Analysis of Variance; DV: 15MD_K (orlovskiy.sta)						
	Sums of Squares	df	Mean Squares	F	p-level	
Regress.	3,719	7,000	0,531	6,885	0,0001	
Residual	2,084	27,00	0,077			
Total	5,803					

Таблиця Ж.24

Результати прямого покрокового регресійного (Regression Summary) та дисперсійного аналізів (Analysis of Variance) мезіо-дистального розміру коронки верхнього правого першого малого кутнього зуба (14MD_K) у чоловіків східного регіону України в залежності від особливостей кефалометричних показників.

Regression Summary for Dependent Variable: 14MD_K						
R= .794 R ² = .630 Adjusted R ² = .516						
F(5,54)=8,26 p<.00038 Std.Error of estimate: .390						
	BETA	St. Err. of BETA	B	St. Err. of B	t(26)	p-level
Intercpt			8,763	1,900	4,61	0,0001
FMT_FMT	-0,542	0,157	-0,259	0,075	-3,46	0,0019
N_GN	0,543	0,155	0,412	0,118	3,49	0,0017
DUGS_GOP	-0,316	0,135	-0,098	0,042	-2,35	0,0268
SN_PRN	-0,378	0,130	-0,704	0,242	-2,91	0,0073
CHI_CHI	-0,291	0,133	-0,409	0,186	-2,19	0,0374
RGO_GN	0,409	0,155	0,344	0,131	2,63	0,0141
TR_N	-0,548	0,164	-0,495	0,148	-3,34	0,0026
TR_GN	0,308	0,160	0,113	0,059	1,92	0,0655
Analysis of Variance; DV: 14MD_K (orlovskiy.sta)						
	Sums of Squares	df	Mean Squares	F	p-level	

Продовження табл. Ж.24

Regress.	6,742	8,000	0,843	5,54	0,0004
Residual	3,955	26,00	0,152		
Total	10,70				

Таблиця Ж.25

Результати прямого покрокового регресійного (Regression Summary) та дисперсійного аналізів (Analysis of Variance) мезіо-дистального розміру коронки верхнього лівого першого малого кутнього зуба (24MD_K) у чоловіків східного регіону України в залежності від особливостей кефалометричних показників.

Regression Summary for Dependent Variable: 24MD_K						
R= .771 R ² = .594 Adjusted R ² = .489						
F(5,65)=7,27 p<.00043 Std.Error of estimate: .352						
	BETA	St. Err. of BETA	B	St. Err. of B	t(27)	p-level
Intercept			10,12	1,945	5,20	0,0000
DUGS_GOP	-0,409	0,140	-0,111	0,038	-2,93	0,0068
ZM_ZM	-0,516	0,128	-0,18	0,044	-4,03	0,0004
N_I	0,550	0,147	0,501	0,134	3,74	0,0009
LGO_GN	0,586	0,151	0,468	0,120	3,89	0,0006
TR_N	-0,311	0,142	-0,246	0,112	-2,19	0,0372
CHI_CHI	-0,294	0,129	-0,363	0,159	-2,27	0,0311
G_OP	-0,354	0,148	-0,193	0,081	-2,39	0,0241
Analysis of Variance; DV: 24MD_K (orlovskiy.sta)						
	Sums of Squares	df	Mean Squares	F	p-level	
Regress.	4,910	7,000	0,701	5,653	0,0004	
Residual	3,350	27,00	0,124			
Total	8,260					

Таблиця Ж.26

Результати прямого покрокового регресійного (Regression Summary) та дисперсійного аналізів (Analysis of Variance) мезіо-дистального розміру коронки верхнього лівого другого малого кутнього зуба (25MD_K) у чоловіків східного регіону України в залежності від особливостей кефалометричних показників.

Regression Summary for Dependent Variable: 25MD_K

Продовження табл. Ж.26

R= .726 R ² = .527 Adjusted R ² = .463						
F(4,30)=8,34 p<.00012 Std.Error of estimate: .309						
	BETA	St. Err. of BETA	B	St. Err. of B	t(30)	p-level
Intercpt			8,621	1,441	5,98	0,0000
LGO_GN	0,534	0,130	0,366	0,089	4,10	0,0003
DUGS_GOP	-0,558	0,148	-0,130	0,034	-3,78	0,0007
TIP_LICA	-0,600	0,148	-0,173	0,043	-4,05	0,0003
CHI_CHI	-0,206	0,130	-0,218	0,137	-1,59	0,1226
Analysis of Variance; DV: 25MD_K (orlovskiy.sta)						
	Sums of Squares	df	Mean Squares	F	p-level	
Regress.	3,195	4,000	0,799	8,341	0,0001	
Residual	2,873	30,00	0,096			
Total	6,067					

Таблиця Ж.27

Результати прямого покрокового регресійного (Regression Summary) та дисперсійного аналізів (Analysis of Variance) присінково-язикового розміру шийки нижнього лівого другого малого кутнього зуба (35VO_S) у чоловіків східного регіону України в залежності від особливостей кефалометричних показників.

Regression Summary for Dependent Variable: 35VO_S						
R= .748 R ² = .559 Adjusted R ² = .423						
F(4,12)=5,26 p<.00278 Std.Error of estimate: .666						
	BETA	St. Err. of BETA	B	St. Err. of B	t(26)	p-level
Intercpt			8,427	3,132	2,69	0,0123
EK_EK	0,619	0,175	1,199	0,338	3,55	0,0015
GO_GO	-0,215	0,153	-0,328	0,233	-1,41	0,1714
DUG_AUAU	-0,365	0,150	-0,160	0,065	-2,44	0,0219
N_PRN	0,314	0,147	0,079	0,037	2,14	0,0423
TR_N	-0,393	0,158	-0,555	0,223	-2,49	0,0196
CHI_CHI	-0,298	0,149	-0,655	0,327	-2,00	0,0558
MF_MF	0,323	0,175	0,695	0,376	1,85	0,0759
TIP_LICA	-0,243	0,157	-0,146	0,094	-1,55	0,1337
Analysis of Variance; DV: 35VO_S (orlovskiy.sta)						
	Sums of Squares	df	Mean Squares	F	p-level	

Продовження табл. Ж.27

Regress.	14,62	8,000	1,827	4,117	0,0028
Residual	11,54	26,00	0,444		
Total	26,16				

Таблиця Ж.28

Результати прямого покрокового регресійного (Regression Summary) та дисперсійного аналізів (Analysis of Variance) мезіо-дистального розміру коронки нижнього лівого другого малого кутнього зуба (35MD_K) у чоловіків східного регіону України в залежності від особливостей кефалометричних показників.

Regression Summary for Dependent Variable: 35MD_K						
R= .711 R ² = .505 Adjusted R ² = .399						
F(4,76)=5,28 p<.00185 Std.Error of estimate: .513						
	BETA	St. Err. of BETA	B	St. Err. of B	t(28)	p-level
Intercpt			11,23	2,657	4,23	0,0002
ZM_ZM	-0,803	0,186	-0,367	0,085	-4,31	0,0002
DUGS_GOP	-0,380	0,144	-0,139	0,052	-2,65	0,0132
RGO_GN	0,536	0,164	0,531	0,163	3,27	0,0029
ZY_ZY	-0,405	0,195	-0,217	0,104	-2,08	0,0466
N_I	0,320	0,152	0,392	0,186	2,11	0,0443
TR_N	-0,225	0,152	-0,240	0,161	-1,49	0,1484
Analysis of Variance; DV: 35MD_K (orlovskiy.sta)						
	Sums of Squares	df	Mean Squares	F	p-level	
Regress.	7,510	6,000	1,252	4,760	0,0019	
Residual	7,363	28,00	0,263			
Total	14,87					

Таблиця Ж.29

Результати прямого покрокового регресійного (Regression Summary) та дисперсійного аналізів (Analysis of Variance) мезіо-дистального розміру шийки нижнього правого першого малого кутнього зуба (44MD_S) у чоловіків східного регіону України в залежності від особливостей кефалометричних показників.

Regression Summary for Dependent Variable: 44MD_S						
---	--	--	--	--	--	--

Продовження табл. Ж.29

R= .755 R ² = .569 Adjusted R ² = .458						
F(5,10)=7,27 p<.00087 Std.Error of estimate: .361						
	BETA	St. Err. of BETA	B	St. Err. of B	t(27)	p-level
Intercpt			11,04	2,006	5,50	0,0000
ZM_ZM	-0,400	0,196	-0,136	0,066	-2,04	0,0508
DUGS_GOP	-0,555	0,153	-0,150	0,041	-3,63	0,0012
EK_EK	0,372	0,141	0,402	0,152	2,64	0,0135
TR_N	-0,343	0,141	-0,270	0,111	-2,42	0,0223
CHI_CHI	-0,269	0,135	-0,329	0,166	-1,98	0,0577
TIP_GOL	0,283	0,144	0,137	0,070	1,96	0,0601
TIP_LICA	-0,340	0,231	-0,114	0,077	-1,47	0,1531
Analysis of Variance; DV: 44MD_S (orlovskiy.sta)						
	Sums of Squares	df	Mean Squares	F	p-level	
Regress.	4,642	7,000	0,663	5,102	0,0009	
Residual	3,509	27,00	0,130			
Total	8,151					

Таблиця Ж.30

Результати прямого покрокового регресійного (Regression Summary) та дисперсійного аналізів (Analysis of Variance) присінково-язикового розміру шийки нижнього правого другого малого кутнього зуба (45VO_S) у чоловіків східного регіону України в залежності від особливостей кефалометричних показників.

Regression Summary for Dependent Variable: 45VO_S						
R= .720 R ² = .519 Adjusted R ² = .415						
F(5,03)=6,28 p<.00131 Std.Error of estimate: .64082						
	BETA	St. Err. of BETA	B	St. Err. of B	t(28)	p-level
Intercpt			9,239	3,130	2,95	0,0063
EK_EK	0,642	0,156	1,187	0,288	4,12	0,0003
CHI_CHI	-0,361	0,138	-0,756	0,290	-2,61	0,0144
GO_GO	-0,385	0,145	-0,561	0,211	-2,66	0,0128
DUG_AUAU	-0,225	0,160	-0,094	0,067	-1,40	0,1712
N_PRN	0,225	0,134	0,054	0,032	1,69	0,1028
SN_PRN	-0,224	0,147	-0,623	0,409	-1,52	0,1393
Analysis of Variance; DV: 45VO_S (orlovskiy.sta)						

Продовження табл. Ж.30

	Sums of Squares	df	Mean Squares	F	p-level
Regress.	12,39	6,000	2,064	5,027	0,0013
Residual	11,50	28,00	0,411		
Total	23,88				

Таблиця Ж.31

Результати прямого покрокового регресійного (Regression Summary) та дисперсійного аналізів (Analysis of Variance) висоти коронки нижнього правого другого малого кутнього зуба (45HKZ) у чоловіків східного регіону України в залежності від особливостей кефалометричних показників.

Regression Summary for Dependent Variable: 45HKZ						
R= .776 R ² = .603 Adjusted R ² = .499						
F(5,85)=7,27 p<.00034 Std.Error of estimate: .571						
	BETA	St. Err. of BETA	B	St. Err. of B	t(27)	p-level
Intercept			20,49	3,423	5,99	0,0000
AL_AL	-0,358	0,152	-1,164	0,493	-2,36	0,0258
TIP_LICA	-0,718	0,153	-0,396	0,085	-4,69	0,0001
N_PRN	-0,612	0,150	-0,141	0,035	-4,09	0,0004
MF_MF	0,533	0,147	1,056	0,291	3,63	0,0012
DUG_GOP	-0,522	0,185	-0,230	0,081	-2,83	0,0087
LGO_GN	0,437	0,174	0,572	0,227	2,51	0,0182
FMT_FMT	-0,268	0,147	-0,184	0,101	-1,83	0,0787
Analysis of Variance; DV: 45HKZ (orlovskiy.sta)						
	Sums of Squares	df	Mean Squares	F	p-level	
Regress.	13,36	7,000	1,908	5,848	0,0003	
Residual	8,810	27,00	0,326			
Total	22,17					